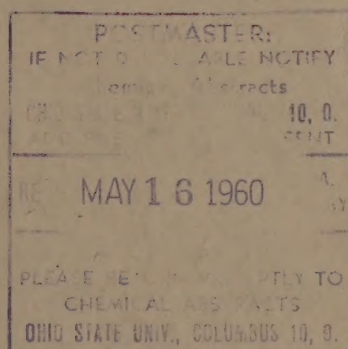


3
*Izvest. Akad. Nauk S.S.S.R.,
Otdel. Khim. Nauk, 1960, No. 3*

ИЗВЕСТИЯ АКАДЕМИИ НАУК СССР

ОТДЕЛЕНИЕ
ХИМИЧЕСКИХ НАУК



3
МАРТ

ИЗДАТЕЛЬСТВО АКАДЕМИИ НАУК СССР
МОСКВА • 1960

Ind 350

РЕДАКЦИОННАЯ КОЛЛЕГИЯ

М. М. ДУБИНИН (главный редактор), А. Ф. КАПУСТИНСКИЙ (зам. главного редактора), В. Н. КОНДРАТЬЕВ, А. Н. НЕСМЕЯНОВ, К. Т. ПОРОШИН (ответственный секретарь), И. И. ЧЕРНЯЕВ

Адрес редакции: Москва, Ленинский проспект, 47
Институт органической химии им. Н. Д. Зелинского АН СССР
Телефон В 7-00-13, доб. 15

Технический редактор Т. А. Михайлова

| | | | |
|-----------------------------------|--------------|---------------------------------------------------|------------|
| Подписано к печати 25/III-1960 г. | Т-03356 | Формат бумаги 70×108 ¹ / ₁₆ | Бум. л. 6 |
| Печ. л. 16,44+1 вкл. | Уч.-изд 19,1 | Тираж 3250 | Заказ 3025 |

2-я типография Издательства Академии наук СССР, Москва, Шубинский пер., д. 10

В. Т. БЫКОВ, Л. Б. НЕПОМНЯЩИЙ и В. Н. СУШИН

ИССЛЕДОВАНИЕ ПРИРОДНЫХ СОРБЕНТОВ МЕТОДОМ РАССЕЯНИЯ РЕНТГЕНОВСКИХ ЛУЧЕЙ ПОД МАЛЫМИ УГЛАМИ

В последнее время для изучения областей неоднородности веществ применяется рассеяние рентгеновских лучей в области малых углов — метод РМУ. Исследуемые размеры областей неоднородности, определяемые этим методом, лежат обычно в пределах от 10 до 3000 Å. В монографии Гинье [1] и обзорной статье Порай-Кошица [2] подробно перечислены области применения данного метода. Целью настоящей работы было выяснение применимости РМУ для исследования природных сорбентов Дальнего Востока, ранее охарактеризованных различными сорбционными методами [3].

ЭКСПЕРИМЕНТАЛЬНАЯ ЧАСТЬ

Для исследования были взяты крупнопористый силикагель КСК и два порошкообразных образца приморских сульфитов — пробы 55 и 223, обладающих достаточно высокими сорбционными свойствами.

Образцы снимались на рамочной камере, описанной Кратки [4]. В процессе работы использовалось медное излучение CuK_α , $\lambda = 1,54$ Å, монохроматизация которого осуществлялась отражением от монокристалла пентаэритрита. Съемка проводилась при режиме 40 кВ и 15 мА. Узкий пучок рентгеновских лучей (0,1 мм) после рамочной камеры направлялся в вакуумную приставку, где помещались образец и пленка. Расстояние от пленки до образца составляло 195 мм. Кювета с порошкообразным образцом, помещенным между двумя слюдяными окошками (толщина образца 0,3—0,4 мм), вставлялась на шлифе в вакуумную приставку. Рентгеновская пленка также крепилась на шлифе. Первичный пучок рентгеновских лучей частично поглощался ловушкой, в качестве которой служила медная фольга толщиной 0,25 мм. След первичного пучка на пленке облегчал фотометрирование и настройку камеры и позволял предельно близко подойти к первичному пучку, так что минимальный угол составлял $2,82'$.

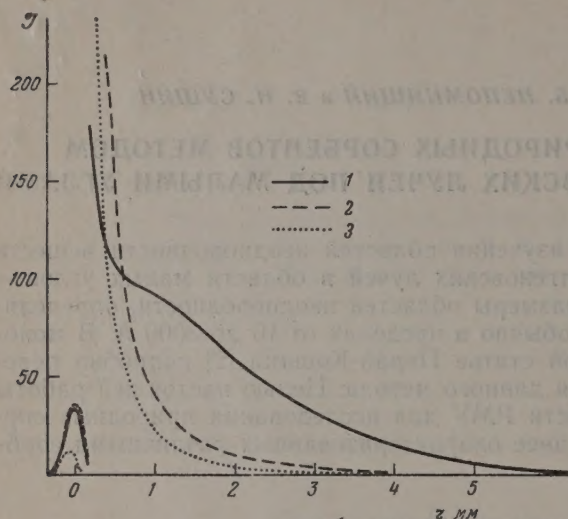
Время экспозиции колебалось от 4 до 8 час. в зависимости от плотности и толщины исследуемого образца. Рентгенограммы фотометрировались на визуальном микрофотометре МФ-2. В работе применялась рентгеновская пленка «Agfa».

Результаты измерений. На фиг. 1 представлены микрофотометрические кривые интенсивности рассеяния исследуемых образцов I в функции расстояния от первичного пучка на пленке r . Расчет рентгенограмм производился методом касательных [5]. Графически вводилась коллимационная поправка на высоту щели. Исправленные кривые рассчитывались с учетом поправки на ширину щели [6]. По наклону касательных к кривым ($\lg I$, r^2) определялись радиусы инерции областей неоднородности. Отрезки, отсекаемые касательными на оси ординат, использовались для определения относительного содержания фракций полученных размеров.

Рентгенограмма КСК характерна наличием неявно выраженного максимума, положение которого определялось по методу, описанному в работе [6]. Как было показано [7], появление интерференционного максимума можно объяснить наличием плотной упаковки областей неоднородностей, радиуса R при значении $kR = 2,25 \div 2,5$, где $k = 2\pi/\lambda$,

что соответствовало для КСК $R = 69,5 \div 77,5$ Å. Принимая во внимание высокую пористость силикагеля, равную 69,5%, можно предположить, что появление максимума вызвано плотной упаковкой пор данных размеров.

Метод касательных, примененный к хвосту графика ($\lg I, r^2$), позволил определить, ввиду почти прямолинейной зависимости, лишь один радиус инерции R , равный 29 Å, что соответствовало радиусу поры (частицы) 37 Å. Согласно [8], разница в значениях R , подсчитанных по максимуму и «хвосту» логарифмической кривой интенсивности,



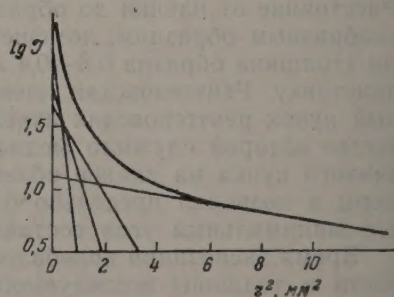
Фиг. 1. Микрофотометрические кривые интенсивности рассеяния (I, r) образцов: 1 — КСК; 2 — 223; 3 — 55

ности, объясняется наличием частиц (пор) различных размеров; в таких случаях рекомендуется производить расчет по максимуму.

В результате анализа микрофотометрических кривых образцов 55 и 223 можно предположить, что рассеяние рентгеновских лучей в области малых углов вызвано наличием рыхлой упаковки областей неоднородности (газовый тип по Дебаю) [9]. На фиг. 2 показан ход расчета методом касательных кривой ($\lg I, r^2$) образца 223. Результаты подсчета радиусов инерции исследуемых образцов приведены в табл. 1.

Определение удельной поверхности. Согласно теории [1, 2], рассеяние рентгеновских лучей под малыми углами обусловлено разностью электронных плотностей частицы и среды. Это затрудняет интерпретацию рентгенограмм, т. е. не позволяет сделать вывод об истинной природе рассеивающих областей (поры или частицы). Чтобы решить этот вопрос, применяются дополнительные исследования изучаемых образцов. Так, например, известна работа [8], когда микропористые стекла обрабатывались щелочью, а по рентгенограммам наблюдалось увеличение размеров рассеивающих областей, что приводило авторов к однозначному заключению, что рассеяние вызвано порами.

Сорбционные измерения также позволяют до некоторой степени провести анализ относительно истинной природы рассеивающих областей и сопоставить результаты измерений, полученные двумя неза-



Фиг. 2. Расчет методом касательных кривой интенсивности рассеяния ($\lg I, r^2$) образца 223

Таблица 1

| Образец | Радиусы областей неоднородности в Å и относительное содержание их в % по числу частиц, полученные методом касательных | | | | | | | | | |
|--------------------------------|-----------------------------------------------------------------------------------------------------------------------|------|-------|------|-----|-------|-----|-------|-----|------|
| | А | % | А | % | А | % | А | % | А | % |
| Силикагель крупно-пористый КСК | 37 | 100 | 77,5* | 100 | — | — | — | — | — | — |
| Проба 55 | 17,3 | 90,6 | 71,2 | 7,25 | 121 | 1,63 | 214 | 0,410 | 256 | 0,11 |
| Проба 223 | 31 | 95,6 | 96 | 3,92 | 158 | 0,738 | 236 | 0,282 | — | — |

* 77,5 Å, подсчитан по максимуму.

висимыми методами: Кроме радиусов областей неоднородности такой величиной для сравнения может служить удельная поверхность, приближенный подсчет которой можно провести по данным РМУ, зная величину «свободного» объема в грамме образца, в качестве которого можно взять объем сорбированного пара в $\text{см}^3/\text{г}$ при $p/p_s = 1$.

Ниже приведены результаты сопоставления величины радиусов областей неоднородности и удельной поверхности (табл. 2), подсчитан-

Таблица 2

| Образец | Удельная поверхность в $\text{м}^2/\text{г}$ | | | | | | |
|----------------|----------------------------------------------|-------|---------------------------|------|------------------------------------|---------------------------------------|-------------------------------------------------------|
| | рассчитанная по данным метода касательных | | рассчитанная по максимуму | | сорбционные данные [10] | | |
| | частицы | поры | частицы | поры | по гептану в $\text{м}^2/\text{г}$ | эффективный радиус пор в Å по гептану | предельный сорбционный объем в $\text{см}^3/\text{г}$ |
| Силикагель КСК | 121 | 689 | 65 | 328 | 366 | 45,5 | 0,850 |
| Проба 55 | 250,1 | 37,65 | — | — | 45 | 58 | 0,130 |
| Проба 223 | 320 | 46,5 | — | — | 40 | 62 | 0,124 |

ной в предположении, что в одном случае рассеяние вызвано частицами, в другом — порами, с сорбционными измерениями методом капиллярной конденсации по гептану [10]. Удельная поверхность крупнопористого силикагеля определялась по радиусам, рассчитанным по максимуму, и методом касательных (по «хвосту»). При определении удельной поверхности в данном случае исходили из предположения о монодисперсной системе сферических областей неоднородности. Удельная поверхность образцов 55 и 223 рассчитывалась с учетом относительного содержания областей неоднородности данного размера, которые также считались сферическими. Необходимо отметить, что такой идеализированный подход к определению удельной поверхности может дать лишь весьма приближенные результаты.

Как видно из табл. 2, величины удельных поверхностей исследуемых образцов, определенные методом РМУ, имеют один порядок измерений с удельной поверхностью, определенной по сорбционным данным. Удельная поверхность крупнопористого силикагеля, рассчитанная по максимуму, в предположении, что рассеяние вызвано порами, неплохо согла-

судается с удельной поверхностью, определенной по сорбции паров гептана, хотя радиус в этом случае равный 77,5 Å, несколько превышает 45,5 Å — эффективный радиус по сорбции гептана. Для природных сорбентов удельные поверхности, рассчитанные в предположении, что рассеяние вызвано порами, также близки с удельными поверхностями по сорбции гептана, однако многофазность природных сорбентов, которые представляют собой в основном смесь различных алюмосиликатов с кристаллическим SiO_2 , требует дополнительных исследований.

Полученные результаты исследования субмикроскопической области природных сорбентов и силикагеля методом РМУ следует рассматривать прежде всего как дополнительные данные к другим физико-химическим методам. Трудность применения данного метода к изучению природных сорбентов обусловлена химической неоднородностью и многофазным строением последних. Несмотря на то, что интенсивность диффузного рассеяния под малыми углами не зависит от внутреннего строения рассеивающих областей, многофазное строение природного сорбента естественно должно усложнить общую картину рассеяния под малыми углами, полный анализ которой возможен лишь при помощи других физико-химических методов. По нашему мнению, применение РМУ к изучению структуры природных сорбентов дает в общих чертах характер дисперсности, что при дальнейшем совершенствовании методики рентгеновского анализа в этой области позволит получить более полные результаты.

ВЫВОДЫ

1. Проведены исследования пористой структуры крупнопористого силикагеля и двух образцов природных сорбентов. Рассчитаны радиусы субмикроскопических областей неоднородности.

2. При помощи малоуглового метода сделана попытка определения удельных поверхностей изученных образцов, которые в известной мере согласуются с сорбционными данными.

Дальневосточный филиал
им. В. Л. Комарова
Академии наук СССР

Поступило
1.VIII.1958

ЛИТЕРАТУРА

1. A. Guinier, G. Fournet. Small-angle Scattering of x-rays, London, 1955.
2. Е. А. Порай-Кошиц, Успехи физ. наук **39**, 573 (1949).
3. В. Т. Быков, Изв. АН СССР. Отд. хим. н. **1952**, 583; Диссертация, Ин-т физ. химии АН СССР, 1952.
4. O. Kratky, A. Secora, Monatsh. **85**, 663 (1954).
5. M. Jellinek, J. Fankuchen, E. Colomson, Ind. Chem. Analyt. **18**, 172 (1946).
6. В. Н. Филипович, Ж. техн. физ. **27**, 1029 (1957).
7. D. Riley, Proc. Conference Ultra-fine structure of coals and cokes 232—239, 254—265. London, 1944.
8. Е. А. Порай-Кошиц и др., Отчет лаборатории физ. методов, Институт химии силикатов, Л., 1952, 1251.
9. P. Debye, J. Math. Phys. Mass **4**, 133 (1925).
10. В. Г. Герасимов, Тр. Дальневосточного филиала, серия хим., вып. 3, 97, 1958.

Н. П. КЕЙЕР

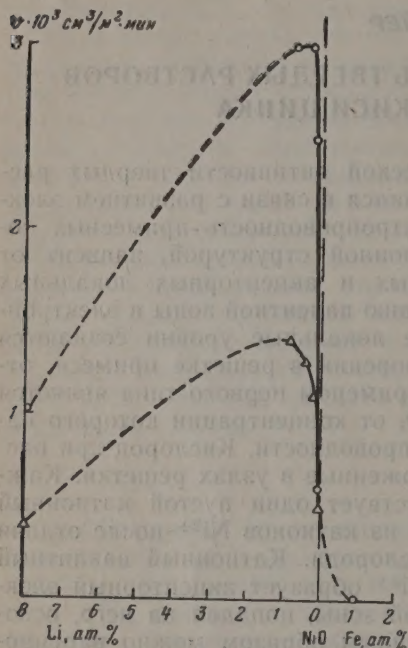
КАТАЛИТИЧЕСКАЯ АКТИВНОСТЬ ТВЕРДЫХ РАСТВОРОВ ЗАКИСИ НИКЕЛЯ И ОКИСИ ЦИНКА

Интерес к исследованию каталитической активности твердых растворов металла, а затем и окислов, появился в связи с развитием электронного направления в катализе. Электропроводность примесных полупроводников, связанная с их электронной структурой, зависит от концентрации и расположения донорных и акцепторных локальных уровней электронов по отношению к уровню валентной зоны в электронной схеме. Донорные или акцепторные локальные уровни создаются при нарушении стехиометрии или растворении в решетке примеси, отличающейся химическим составом [1]. Примером первого типа является сверхстехиометрический кислород в NiO , от концентрации которого наблюдается сильная зависимость электропроводности. Кислород при растворении переходит в ионы O^{2-} , расположенные в узлах решетки. Каждому избыточному аниону O^{2-} соответствует один пустой катионный узел и два катиона Ni^{3+} , образующиеся из катионов Ni^{2+} после отдачи ими электронов избыточному атому кислорода. Катионный вакантный узел в сочетании с двумя катионами Ni^{3+} образует акцепторный электронный уровень. Электрон из валентной зоны, попадая на него, освобождает катион Ni^{3+} — дырку. Аналогичным образом можно варьировать электропроводность, растворяя в NiO окислы металлов. При растворении Li_2O в NiO образуются акцепторные уровни, создаваемые сочетанием катионов Li^+ с катионами Ni^{3+} .

Электропроводность окиси цинка определяется содержанием избыточного сверхстехиометрического цинка. Установлено, что он находится в виде атомов, расположенных в междуузлиях, и создает донорные электронные уровни, так как имеет пониженный потенциал ионизации, равный 0,1 eV, вследствие чего легко отдает электрон в зону проводимости. Донорные электронные уровни могут быть созданы также растворением в ZnO , Ga_2O_3 и других окислов трех- и выше валентных металлов. Катионы Ga^{3+} , занимающие катионные узлы в сочетании с катионами Zn^{2+} в соседних узлах, создают донорные электронные уровни, потенциал ионизации которых еще ниже, чем у атомов Zn в междуузлиях, поэтому они сильно снижают энергию активации электропроводности и повышают электропроводность.

Каталитическая активность твердых растворов закиси никеля и окиси цинка широко исследовалась как у нас в Советском Союзе, так и за рубежом. Эти две системы стали в известной мере модельными, на них проверяются закономерности катализа и связь его с электропроводностью для дырочных и электронных полупроводников. Исследовались реакции окислительно-восстановительного типа: окисление CO [2—4], распад закиси азота [3—6], распад озона [7], обмен водорода и дейтерия [8, 9]. Во всех случаях обнаружено сильное влияние растворяемых примесей одновременно на электропроводность и каталитическую активность. Эти данные считались полностью согласующимися с электронной теорией химической адсорбции, разрабатываемой Волькенштейном [10].

Хауффе [11], Аграйн [12], Вейсс [13] и др. [14]. Кинетика каталитического процесса в этих исследованиях изучалась весьма поверхностно, а стадийный механизм процесса, как правило, не изучался. По этой причине, обычно в зависимости от обнаруженной симбатности или антибатности, между изменением электропроводности и каталитической активности строился механизм и выбиралась донорная или акцепторная наиболее медленная стадия, определяющая скорость каталитического процесса



Фиг. 1. Зависимость скорости адсорбции кислорода на NiO и ее твердых растворах от содержания катионов Li^+ и Fe^{+3} в узлах решетки. Скорость в $\text{см}^3/\text{м}^2 \cdot \text{мин}$, концентрация в атомных % (по данным Кейер и Куцевой)

зависимости, без полного понимания которых не может быть создана ни электронная теория химической адсорбции, ни теория катализа.

Химическая адсорбция на твердых растворах NiO и ZnO. Исследовались закономерности адсорбции газов, которые по влиянию на электропроводность могут быть разделены на доноры и акцепторы электронов. Адсорбция первых сопровождается переходом электрона от адсорбата к катализатору, адсорбция вторых — в обратном направлении; первые заряжаются положительно, вторые — отрицательно. Адсорбционные свойства контактов сильно изменяются при растворении окислов одно- и трехвалентных металлов, влияющих одновременно и на σ -электропроводность NiO и ZnO; при этом электропроводность σ ZnO и NiO изменяется в противоположном направлении. Растворение оксида лития в NiO и ZnO увеличивает начальную скорость адсорбции газа-акцептора кислорода, которая в NiO при оптимальной концентрации 0,8 ат. % лития проходит через максимум и при дальнейшем увеличении концентрации начинает снижаться. На фиг. 1 представлена зависимость начальной скорости адсорбции кислорода от концентраций лития в NiO. На адсорбцию газов-доноров электронов, к которым принадлежат ацетилен и CO, растворение Li_2O в NiO и ZnO оказывает проти-

[15]. В основе построения механизма лежало положение, вытекающее из электронной теории химической адсорбции этих авторов, что активными центрами адсорбции газов-доноров электронов в *p*-полупроводниках являются дырки, и газов-акцепторов электронов в *n*-полупроводниках — свободные электроны. Скорость адсорбции газов-акцепторов электронов, сопровождающаяся снижением электропроводности *n*-полупроводников, поэтому должна увеличиваться с ростом исходной электропроводности образца и уменьшаться при ее снижении. Адсорбция газов-доноров электронов на *p*-полупроводниках должна возрастать с ростом их электропроводности, так как активными центрами в этом случае, как и предполагалось, являются дырки. Экспериментальная проверка этого основного положения, лежащего в основе указанной электронной теории химической адсорбции и катализа, отсутствовала

Исследование взаимосвязи между закономерностями химической адсорбции и исходной электропроводностью закиси никеля и окиси цинка, проведенное совместно с Куцевой [16, 17] и Чижиковой [18, 19], показало, что на опыте имеют место более сложные за-

воположное влияние. При содержании лития 0,4—0,8 ат. % адсорбция газов-доноров полностью затормаживается. Растворение окислов трехвалентных металлов, например Fe_2O_3 в NiO , резко снижает скорость адсорбции кислорода, одновременно слегка снижает и скорость адсорбции CO . Растворение Ga_2O_3 в ZnO не влияет на адсорбцию кислорода.

Вместе с тем прямая связь между активностью контакта и электропроводностью отсутствует. Растворяя одновременно в NiO окисел лития и железа, электропроводность NiO при равном их содержании не изменяется. Адсорбционные же свойства образцов NiO (0,8 ат. % Li , 0,8 ат. % Fe) и NiO сильно отличаются. Адсорбция газов-доноров электронов на первом образце отсутствует, только при избытке окисла железа по отношению к Li_2O , когда электропроводность сильно снижается, появляется способность к адсорбции CO , несмотря на то, что растворение Fe_2O_3 в NiO , как уже отмечалось, само по себе затормаживает адсорбцию CO . Наконец, если изменять электропроводность NiO растворением в решетке избыточного кислорода, действующего в том же направлении, что и растворение Li_2O , получают препараты, совпадающие по электропроводности с твердыми растворами $\text{NiO}(\text{Li}_2\text{O})$, но резко отличающиеся в отношении химической адсорбции и каталитической активности.

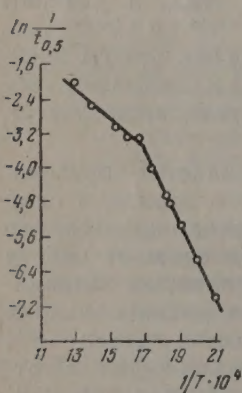
Растворение Li_2O , как уже отмечалось, снижает скорость адсорбции газов-доноров электронов и делает NiO не способной к адсорбции газов CO и C_2H_2 при содержании 0,4—0,8 ат. %; в то же время избыточный кислород в количестве, вызывающем равное изменение в величине электропроводности и ее энергии активации, слабо влияет на химическую адсорбцию этих газов. При растворении Li_2O в NiO и ZnO образуются твердые растворы замещения, в которых часть катионных узлов, принадлежащих катионам Ni^{2+} и Zn^{2+} , занята катионами Li^+ с пониженным зарядом. В этих узлах заряд соседних ионов кислорода некомпенсирован. Катионы с аномальным некомпенсированным зарядом создают сильное электростатическое поле, связывающее катионы Ni^{3+} , имеющиеся в эквивалентных литию количествах в NiO , и катионы (Zn^+) междузельные в ZnO . Сочетание катионов в $\text{Li}^+\text{Ni}^{3+}$ и Li^+Zn^+ междузельные создает акцепторные примесные уровни, которые, будучи заняты электронами, освобождают катионы Ni^{3+} или дырки в NiO и связывают свободные электроны в ZnO ; в первом случае электропроводность растет, во втором — снижается.

Занятие электроном акцепторного уровня сопровождается образованием около катиона лития избыточного отрицательного заряда в один электрон, нарушающего периодический потенциал. Предполагается, что электростатическое поле этого заряда на поверхности снижает работу выхода электрона в близлежащих катионных узлах, занятых катионами Ni^{2+} , что способствует адсорбции газов-акцепторов, захватывающих электроны, так как при этом вблизи катиона Li^+ создается катион Ni^{3+} , связывающийся электростатическим полем, в то время как заряд обратного знака на адсорбированной молекуле взаимодействует с ним слабее из-за большего расстояния. Чем ближе катион Ni^{2+} к катиону Li^+ , тем выше его адсорбционная способность. Экспериментально обнаружено снижение энергии активации адсорбции кислорода при растворении Li_2O в NiO и ZnO . С ростом концентрации лития сверх 0,8 ат. % начальная скорость адсорбции кислорода на NiO снижается. Это снижение происходит вследствие взаимодействия между катионами Li^+ и удаленными на максимальные расстояния катионами Ni^{3+} , расположенными при этой концентрации на расстоянии 2—3 катионных узлов. Предполагается, что в ZnO наиболее активными центрами адсорбции кислорода с низкой энергией активации адсорбции являются катионы Zn^+ или свободные электроны на поверхности, находящиеся в зоне влияния электростатического поля аниона O^{2-} вблизи катиона Li^+ с некомпен-

сированным зарядом. Это объясняет, почему несмотря на рост объемной концентрации свободных электронов при растворении Ga_2O_3 в ZnO скорость адсорбции кислорода не увеличивается, в то время, как при растворении Li_2O несмотря на снижение концентрации свободных электронов, скорость адсорбции кислорода возрастает в несколько десятков раз вследствие снижения минимальной энергии активации адсорбции. Для количественного согласования влияния растворенного лития на адсорбцию NiO и ZnO необходимо допустить, что каждый катион лития на поверхности создает не один, а несколько активных центров с пониженной энергией активации адсорбции.

Каталитическая активность твердых растворов NiO и ZnO , как будет видно из дальнейшего, полностью определяется изменением закономерностей химической адсорбции вследствие изменения характера неоднородности активной поверхности при введении в решетку катионов с аномальным зарядом.

Окисление CO . Окисление CO на NiO и ее твердых растворах исследовалось многими авторами. Сазонова, Рогинский и автор [4] установили, что растворение окисла лития в NiO снижает каталитическую активность NiO по отношению окисления CO . Исследование кинетических закономерностей показало, что скорость окисления зависит от давления CO в дробной степени, близкой к половине, и не зависит от давления кислорода при изменении соотношения компонентов от небольшого недостатка до многократного избытка по сравнению со стехиометрическим. Это согласуется с предположением об адсорбции CO как стадии, определяющей скорость окисления. Полученные данные полностью объясняются влиянием растворения окислов Li_2O и Fe_2O_3 на химическую адсорбцию CO , кислорода и взаимного влияния адсорбции кислорода на адсорбцию CO . Энергия активации адсорбции CO не могла быть измерена, но для аналогичного газа-донора электронов ацетилена, при растворении окисла лития, минимальная энергия активации адсорбции сильно возрастала. Парравано [2] также обнаружил снижение скорости окисления CO и рост энергии активации этого процесса при растворении Li_2O в NiO .

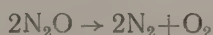


Фиг. 2. Зависимость $\ln k = \ln \frac{1}{t_{0,5}}$ для процесса окисления CO от обратной абсолютной температуры на NiO (0,8 ат. % Li) (по данным Сазоновой)

Расхождение с данными Шваба и Блока [3], обнаруживших обратное влияние растворения Li_2O на окисление CO , по-видимому связано с методическими причинами. Судя по приведенной авторами [3] зависимости логарифма константы скорости окисления CO от обратной температуры, образцы $\text{NiO}(\text{Li}_2\text{O})$, как и в нашем исследовании [4], были значительно ниже по активности, чем образцы $\text{NiO}(\text{Cr}_2\text{O}_3)$. Энергии активации для образцов $\text{NiO}(\text{Cr}_2\text{O}_3)$ и $\text{NiO}(\text{Li}_2\text{O})$ измерялись в различном интервале температур; для первых — ниже 300° , для вторых — выше; активность NiO вообще не измерялась; для нее, по-видимому, используются данные Парравано. Сазоновой [20] показано, что при температуре (325°) на прямой, изображающей зависимость логарифма константы скорости от обратной абсолютной температуры, имеется излом (фиг. 2). Энергия активации окисления CO , равная на NiO (0,8 ат. % Li) в интервале температур от 200 до 325° 17 ккал/М снижается в интервале температур 325 — 450° до 7 ккал/М. Измерения Сазоновой, Рогинского и автора [4] на твердых растворах различного состава приводились в интервале температур от комнатной до 350° , в котором энергия активации окисления не изменяется. Растворение Cr_2O_3 в NiO почти не изменяет энергию активации.

Окисление CO на ZnO и ее твердых растворах исследовалось Чижиковой и автором [18, 19]. Энергия активации окисления CO повышается при растворении Li₂O и слегка снижается при растворении Ga₂O₃. Несмотря на количественные расхождения этих данных с полученными, для той же системы Швабом и Блок [3], качественно они совпадают. Эти результаты, так же как и для NiO, могут быть объяснены снижением скорости адсорбции CO, так как при растворении 0,5 ат. % Li адсорбция CO отсутствует вплоть до высоких температур. Специальными опытами было показано, что адсорбция CO на этом образце может быть инициирована предварительной адсорбцией кислорода. Установлено, что скорость окисления на ZnO зависит от давления кислорода и CO. Для стехиометрической смеси выполняется закон первого порядка по суммарному давлению. Дробный порядок зависимости скорости окисления от давления CO и кислорода свидетельствует в пользу механизма образования CO₂ через взаимодействие адсорбированных CO и O₂. Предварительная адсорбция кислорода, облегчая адсорбцию CO, вместе с тем не устраняет снижения скорости адсорбции CO при растворении окисла лития.

Распад N₂O. Распад закиси азота протекает по суммарному уравнению

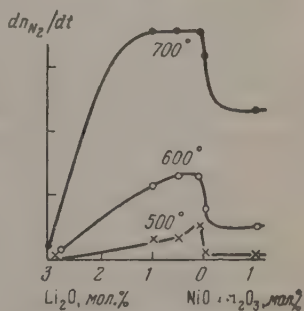


Установлено, что электропроводность NiO во время распада N₂O в смеси с кислородом и азотом выше, чем в отсутствие N₂O в тех же условиях [15]. Для ZnO имеет место обратное, т. е. увеличение электропроводности [16]. Закись азота, судя по этим данным, является акцептором электронов. Влияние посторонних катионов на распад закиси азота зависит от механизма процесса и наиболее медленной стадии.

Распад N₂O на NiO. Хауффе, Энгель и Гланг [5] исследовали распад N₂O на NiO и ее твердых растворах. Растворение Li₂O увеличивает скорость распада N₂O. Это увеличение проходит через максимум при растворении приблизительно 0,5 мол. % Li

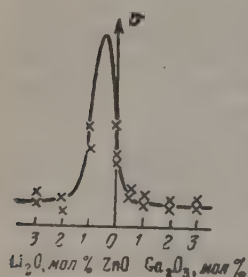
(1 ат. % Li), затем скорость снижается и при содержании 3 мол. % делается ниже, чем на исходной NiO. Растворение In₂O₃ в количестве 1 мол. % также снижает активность NiO по отношению распада N₂O. На фиг. 3 представлены кривые, характеризующие изменение скорости распада N₂O в зависимости от содержания в ней индия и лития, при различных температурах. Сравнение кривых для зависимости скорости адсорбции газа-акцептора электронов кислорода от содержания растворенного лития и железа в NiO (фиг. 1) с кривыми на фиг. 3 указывает на их сходство. Это делает вероятным предположение, что стадией, лимитирующей скорость распада N₂O, является адсорбция закиси азота, скорость которой зависит от содержания растворенных примесей, аналогично адсорбции кислорода. Такое представление вполне согласуется с первым порядком зависимости скорости разложения закиси азота от его давления, обнаруженном на опыте. Аналогичная связь между адсорбцией газов-акцепторов электронов и разложением N₂O существует и на ZnO, принадлежащей к электронным полупроводникам.

Распад N₂O на ZnO. Вагнер [6] исследовал распад N₂O на ZnO и ее твердом растворе, содержащем 1 мол. % Ga₂O₃. Растворение Ga₂O₃ увеличивает электропроводность, влияние же его на распад N₂O, изучав-



Фиг. 3. Зависимость скорости разложения закиси азота на NiO и ее твердых растворах от молярного содержания Li₂O и In₂O₃ (по данным Хауффе и Энгель) $P_{N_2O} = \text{const}$

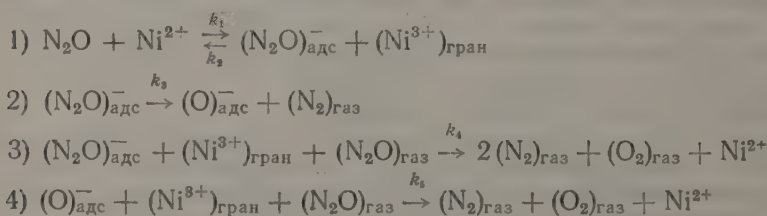
шея выше 600°, обнаружить не удалось. В более позднем исследовании Шваба и Блока [3] обнаружено, что растворение Li_2O в небольших количествах сильно увеличивает скорость распада N_2O , при дальнейшем увеличении его она снижается. Оптимальное количество лития, при котором имеет место максимальная скорость распада N_2O , лежит в области концентраций 0,5—0,7 мол. % Li_2O . Растворение окисла галлия в ZnO слегка снижает скорость разложения N_2O . На фиг. 4 представлена зависимость скорости разложения N_2O на ZnO от содержания рас-



Фиг. 4. Зависимость скорости разложения закиси азота на ZnO и ее твердых растворах от содержания Li_2O и Ga_2O_3 в молярных % (по данным Шваба и Блока)

творенных окислов лития и галлия (по данным Шваба и Блока). Для адсорбции кислорода, по данным Чижиковой и автора, в одном случае для партии образцов твердых растворов ZnO с окислом лития наблюдался максимум начальной скорости адсорбции кислорода при содержании 0,5 ат. % Li [18]. Этот результат не воспроизводился в дальнейшем для образцов того же состава, приготовленных из другого карбоната цинка. Для других партий различного приготовления наблюдался рост начальной скорости адсорбции кислорода с ростом концентрации лития. Количество поглощенного кислорода при содержании в ZnO 9 ат. % лития превышало монослой. Возможно, что имело место объемное поглощение кислорода, связанное с наличием фазы (LiZn) , обнаруженной Кушнарским при рентгеноструктурном исследовании этого образца [19].

Наличие максимума для скорости разложения закиси азота при содержании 0,5 ат. % лития может быть связано с совпадением исследовавшихся образцов с теми, для которых наблюдается максимум в адсорбции кислорода. Однако более вероятно предположить другую причину наблюдаемой зависимости, а именно, влияние отравления сильно адсорбирующимся кислородом, выделяющимся при разложении закиси азота, которое снижает адсорбцию N_2O на образцах, содержащих более высокую концентрацию лития, на которых наблюдается более сильная адсорбция кислорода. Таким образом, и в этом случае наблюдаемые сложные зависимости в изменении скорости распада закиси азота могут быть объяснены изменением скорости адсорбции N_2O , которая, по-видимому, является стадией, лимитирующей скорость каталитического процесса. Это согласуется с установленным экспериментально первым порядком по давлению закиси азота для скорости распада [6]. Скорости распада N_2O на NiO и ZnO , согласно этой гипотезе, лимитируется стадией адсорбции закиси азота. Для объяснения вида зависимости скорости распада N_2O от содержания примесей, растворенных в NiO и ZnO (фиг. 3 и 4), Хауффе и Шлоссер [21] дана теория этих процессов, содержащая ряд гипотез. Предполагается, что на NiO имеет место следующий стадийный механизм:



Исходя из этого стадийного механизма при помощи метода стационарных концентраций Боденштейна, Хауффе и Шлоссер выводят урав-

ение для скорости распада закиси азота, в которое входят уровень Ферми, характеризующий катализатор, и локальный уровень хемосорбированной молекулы N_2O . Существенным для вывода является введение при взаимодействии газообразных молекул с поверхностью множителя, названного фактором Ферми. Этот фактор, по мнению авторов, оказывает долю не связанных с электронами молекул N_2O на поверхности и зависит от соотношения уровня Ферми и локального уровня адсорбируемой молекулы. Если локальный уровень выше уровня Ферми, то фактор Ферми стремится к единице, если ниже, то стремится к нулю. Выведенное уравнение для скорости распада закиси азота имеет следующий вид:

$$\frac{dn_{N_2}}{dt} = KP_{N_2O} \gamma \exp(-\Delta E_0 e/kT) \left[1 - \frac{1}{1 + K_3 \exp(\Delta \gamma_{1+} - VD) e/kT + K_4 P_{N_2O} \gamma} \right], \quad (1)$$

где γ — фактор Ферми,

$$\gamma = \frac{1}{1 + \exp[(\Delta \gamma_{1+} - \Delta E_0 - V_D) e/kT]}. \quad (2)$$

Предполагая, что $\{1 - K_3 \exp(\Delta \gamma_{1+} - VD) e/kT\} \gg K_4 P_{N_2O} \gamma$, приближенное уравнение имеет вид:

$$\frac{dn_{N_2}}{dt} \approx K^* P_{N_2O} \exp(-\varphi_1) \Phi_2 \Phi_3, \quad (3)$$

где

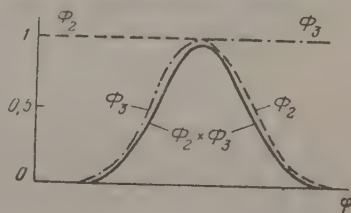
$$\varphi = (\Delta \gamma_{1+} - V_D) e/kT; \quad \Delta E_0 e/kT = \varphi_1 \text{ и } \ln 1/K^* = \varphi_2,$$

$$\Phi_2 = \frac{1}{1 + \exp(\varphi - \varphi_1)} \quad \Phi_3 = \frac{1}{1 + \exp(-\varphi + \varphi_2)}$$

величина φ зависит от уровня Ферми и величины загиба зон, связанной с адсорбцией. Факторы Φ_2 и Φ_3 зависят от φ и изменяются в противоположных направлениях.

На фиг. 5 показано изменение Φ_2 и Φ_3 в зависимости от φ . Можно видеть, что произведение этих величин проходит через максимум. Следует отметить, что авторы теории рассмотрели только случай, когда величины φ_1 и φ_2 одного порядка, но $\varphi_2 > \varphi_1$. Если имеет место обратное, т. е. $\varphi_1 > \varphi_2$, то скорость распада должна уменьшаться до нуля. Фактор Φ_2 связан с адсорбцией, так как в него входит параметр φ , характеризующий высоту локального уровня адсорбируемой молекулы. Фактор Φ_3 связан с процессом десорбции. Таким образом, данная теория не может объяснить вид наблюдаемой нами зависимости скорости адсорбции O_2 от содержания Li_2O в NiO , представленной на фиг. 1.

Авторы не в состоянии объяснить ускорение распада N_2O при растворении Li_2O в n -полупроводнике ZnO . Согласно их уравнению, должно иметь место ускорение распада при растворении Li_2O_3 . Вагнер, как отмечалось, обнаружил небольшое ускорение распада N_2O при 625° при растворении Ga_2O_3 в ZnO . Шваб и Блок получили противоположные результаты. Влияние растворения окисла лития в этом случае Хауффе и Шлоссера пытаются объяснить, предполагая, что во внешнем граничном слое имеет место обращение электронной проводимости в дырочную, усиливающееся при снижении уровня



Фиг. 5. Изменение факторов Φ_2 и Φ_3 от скорости разложения закиси азота на NiO , согласно теорий Хауффе и Шлоссера

Ферми. Искусственность и необоснованность такого предположения очевидна. Сходство в закономерностях изменения химической адсорбции газов-акцепторов электронов и распада N_2O , при растворении Li_2O в NiO , делает более вероятным объяснение наблюдаемых зависимостей как следствия в изменении скорости адсорбции N_2O .

Обмен водорода и дейтерия. Этот каталитический процесс исследовался на ZnO и ее твердых растворах Молилари и Парравано [9], затем Хекельсберг, Кларк и Бейль [8]. В этих двух исследованиях было обнаружено, что растворение окисла лития в ZnO снижает каталитическую активность ZnO по отношению реакции обмена водорода и дейтерия. Растворение окислов трехвалентных металлов Al_2O_3 и Cr_2O_3 повышает ее.

Влияние растворения окисла лития объясняется Хауффе [15] как результат замедления стадии десорбции, требующей свободных электронов. Предполагается, что скорость адсорбции водорода и D_2 велика и не может быть стадией, определяющей скорость обмена. Влияние растворения Li_2O на адсорбцию газов-доноров электронов на ZnO , согласно данным Чижиковой и автора, делает такое объяснение неправдоподобным. Скорость адсорбции CO -газа донора электронов сильно снижается при растворении окисла лития, при содержании, соответствующем 0,5 ат. % Li , она практически прекращается. Газы, принадлежащие к одной группе в отношении направления электронного перехода, как было показано, имеют сходные закономерности. По этой причине адсорбция водорода по аналогии с адсорбцией CO , при растворении Li_2O в ZnO , должна замедляться. Снижение скорости адсорбции должно привести к снижению скорости обмена.

ВЫВОДЫ

Сопоставление изменения закономерностей химической адсорбции газов-акцепторов и доноров электронов с каталитической активностью для процессов с газами того же типа показало, что изменение каталитических свойств NiO и ZnO и их твердых растворов может быть полностью объяснено влиянием растворения окислов Li_2O , Ga_2O_3 , Fe_2O_3 и т. д. на химическую адсорбцию. Изменение химической адсорбции предполагается связанным с влиянием катионов с аномальным зарядом в узлах решетки на статистику активных центров на поверхности.

Институт физической химии
Академии наук СССР

Поступило
19.VII.1958

ЛИТЕРАТУРА

1. E. G. W. Verwey, P. W. Haayman, F. C. Romeyn, G. W. Oosterhout, Res. Rep. 5, 173 (1950); Chem. weekbl. 44, 705 (1948).
2. G. Parravano, J. Amer. Chem. Soc. 75, 1448, 1452 (1953).
3. G. M. Schwab, J. Block, Z. Phys. Chem. 1, 92 (1955); Z. Elektrochem. 58, 756 (1954).
4. Н. П. Кейер, С. З. Рогинский и И. С. Сазонова, Докл. АН СССР 105, 839 (1956); Изв. АН СССР, серия физ. 21, 183 (1957).
5. K. Hauffe, R. Glang, H. J. Engell, Z. phys. Chem. 201, 223 (1952).
6. J. Wagner, J. Chem. Phys. 18, 69 (1950).
7. G. M. Schwab, G. Hartmann, Z. phys. Chem. 6, 56, 72 (1956).
8. A. Clark, Industr. and Engng Chem. 45, 1476 (1953); L. F. Heckelsberg, A. Clark, G. C. Bailey, J. Phys. Chem. 60, 559 (1956).
9. E. Molinari, G. Parravano, J. Amer. Chem. Soc. 75, 5233 (1953).
10. Ф. Ф. Волькенштейн, Ж. физ. химии 23, 281 (1949); 27, 159, 167 (1953); 28, 422 (1954); Проблема кинетики и катализа 8, 79 (1955); Ф. Ф. Волькенштейн, В. Л. Бонч-Бруевич, Ж. физ. химии 28, 1169 (1954).
11. K. Hauffe, H. J. Engell, Z. Elektrochem. 56, 366 (1952); H. J. Engell, K. Hauffe, Z. Elektrochem. 57, 762 (1953).
12. P. Aigrain, C. Dugas, Z. Elektrochem. 56, 363 (1952); P. Aigrain, C. Dugas, J. Germain, Compt. rend. 232, 1100 (1951).

3. P. B. Weisz, J. Chem. Phys. **21**, 1531 (1953); **20**, 1483 (1952).
 4. M. Boudarf, J. Amer. Chem. Soc. **74**, 1531 (1952).
 5. K. Hauffe, Advances in Catalysis **7**, 213 (1955).
 6. Н. П. Кейер и Л. Н. Куцева, Докл. АН СССР **117**, 259 (1957); Изв. АН СССР. Отд. хим. н. **1959**, 797.
 7. Л. Н. Куцева и Н. П. Кейер, Проблемы кинетики и катализа, **10**, 82 (1960).
 8. Н. П. Кейер и Г. И. Чижилова, Докл. АН СССР **120**, 830 (1958); Г. И. Чижилова и Н. П. Кейер, Проблемы кинетики и катализа, **10**, 77 (1960).
 9. Н. П. Кейер, Диссертация, Ин-т физ. химии АН СССР, М., 1959.
 10. И. С. Сазонова, Диссертация, Ин-т физ. химии АН СССР, М., 1958.
 11. K. Hauffe, E. G. Schlosser. Z. Elektrochem. **61**, 506 (1957).
-

А. А. БАЛАНДИН и Н. П. СОКОЛОВА

КИНЕТИЧЕСКОЕ ОПРЕДЕЛЕНИЕ ЭНЕРГИЙ СВЯЗИ АТОМОВ Н, С и О С КАТАЛИЗАТОРОМ V_2O_5

Для разработки научных основ подбора катализаторов необходимо накопление данных по энергиям связи реагирующих атомов с атомами катализатора. Согласно кинетическому методу, разработанному одним из авторов [1], для определения величин указанных энергий связи требуется знать энергии активации нескольких реакций на одном и том же катализаторе. В настоящей работе было проведено кинетическое исследование реакций дегидрогенизации углеводородов, а также дегидрогенизации и дегидратации спиртов над окислами ванадия с целью изыскания возможности определения энергий связи Н, С и О с этими катализаторами. Работа составляет звено в ряду исследований, поставленных авторами с целью сравнения каталитических свойств окислов ванадия, ниобия и тантала.

Ванадий в виде его окислов является одним из распространенных катализаторов. Пятиокись ванадия известна главным образом как катализатор окисления [2]. Реже встречаются указания на использование окислов ванадия в качестве катализаторов дегидрогенизации твердых и жидких парафиновых углеводородов и масел [3], гидрогенизации нафталина [4], дегидрогенизации циклогексана [5]. Катализаторы, содержащие окислы ванадия, проводят реакции ароматизации парафиновых углеводородов [6—8]. С целью исследования ароматизирующих свойств окислованадиевого катализатора, отложенного на Al_2O_3 , Платэ с сотрудниками [9] провел подробное изучение поведения над этим катализатором н. гептана [10], а также углеводородов ряда цикlopentана [11] и ряда циклогексана [12]. Во всех случаях определялись кажущиеся энергии активации реакции ϵ . Дегидрогенизация циклогексана протекает не гладко, для суммарного процесса $\epsilon = 38,9$ ккал/М. Дегидрогенизацию циклогексана над окислованадиевым катализатором проводили также Тейлор и Иедданапалли [13], которые нашли для различных образцов $\epsilon = 25—30$ ккал/М. В отношении спиртов V_2O_5 оказывает как дегидрирующее, так и дегидратирующее действие [14, 15]; при этом интересно отметить одновременное образование парафиновых углеводородов с тем же числом углеродных атомов, что и исходные спирты [15]. В зависимости от способа приготовления катализатора меняется соотношение процессов дегидрогенизации и дегидратации.

Предварительная обработка V_2O_5 водородом повышает дегидрирующую способность катализатора как в отношении углеводородов, так и в отношении спиртов [5, 6, 16, 17]; при этом способ приготовления V_2O_5 и его предварительное прокаливание до обработки водородом также влияет на активность восстановленных образцов [16]. По мере восстановления пятиокиси ванадия, как будет показано ниже, катализатор приобретает способность проводить дегидрогенизацию углеводородов практически, без побочных процессов, так что становится возможным определение энергии активации реакции.

ЭКСПЕРИМЕНТАЛЬНАЯ ЧАСТЬ

В проведенной работе в качестве катализатора реакций дегидрогенизации углеводородов, дегидрогенизации и дегидратации спиртов сначала была исследована пятиокись ванадия, приготовленная следующим образом: ванадат аммония х. ч. прокаливался в фарфоровой чашке при 400° в течение 2 час. до получения желтой порошкообразной V_2O_5 . Часть порошка смешивалась с небольшим количеством дистиллированной воды; из полученной массы формовались небольшие кусочки (3—5 мм) в виде пирамид, которые высушивались в сушильном шкафу при 110° в течение 3 час. В таком виде приготовленный катализатор брался всегда в количестве 6 мл (насыпной объем).

Опыты проводились в проточной каталитической установке (диаметр трубки 17 мм), снабженной устройством для автоматической подачи жидкости с постоянной скоростью и эвдиометром для измерения (при атмосферном давлении) объема газов, выделяющихся в результате реакции. Все газовые объемы приводились к НТД. Температура измерялась хромель-алюмелевой термопарой, помещенной в кварцевом кармане в середине слоя катализатора, с точностью до $\pm 0,5^\circ$. Скорость подачи жидкости во всех опытах составляла 0,15 мл/мин.

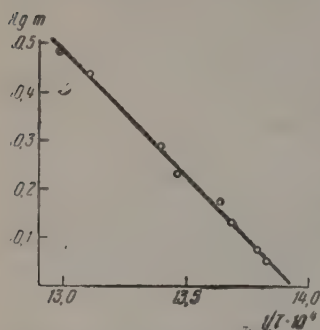
Предварительные опыты, проведенные с циклогексаном [т. кип. $80,7^\circ$ (755 мм), n_D^{20} 1,4265] и с н. гептаном [т. кип. $98,3^\circ$ (760 мм), n_D^{20} 1,3875] над пятиокисью ванадия в интервале температур 450 — 500° как в атмосфере воздуха, так и в атмосфере азота (т. е. после предварительной промывки системы этими газами), показали, что данные углеводороды над V_2O_5 дегидрируются очень слабо. При малом общем количестве выделяющегося газа (3,0—4,0 мл/мин) в нем содержится, в случае циклогексана (в атмосфере воздуха), уже при 470° до 25% предельных углеводородов, остальное практически водород, количество CO , CO_2 и непредельных колеблется в пределах 0,3—0,7%; в случае н. гептана, в отличие от циклогексана, содержится уже до 33,5% непредельных углеводородов, 36% предельных, большое количество CO и CO_2 (20—32%) и 7—8% водорода. В атмосфере азота н. гептан также претерпевает крекинг. При 465° газ состоит из 50% предельных, 25% непредельных углеводородов и 24% водорода. При этом с повышением температуры количество водорода в газе увеличивается за счет дегидрирования предельных углеводородов. Так, уже при 520° газ содержит 27% предельных углеводородов, 35% водорода, 41,5% непредельных и 0,7—0,8% CO и CO_2 . Следует отметить, что при дегидрогенизации циклогексана и н. гептана над V_2O_5 происходит одновременное восстановление последней (частично до V_2O_3).

В силу всего указанного этот катализатор не удовлетворял необходимым требованиям: результаты не могли быть использованы для точного определения энергии активации реакции дегидрогенизации этих соединений. Поэтому было проведено более детальное исследование действия обработанной водородом пятиокиси ванадия, которая получалась описанным выше способом. Наилучшие результаты были достигнуты при исследовании катализатора, восстановленного при 416 — 417° сухим очищенным от кислорода электролитическим водородом в течение 7 час. в проточной каталитической установке. При таком восстановлении, согласно рентгеновскому анализу, получается V_2O_3 .

Над V_2O_3 дегидрогенизация циклогексана протекает, хотя и с небольшим выходом (см. ниже), но не сопровождается заметными процессами разложения. В опытах, при 450° , газ состоит из 99,3% H_2 и 0,5% предельных углеводородов; повышение температуры незначительно изменяет состав газа: при 498° последний содержит до 97% H_2 , 2% предельных и 0,2—0,3% непредельных углеводородов. Недовосстановленные полностью до V_2O_3 образцы катализаторов, как это будет указано дальше, дают уже другие результаты. Поэтому в качестве основного катализато-

ра для исследования был взят получаемый указанным выше способом V_2O_3 (образец 1).

Дегидрогенизация циклогексана над V_2O_3 (образец 1) проводилась в описанных выше условиях в интервале температур 450—500°. Количество выделяющегося газа измерялось в течение 25—30 мин., через 10—12 мин. от начала опыта, после установления стационарного состояния. После 30—50 мин. работы, в зависимости от температуры опыта, активность катализатора постепенно снижается (при 450° активность сохраняется более длительное время), при этом она не восстанавливается ни при длительной регенерации катализатора водородом (до 10 час.), как при температуре опыта, так и при более высокой температуре, ни при окислении углистой пленки воздухом с последующим восстановлением катализатора при соответствующей температуре. Проведение опытов в атмосфере азота, после предварительной промывки системы сухим очищенным азотом, несколько стабилизирует активность, не влияя на нее



Фиг. 1. Дегидрогенизация циклогексана над V_2O_3 ;
 $\epsilon = 23\ 800$ кал/М

в количественном отношении. Однако, если и в этом случае катализатор теряет активность, то последняя также не восстанавливается регенерацией. Поэтому в большинстве случаев для каждого опыта бралась свежая порция катализатора, исходная активность которого проверялась при 450°. В опытах, проводимых в атмосфере азота, имелась возможность после работы при нескольких исследуемых температурах подтвердить постоянство активности при 450° (опыты 50, 51, 52, 53, табл. 1).

Результаты по дегидрогенизации циклогексана представлены в табл. 1 и на фиг. 1. Номера опытов в этой и следующих таблицах соответствуют последовательности их проведения. Величина m представляет собой количество выделяющегося H_2 в мл/мин (с учетом результатов газового анализа), деленное на 3, так как 1 М циклогексана выделяет 3 М H_2 . На

Таблица 1

Дегидрогенизация циклогексана над V_2O_3

Объем катализатора 6 мл; скорость подачи циклогексана 0,15 мл/мин; средн. $lg k_0$ 6,477;
 $\epsilon = 23\ 800$ кал/М

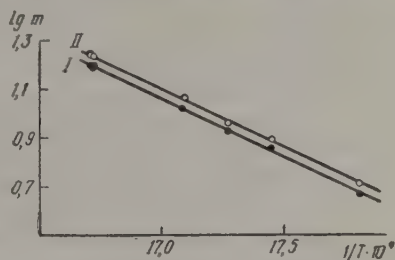
| Номер опыта | Температура опыта в °С | m , в мл/мин НТД | m , в мл/мин, мл катализатора | m , вычисл. по ϵ и средн. $lg k_0$ | $\epsilon \cdot 10^{-3}$ $lg k$ | Степень превращения в % |
|-------------|------------------------|--------------------------|---------------------------------------|--------------------------------------------------------|------------------------------------|-------------------------------|
| 33* | 450 | 1,16 | 0,193 | 0,186 | 3,67 | 3,7 |
| 60* | 450 | 1,06 | 0,176 | 0,186 | 3,69 | 3,4 |
| 50* | 450 | 1,13 | 0,186 | 0,186 | 3,68 | 3,6 |
| 57* | 450 | 1,13 | 0,186 | 0,190 | 3,68 | 3,6 |
| 40 | 451 | 1,16 | 0,193 | 0,193 | 3,67 | 3,7 |
| 53 | 452 | 1,20 | 0,200 | 0,193 | 3,67 | 3,9 |
| 41 | 458 | 1,36 | 0,226 | 0,230 | 3,67 | 4,4 |
| 51 | 460 | 1,50 | 0,250 | 0,230 | 3,66 | 4,9 |
| 76 | 470 | 1,70 | 0,283 | 0,290 | 3,68 | 5,5 |
| 52 | 473 | 1,93 | 0,320 | 0,310 | 3,68 | 6,2 |
| 21 | 490 | 2,73 | 0,453 | 0,440 | 3,68 | 8,8 |
| 75 | 496 | 3,00 | 0,500 | 0,500 | 3,67 | 9,7 |
| 70 | 498 | 3,06 | 0,510 | 0,510 | 3,67 | 9,9 |

*Контрольные опыты, подтверждающие постоянство активности катализатора в течение серии опытов.

основании полученных данных определена энергия активации дегидрогенизации циклогексана над V_2O_5 , константа действия и величина $\frac{e}{\lg k_0}$; полученное значение последней указывает на дублетный механизм протекающей реакции.

Превращение изопропилового спирта. Опыты с изопропиловым спиртом проводились в интервале температур $290-350^\circ$ над свежими порциями катализатора (образец 1), который готовился неоднократно. Результаты представлены в табл. 2. Опыты над разными порциями катализатора в этой и следующих таблицах разделены чертой. Из табл. 2 видно, что при всех исследованных температурах протекает дегидратация и дегидрогенизация спирта. Газ содержит также до 80—83% предельных углеводородов. Последние могли образоваться как за счет процессов разложения, так и за счет вторичной реакции гидрирования непредельных углеводородов, образующихся в результате дегидратации спирта, водородом, получающимся при дегидрогенизации спирта. Анализ предельных углеводородов показал, что они состоят практически только из пропана (на 98,8—99,5%), а непредельные — из пропилена, что говорит в пользу вторичной реакции. Аналогичные данные получил Комаревский со спиртами над V_2O_5 [15]; при этом позднее [18] им было показано, что над окислованадиевым катализатором происходит гидрирование непредельных углеводородов. Поэтому нам представлялось возможным из процентного содержания пропана в газе рассчитать количество образующихся в результате первичной реакции пропилена и водорода, что в сумме с количеством оставшихся в газе пропилена и водорода дает их общее количество. Таким образом, можно было рассчитать степень превращения спирта по реакции дегидрогенизации и дегидратации в отдельности. Количество ацетона в катализате соответствовало проценту дегидрогенизации спирта, рассчитанному из количества выделяющегося водорода, определенного указанным выше способом. Так, в опытах 14 и 15 (табл. 2) степень дегидрогенизации, рассчитанная по H_2 , составляет соответственно 19,40 и 24,50%, рассчитанная по ацетону в катализате — 19,35 и 24,00%.

В табл. 2 приведено общее количество образующихся в реакции пропилена и водорода, определенных указанным выше способом. Из табл. 2 видно, что реакции дегидрогенизации и дегидратации изопропилового спирта над V_2O_5 выше 327° протекают с большим выходом (опыты 3, 4, 6); это не дает возможности правильно рассчитать энергии активации, используя $\lg m$ (где m — количество газа, выделяющееся в мл/мин) вместо $\lg k$ в уравнении Аррениуса. Однако энергии активации могли быть рассчитаны из результатов определений в опытах 1, 2, 5, где степень превращения не превышала 30%. Энергии активации дегидратации и дегидрогенизации изопропилового спирта над V_2O_5 оказываются равны между собой и составляют 20,9 ккал/М. Так как определение энергии активации по трем опытам могло быть неточным, была проведена целая серия опытов с изопропиловым спиртом в интервале $288-327^\circ$ над свежей порцией катализатора образца 1. Результаты представлены в средней части табл. 2 и на фиг. 2. Энергии активации дегидрогенизации и дегидратации спирта в этом случае также получились практически одинаковыми как между собой, так и с энергиями активации, определенными



Фиг. 2. Дегидрогенизация (I) и дегидратация (II) изопропилового спирта над V_2O_5 ;

I — $e = 20\,600$ ккал/М; II — $e = 20\,900$ ккал/М

Таблица 2

Превращение изопропилового спирта над V_2O_5
Объем катализатора 6 мл; скорость подачи спирта 0,15 мл/мин

| Номер опыта | Температура опыта в °С | V введ. газа в мл/мин НТД | Дегидратация спирта | | | | Дегидрогенизация спирта | | | | | | Анализ газа в % | | | | |
|-------------|------------------------|------------------------------|--------------------------------------|--------------------------------------------------------------|---------------------------------|-------------------------|---------------------------------|---------------------------------------------------------|---------------------------------|-------------------------|-----------------------------------|------------|-----------------|-----------------|----------------|-----|------|
| | | | $m_{C_2H_5OH}$ в мл/мин катализатора | $m_{C_2H_5OH}$ в мл/мин выч. по ϵ и средн. $lg k_0$ | $\epsilon \cdot 10^{-3} lg k_0$ | степень превращения в % | m_{H_2} в мл/мин катализатора | m_{H_2} в мл/мин выч. по ϵ и средн. $lg k_0$ | $\epsilon \cdot 10^{-3} lg k_0$ | степень превращения в % | H_2 | C_2H_5OH | CO | CO ₂ | $C_2H_5OH + 2$ | | |
| 2 | 302 | 6,4 | 6,1 | 1,02 | 1,02 | 2,62 | 13,9 | 5,6 | 0,93 | 0,94 | 2,64 | 12,8 | 4,0 | 12,0 | 0,2 | 0,6 | 83,5 |
| 5 | 326 | 13,6 | 12,8 | 2,13 | 2,13 | 2,62 | 29,2 | 11,8 | 1,96 | 1,95 | 2,64 | 27,0 | 4,3 | 12,0 | 0,5 | 0,5 | 82,5 |
| 1 | 327 | 14,0 | 13,2 | 2,20 | 2,19 | 2,62 | 30,2 | 12,1 | 2,04 | 2,01 | 2,64 | 27,7 | 3,8 | 11,7 | 0,3 | 0,6 | 83,0 |
| 3 | 349 | 16,9 | 15,6 | — | — | — | 35,7 | 14,4 | 2,40 | — | — | 32,9 | 5,5 | 13,6 | 0,4 | 0,4 | 80,1 |
| 4 | 360 | 19,9 | 18,5 | — | — | — | 42,3 | 16,4 | 2,73 | — | — | 37,5 | 3,4 | 14,2 | 0,3 | 0,8 | 79,1 |
| 6 | 379 | 22,0 | 20,1 | — | — | — | 46,0 | 17,2 | 2,83 | — | — | 39,3 | 7,9 | 21,2 | 0,8 | 0,3 | 70,3 |
| | | | Среднее $lg k_0 = 7,963^{**}$; | | | | Среднее $lg k_0 = 7,924^{**}$; | | | | | | | | | | |
| 11 | 288 | 5,4 | 5,15 | 0,86 | 0,89 | 2,59 | 11,7 | 4,9 | 0,82 | 0,82 | 2,59 | 11,2 | 3,2 | 8,5 | 0,7 | 0,2 | 86,5 |
| 12 | 300 | 8,2 | 7,85 | 1,31 | 1,28 | 2,58 | 17,9 | 7,3 | 1,21 | 1,21 | 2,59 | 16,9 | 3,0 | 8,9 | 0,6 | — | 86,5 |
| 14 | 306 | 9,5 | 9,06 | 1,51 | 1,56 | 2,59 | 20,7 | 8,5 | 1,42 | 1,45 | 2,59 | 19,4 | 3,8 | 10,2 | 0,6 | — | 85,3 |
| 15 | 312 | 12,1 | 11,56 | 1,93 | 1,87 | 2,58 | 26,4 | 10,7 | 1,78 | 1,75 | 2,59 | 24,5 | 4,0 | 11,1 | — | — | 84,4 |
| 10 | 325 | 17,7 | 16,97 | 2,83 | 2,79 | 2,58 | 38,8 | 15,5 | 2,60 | 2,58 | 2,59 | 35,7 | 4,2 | 12,4 | 0,7 | — | 83,0 |
| 13 | 325*** | 17,5 | 16,63 | — | — | — | — | 15,3 | — | — | — | — | 4,2 | 12,1 | 0,8 | — | 83,0 |
| 16 | 325*** | 17,9 | 17,02 | — | — | — | — | 15,5 | — | — | — | — | 4,2 | 12,6 | 0,7 | — | 82,5 |
| | | | Среднее $lg k_0 = 8,090$; | | | | Среднее $lg k_0 = 7,948$; | | | | $\epsilon = 20 \text{ 600 кал/М}$ | | | | | | |
| 19 | 288 | 3,5 | 3,3 | 0,55 | — | 2,64 | 7,6 | 3,2 | 0,53 | — | 2,65 | 7,3 | 5,0 | 8,3 | 0,2 | 0,2 | 86,0 |
| 20 | 325 | 11,3 | 10,6 | 1,77 | — | 2,64 | 24,2 | 9,8 | 1,63 | — | 2,64 | 22,4 | 5,4 | 12,2 | 0,2 | — | 81,5 |
| | | | $lg k_0 = 7,893$; | | | | $lg k_0 = 7,698$; | | | | $\epsilon = 20 \text{ 500 кал/М}$ | | | | | | |

* Не вычислялось (см. текст). ** По опытам 1. 2. 5. *** Опыты для проверки постоянства активности катализатора.

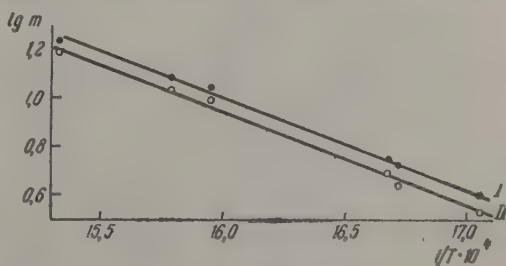
в предыдущих опытах. Несколько повышенные количества выделяющегося газа в мл/мин, по-видимому объясняются некоторым небольшим изменением в продолжительности прокаливания V_2O_5 при его приготовлении, которое, согласно указаниям работы [16]; влияет на дальнейшую активность восстановленного образца. Последним обстоятельством можно объяснить и несколько меньшую активность другой порции V_2O_5 (опыты 19, 20, табл. 2). Однако на величину энергии активации это влияния не оказывает. Энергии активации реакции дегидрогенизации и дегидратации изопропилового спирта над V_2O_3 полученные таким образом, практически одинаковы и составляют в среднем соответственно 20,9 и 20,6 ккал/М.

Можно было также предположить, что образование предельных углеводов над V_2O_3 происходит за счет непосредственного восстановления спирта образующимся при гидрогенизации водородом подобно тому, как это рассматривается в работе Стоддарта и Кембола [19] при гидрогенизации ацетона над платиной. В случае этого второго механизма общее количество образующегося в реакции водорода находится также из суммы имеющегося в газовой смеси водорода и предельных углеводов (так как на образование предельных углеводов, получающихся при восстановлении спирта, на 1 моль спирта расходуется 1 моль водорода), что также будет соответствовать количеству ацетона в катализате, а количество пропилена, характеризующее дегидратирующую способность окисла, будет соответствовать лишь количеству пропилена, находящегося непосредственно в газовой смеси. Энергия активации дегидратации в этом случае становится равной 27,5 ккал/М; в то же время энергия активации дегидрогенизации спирта не изменяется. Расчеты энергии активации производились аналогично тому, как это делалось в случае первого механизма (см. табл. 2) и не приводятся здесь из соображений экономии места.

Следует отметить, что активность катализатора в опытах с изопропиловым спиртом сохраняется значительно дольше, без какой-нибудь регенерации, чем в опытах с циклогексаном. Поэтому было возможно проведение опытов с одной и той же порцией катализатора при нескольких температурах с неоднократным возвращением к исходной температуре (325°) для проверки начальной активности. Начальная активность свежего образца проверялась также и по циклогексану при 450°. Однако катализатор, потерявший частично активность при реакции со спиртом, не поддавался регенерации, как это имело место и в опытах с циклогексаном. Кроме того, если после спирта пропустить циклогексан, который требует для своей дегидрогенизации более высокой температуры, то активность катализатора снижалась быстрее. Интересно, что, согласно рентгенограммам, катализатор, частично потерявший активность, представлял собой V_2O_3 , но более дисперсную, чем до опытов.

Превращение этилового спирта над V_2O_3 . Исследование, аналогичное описанному выше, было проведено также с этиловым спиртом над V_2O_3 (образец I). Температура опытов в данном случае была несколько выше, последние проводились в интервале 325—375° и 313—379°. Так же, как и при реак-

ции с изопропиловым спиртом, в результате реакции с этиловым спиртом имеет место образование наряду с водородом и непредельными (этиленом) большого количества предельных углеводов, состоящих, согласно анализу, практически из этана. Количество образующихся в результате реакции водорода и этилена, рассчитывались аналогично



Фиг. 3. Дегидрогенизация (I) и дегидратация (II) этилового спирта на V_2O_3 ;

I, II — $E = 19\,500$ ккал/М

Таблица 3

Превращение этилового спирта над V_2O_5
 Объем катализатора 6 мл; скорость подачи спирта 0,15 мл/мин

| Номер опыта | Температура слота в °С | V газа, мл/мин H ₂ D | Дегидратация спирта | | | | Дегидрогенизация спирта | | | | | Анализ газа в % | | | | | | | |
|-------------|------------------------|------------------------------------------|----------------------------|-------------------------------------|-----------------------------------------------------|------------------------------------------|---------------------------------------------|-----------------------|--------------------------------|------------------------------------------------|------------------------------------------|-------------------------------|-----------------|----------------------------------|-----|----------------|--------------------------------------------|--|--|
| | | | $m_{C_2H_5OH}$ в мл/мин | $m_{C_2H_5OH}$ в мл/мин затра | $m_{C_2H_5OH}$ выч. по ϵ и $\lg k_0$ | $\frac{\epsilon}{\lg k_0} \cdot 10^{-3}$ | степень превращения в % | m_{H_2} в мл/мин | m_{H_2} в мл/мин затра | m_{H_2} выч. по ϵ и $\lg k_0$ | $\frac{\epsilon}{\lg k_0} \cdot 10^{-3}$ | степень превращения в % | CO ₂ | C ₂ H ₅ OH | CO | H ₂ | C ₂ H ₅ OH+2 | | |
| | | | $\lg k_0=7,142;$ | | | | $\epsilon = 20 \text{ } 100 \text{ кал/М;}$ | | | | | $\lg k_0 = 7,407;$ | | | | | $\epsilon = 19 \text{ } 800 \text{ кал/М}$ | | |
| 80 | 326 | 4,7 | 3,8 | 0,63 | — | 2,81 | 6,6 | 4,5 | 0,75 | — | 2,79 | 7,8 | 0,4 | 2,3 | 0,9 | 16,7 | 79,2 | | |
| 84 | 375 | 16,5 | 13,6 | 2,27 | — | 2,81 | 23,8 | 15,8 | 2,63 | — | 2,79 | 27,6 | 0,5 | 3,3 | 1,0 | 16,6 | 79,5 | | |
| 85 | 326* | 4,8 | 4,1 | — | — | — | 6,7 | 4,7 | — | — | — | 8,0 | 0,4 | 1,8 | — | 14,2 | 84,1 | | |
| | | | $\lg k_0=7,142;$ | | | | $\epsilon = 20 \text{ } 100 \text{ кал/М;}$ | | | | | $\lg k_0 = 7,407;$ | | | | | $\epsilon = 19 \text{ } 800 \text{ кал/М}$ | | |
| 88 | 313 | 4,2 | 3,4 | 0,57 | 0,54 | 2,77 | 5,9 | 3,9 | 0,65 | 0,62 | 2,74 | 6,7 | 1,4 | 1,8 | 1,6 | 16,5 | 78,7 | | |
| 87 | 325 | 5,5 | 4,4 | 0,73 | 0,69 | 2,77 | 7,6 | 5,3 | 0,88 | 0,79 | 2,74 | 9,2 | — | 1,8 | 2,6 | 17,1 | 78,8 | | |
| 93 | 326* | 6,0 | 4,9 | — | — | — | 8,4 | 5,7 | — | — | — | 9,9 | 0,6 | 2,3 | 1,2 | 15,8 | 79,7 | | |
| 94 | 336 | 8,9 | 6,9 | — | — | — | — | 8,1 | — | — | — | — | Нет | 2,9 | 4,6 | 13,7 | 77,5 | | |
| 89 | 354 | 12,0 | 9,9 | 1,65 | 1,57 | 2,77 | 17,2 | 11,1 | 1,85 | 1,80 | 2,75 | 19,3 | 1,4 | 3,2 | 2,0 | 13,6 | 79,2 | | |
| 90 | 360 | 13,2 | 10,8 | 1,80 | 1,86 | 2,79 | 18,7 | 12,1 | 2,01 | 2,14 | 2,77 | 21,0 | 1,0 | 3,2 | 3,9 | 13,0 | 79,0 | | |
| 92 | 379 | 18,9 | 15,5 | 2,68 | 2,93 | 2,80 | 26,9 | 17,2 | 2,87 | 2,69 | 2,78 | 29,9 | 1,1 | 3,2 | 4,5 | 12,2 | 78,7 | | |
| | | | Среднее $\lg k_0=7,011;$ | | | | $\epsilon = 19 \text{ } 500 \text{ кал/М;}$ | | | | | Среднее $\lg k_0=7,070;$ | | | | | $\epsilon = 19 \text{ } 500 \text{ кал/М}$ | | |

* Опыты для проверки постоянства активности катализатора в течение серии опытов.

Таблица 4

Превращение изопропилового спирта над V_2O_5 , содержащим примесь высших окислов ванадия

Объем катализатора 6 мл; скорость подачи спирта 0,15 мл/мин

| Номер опыта | Темпера- тура спирта в °С | V выд. газа, в мл/мин НГД | Дегидра- тация спирта, $m_{C_nH_{2n}}$ в мл/мин | Дегидрогенизация спирта | | | Анализ газа в % | | | | | Состав катализатора по данным рентгеновского анализа | |
|----------------|------------------------------------|------------------------------------|-------------------------------------------------------------|------------------------------------------------------------------|---------------------------------------|--------------------------------------------------------|-----------------|--------------------------------|-----|----------------|----------------------------------------------------------------------------------|----------------------------------------------------------------------------------|---|
| | | | | m_{H_2} в мл/мин | m_{H_2} в мл/мин по ацетилену | количество ацетилена в расчит. катализате в % | CO ₂ | C _n H _{2n} | CO | H ₂ | C _n H _{2n+2} | | |
| 101 | 301 | 9,2 | 9,5 | $\epsilon_1 \begin{cases} 6,6 \\ 9,7 \\ 13,2 \end{cases}$ | — | — | 0,4 | 25,7 | 0,4 | 3,5 | 69,6 | V ₂ O ₃ с примесью высших окислов вана- дия (образец 2) | |
| 102 | 313 | 14,0 | 13,4 | | — | — | 0,6 | 27,1 | 0,9 | 3,7 | 66,8 | » | |
| 100 | 325 | 18,6 | — | | — | — | — | — | — | — | — | — | » |
| 103 | 325 | 19,0 | 17,9 | | — | — | 1,0 | 28,9 | 0,3 | 4,2 | 65,5 | » | |
| 104 | 288 | 3,4 | 3,2 | $\epsilon_1 \begin{cases} 2,3 \\ 6,8 \end{cases}$ | — | — | Нет | 30,1 | 1,0 | 4,2 | 65,3 | V ₂ O ₃ с примесью высших окислов вана- дия (образец 3) | |
| 105 | 325 | 12,0 | 11,3 | | — | — | 0,2 | 41,8 | 0,8 | 4,2 | 52,6 | » | |
| 109 | 290 | — | — | $\epsilon_2 \begin{cases} 4,4 \\ 6,3 \\ 9,6 \\ 13,1 \end{cases}$ | 9,95 | — | — | — | — | — | — | Катализатор доводст. до V ₂ O ₃ в про- цессе работы | |
| 107 | 300 | 7,2 | 6,84 | | 14,5 | 0,3 | 25,0 | 0,5 | 4,0 | 70,0 | V ₂ O ₃ с примесью высших окислов вана- дия (образец 4) | | |
| 106 | 310 | 10,5 | 9,06 | | 22,1 | Нет | 23,7 | 0,6 | 5,0 | 71,2 | » | | |
| 105 | 325 | 15,9 | 15,10 | | 30,1 | 0,3 | 28,5 | 2,8 | 2,0 | 66,5 | V ₂ O ₃ с примесью высших окислов вана- дия (образец 4) | | |
| 108 | 325 | 13,8 | 12,70 | $\epsilon_1 \begin{cases} 11,5 \\ 5,2 \end{cases}$ | — | — | 0,5 | 13,0 | 1,0 | 4,5 | 80,5 | V ₂ O ₃ | |
| 110 | 326 | 13,6 | — | | — | — | — | — | — | — | — | Катализатор доведен в процессе работы до V ₂ O ₃ | |
| 111 | 326 | 14,0 | 5,70 | | — | 0,8 | 12,3 | 0,6 | 2,9 | 86,8 | » | | |
| 112 | 300 | 5,8 | — | | — | — | — | — | — | — | — | » | |

ε₁ = 20 400 кал/Мε₂ = 20 200 кал/М

указанному выше, принимая во внимание сначала первый механизм образования предельных углеводородов — за счет гидрирования этилена. Как видно из результатов, указанных в табл. 3 и на фиг. 3, энергии активации дегидратации и дегидрогенизации этилового спирта над V_2O_3 оказываются одинаковыми (19,5 ккал/М) и очень близкими к энергиям активации соответствующих реакций изопропилового спирта над V_2O_3 (20,9 и 20,6 ккал/М).

Если предположить, что образование предельных происходит согласно второму механизму (непосредственного восстановления спирта), то величина ϵ дегидратации этилового спирта повышается до 26,8 ккал/М, становясь очень близкой к соответствующему значению ϵ для изопропилового спирта (27,5 ккал/М).

Таким образом в зависимости от пересчета согласно первому или второму механизму изменяется лишь величина ϵ дегидратации, при этом одинаково для обоих спиртов. Близость величин ϵ для обоих спиртов еще раз подтверждает структурные принципы мультиплетной теории катализа, а именно, одинаковую ориентацию молекул [20].

На основании полученных данных по энергиям активации дегидрогенизации и дегидратации спиртов и дегидрогенизации циклогексана можно произвести расчет энергетических барьеров реакций — $E = \frac{4}{3} \epsilon$ и энергий связей Н, С и О с каталитически активными центрами окиси ванадия (V_2O_3).

Расчет энергий связи. Расчет энергий связи производился по формулам (1) и (2) работы [21]. Величины энергий связи С—Н, С—О и О—Н взяты из монографии Коттрелла [22].

Величины энергий связи Q с катализатором, рассчитанные по ϵ для дегидрогенизации циклогексана, дегидрогенизации и дегидратации изопропилового спирта (I) и соответственно этилового спирта (II) оказываются равными:

а) с учетом первого механизма вторичной реакции:

$$(I) Q_{\text{нк}} = 54,4; Q_{\text{ск}} = 20,6; Q_{\text{ок}} = 44,9 \text{ ккал/М},$$

$$(II) Q_{\text{нк}} = 54,1; Q_{\text{ск}} = 20,6; Q_{\text{ок}} = 47,2 \text{ ккал/М}$$

б) с учетом второго механизма вторичной реакции:

$$(I) Q_{\text{нк}} = 58,5; Q_{\text{ск}} = 16,2; Q_{\text{ок}} = 40,1 \text{ ккал/М},$$

$$(II) Q_{\text{нк}} = 58,9; Q_{\text{ск}} = 15,7; Q_{\text{ок}} = 41,6 \text{ ккал/М}$$

Реакции над недовосстановленной до V_2O_3 окисью ванадия. Все приведенные выше результаты были найдены при исследовании катализатора, полученного в результате полного восстановления V_2O_5 до V_2O_3 (образец I). Наряду с этим исследовалась также активность образцов катализаторов, не восстановленных полностью до V_2O_3 (образцы 2, 3, 4), которые, согласно рентгеновскому анализу, содержали наряду с V_2O_3 промежуточные высшие окислы ванадия. Результаты опытов с изопропиловым спиртом над такими катализаторами представлены в табл. 4. Как видно из табл. 4, характер превращения изопропилового спирта в основном сохраняется: в выделяющемся газе также наблюдается большое количество предельных углеводородов. Однако в этом случае, в газе значительно повышается содержание непредельных углеводородов и дегидратация преобладает над дегидрогенизацией (расчет производился аналогично указанному выше для первого механизма).

Так как при реакции происходит довосстановление катализатора до V_2O_3 за счет выделяющегося в реакции водорода, то проработавший некоторое время катализатор снижает активность в отношении дегидратации и результаты получаются аналогичными результатам превращения изопропилового спирта над V_2O_3 (ср. опыты 105, 110 и 107, 112 в

табл. 4). Согласно рентгенограммам, катализатор действительной после работы представляет собой V_2O_3 .

Определение ацетона в катализаторе дает возможность вычислить степень дегидрогенизации спирта, которая оказывается близкой к степени дегидрогенизации, рассчитанной из данных газового анализа. Величины энергии активации дегидрогенизации, полученные из тех и других данных, оказываются практически одинаковыми (соответственно 20,2 и 20,4 ккал/М) и близкими к величинам ϵ дегидрогенизации этилового спирта над V_2O_3 (19,5 ккал/М).

Дегидрогенизация циклогексана над недовосстановленными образцами протекает с разложением; при этом очень небольшая примесь вышедших окислов к V_2O_3 приводит к тому, что в газе при дегидрогенизации циклогексана значительно повышается содержание предельных углеводородов (до 15—22%) по сравнению 1—3% над V_2O_3 .

В проведении опытов большое участие принимала лаборант З. М. Скульская. Рентгеноструктурный анализ катализаторов выполнен под руководством Р. П. Озерова в НИУИФ, за что авторы приносят ему искреннюю благодарность. Авторы благодарят также Г. В. Исагулянца за участие в обсуждении результатов.

ВЫВОДЫ

1. Исследована активность окислов ванадия в отношении дегидрогенизации циклогексана, дегидрогенизации и дегидратации этилового и изопропилового спиртов. Выяснилось, что относительная дегидрирующая и гидрирующая способность окислов ванадия возрастает как в случае спиртов, так и в случае углеводородов, по мере их восстановления до V_2O_3 , и является максимальной для V_2O_3 . Соответствующие образцы исследовались рентгенографически.

2. Тревоксид ванадия, в интервале температур 450—500°, проводит дегидрогенизацию циклогексана до 10% превращения, при этом, в отличие от пятиоксида ванадия, реакция практически не сопровождается побочными процессами (газ на 97—99% состоит из H_2). Определена энергия активации этой реакции.

3. В отношении спиртов тревоксид ванадия оказывает как дегидрирующее, так и дегидратирующее действие, при этом имеет место вторичное взаимодействие с образующимся в реакции водородом. Энергии активации дегидрогенизации и дегидратации этилового и изопропилового спиртов рассчитаны с учетом двух возможных механизмов этой вторичной реакции.

Энергии активации реакций для обоих спиртов оказались близкими между собой, что находится в согласии с мультиплетной теорией катализа.

4. Определены энергии связи атомов Н, С и О с каталитически активными центрами тревоксида ванадия.

Институт органической химии
им. Н. Д. Зелинского
Академии наук СССР

Поступило
18.VII.1958
Дополнения внесены
14.I.1960

ЛИТЕРАТУРА

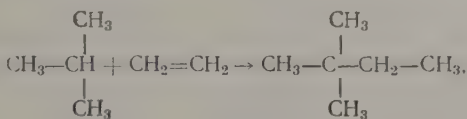
1. А. А. Баландин, Ж. общ. химии **16**, 793 (1946).
2. П. Сабатье, Катализ в органической химии, Госхимтехиздат, М., 1932.
3. Итал. пат. 351120 05.21, 1937; Итал. пат. 352327, 06.19 1937; Universal Oil Product Co. Франц. пат. 825816; Chem. Abstrs. **32**, 6664 (1938); J. G. Wulff, A. G. Farbenindustrie; Герм. пат. 596094, 05. 1934.
4. А. В. Лозовой, С. А. Сенявин и А. Б. Воль-Эпштейн, Ж. прикл. химии **28**, 175 (1955).
5. Г. Д. Любарский и М. Я. Каган, Докл. АН СССР, **29**, 574 (1940).

6. Б. А. Казанский, А. Ф. Платэ, Т. Ф. Буланова и Н. Д. Зединский, Докл. АН СССР, **27**, 658 (1940).
7. E. F. G. Herington, E. K. Rideal, Proc. Roy. Soc. A, **184**, 434, 447 (1945).
8. K. A. Briggs, H. S. Taylor, J. Amer. Chem. Soc. **63**, 2500 (1941).
9. А. Ф. Платэ, Каталитическая ароматизация парафиновых углеводородов, Изд. АН СССР, М.—Л., 1948.
10. А. Ф. Платэ и Г. А. Тарасова, Ж. общ. химии **13**, 21, 36 (1943).
11. А. Ф. Платэ и О. Д. Стерлигов, Ж. общ. химии **13**, 202 (1943).
12. А. Ф. Платэ и Г. А. Тарасова, Ж. общ. химии **15**, 118 (1945).
13. H. S. Taylor, L. M. Yeddanapalli, Bull. Soc. Chim. Belg. **47**, 162 (1938).
14. А. А. Баландин и Н. П. Егорова (Соколова), Докл. АН СССР **57**, 255 (1947).
15. V. I. Komarewsky, C. F. Price, K. J. K. Coley, J. Amer. Chem. Soc. **69**, 238 (1947).
16. H. A. Doyal, O. W. Brown, J. Phys. Chem. **36**, 1549 (1932).
17. В. А. Комаров и Н. П. Тимофеева, Ж. общ. химии **26**, 3306 (1956).
18. V. I. Komarewsky, D. Miller, Adv. in Catalys. **9**, 707 (1957).
19. C. T. H. Stoddart, C. Kemball, J. Coll. Sci. **11**, 532 (1956).
20. А. А. Баландин, Изв. АН СССР. Отд. хим. н. **1942**, 25.
21. А. А. Баландин и А. А. Тостопятова, Ж. физ. химии **30**, 1367 (1956).
22. Коттрелл, Прочность химических связей, ИЛ, М., 1956.

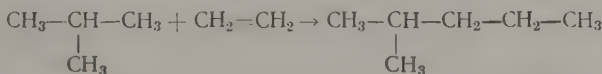
Л. Х. ФРЕЙДЛИН, А. А. БАЛАНДИН и Н. М. НАЗАРОВА

КАТАЛИТИЧЕСКОЕ АЛКИЛИРОВАНИЕ ИЗОБУТАНА ЭТИЛЕНОМ ПРИ ПОВЫШЕННЫХ ТЕМПЕРАТУРАХ ПОД ДАВЛЕНИЕМ

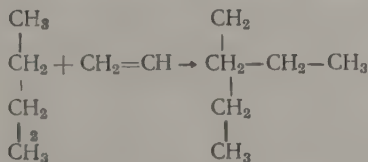
При взаимодействии изобутана с этиленом в присутствии таких катализаторов, как хлористый алюминий [1] или фтористый водород, с добавкой трехфтористого бора [2] образуется алкилат, гексановая фракция которого в основном состоит из 2,3-диметилбутана. Выход гексановой фракции составляет ~45% жидкого продукта. В отличие от этого в реакции термического алкилирования [3] изобутана этиленом под давлением (510°, 315 атм) образуется алкилат, гексановая фракция которого в основном (на 80%) состоит из 2,2-диметилбутана; одновременно образуется 20% 2-метилпентана. Выход гексановой фракции ~30%. Таким образом, в этих условиях этилен присоединяется главным образом к третичному С-атому изобутана, с образованием 2,2-диметилбутана



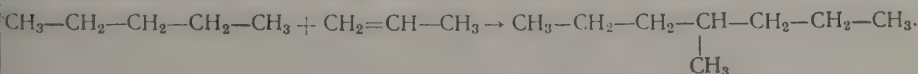
и в меньшей степени к первичному



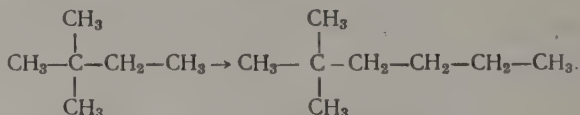
В процессе высокотемпературного алкилирования (427°, 200 атм) в присутствии гомогенного катализатора, 1—3% хлор- или нитропроизводных парафина [4], основным компонентом гексановой фракции также является 2,2-диметилбутан. Выход гексановой фракции 43%. При взаимодействии н.бутана с этиленом в этих же условиях образуется 3-метилпентан — продукт присоединения к вторичному С-атому.



с почти в 2 раза меньшим выходом (28%). Как было показано нами [5—8], в присутствии твердых катализаторов — окиси алюминия или алюмосиликата — при высоких температурах и давлениях (450°, 300—500 атм) присоединение олефина к нормальному парафину протекает преимущественно к С-атому в положении 2, например



В настоящей работе изучалось алкилирование изобутана в присутствии окисноалюминиевого катализатора при высокой температуре под давлением. Полученные данные показывают, что в этих условиях этилен и пропилен взаимодействуют с изобутаном преимущественно по третичному и в меньшей степени — по первичному атому углерода. Удалось выделить и октановую фракцию, которая в основном представляла собой продукт алкилирования образовавшегося 2,2-диметилбутана. Однако на этой стадии алкилирование идет по первичному С-атому неразветвленного конца углеродной цепи



Этот факт подтверждает ранее установленный нами [8] ступенчатый характер процесса алкилирования. Следует отметить, что в присутствии, например серной кислоты, углеводороды с четвертичным С-атомом (неогексан и 2,2,4-триметилпентан) не вступают в реакцию с олефинами [9]. При термическом алкилировании изобутана этиленом хотя и была получена октановая фракция (9% от веса алкилата), но состав ее не исследовался.

Представляется интересным сопоставить выходы основного продукта первичного алкилирования, полученные при алкилировании н.бутана и изобутана этиленом в различных условиях опыта. В присутствии окиси алюминия продукт алкилирования н.бутана этиленом по вторичному С-атому (2-метилпентан) образуется с большим выходом (29 вес. %) чем продукт алкилирования изобутана этиленом по третичному С-атому 2,2-диметилбутан (20%). Наоборот, в присутствии гомогенных катализаторов [4] выход тех же продуктов составляет соответственно 26 и 43%.

В процессе термического алкилирования проводилось сравнение легкости присоединения олефина к вторичному и третичному С-атомам парафина на примере взаимодействия пропана и изобутана с этиленом [3]. Найдено, что и в этих условиях выход первичного продукта алкилирования по третичному атому углерода больше, чем по вторичному.

ЭКСПЕРИМЕНТАЛЬНАЯ ЧАСТЬ

Опыты проводились в проточных условиях на установке, описанной ранее [5]. Применялся окисноалюминиевый катализатор, приготовленный следующим образом: окись алюминия, пропитанная водным раствором бифторида калия (10% к весу Al_2O_3) и прокаленная в токе воздуха при 400° до удаления свободной фтористоводородной кислоты, дважды обрабатывалась серной кислотой (1:1) и промывалась до удаления SO_4^{2-} [6].

Реакция проводилась с промышленной изобутановой фракцией (81,2% изобутана, 12,4% н.бутана, 6,4% пропана) и с этиленом, содержащим 8,7% этана. Полученные в опытах алкилаты освобождались от изобутана и фракционировались на колонке эффективностью в 70 теоретических тарелок. Содержание непредельных во фракциях алкилата определялось бромным методом [10]. Отдельные узкие фракции подвергались отделению от непредельных хроматографией на силикагеле и дальнейшему анализу методом комбинационного рассеяния света*.

В табл. 1 приводятся условия опытов, степень превращения этилена и выходы алкилатов. Из табл. 1 видно, что при 450° алкилирование

* Анализ фракций методом КРС проводился Ю. П. Егоровым и Г. К. Гайворонской.

Таблица 1

| Номер опыта | Температура в °С | Давление в атм | Содержание этилена в смеси в вес. % | Продолжительность опыта в мин. | Объемная скорость | Степень превращения этилена в % | Выход алкилата в вес. % | |
|-------------|------------------|----------------|-------------------------------------|--------------------------------|-------------------|---------------------------------|-------------------------|---------------------|
| | | | | | | | на пропущен. этилен | на собран. продукты |
| 1 | 450 | 300 | 12,4 | 240 | 1400 | 66 | 59 | 7,3 |
| 2 | 450 | 300 | 15,0 | 330 | 1350 | 74 | 71 | 10,7 |
| 3 | 450 | 500 | 10,2 | 165 | 1350 | 55 | 63 | 10,2 |
| 4 | 450 | 500 | 10,2 | 320 | 1350 | 72 | 110 | 11,2 |

* В литрах газа на 1 л катализатора в час.

может быть осуществлено уже при 300 атм давления. При повышении давления с 300 до 500 атм (опыты 3 и 4) выход алкилата увеличился с 63 до 110%, считая на взятый в реакцию этилен. При повышении содержания этилена в смеси выход алкилата повышается (опыты 1—3). В алкилате опыта 2 определено 24% гексановой фракции (т. кип. 47—70°); половина ее перегналась в интервале 48—49°.

Таблица 2

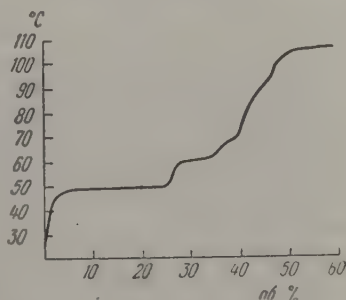
| Т. кип. фракции в °С | Опыт 2 при 300 атм | | | Опыт 4 при 500 атм | | |
|----------------------|--------------------|------------|---------------|--------------------|------------|---------------|
| | колич. в вес. % | n_D^{20} | бромное число | колич. в вес. % | d_4^{20} | бромное число |
| 26,3—47 | 4,3 | 1,3680 | 53 | 3,6 | 1,3652 | 40 |
| 47—52 | 11,5 | 1,3681 | 6 | 20,0 | 1,3672 | 7 |
| 52—57 | 1,1 | 1,3710 | 25 | 1,0 | 1,3697 | 21 |
| 57—62 | 6,4 | 1,3756 | 17 | 7,4 | 1,3723 | 16 |
| 62—70 | 5,3 | 1,3890 | 90 | 4,8 | 1,3849 | 73 |
| 70—100 | 9,2 | 1,3965 | 69 | 8,3 | 1,3967 | 59 |
| 100—106 | 10,5 | 1,3962 | 13 | 11,8 | 1,3945 | 9 |
| Остаток | 51,7 | — | — | 43,7 | — | — |

В табл. 2 дана характеристика отдельных фракций алкилатов, полученных в опытах 2 и 4. На фиг. 1 приведена кривая фракционирования катализата опыта 4. На кривой отчетливо видны три горизонтальных участка, соответствующих температурам кипения трех образовавшихся продуктов реакции алкилирования. В алкилате опыта 4, проведенного при 500 атм, содержание гексановой фракции составило 33% от веса катализатора; 60% ее перегналось в интервале 48—49°.

Фракция, освобожденная от неопределенных имела n_D^{20} 1,3673 d_4^{20} 0,6491 и частоты спектра КРС в $см^{-1}$: 346 (0), 361 (0), 415 (1), 493 (1), 712 (10), 880 (4), 939 (6), 1018 (1), 1076 (1), 1230 (4ш), 1264 (5), 1318 (1), 1449 (3), 1464 (6). Эти свойства соответствуют 2,2-диметилбутану.

Кроме неогексана из гексановой фракции было выделено ~25% 2-метилпентана с т. кип. 59,6—61,8°; n_D^{20} 1,3715; d_4^{20} 0,6549 и частотами спектра КРС в $см^{-1}$: 322 (3ш), 385 (0), 449 (7), 792 (0), 823 (9), 961 (0), 891 (3ш), 994 (0), 957 (5), 1010 (1), 1045 (7), 1068 (1), 1103 (4), 1146 (6), 1172 (3), 1199 (1), 1240 (0), 1300 (5ш), 1341 (4), 1362 (0), 1386 (1), 1451 (10), 1466 (10).

В процессе фракционирования кроме гексановой была выделена также октановая фракция с т. кип. 105—106,5° в количестве 10—11% вес; после



Фиг. 1

отделения непредельных она имела n_D^{20} 1,3940; d_4^{20} 0,6968 и частоты спектра КРС в см^{-1} : 307(5), 498(2), 737(1), 753(8), 873(2), 894(3), 911(5), 933(7), 1015(0), 1060(5), 1089(0), 1101(5), 1141(1ш), 1197(7ш), 1315(5), 1389(1), 1450(9), 1469(8). Эти свойства соответствуют 2,2-диметилгексану.

Пропилен в присутствии окисноалюминиевого катализатора также взаимодействует с изобутаном по месту третичного атома углерода [11]. В этом опыте была использована промышленная фракция, содержащая 81,2% изобутана, 12,4% н. бутана и 6,4% пропана. Концентрация пропилена в реакционной смеси составляла 16,5 вес.%. В опыте при 450° и 500 атм был получен алкилат с выходом в 70%, считая на пропущенный пропилен. Бромное число алкилата 66. Гептановая фракция алкилата (70—100°) составляла 24 вес. % и имела n_D^{20} 0,6928 и d_4^{20} 1,3894; ~ 40% ее (9,7% веса алкилата) перегналось в узком интервале 77—82°. Судя по температуре кипения, в этой фракции содержится 2,2-диметилпентан — продукт присоединения пропилена к третичному атому изобутана. Из алкилата, полученного в этих же условиях из н. бутана и пропилена, была выделена в количестве 22% фракция с т. кип. 89—92°, содержащая 3-метилгексан — продукт присоединения пропилена по месту вторичного С-атома н. бутана.

Таким образом, с окисноалюминиевым катализатором, в отличие от гомогенных катализаторов, алкилирование пропиленом по третичному С-атому изобутана протекает несколько труднее, чем по вторичному С-атому н.бутана.

ВЫВОДЫ

1. В присутствии окиси алюминия при повышенных температуре и давлении этилен взаимодействует с изобутаном преимущественно по месту третичного С-атома, и в меньшей мере — по первичному. При этом образуется 2,2-диметилбутан и 2-метилпентан.

2. Получающийся в реакции неогексан также взаимодействует с этиленом с образованием 2,2-диметилгексана, что указывает на ступенчатый характер процесса алкилирования.

3. В присутствии окисноалюминиевого катализатора олефин (этилен, пропилен) присоединяется к третичному С-атому изобутана труднее, чем к вторичному атому углерода в н.бутане.

Институт органической химии
им. Н. Д. Зелинского
Академии наук СССР

Поступило
16.VII.1958

ЛИТЕРАТУРА

1. V. N. Ipatieff, H. Pines, A. V. Grasse, V. I. Comarevsky, J. Amer. Chem. Soc. 58, 913 (1936).
2. V. N. Ipatieff, A. V. Grosse, J. Amer. Chem. Soc. 57, 1616 (1935).
3. F. E. Frey, H. J. Nepp, Industr. and Engng. Chem. 28, 1439 (1936).
4. A. A. O'Kelly, A. N. Sachanen, Industr. and Engng. Chem. 38, 462 (1946).
5. Л. Х. Фрейдлин, А. А. Баландин и Н. М. Назарова, Докл. АН СССР 96, 1011 (1954).
6. Л. Х. Фрейдлин, А. А. Баландин и Н. М. Назарова, Докл. АН СССР, 105, 1270 (1955).
7. Л. Х. Фрейдлин, А. А. Баландин и Н. М. Назарова, Докл. АН СССР 109, 105 (1956).
8. Н. М. Назарова, А. А. Баландин и Л. Х. Фрейдлин, Докл. АН СССР 121, 865 (1958).
9. S. H. McAllister, J. Anderson, S. A. Ballard, W. E. Rose, J. Organ. Chem. 6, 647 (1941).
10. Г. Д. Гальперн, Тр. Ин-та нефти АН СССР 4, 141 (1954).
11. Н. М. Назарова, Диссертация, Ин-т орган. химии АН СССР, 1956, стр. 96.

М. Г. ГОНИКБЕРГ и Б. С. ЭЛЬЯНОВ

К ВОПРОСУ ОБ УЧАСТИИ РАСТВОРИТЕЛЯ В АКТИВИРОВАННОМ КОМПЛЕКСЕ В РЕАКЦИЯХ МЕНШУТКИНА

СООБЩЕНИЕ 1. ИЗУЧЕНИЕ КИНЕТИКИ РЕАКЦИИ ПИРИДИНА С ИОДИСТЫМ ЭТИЛОМ В ЭТИЛОВОМ СПИРТЕ ПРИ ДАВЛЕНИЯХ ДО 2000 КГ/СМ²

Вопрос о роли растворителя в реакциях Меншуткина обсуждается в литературе в течение нескольких десятилетий. В 1948 г. Свэн и Эдди [1] пришли к заключению, что эти реакции протекают по тримолекулярному механизму, причем в активированном комплексе, наряду с молекулами амина и галоидалкила, участвует также одна молекула растворителя, сольватирующая атом галоида. Эта точка зрения, однако, не является общепринятой [2]. Напротив, в последнее время неоднократно высказывалось мнение [3—5], что активированный комплекс в реакциях Меншуткина сольватирован почти в той же степени, что и ионы продукта реакции.

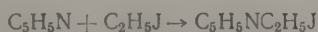
Для выяснения вопроса о сольватации активированного комплекса можно воспользоваться данными о влиянии давления на скорость реакции [6]. В случае разбавленных растворов зависимость константы скорости бимолекулярной реакции от давления позволяет найти величину изменения объема системы Δv^\ddagger при образовании одного моля активированного комплекса из молекул реагирующих веществ по уравнению:

$$\left(\frac{\partial \ln k}{\partial P}\right)_T = -\left(\frac{\Delta v^\ddagger}{RT} + \kappa\right). \quad (1)$$

Здесь k — константа скорости реакции; $\kappa = -\frac{1}{V} \left(\frac{\partial V}{\partial P}\right)_T$, где V — объем растворителя.

В ряде случаев следует ожидать зависимости величины Δv^\ddagger от природы растворителя. Пусть, например, в бимолекулярной реакции молекулы исходных веществ сольватированы в большей степени, чем активированный комплекс. Тогда при образовании активированного комплекса часть молекул растворителя перейдет из сольватных оболочек молекул реагирующих веществ в объем. Этот процесс должен сопровождаться известным увеличением объема, так как в сольватных оболочках молекулы растворителя расположены более плотно, чем в объеме самого растворителя. Если же активированный комплекс более сольватирован, чем исходные молекулы, то объемный эффект, обусловленный переходом молекул растворителя в сольватную оболочку активированного комплекса, будет иметь отрицательную величину. Указанное обстоятельство, естественно, должно отразиться на величине Δv^\ddagger .

В настоящей работе изложены результаты изучения кинетики реакции пиридина с йодистым этилом



в этиловом спирте при высоких давлениях. Полученные данные в соче-

тании с результатами некоторых других измерений (см. сообщение 2) позволяют приблизительно оценить степень сольватации активированного комплекса в изученной реакции Меншуткина. Влияние давления на константу скорости реакции пиридина с йодистым этилом в этиловом спирте при 60° было изучено ранее в работе [7]. Авторы нашли, что при этой температуре константа скорости возрастает в 4,9 раза при повышении давления с атмосферного до 3000 кг/см². К сожалению, измерения константы скорости реакции в цитированной работе были проведены только при этих двух давлениях. Между тем для вычисления значения Δv^\ddagger по уравнению (1) необходимо построить кривую зависимости логарифма константы скорости от давления. Поэтому в настоящей работе были проведены измерения константы скорости реакции при четырех давлениях (от атмосферного до 2000 кг/см²).

ЭКСПЕРИМЕНТАЛЬНАЯ ЧАСТЬ

Пиридин, применявшийся нами для реакции, pripravляли сухой продажного продукта марки „чистый“ над КОН и перегонки его на ректификационной колонке эффективностью 40 теоретических тарелок. Для исследования отбирали фракцию с т. кип. 115,5° (760 мм); d_4^{20} 0,9832. Йодистый этил обрабатывали серной кислотой (3 об. ч. H₂SO₄; 1 об. ч. H₂O) и затем перегоняли; т. кип. 72,2—72,4° (760 мм); d_4^{20} 1,9375. Этиловый спирт абсолютировали CaO, отгоняли и после окончательного абсолютирования металлическим Ca вновь отгоняли; т. кип. 78,4°; d_4^{20} 0,7894; n_D^{20} 1,3614. Ацетон после кипячения с KMnO₄ перегоняли на колонке, сушили поташом и повторно перегоняли; т. кип. 55,0° (730 мм); d_4^{20} 0,7912; n_D^{20} 1,3591.

Исследование кинетики реакции пиридина с йодистым этилом в этиловом спирте. Кинетические измерения проводились в аппаратуре, описанной в работе [8], при температуре $50 \pm 0,1^\circ$ и давлениях 1, 500, 1000 и 2000 кг/см². Растворы C₅H₅N и C₂H₅I (1 M), приготовленные в мерных колбах на 100 мл растворением навесок этих веществ в абсолютном этиловом спирте, быстро сливали вместе, и часть полученного раствора заливали в сосуд высокого давления, находящийся в термостате при заданной температуре. Затем в сосуде быстро создавали давление, и момент достижения необходимого давления считали за начало реакции. В оставшейся части раствора определяли начальную концентрацию пиридина. Через определенные промежутки времени из сосуда отбирали пробы по 10 мл. В каждом опыте отбирали 4—5 проб; максимальная степень превращения составляла 0,20—0,35. Определение начальной концентрации пиридина в растворе, а также анализ проб в процессе реакции производили по методике, несколько видоизмененной по сравнению с описанной в работе [7]. 10 мл пробы исследуемого раствора (при 20°) помещали в коническую колбочку для титрования, добавляли 10 мл спирта и такое количество дистиллированной воды, чтобы общий объем раствора после титрования составлял 120 мл. Затем пиридин титровали 0,1 N раствором HCl с индикатором диметилгельб+метиленблау. Параллельно титровали глухой опыт (100 мл воды и 20 мл спирта). При каждом давлении проводили 3—4 опыта. Во всех опытах начальные концентрации пиридина и йодистого этила составляли ~0,5 M (при 20°). Расчет константы скорости производили по уравнению

$$k = \frac{1}{\tau} \left[\left(\frac{1}{a-x} - \frac{1}{a} \right) + \frac{a-b}{2} \left(\frac{1}{(a-x)^2} - \frac{1}{a^2} \right) + \frac{(a-b)^2}{3} \left(\frac{1}{(a-x)^3} - \frac{1}{a^3} \right) + \dots \right], \quad (2)$$

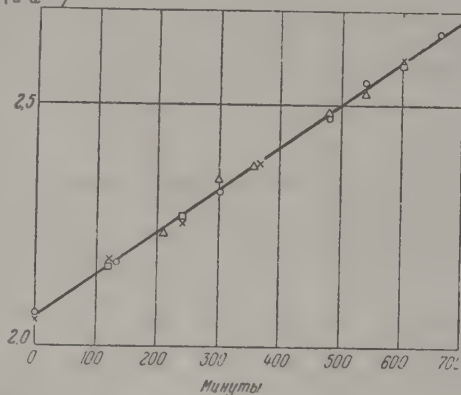
где a — начальная концентрация C₅H₅N; b — начальная концентрация C₂H₅I; x — концентрация C₅H₅NC₂H₅I в момент времени τ .

Уравнение (2) получено разложением в ряд выражения, получаемого при интегрировании уравнения для скорости бимолекулярной реакции;

$$\frac{dx}{d\tau} = k(a - x)(b - x). \quad (3)$$

Для расчета использовали обычно два первых члена ряда; при этом ошибка вычислений, обусловленная пренебрежением отбрасываемыми членами ряда, была меньше ошибки опыта. При расчете констант $\left(\frac{1}{a-x} + b\right)$ скорости учитывалось изменение концентраций вследствие сжатия и повышения температуры до 50° (данные о сжимаемости спирта взяты из [9]). Результаты измерений константы скорости реакции приведены в табл. 1—4. Значения a , b и x определены при атмосферном давлении и 20°.

Некоторая тенденция значений констант, вычисленных по уравнению (2) (см. последний столбец табл. 1—4), к росту с увеличением продолжительности опыта объясняется тем, что раствор, заливаемый в реактор, приобретал нужную температуру лишь по истечении нескольких минут (что было подтверждено прямыми измерениями температуры раствора). Поэтому для нахождения истинной величины константы



Фиг. 1. Результаты измерений константы скорости реакции при атмосферном давлении

Таблица 1

Определение константы скорости реакции при атмосферном давлении

| Опыт 1 $a=0,5005; b=0,4984$ | | | Опыт 2 $a=0,5017; b=0,5013$ | | | Опыт 3 $a=0,5005; b=0,5007$ | | | Опыт 4 $a=0,5017; b=0,5000$ | | |
|--------------------------------|--------------|------------------------------------------------------------|--------------------------------|--------------|------------------------------------------------------------|--------------------------------|--------------|------------------------------------------------------------|--------------------------------|--------------|------------------------------------------------------------|
| τ в мин | x в М/л | $k \cdot 10^4$ в л·М ⁻¹ мин ⁻¹ | τ в мин | x в М/л | $k \cdot 10^4$ в л·М ⁻¹ мин ⁻¹ | τ в мин | x в М/л | $k \cdot 10^4$ в л·М ⁻¹ мин ⁻¹ | τ в мин | x в М/л | $k \cdot 10^4$ в л·М ⁻¹ мин ⁻¹ |
| 130 | 0,0249 | 8,34 | 210 | 0,0394 | 8,37 | 120 | 0,0230 | 8,28 | 240 | 0,0448 | 8,44 |
| 300 | 0,0546 | 8,46 | 360 | 0,0669 | 8,83 | 240 | 0,0436 | 8,21 | 365 | 0,0669 | 8,72 |
| 480 | 0,0826 | 8,53 | 480 | 0,0856 | 8,85 | 360 | 0,0650 | 8,57 | 480 | 0,0847 | 8,75 |
| 540 | 0,0941 | 8,89 | 540 | 0,0973 | 8,54 | 480 | 0,0841 | 8,69 | 600 | 0,1023 | 8,83 |
| 660 | 0,1089 | 8,74 | | | | 600 | 0,1008 | 8,68 | | | |

Примечание. Значения k , полученные в опытах в стальном реакторе при атмосферном давлении, совпали в пределах погрешности измерений, с результатами определения величины k в стеклянном сосуде.

Таблица 2

Определение константы скорости реакции при давлении 500 кг/см²

| Опыт 5 $a=0,5090; b=0,5046$ | | | Опыт 6 $a=0,4999; b=0,4679$ | | | Опыт 7 $a=0,5039; b=0,4999$ | | |
|--------------------------------|--------------|------------------------------------------------------------|--------------------------------|--------------|------------------------------------------------------------|--------------------------------|--------------|------------------------------------------------------------|
| τ в мин | x в М/л | $k \cdot 10^4$ в л·М ⁻¹ мин ⁻¹ | τ в мин | x в М/л | $k \cdot 10^4$ в л·М ⁻¹ мин ⁻¹ | τ в мин | x в М/л | $k \cdot 10^4$ в л·М ⁻¹ мин ⁻¹ |
| 120 | 0,0383 | 13,2 | 120 | 0,0331 | 12,4 | 120 | 0,0392 | 13,8 |
| 240 | 0,0753 | 14,1 | 240 | 0,0644 | 13,0 | 240 | 0,0722 | 13,7 |
| 360 | 0,1057 | 14,2 | 360 | 0,0966 | 14,1 | 360 | 0,0995 | 13,4 |
| 480 | 0,1312 | 14,1 | 480 | 0,1138 | 13,0 | 480 | 0,1258 | 13,7 |

Таблица 3

Определение константы скорости реакции при давлении 1000 кг/см²

| Опыт 8 $a=0,4954; b=0,5010$ | | | Опыт 9 $a=0,4962; b=0,5007$ | | | Опыт 10 $a=0,4938; b=0,5007$ | | |
|--------------------------------|--------------|--------------------------------------------------------------|--------------------------------|--------------|--------------------------------------------------------------|---------------------------------|--------------|--------------------------------------------------------------|
| τ в мин | x в М/л | $k \cdot 10^4$ в л · М ⁻¹ мин ⁻¹ | τ в мин | x в М/л | $k \cdot 10^4$ в л · М ⁻¹ мин ⁻¹ | τ в мин | x в М/л | $k \cdot 10^4$ в л · М ⁻¹ мин ⁻¹ |
| 90 | 0,0334 | 15,2 | 120 | 0,0533 | 19,0 | 90 | 0,0365 | 16,8 |
| 180 | 0,0694 | 17,2 | 210 | 0,0845 | 18,5 | 180 | 0,0708 | 17,6 |
| 270 | 0,1006 | 17,9 | 300 | 0,1124 | 18,5 | 270 | 0,1005 | 17,9 |
| 360 | 0,1296 | 18,6 | 392 | 0,1391 | 18,8 | 360 | 0,1274 | 18,3 |
| 450 | 0,1494 | 18,2 | 480 | 0,1663 | 19,9 | 450 | 0,1595 | 20,0 |

Таблица 4

Определение константы скорости реакции при давлении 2000 кг/см²

| Опыт 11 $a=0,5006; b=0,5012$ | | | Опыт 12 $a=0,5022; b=0,4999$ | | | Опыт 13 $a=0,4975; b=0,5000$ | | |
|---------------------------------|--------------|--------------------------------------------------------------|---------------------------------|--------------|--------------------------------------------------------------|---------------------------------|--------------|--------------------------------------------------------------|
| τ в мин | x в М/л | $k \cdot 10^4$ в л · М ⁻¹ мин ⁻¹ | τ в мин | x в М/л | $k \cdot 10^4$ в л · М ⁻¹ мин ⁻¹ | τ в мин | x в М/л | $k \cdot 10^4$ в л · М ⁻¹ мин ⁻¹ |
| 61 | 0,0471 | 30,7 | 62 | 0,0491 | 31,7 | 60 | 0,0441 | 29,3 |
| 120 | 0,0867 | 31,5 | 120 | 0,0921 | 33,9 | 120 | 0,0838 | 30,6 |
| | | | | | | 180 | 0,1184 | 31,4 |
| 183 | 0,1321 | 35,3 | 180 | 0,1307 | 35,4 | 241 | 0,1487 | 32,0 |
| | | | | | | 300 | 0,1746 | 32,6 |

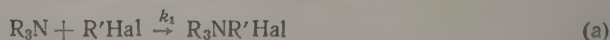
скорости мы наносили полученные данные на график в координатах $\frac{1}{a-x} + B, \tau$, где $B = \frac{a-b}{2} \left(\frac{1}{(a-x)^2} - \frac{1}{a^2} \right)$. При этом получались прямые (фиг. 1), по наклону которых были вычислены константы скорости реакции при различных давлениях. Первые точки в каждом опыте лежат несколько выше прямой по причине, указанной выше.

ОБСУЖДЕНИЕ РЕЗУЛЬТАТОВ ОПЫТОВ

Результаты определения констант скорости изученной нами реакции при различных давлениях, полученные описанным выше графическим методом, приведены в табл. 5.

Из рассмотрения табл. 5 видно, что при увеличении давления константа скорости реакции значительно увеличивается.

В литературе [10—12] имеются указания на то, что при реакциях Меншуткина, наряду с протеканием основного процесса



возможна также автокаталитическая реакция



При осуществлении реакции в спиртовом растворе следует также учитывать алкоголиз галоидалкила:



Наличие автокаталитической реакции (б) приводило бы к завышенным

значениям константы скорости, рассчитываемой по уравнению (2), причем эта константа должна была бы возрастать по своей величине по мере накопления продуктов реакции.

Протекание реакции алкоголиза (в), напротив, должно приводить к заниженным значениям константы скорости, рассчитываемой по уравнению (2), причем эта константа должна уменьшаться по своей величине по мере увеличения продолжительности опыта.

Таблица 5
Зависимость константы скорости от давления
($t=50^\circ$)

| P в кг/см^2 | $k_1 \cdot 10^4$ в $\text{л} \cdot \text{М}^{-1} \cdot \text{мин}^{-1}$ |
|---------------------------|----------------------------------------------------------------------------|
| 1 | 18,80 |
| 500 | 13,2 |
| 1000 | 38,7 |
| 2000 | 2,8 |

Мы провели реакцию алкоголиза $\text{C}_2\text{H}_5\text{J}$ в абсолютном этиловом спирте при 50° и атмосферном давлении. Начальная концентрация $\text{C}_2\text{H}_5\text{J}$ в растворе составляла 0,5 М. Через определенные промежутки времени брались пробы по 10 мл раствора, и выделившийся HJ титровался раствором $\text{Ba}(\text{OH})_2$.

Константа скорости k_3 оказалась весьма малой и равной $\sim 1,10^{-5} \text{ мин}^{-1}$. В процессе реакции выделялся также свободный йод, количество которого определялось титрованием раствором $\text{Na}_2\text{S}_2\text{O}_3$. Если считать, что все количество йода, определенное таким образом, образовалось из HJ , выделившегося в результате реакции (в), то константа k_3 возрастает приблизительно вдвое.

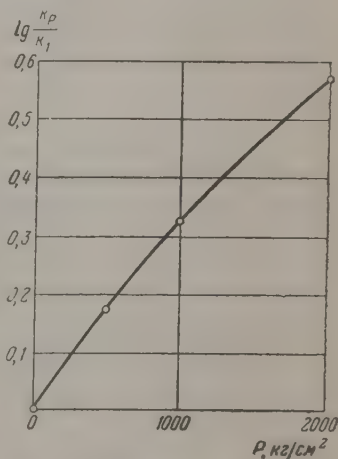
Можно показать, что такая величина константы скорости алкоголиза $\text{C}_2\text{H}_5\text{J}$ приводит к уменьшению значения константы скорости реакции, вычисляемой по уравнению (2), не более, чем на 2% (при максимальной измеренной конверсии). Это отклонение находится в пределах возможной погрешности наших измерений. Имеющиеся в литературе данные [13] о скорости алкоголиза галоидных алкилов в спиртовых растворах свидетельствуют о том, что константы скорости этих реакций возрастают в 2—3 раза при повышении давления с атмосферного до 2000 кг/см^2 . Как видно из данных табл. 5, значение k_1 возрастает в том же интервале давлений в 3,8 раза. Таким образом, неточность в определении k_1 не сказывается сколько-нибудь заметным образом на величине Δv^\ddagger , вычисляемой по уравнению (1). То обстоятельство, что на графиках « $\frac{1}{a-x} + B, \tau$ » при всех исследо-

ванных давлениях полученные нами результаты укладываются на прямые, свидетельствует о том, что реакция (б) в изученных нами условиях практически не имеет места.

На фиг. 2 изображена зависимость логарифма константы скорости от давления. По углу наклона касательных к этой кривой можно вычислить значение Δv^\ddagger — изменения объема при образовании одного моля активированного комплекса — на основании уравнения (1). Ниже приведены значения этой величины:

| | | | | |
|-------------------------------------------------------------|------|------|------|------|
| Давление в кг/см^2 | 1 | 500 | 1000 | 2000 |
| — Δv^\ddagger в $\text{см}^3/\text{моль}$ | 27,8 | 22,6 | 19,1 | 14,9 |

Таким образом, значение $(-\Delta v^\ddagger)$ уменьшается почти вдвое при повышении давления с атмосферного до 2000 кг/см^2 .



Фиг. 2. Зависимость константы скорости от давления.

k_P и k_1 — значения константы соответственно при давлении P и при атмосферном давлении

ВЫВОДЫ

1. Изучена кинетика реакции пиридина с йодистым этилом в этиловом спирте при 50° и давлениях 1,500, 1000 и 2000 кг/см².

2. Вычислены изменения объема системы при образовании одного моля активированного комплекса в изученной реакции в указанных условиях.

Институт органической химии
им. Н. Д. Зелинского
Академии наук СССР

Поступило
26.VII.1958

ЛИТЕРАТУРА

1. C. G. Swain, R. W. Eddy, J. Amer. Chem. Soc. **70**, 2989 (1948).
2. C. K. Ingold, Structure and Mechanism in Organic Chemistry, N. Y., 1953.
3. S. D. Hamann, Austr. J. Chem. **9**, 533 (1956).
4. С. Глесстон, К. Лейдлер и Г. Эйринг, Теория абсолютных скоростей реакций, ИЛ, 1948.
5. S. D. Hamann, Disc. Faraday Soc., N 22, 145 (1956).
6. M. G. Evans, M. Polanyi, Trans. Faraday Soc. **31**, 875 (1935).
7. R. O. Gibson, E. W. Fawcett, M. W. Perrin, Proc. Roy. Soc. A **150**, 223 (1935).
8. М. Г. Гоникберг, В. Б. Миллер, М. Б. Нейман, Ф. С. Дьячковский, Г. И. Лихтенштейн и А. А. Опекунов, Ж. физ. химии **30**, 784 (1956).
9. P. W. Bridgman, Proc. Amer. Acad. **49**, 3 (1913).
10. G. H. Grant, C. N. Hinshelwood, J. Chem. Soc. **1933**, 1351.
11. В. А. Гольцшмидт и И. В. Потапов, Acta Phys. chim. URSS, **7**, 778 (1937).
12. И. В. Потапов и В. А. Гольцшмидт, Ж. физ. химии **15**, 1094 (1941).
13. H. G. David, S. D. Hamann, Trans. Faraday Soc. **50**, 1188 (1954).

Н. С. ЕНИКОЛОПЯН и Г. П. КОНАРЕВА

ГОМОГЕННЫЙ КАТАЛИЗ ПРИ ГАЗОФАЗНОМ ОКИСЛЕНИИ УГЛЕВОДОРОДОВ

СООБЩЕНИЕ 1. ПРИРОДА ДВУХ МАКСИМУМОВ ТЕПЛОВЫДЕЛЕНИЯ

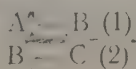
Цепная и автокаталитическая природа газофазного окисления углеводородов позволяет широко использовать гомогенные катализаторы как для ускорения процесса, так и для изменения направления реакции [1, 2]. В гомогенном катализе всегда особая роль отводилась окислам азота [3—5].

Эмануэль и Майзус [6], исходя из представления о макроскопических стадиях, показали, что при окислении пропана в присутствии двуокиси азота по ходу реакции наблюдаются два максимума тепловыделения. При окислении метана в присутствии NO_2 появление двух максимумов тепловыделения впервые было отмечено Поляковым и Уризко [7]. Аналогичные явления наблюдали Эмануэль, Маркевич и Майзус при окислении пропана [8], а Эмануэль и Седова [9] — при окислении этана в присутствии гомогенного катализатора.

По представлениям Полякова [10], первый максимум тепловыделения при окислении метана связан с процессом образования формальдегида, так как время наступления первого максимума тепловыделения и время максимальной концентрации формальдегида совпадают. Второй максимум тепловыделения связан с гомогенным окислением продуктов гетерогенного разложения формальдегида, водорода и окиси углерода. Из этих представлений Полякова следует, что появление двух максимумов тепловыделения не связано со спецификой действия добавок NO_2 . В таком случае два максимума тепловыделения должны были бы появляться и в реакции окисления метана без добавок NO_2 , чего никогда не наблюдалось.

В случае окисления пропана в присутствии HBr Эмануэль и Майзус предсказали и объяснили явление двух максимумов тепловыделения, исходя из теории начальной инициирующей реакции [11]. Согласно этой теории, в результате начальной разветвленной цепной реакции образуется какое-то промежуточное вещество I_0 , которое затем разлагается мономолекулярно, инициируя цепи длиной n . Таким образом, имеются две макроскопические стадии: первая — разветвленная, а вторая — неразветвленная. Однако при протекании сложной реакции в две макроскопические стадии два максимума тепловыделения могут наблюдаться либо в случае, когда обе стадии автокаталитичны, либо в случае, когда каждая из них представляет собой сложный процесс, протекающий в несколько последовательных стадий.

Это можно показать на примере простой неавтокаталитической реакции первого порядка. Рассмотрим реакцию, протекающую в 2 стадии:



Q_1 и Q_2 — тепловые эффекты реакции (1) и (2); k_1 и k_2 — константы скорости этих реакций. Измеренная на опыте разность температур в центре и на стенке реакционного сосуда ΔT пропорциональна скорости тепловыделения, что в свою очередь пропорционально скорости реакции:

$$\Delta T \sim (Q_1 \omega_1 + Q_2 \omega_2), \quad (1)$$

где ω_1 и ω_2 — скорости реакции (1) и (2).

Скорость реакции [1]:

$$\omega_1 = k_1 A_0 e^{-k_1 t}, \quad (2)$$

где A_0 — начальная концентрация вещества А.

Скорость реакции [2]:

$$\omega_2 = \frac{k_1 k_2 A_0}{k_2 - k_1} (e^{-k_1 t} - e^{-k_2 t}). \quad (3)$$

Подставив значения ω_1 и ω_2 в уравнение (1) и продифференцируя его по времени, получим:

$$\frac{d(\Delta T)}{dt} \sim \frac{k_2^2}{k_2 - k_1} Q_2 e^{-k_2 t} - \left(k_1 Q_1 + \frac{k_1 k_2 Q_2}{k_2 - k_1} \right) e^{-k_1 t}. \quad (4)$$

Из уравнения (4) видно, что при протекании реакции в две стадии (обе стадии неавтокаталитичны) независимо от соотношения между k_1 и k_2 и Q_1 и Q_2 скорость тепловыделения может иметь только один максимум. Время наступления максимального тепловыделения будет:

$$t_{\max} = \frac{1}{k_2 - k_1} \ln \frac{k_2^2 Q_2}{k_1 (k_2 - k_1) Q_1 + k_1 k_2 Q_2}.$$

Расчеты показывают, что если первая стадия автокаталитична, а вторая нет, то имеется только один максимум. Если первая стадия неавтокаталитична, а вторая автокаталитична, то кривая скорости тепловыделения может иметь один минимум и один максимум.

Таким образом, хотя представление Эмануэля о макроскопических стадиях в принципе удовлетворительно объясняет появление двух максимумов тепловыделения, необходимо, однако, выяснить, какая из этих макроскопических стадий автокаталитична, какие химические процессы протекают в первой и второй стадиях и т. д. Для выяснения всех этих вопросов удобнее всего исследовать окисление простейшего из углеводородов — метана.

ЭКСПЕРИМЕНТАЛЬНАЯ ЧАСТЬ

Опыты проводились на обычной вакуумной кинетической установке с реактором специальной конструкции, приспособленным для применения метода раздельного калориметрирования Ковальского [12]. Разность температур в центре и на стенке реакционного сосуда измерялась при помощи высокочувствительного гальванометра.

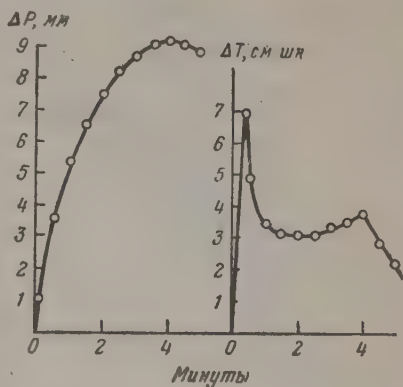
На фиг. 1 показана характерная кинетическая кривая изменения давления и скорости тепловыделения при окислении метана в стехиометрической смеси его с кислородом при температуре 465° , давлении 225 мм и концентрации NO_2 1%. Как видно, реакция практически начинается без периода индукции и заканчивается (по ΔP) в момент появления второго максимума. В зависимости от условий опыта (температуры, давления, концентрации катализатора и т. д.) высота, ширина и взаимное расположение первого и второго максимумов могут изменяться.

На фиг. 2 представлены кинетические кривые изменения давления и ΔT в зависимости от общего давления исходной стехиометрической смеси (с содержанием 1% NO_2) при температуре 465° . Как видно, с ростом общего давления величина первого максимума растет, но время наступления его не изменяется. Второй же максимум с ростом давления сдвигается в сторону больших времен контакта, причем одновременно абсолютная величина пика растет.

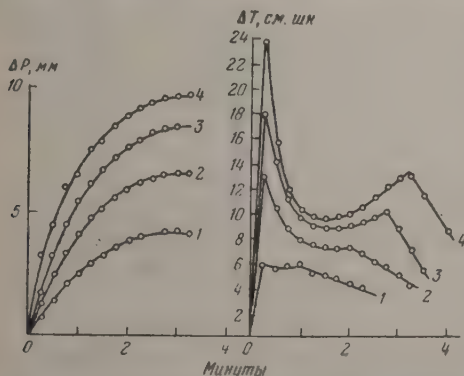
С изменением концентрации гомогенного катализатора NO_2 при постоянном давлении исходной смеси наблюдается обратная картина: с ростом концентрации NO_2 время наступления второго максимума уменьшается (фиг. 3). Тот факт, что время достижения первого максимума не зависит от концентрации NO_2 (фиг. 2 и 3), свидетельствует о том, что наблюдаемый на опыте максимум, по-видимому, связан с инерцией гальванометра. Поскольку измерение ΔT начинается с нуля, на опыте всегда будет появляться первый максимум независимо от истинной формы кинетической кривой, как это видно из фиг. 4,а. Если время релаксации гальванометра большое, то наблюдаемый максимум всегда будет меньше истинного (фиг. 4,б).

Кинетическое изучение реакции газофазного нитрования углеводов показывает, что взаимодействие NO_2 с метаном при наших условиях опыта происходит примерно за несколько секунд. Окисление же метана без NO_2 в таких же условиях происходит крайне медленно. Нами было показано, что при $T=465^\circ$ и давлении реакционной смеси 225 мм период индукции достигает 20 мин. В присутствии же NO_2 реакция завершается за несколько минут.

Исходя из совокупности этих экспериментальных фактов, мы выдвинули рабочую гипотезу, удовлетворительно объясняющую природу двух максимумов тепловыделения при каталитическом окислении углеводородов; она в основных своих чертах совпадает с теорией начальной иницирующей стадии Эмануэля [11]. Согласно этой гипотезе, первый максимум тепловыделения связан с быстрой (при этих температурах) реакцией NO_2 с метаном. Второй максимум есть результат реакции окисления метана, сильно катализированной какими-то продуктами, образующимися при взаимодействии метана с окислами азота. Данная работа посвящена проверке правильности этой гипотезы.



Фиг. 1. Зависимость ΔP и ΔT от времени для смеси $\text{CH}_4 + 2\text{O}_2 + 1\% \text{NO}_2$ при $T=465^\circ$ и $P=255$ мм

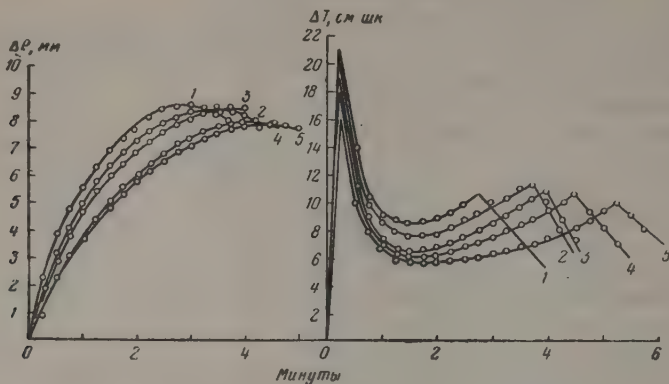


Фиг. 2. Зависимость ΔP и ΔT от общего давления смеси в реакционном сосуде для смеси $\text{CH}_4 + 2\text{O}_2 + 1\% \text{NO}_2$ при $T=465^\circ$:

1 — 100 мм; 2 — 150 мм; 3 — 205 мм; 4 — 270 мм

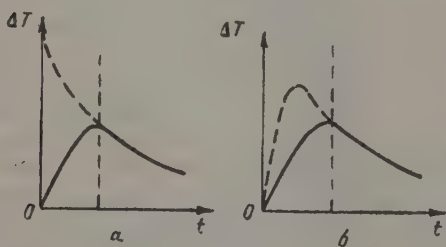
Если наше предположение верно, то при взаимодействии метана с NO_2 (без кислорода) в наших условиях должно наблюдаться появление только одного первого максимума, что действительно и наблюдалось на опыте (фиг. 5, кривая 1). Для чистого метана (фиг. 5, кривая 2) и смеси метана с NO (фиг. 5,

кривая 3) также получают максимумы, по величине значительно меньшие, которые могут быть вызваны чувствительностью гальванометра. Сопоставление ΔT для указанных смесей свидетельствует о том, что в случае смеси метана с NO_2 регистрируется действительное тепловыделение.



Фиг. 3. Зависимость ΔP и ΔT от концентрации NO_2 в реакционной смеси $\text{CH}_4 + 2\text{O}_2$ при $T = 465^\circ$ и $P = 225$ мм;
1 — NO_2 1%; 2 — NO_2 0,9%; 3 — NO_2 0,82%; 4 — NO_2 0,73%; 5 — NO_2 0,66%.

Добавление к смеси $\text{CH}_4 + \text{NO}_2$ некоторого количества кислорода должно вызвать окислительную реакцию, что в свою очередь приводит к появлению второго максимума на кривой тепловыделения. Из фиг. 6 видно, что с ростом концентрации кислорода окислительная реакция усиливается и, наконец, появляется второй максимум, хотя концентрация NO_2 несколько падает. Обращает на себя внимание тот факт, что несмотря на падение концентрации NO_2 с увеличением содержания кислорода первый максимум растет. Это может быть объяснено двумя причи-



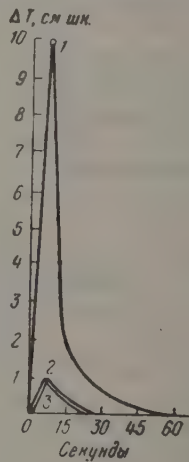
Фиг. 4

Фиг. 4. Положение наблюдаемого максимума тепловыделения в зависимости от формы кинетической кривой:

а — истинная кривая не имеет максимума; б — истинная кривая имеет максимум

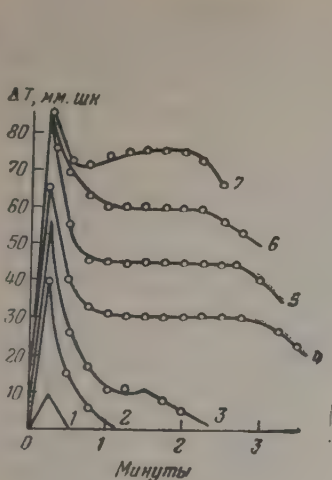
Фиг. 5. Зависимость ΔT от времени контакта для смеси $\text{CH}_4 + \text{NO}$ и $\text{CH}_4 + \text{NO}_2$ при $T = 465^\circ$ и $P = 225$ мм;

1 — $\text{CH}_4 + 20\% \text{NO}_2$; 2 — CH_4 — чистый; 3 — $\text{CH}_4 + 20\% \text{NO}$.

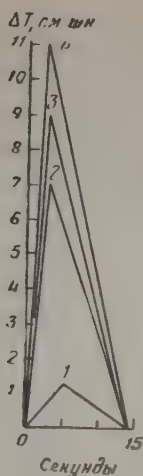


Фиг. 5

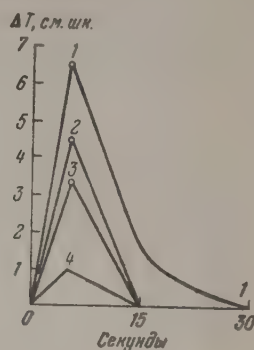
нами: 1) с ростом концентрации кислорода равновесие в реакции $2\text{NO} + \text{O}_2 \rightleftharpoons 2\text{NO}_2$ сдвигается вправо и увеличивается концентрация NO_2 ; 2) в области первого максимума наряду с реакцией NO_2 с метаном одновременно протекает и реакция окисления.



Фиг. 6



Фиг. 7



Фиг. 8

Фиг. 6. Зависимость ΔT от времени для смеси $\text{CH}_4 + \text{NO}_2$ при добавках кислорода при $T=465^\circ$ и $P=225$ мм:

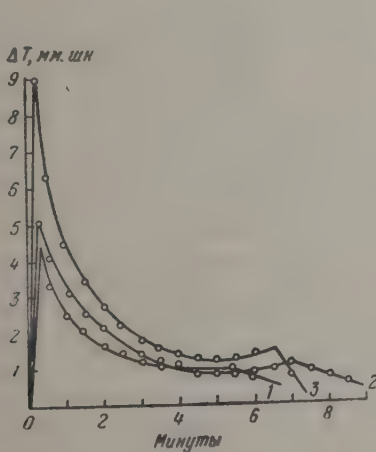
1 — чистый метан; 2 — $\text{CH}_4 + 4\%$ NO_2 ; 3 — $\text{CH}_4 + 3,6\%$ $\text{NO}_2 + 10\%$ O_2 ; 4 — $\text{CH}_4 + 3,25\%$ $\text{NO}_2 + 20\%$ O_2 ; 5 — $\text{CH}_4 + 2,92\%$ $\text{NO}_2 + 30\%$ O_2 ; 6 — $\text{CH}_4 + 2,64\%$ $\text{NO}_2 + 40\%$ O_2 ; 7 — $\text{CH}_4 + 2,37\%$ $\text{NO}_2 + 50\%$ O_2

Фиг. 7. Зависимость ΔT от времени при добавках к метану хлора, при $T=465^\circ$ и $P=225$ мм:

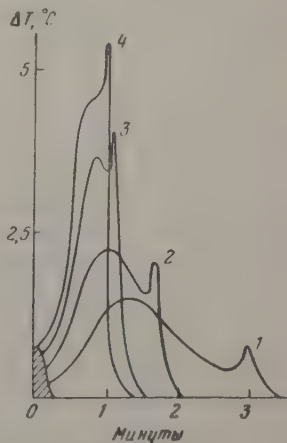
1 — чистый метан; 2 — $\text{CH}_4 + 6$ мм Cl_2 ; 3 — $\text{CH}_4 + 10$ мм Cl_2 ; 4 — $\text{CH}_4 + 25$ мм Cl_2

Фиг. 8. Зависимость ΔT от времени для смеси $\text{CH}_4 + \text{Br}_2$ при $T=465$ и $P=225$ мм:

1 — 9,2% Br_2 ; 2 — 4,6% Br_2 ; 3 — 2,3% Br_2 ; 4 — чистый CH_4



Фиг. 9



Фиг. 10

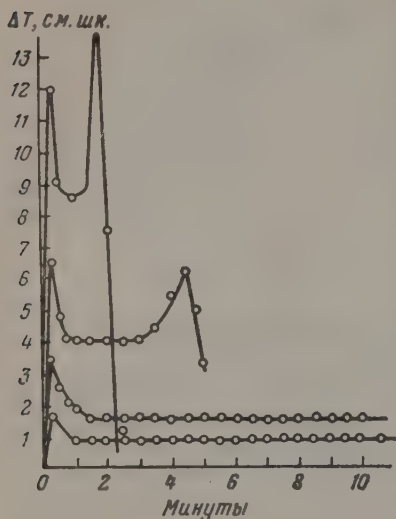
Фиг. 9. Зависимость ΔT от времени для реакции $\text{CH}_4 + 2\text{O}_2$ при $T = 465^\circ$ и $P=225$ мм при добавках Br_2 :

1 — следы брома; 2 — 4% Br_2 ; 3 — 10% Br_2

Фиг. 10. Влияние окислов азота на окисление метилового спирта в кварцевом сосуде при $T = 480^\circ$ и $P = 105$ мм; смесь: $\text{CH}_3\text{OH} - 52,5$ мм и $\text{O}_2 - 52,5$ мм:

1 — 0,3% NO_2 ; 2 — 0,52% NO_2 ; 3 — 0,67% NO_2 ; 4 — 0,79% NO_2

Если действительно первый пик обусловлен реакцией CH_4 с NO_2 , а второй — окислением метана, то, по-видимому, должны быть какие-то другие вещества (катализаторы), которые при наших условиях (температуры и давления) реагируют с метаном с большей скоростью, чем катализируемая ими реакция окисления метана. В этом случае должно наблюдаться появление двух максимумов тепловыделения. Такими катализаторами оказались: Cl_2 , Br_2 , HCl и HBr . Изменения ΔT со временем при реакциях взаимодействия Cl_2 и Br_2 с метаном показаны на



Фиг. 11. Зависимость ΔT от времени для реакции $\text{CH}_4 + 2\text{O}_2 + 1\% \text{NO}_2$ при обработке поверхности сосуда тетраборатом калия; $P=225$ мм; нижняя кривая соответствует $T_1 = 442^\circ$; вторая — $T_2 = 465^\circ$; третья — $T_3 = 491^\circ$; четвертая — $T_4 = 515^\circ$.

резко противоречит нашим представлениям, согласно которым второй максимум связан с процессом окисления метана. Повторив опыты Полякова, мы убедились, что достаточно немного увеличить температуру, как снова появляется второй максимум (фиг. 11). Следовательно, тетраборат калия влияет только на дальнейшую реакцию окисления.

Таким образом, появление двух максимумов тепловыделения при окислении метана с добавками NO_2 связано с взаимодействием NO_2 с метаном (первый максимум) и дальнейшим окислением метана в конечные продукты (второй максимум). Очевидно, в результате реакции NO_2 с метаном образуется какое-то промежуточное вещество, которое далее катализирует реакцию окисления метана. Тщательный химический анализ продуктов реакции с метаном показал, что таким веществом является нитрометан. Полярографический анализ показал, что приблизительно половина поданного NO_2 переходит в нитрометан.

Если справедливо утверждение, что первый максимум связан с реакцией образования нитрометана, а второй — с реакцией окисления, катализированной нитрометаном, то при добавках в метаноокислородную смесь нитрометана должно наблюдаться появление только одного второго максимума. На фиг. 12 приведены кинетические кривые тепло-

фиг. 7 и 8. На фиг. 9 отчетливо видно появление второго максимума при реакции окисления метана, катализированного добавками Br_2 .

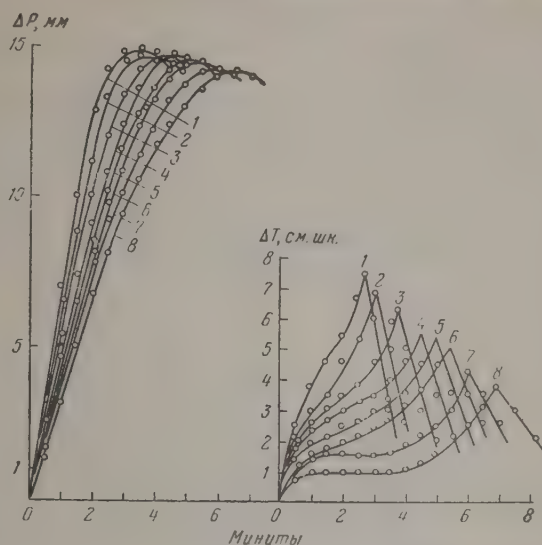
Если наши представления правильны, то должны существовать процессы, в которых NO_2 не реагирует (или медленно реагирует) с веществом, подвергающимся окислению. Таким процессом оказалось гомогенное окисление метилового спирта. Известно, что нитрование спиртов — медленный процесс. Поэтому небольшие добавки NO_2 к смеси метилового спирта с кислородом на окисление действуют слабо и приводят к появлению второго максимума, связанного с взаимодействием NO_2 со вторичными продуктами окисления, реакции которых, по-видимому, сильно катализируются NO_2 . На фиг. 10 отчетливо видно появление второго максимума после максимума, характеризующего окисление самого метилового спирта*.

В работах Полякова [7] было показано, что обработка стенок реакционного сосуда тетраборатом калия снимает второй максимум. Этот факт

* Данные по окислению метилового спирта взяты из дипломной работы студента И. Бельговского.

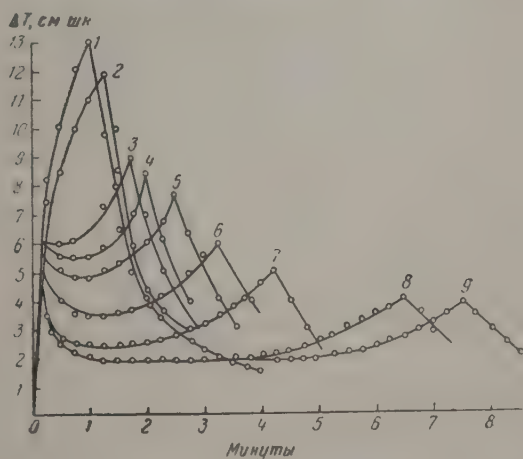
выделения в зависимости от концентрации нитрометана. С ростом концентрации нитрометана сокращается время появления и растет величина второго максимума.

Если к смеси $\text{CH}_4 + 2\text{O}_2 + \text{CH}_3\text{NO}_2$ добавить NO_2 , должно наблюдаться появление первого максимума тепловыделения, так как NO_2 незави-



Фиг. 12. Зависимость ΔP и ΔT от добавок нитрометана в реакционную смесь при $T=465^\circ$ и $P=225$ мм в количествах:

1 — 3%; 2 — 27%; 3 — 245%; 4 — 2,21%; 5 — 1,99%;
6 — 1,8%; 7 — 1,62%; 8 — 1,46%



Фиг. 13. Зависимость ΔT от времени для смеси $\text{CH}_4 + 2\text{O}_2 + 1\%$ NO_2 при $T=465^\circ$, $P=225$ мм при разных добавках нитрометана в количествах:

1 — 8 мм; 2 — 7,2 мм; 3 — 6,5 мм; 4 — 5,85 мм;
5 — 5,25 мм; 6 — 4,73 мм; 7 — 4,25 мм; 8 — 3,81 мм,
9 — 0 мм

симо от реакции окисления взаимодействует с метаном, приводя к образованию первого максимума. На фиг. 13 представлены кривые тепловыделения для смеси $\text{CH}_4 + 2\text{O}_2 + 1\%$ NO_2 с различными добавками CH_3NO_2 . Как видно, с уменьшением концентрации нитрометана обра-

зуется первый максимум, далее протекает реакция окисления, приводящая к появлению второго максимума.

Подробное исследование влияния CH_3NO_2 на окисление метана будет предметом следующего сообщения.

ВЫВОДЫ

1. Исследована кинетика тепловыделения при окислении метана в присутствии NO_2 и CH_3NO_2 .

2. Установлено наличие двух максимумов тепловыделения, связанных с реакциями NO_2 с метаном (первый максимум) и окислением метана (второй максимум).

3. Гомогенные катализаторы Cl_2 , Br_2 , HCl , HBr также дают два максимума тепловыделения.

4. В результате реакции NO_2 с метаном образуется нитрометан, который катализирует реакцию окисления метана.

Институт химической физики
Академии наук СССР

Поступило
15.VII.1958

ЛИТЕРАТУРА

1. Л. В. Кармилова, Н. С. Ениколопян и А. Б. Налбандян, Ж. физ. химии **30**, 788 (1956).
2. F. Rust, W. Vaughan, *Industr. and Engng. Chem.* **41**, 2597 (1949).
3. Н. С. Ениколопян, Л. В. Кармилова, Н. А. Клейменов, А. М. Маркевич и А. Б. Налбандян, Ж. прикл. химии (в печати).
4. C. H. Bibb, H. L. Lucas, *Industr. and Engng. Chem.* **21**, 633, (1929).
5. А. А. Анисонян, С. Ф. Гудков, Н. С. Ениколопян, Н. А. Клейменов, А. М. Маркевич, А. Б. Налбандян и А. П. Сидоров, Газовая промышленность, № 6, 32 (1957).
6. З. К. Майзус и Н. М. Эмануэль, Докл. АН СССР **95**, 10009 (1954).
7. В. И. Уризко и М. В. Поляков, Докл. АН СССР **95**, 1239 (1954).
8. З. К. Майзус, А. М. Маркевич и Н. М. Эмануэль, Докл. АН СССР **89**, 1049 (1953).
9. Н. М. Эмануэль и М. Ф. Седова, Изв. АН СССР. Отд. хим. н. **1956**, 658.
10. В. И. Уризко и М. В. Поляков, Докл. АН СССР **6**, 397 (1953).
11. Н. М. Эмануэль, Сб. «Вопросы хим. кинетики, катализа, и реакционной способности», Изд. АН СССР, М., 1955, стр. 117.
12. М. Л. Богоявленская и А. А. Ковальский, Ж. физ. химии **20**, 1325 (1946).

С. М. САМОЙЛОВ и А. М. РУБИНШТЕЙН

ИССЛЕДОВАНИЕ ФИЗИЧЕСКИХ И ХИМИЧЕСКИХ СВОЙСТВ WS₂-КАТАЛИЗАТОРОВ

СООБЩЕНИЕ 5. КАТАЛИТИЧЕСКАЯ АКТИВНОСТЬ НЕСМЕШАННОГО WS₂-КАТАЛИЗАТОРА В РЕАКЦИИ ГИДРИРОВАНИЯ ФЕНОЛА

В предшествующих сообщениях [1, 2] были описаны результаты детального определения химического и фазового составов, пористой и кристаллической структуры несмешанного WS₂-катализатора. Естественно было попытаться выяснить связь этих свойств и, в первую очередь, содержания серы, т. е. атомного соотношения S:W, с каталитической активностью, а также определить удельную активность несмешанного WS₂-катализатора, поскольку в литературе подобные данные отсутствовали. Кроме того, представляло интерес сопоставить активность с кислотностью WS₂-катализатора.

ЭКСПЕРИМЕНТАЛЬНАЯ ЧАСТЬ

В настоящей работе кроме ранее описанных [1, 2] образцов несмешанного WS₂-катализатора (1, 3, 3₄₀₀, 4, 5, 6, 6₄₀₀, 7, 7₄₀₀, 8, 8₄₀₀, 9₂₀ и 14) были исследованы также образцы 10 и 12, полученные разложением различных партий (NH₄)₂WS₄ и использованные в промышленном процессе деструктивной гидрогенизации. В процессе исследования WS₂-катализаторы были откачаны в высоком вакууме при 400°. Нагрев начался только после достижения остаточного давления, не превышавшего 5 · 10⁻⁵ мм рт. ст., и осуществлялся со скоростью ~200°/час. При 400° образцы выдерживались не менее 10 час. при 5 · 10⁻⁵ мм, после чего охлаждались со скоростью ~150°/час. Откачанные WS₂-катализаторы обозначены прежним номером, но с добавлением индекса, указывающего на температуру термической обработки в вакууме. Образец 13₄₀₀ был получен из образца 12, который до откачивания (при 400°) был помещен на неделю в большой избыток бензола. Образец 9₂₀ получен из обработанного сероуглеродом образца 3 откачиванием его при 20°, как было подробно описано в работе [2].

Данные по составу, удельной поверхности и кислотности исследованных образцов приведены в табл. 1. Атомное соотношение S:W было рассчитано по результатам элементарного анализа, сделанного в аналитической лаборатории Института органической химии, которой мы выражаем глубокую благодарность. За исключением образца 9₂₀ удельная поверхность WS₂-катализаторов была определена по адсорбции паров азота при температуре кипения жидкого азота и рассчитана по методу БЭТ, как было подробно описано для образцов 3₄₀₀, 6₄₀₀, 7₄₀₀ и 8₄₀₀ в нашей прежней работе [1]. Соответствующее значение для образца 9₂₀ было получено при помощи динамического метода Рубинштейна и Афанасьева [3, 4] адсорбции бензола при 20° ($\omega_0 = 40 \text{ \AA}^2$) *.

* Для WS₂-катализаторов, не содержавших избыточной серы, оба эти метода дали близкие значения удельной поверхности: например S, определенная динамическим методом, оказалась для образца 1₄₀₀ равной 58 м²/г.

Таблица 1

Состав, удельная поверхность и кислотность исследованных несмешанных WS_2 -катализаторов

| Номер катализатора | Атомное соотношение S : W | Удельная поверхность в m^2/g | Кислотность в эквивалентах Н/М | Номер катализатора | Атомное соотношение S : W | Удельная поверхность в m^2/g | Кислотность в эквивалентах Н/М |
|--------------------|---------------------------|--------------------------------|--------------------------------|--------------------|---------------------------|--------------------------------|--------------------------------|
| 1 | 2,27 | | $0,79 \cdot 10^{-3}$ | 7 | 2,08 | | $0,21 \cdot 10^{-3}$ |
| 1 ₄₀₀ | | 65 | $0,1 \cdot 10^{-3}$ | 7 ₄₀₀ | 1,97 | 23 | |
| 3 | 2,30 | 3 | $1,46 \cdot 10^{-3}$ | 8 | 2,05 | | $0,14 \cdot 10^{-3}$ |
| 3 ₄₀₀ | 2,006 | 66 | $0,29 \cdot 10^{-3}$ | 8 ₄₀₀ | 1,97 | 3 | |
| 4 | 1,92 | | $1,24 \cdot 10^{-3}$ | 9 ₂₀ | 1,96 | 64 | |
| 4 ₄₀₀ | 1,53 | 49 | 0,0 | 10 | 2,14 | | $1,56 \cdot 10^{-3}$ |
| 5 | 2,25 | | $0,81 \cdot 10^{-3}$ | 10 ₄₀₀ | | 46 | |
| 5 ₄₀₀ | | 50 | | 12 | 2,08 | | $0,42 \cdot 10^{-3}$ |
| 6 | 2,16 | | $0,35 \cdot 10^{-3}$ | 12 ₄₀₀ | | 31 | |
| 6 ₄₀₀ | 2,03 | 54 | | 13 ₄₀₀ | 2,00 | 40 | |

Для определения кислотности образцы WS_2 -катализатора помещались на несколько суток в десятикратное по весу количество дистиллированной воды и содержание Н⁺ ионов определялось титрованием водной вытяжки 0,1 N раствором NaOH с индикатором метилоранжем. Повторная водная вытяжка была с этим индикатором нейтральной. На примере образцов 3 и 4 было показано, что пробы одного и того же катализатора, различно измельченные и хранившиеся в различных условиях, имели совершенно одинаковую кислотность. Следовательно, измеренная кислотность не была случайной, а представляла характерное свойство каждого исследованного образца.

Для сопоставления каталитической активности была выбрана реакция автоклавного гидрирования фенола в условиях, близких к условиям работы WS_2 -катализатора в промышленности, а именно при 380° и парциальном давлении $H_2 \sim 220$ атм. Реакция проводилась в 0,5-литровом вращающемся автоклаве, в который помещался кристаллический фенол марки «чистый» и исследуемый образец катализатора. Исходное количество фенола составляло во всех опытах 30 г, катализатора — 1 г, начальное давление $H_2 = 110 \pm 6$ атм. Условия реакции были строго одинаковые: нагревание за 1 час до температуры $380 \pm 10^\circ$, при которой автоклав выдерживался в течение одного часа, после чего охлаждался при

Таблица 2

Проверка воспроизводимости результатов при определении активности WS_2 -катализаторов по реакции гидрирования фенола под давлением (размер зерна 2,0—1,0 мм)

| Номер катализатора | Количество фенола Ф в г | | Давление H_2 в атм | | | $\Delta H_2 / \Delta F$ в М H_2 / М Ф |
|--------------------|-------------------------|----------------------|----------------------|-------------|--------------------|-----------------------------------------|
| | непрореагировавшее | вступившее в реакцию | исходное | после опыта | расход при реакции | |
| 3 | 5,5 | 24,5 | 108 | 83 | 25 | 2,0 |
| 3 | 4,7 | 25,3 | 106 | 80 | 26 | 2,0 |
| 4 | 7,7 | 22,3 | 108 | 89 | 19 | 1,7 |
| 4 | 9,2 | 20,8 | 112 | 94 | 18 | 1,7 |
| 10 | 4,4 | 25,6 | 109 | 86 | 23 | 1,8 |
| 10 } пыль | 5,4 | 24,6 | 109 | 86 | 23 | 1,8 |
| 12 | 12,0 | 18,0 | 105 | 89 | 16 | 1,8 |
| 12 | 12,7 | 17,3 | 112 | 96 | 16 | 1,8 |
| 14 | 19,1 | 10,9 | 110 | 102 | 8 | 1,4 |
| 14 | 18,9 | 11,1 | 109 | 100 | 9 | 1,6 |

Таблица 3

Активность WS_2 -катализаторов в реакции гидрирования фенола под давлением при различной степени их измельчения

| Номер катализатора | Размер зерна в мм | Количество фенола Ф в г | | Давление H_2 в атм | | | $\Delta H_2/\Delta \Phi$ в М H_2 /М Ф |
|--------------------|-------------------|-------------------------|----------------------|----------------------|-------------|--------------------|--------------------------------------------|
| | | непрореагировавшее | вступившее в реакцию | исходное | после опыта | расход при реакции | |
| 3 | 5—3 | 12,6 | 17,4 | 109 | 87 | 22 | 2,5 |
| 3 | 2—1 | 5,1 | 24,9 | 107 | 81 | 26 | 2,1 |
| 3 | 0,5—0,25 | 4,1 | 25,9 | 109 | 80 | 29 | 2,2 |
| 3 | 0,15—0,08 | 3,5 | 26,5 | 110 | 82 | 28 | 2,1 |
| 3 | Пыль | 2,9 | 27,1 | 110 | 81 | 29 | 2,1 |
| 4 | 5—3 | 17,1 | 12,9 | 111 | 100 | 11 | 1,7 |
| 4 | 2—1 | 8,5 | 21,5 | 111 | 92 | 19 | 1,7 |
| 4 | Пыль | 9,0 | 21,0 | 110 | 91 | 19 | 1,8 |

продолжающемся вращении. Давление H_2 в автоклаве измерялось с точностью ± 1 атм, а температура — $\pm 3^\circ$. К жидким продуктам реакции добавляли 100 мл 15%-ного раствора NaOH и после фильтрования определяли в водно-щелочной вытяжке количество неизменившегося фенола титрованием бромид-броматным раствором [5, 6].

Воспроизводимость полученных результатов была очень хорошей; она была проверена на катализаторах 3, 4, 10, 12 и 14 (табл. 2). При этом по расходу H_2 можно было определять активность исследованных катализаторов с ошибкой, не превышавшей ± 1 атм.

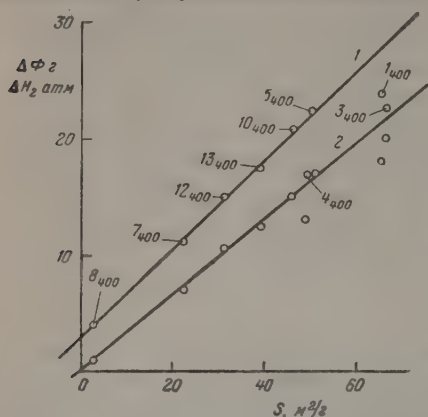
Таблица 4

Активность исследованных несмешанных WS_2 -катализаторов в реакции гидрирования под давлением
(в 0,5 л автоклаве) 30 г фенола при 380° ; количество катализатора 1 г*

| Номер катализатора | Размер зерна в мм | Количество фенола Ф в г | | Давление H_2 в атм | | | $\Delta H_2/\Delta \Phi$ в М H_2 /М Ф |
|-----------------------------|-------------------|-------------------------|----------------------|----------------------|-------------|--------------------|--------------------------------------------|
| | | непрореагировавшее | вступившее в реакцию | исходное | после опыта | расход при реакции | |
| 1 | 2—1 | 4,7 | 25,3 | 108 | 83 | 25 | 1,9 |
| 1 ₄₀₀ | Пыль | 6,2 | 23,8 | 113 | 95 | 18 | 1,5 |
| 3 | " | 2,9 | 27,1 | 110 | 81 | 29 | 2,1 |
| 3 ₄₀₀ | " | 7,3 | 22,7 | 104 | 84 | 20 | 1,7 |
| 4 | " | 9,0 | 21,0 | 110 | 91 | 19 | 1,8 |
| 4 ₄₀₀ | " | 13,0 | 17,0 | 112 | 99 | 13 | 1,5 |
| 5 | 2—1 | 5,0 | 25,0 | 109 | 88 | 21 | 1,7 |
| 5 ₄₀₀ | Пыль | 7,5 | 22,5 | 113 | 96 | 17 | 1,5 |
| 6 | " | 7,3 | 22,7 | 114 | 94 | 20 | 1,7 |
| 7 | " | 15,6 | 14,4 | 113 | 106 | 7 | 1,0 |
| 7 ₄₀₀ | " | 19,2 | 10,8 | 114 | 107 | 7 | 1,3 |
| 8 ₄₀₀ | " | 25,9 | 4,1 | 115 | 114 | 1 | 0,5 |
| 9 ₂₀ | " | 1,6 | 28,4 | 117 | 88 | 29 | 2,0 |
| 10 | " | 4,9 | 25,1 | 109 | 86 | 23 | 1,8 |
| 10 ₄₀₀ | " | 8,9 | 21,1 | 112 | 97 | 15 | 1,4 |
| 12 | 2—1 | 12,4 | 17,6 | 109 | 93 | 16 | 1,8 |
| 12 ₄₀₀ | Пыль | 14,6 | 15,4 | 113 | 102 | 11 | 1,4 |
| 13 ₄₀₀ | " | 12,9 | 17,1 | 115 | 103 | 12 | 1,4 |
| 14 | 2—1 | 19,0 | 11,0 | 110 | 101 | 9 | 1,6 |
| 3+0,046 г S | Пыль | 0,2 | 29,8 | 115 | 80 | 35 | 2,3 |
| 3 ₄₀₀ +0,045 г S | " | 1,3 | 28,7 | 113 | 82 | 31 | 2,1 |
| 4+0,043 г S | " | 1,7 | 28,3 | 110 | 82 | 28 | 2,0 |
| 4 ₄₀₀ +0,043 г S | " | 12,3 | 17,7 | 113 | 89 | 24 | 2,7 |

* Для параллельных опытов приведены средние значения.

Опыты с измельченными и разделенными просеиванием на различные фракции образцами 3 и 4, приведенные в табл. 3, показали, что, начиная с размеров зерна 1—2 мм, диффузия молекул * в порах катализатора уже почти не влияла на его работу, а при дальнейшем измельчении катализатора реакция полностью происходила в кинетической области.



Фиг. 1. Зависимость активности отаканых при 400° WS_2 -катализаторов от их удельной поверхности (S): 1 — количество вступившего в реакцию фенола ($\Delta\phi$); 2 — количество поглощенного водорода (ΔH_2)

Поэтому мы использовали растертые в тонкий порошок катализаторы, и только в некоторых случаях их зерно имело размеры 1—2 мм.

Результаты определения активности исследованных образцов WS_2 -катализатора приведены в табл. 4. Зависимость количества вступивших в реакцию фенола и водорода от удельной поверхности отаканых WS_2 -катализаторов показана на фиг. 1.

При изучении влияния состава WS_2 -катализаторов на их активность были поставлены опыты, в которых к 1 г катализатора (образцы 3, 3₄₀₀, 4 и 4₄₀₀) примешивалось незначительное количество тщательно растертой черенковой серы (0,043—0,046 г, при этом атомное соотношение $S:W$ в смеси 3₄₀₀+S было близко к таковому в катализаторе 3).

В параллельном опыте (в стандартных условиях) в присутствии только серы (0,103 г) прореагировало 0,7 г фенола, а поглощение H_2 составило 4 атм.

ОБСУЖДЕНИЕ РЕЗУЛЬТАТОВ ОПЫТОВ

О влиянии фазового состава, определенного рентгенографически, на активность было сказано в нашей предыдущей статье [2]. В то же время до настоящей работы зависимость активности и избирательности действия WS_2 -катализатора от содержания в нем серы совершенно не была исследована. Поэтому тесно связанный с ней вопрос относительно причины увеличения при деструктивной гидрогенизации активности катализатора в результате добавления к сырью серы оставался совершенно неясным. Мы впервые исследовали эти очень интересные с теоретической и практической точек зрения вопросы, и хотя многое еще продолжает оставаться неясным, но на основании полученных данных оказалось возможным сделать ряд существенных выводов.

Так, наши опыты показали, что при прочих равных условиях WS_2 -катализатор с $S:W > 2$ более активен, чем катализатор с $S:W < 2$, т. е. чем катализатор с избыточным нестехиометрическим вольфрамом (сравни, например, образцы 4 и 5, имевшие одинаковую удельную поверхность ** и близкую кислотность). Мы установили, что активность WS_2 -катализатора повышают только те атомы серы, которые находятся на его поверхности; сера, содержащаяся в порах катализатора, на его активность не влияет. Действительно, как показывает табл. 4, активность образца 3 с $S:W = 2,30$ совершенно не изменилась после того как вся избыточная сера была экстрагирована из него сероуглеродом (образец 9₂₀). На роль поверхностных атомов серы указывает также впервые

* Фенол находился во всех опытах в парообразном состоянии, так как при 382° давление его насыщенного пара равно 40 атм ($t_{кр} = 419^\circ$) [7].

** После откачивания при 400°.

установленный нами факт, что активность смеси WS_2 -катализатор + S в реакции гидрирования заметно больше, чем сумма активностей отдельных ее компонентов. Далее, из литературы известно, что при добавлении серы к сырью активность катализатора увеличивается только до определенного предела [8], который, как полагаем, наступает после полного осернения его поверхности. По этой же причине промотирующее действие добавленной элементарной серы в наших опытах уменьшалось с увеличением содержания в WS_2 -катализаторе избыточной нестехиометрической серы (сравни, например, активность смеси $Z_{400} + S$ и $3 + S$). Можно предполагать, что по сравнению с катализаторами с $S : W > 2$ в катализаторах с $S : W < 2$ содержание атомов серы на поверхности понижено, что и обуславливает их пониженную активность.

Кислотность WS_2 -катализатора, так же как и содержание в нем серы, заметно влияет на его активность*. Действительно с увеличением кислотности активность катализатора возрастает. Это можно хорошо видеть, например при сравнении образцов 1 и 3, удельная поверхность и содержание серы (соотношение $S : W$) в которых были приблизительно одинаковы.

Рассматривая изменение активности WS_2 -катализаторов под влиянием термической обработки при 400° в вакууме, следует указать, что, как видно из табл. 1, в этих условиях из катализаторов с $S : W > 2$ удаляется вся избыточная нестехиометрическая сера, в результате чего по соотношению $S : W$ их состав становится близким к стехиометрическому. Кроме того, заметно уменьшается кислотность катализаторов. В то же время ни рекристаллизация, ни уменьшение удельной поверхности не происходят [1, 2].

Табл. 4 показывает, что в результате нагревания в высоком вакууме при 400° активность всех исследованных образцов заметно уменьшилась. При этом уменьшение активности было связано в основном с удалением из катализатора серы, так как смесь $Z_{400} + S$ с соотношением $S : W$, соответствующим исходному образцу 3, почти не отличалась от него по активности. Поскольку, как было показано выше, активность катализатора уменьшается при удалении только поверхностных атомов серы, очевидно, что при термической обработке в вакууме сера в большей или меньшей степени удалялась с его поверхности. При добавлении серы поверхность откачанного катализатора вновь осернилась. То обстоятельство, что соотношение $S : W$ в образцах 9_{20} и Z_{400} совпадало в пределах ошибки химического анализа (табл. 1), можно объяснить незначительным количеством выделившейся из катализатора поверхностной серы.

Таким образом, нами впервые было показано, что при термической обработке в вакууме сера удаляется не только из пор [1], но в некоторой степени и с поверхности WS_2 -катализатора. Однако происходящее при этом уменьшение активности связано с удалением только поверхностных атомов серы. В процессе деструктивной гидрогенизации промотирующее действие содержащейся в порах WS_2 -катализатора или добавленной к сырью серы состоит в том, что она осерняет его поверхность. Можно отметить также, что для практического использования WS_2 -катализатора особенно интересно, что в свете изложенных выше фактов и соображений об уменьшении содержания серы и кислотности при термической обработке WS_2 -катализатора впервые находит себе объяснение заметное снижение активности, которое всегда наблюдается в самом начале его работы.

Вопрос о соотношении состава и избирательности действия WS_2 -катализаторов довольно сложен. Однако можно констатировать, что селек-

* Поскольку кислотность WS_2 -катализатора не определяется общим содержанием в нем серы (см. табл. 1, например катализаторы 1 и 3), каждое из этих свойств независимо влияет на его активность.

тивность катализатора, так же как и его общая активность, зависит от содержания на поверхности атомов серы, которые усиливают его гидрирующие свойства. Действительно, как показывает приведенная в табл. 4 величина $\Delta H_2/\Delta \Phi$, при добавлении к WS_2 -катализаторам элементарной серы увеличивается расход водорода на один моль превращенного фенола. Следовательно, при этом или увеличивается глубина гидрирования фенола или уменьшается количество продуктов его конденсации, но оба эти случая в общем соответствуют увеличению гидрирующей способности катализатора. Противоположная картина наблюдается при удалении поверхностных атомов серы в результате термической обработки катализаторов в вакууме. Наконец при удалении серы только из пор селективность катализатора практически не изменяется (ср. образцы 3 и Φ_{20}). В то же время избирательность WS_2 -катализаторов, разумеется, должна зависеть не только от химического состава поверхности, но и от некоторых других факторов, как, например, пористой структуры, кислотности и т. п. Поэтому в отдельных случаях, особенно для необработанных образцов наблюдались отступления от симбатности между содержанием серы и величиной $\Delta H_2/\Delta \Phi$ (например, образцы 4 и 5).

Для определения удельной активности WS_2 -катализаторов удобно использовать данные, полученные для откачанных образцов, кислотностью которых можно пренебречь. На фиг. 1 показано, что общая активность большинства откачанных образцов линейно зависела от их удельной поверхности, т. е. что их удельная активность, выраженная по количеству вступивших в реакцию фенола или водорода, отнесенного к единице поверхности, была постоянной. Только у трех образцов 1_{400} , 3_{400} и 4_{400} удельная активность была заметно меньше, чем у всех остальных. Понижение удельной активности образцов 1_{400} и 3_{400} было обусловлено, по нашему мнению, повышенным по сравнению с другими откачанными образцами объемом их ультратонких пор*, принимавших лишь незначительное участие в реакции. Что касается образца 4_{400} с составом $WS_{1.53}$, то понижение его удельной активности было, очевидно, вызвано недостаточным содержанием на его поверхности атомов серы.

Переходя к обсуждению линейной зависимости между активностью и удельной поверхностью, напомним, что в предыдущей работе [2] было показано, что образцы 3_{400} , 6_{400} , 7_{400} , 8_{400} и некоторые другие различаются по степени упорядоченности кристаллической структуры фазы WS_2 . Таким образом, в настоящей работе мы впервые приходим к важному выводу, что независимо от степени упорядоченности кристаллической структуры фазы WS_2 удельная активность несмешанных WS_2 -катализаторов с близким к стехиометрическому содержанию серы является постоянной величиной. В то же время на удельную активность большое влияние оказывает химический состав поверхности, причем удаление с поверхности атомов серы ведет к уменьшению удельной активности катализатора.

Полученные нами данные показывают, что обессеривание поверхности катализатора не только изменяет ее химическую природу и электронное состояние, но что атомы серы входят в состав активных центров в реакции гидрирования органических молекул. Вместе с тем не исключается, что активными центрами могут быть также атомы вольфрама. Действительно известно, что при высоких температурах металлический вольфрам активно хемосорбирует водород, а в некоторых работах (см. например, экспериментальную работу [9] и теоретическую — [10]) была показана его активность в реакции гидрирования. Поэтому, по нашему мнению, в процессе деструктивной гидрогенизации принимают участие

* Подробные данные по пористой структуре исследованных в настоящей работе образцов будут опубликованы в следующем сообщении.

как атомы серы, так и атомы вольфрама, причем адсорбция водорода происходит на атомах обоих элементов. Однако при этом активность водорода, адсорбированного на атомах серы, значительно выше, чем активность водорода, адсорбированного на атомах вольфрама. Можно отметить также, что хемосорбция водорода на атомах серы приводит к образованию кислотных центров — SH , которые, вероятно, и обуславливают в определенной степени кислотные свойства WS_2 -катализатора.

Менее ясен механизм адсорбции органических ненасыщенных молекул на WS_2 -катализаторе в процессе реакции гидрирования. Поскольку, по-видимому, адсорбция такой молекулы происходит одновременно по меньшей мере на двух атомах катализатора [10, 11], здесь возможны различные случаи: адсорбция органической молекулы только на атомах вольфрама, или только на атомах серы, или одновременно на тех и на других атомах. Следует отметить, что по аналогии с высказанным для водорода предположением при исследовании механизма гидрирования необходимо учитывать возможность каждого из этих трех случаев адсорбции органических молекул на WS_2 -катализаторе. В то же время в работе [12] Гриффит высказал взгляд, что в процессе деструктивного гидрирования при адсорбции органических молекул на сульфиде молибдена MoS_2 они фиксируются только на атомах молибдена. Ввиду сходства структуры и свойств сульфидов вольфрама и молибдена полученные нами данные по соотношению между содержанием серы и активностью WS_2 -катализатора показали, что такая точка зрения Гриффита обоснована совершенно недостаточно и представляет лишь теоретическую или мыслимую схему, пригодную только для сделанного в его работе сопоставления активности MoS_2 и MoO_2 . Следует прибавить, что Гриффит сопоставлял общие, а не удельные активности, а это само по себе уже вносит элемент неопределенности, ввиду отсутствия учета величин поверхностей сравниваемых катализаторов.

В заключение следует отметить, что, как уже было подробно показано выше, большое влияние на удельную активность не подвергнутого термической обработке WS_2 -катализатора оказывает кислотность, которая в то же время не определяется величиной его поверхности (см. табл. 1). Именно поэтому активность исследованных исходных образцов WS_2 -катализатора зависела от их удельной поверхности не линейно, а несколько более сложным образом (табл. 1 и 4).

ВЫВОДЫ

1. Впервые сопоставлена активность ряда несмешанных WS_2 -катализаторов, определенная по реакции автоклавного гидрирования фенола в кинетической области при 380° и начальном давлении H_2 110 атм, с их химическим составом, кристаллической структурой фазы WS_2 , удельной поверхностью и кислотностью.

2. С увеличением содержания серы в пределах $S : W$ от 1,53 до 2,30 или кислотности активность WS_2 -катализатора в реакции гидрирования увеличивается.

3. Активность повышают только находящиеся на поверхности атомы серы, а S , содержащаяся в порах, на активность не влияет.

4. Удельная активность WS_2 -катализатора с $S : W \approx 2$ и незначительной кислотностью не зависит от степени упорядоченности кристаллической структуры фазы WS_2 .

5. Состав поверхности влияет на избирательность действия WS_2 -катализатора: с увеличением содержания серы усиливается его гидрирующая способность.

Институт органической химии
им. Н. Д. Зелинского
Академии наук СССР

Поступило
12.VII.1958

ЛИТЕРАТУРА

1. С. М. Самойлов и А. М. Рубинштейн, Изв. АН СССР. Отд. хим. н. **1957**, 1158.
 2. С. М. Самойлов и А. М. Рубинштейн, Изв. АН СССР. Отд. хим. н. **1959**, 1905.
 3. А. М. Рубинштейн и В. А. Афанасьев, Изв. АН СССР. Отд. хим. н. **1956**, 1294.
 4. А. М. Рубинштейн, А. А. Слинкин и В. А. Афанасьев, Изв. АН СССР. Отд. хим. н. **1957**, 32.
 5. F. Stitz, Oesterreichische Chem.-Z. **48**, N 3/4, 86; N 5/6, 113 (1947).
 6. Р. П. Ластовский, Технический анализ в производстве промежуточных продуктов и красителей, Госхимиздат, М.—Л., 1941, стр. 126.
 7. T. E. Jordan, Vapor pressure of organic compounds, London, N. Y., 1954.
 8. E. E. Donath, Advances in catalysis **8**, 239 (1956).
 9. B. S. Srikantan, J. Indian Chem. Soc. **7**, 745 (1930); Recueil trav. chim. **49**, 1146 (1930); цит. по Chem. Zbl. **1931**, I, 1233, 2307.
 10. А. А. Баландин и Я. Т. Эйдус, Докл. АН СССР **49**, 680 (1945).
 11. А. А. Баландин, Юбилейный сборник, посвященный 30-летию Великой Октябрьской социалистической революции, М.—Л., 1947, стр. 637.
 12. Р. Гриффит, Сб. «Катализ, вопросы теории и методы исследования», ИЛ, 1955, стр. 73.
-

А. А. СЛИНКИН, В. И. ЯКЕРСОН и А. М. РУБИНШТЕЙН

КАТАЛИТИЧЕСКИЕ И МАГНИТНЫЕ СВОЙСТВА $\text{NiO} - \text{MgO}$

В предыдущих работах [1, 2] по изучению каталитических и магнитных свойств системы $\text{NiO} - \text{Al}_2\text{O}_3$ было показано, что в области малых добавок NiO дегидратирующая активность возрастает по сравнению с чистой Al_2O_3 , и в этой же области имеется ряд аномальных магнитных свойств системы, обусловленных, возможно, явлением «валентной индукции» [3]. В качестве другого типичного случая было интересно исследовать зависимость между каталитическими и магнитными свойствами системы $\text{NiO} - \text{MgO}$, где проявление «валентной индукции» невозможно. Описанию такого исследования посвящена настоящая статья.

Магнитные свойства системы $\text{NiO} - \text{MgO}$ в широком интервале концентраций исследованы только в одной работе. Селвуд и сотрудники [3] изучали препараты этой системы, полученные пропиткой MgO растворами $\text{Ni}(\text{NO}_3)_2$, в интервале концентраций Ni (1,7—32 вес. %) и нашли, что магнитный момент (μ) не зависит от концентрации Ni и равен $\sim 2,8 \mu_B$ *. Восприимчивость на 1 г Ni очень мало изменяется для начальных концентраций Ni (1,7—11,2%), а с дальнейшим повышением содержания Ni быстро падает. Магнитные свойства совместно осажженных препаратов $\text{NiO} - \text{MgO}$ не изучались, однако в литературе описаны работы по системе $\text{CoO} - \text{MgO}$, которая близка к системе $\text{NiO} - \text{MgO}$. Эллот [4] изучал систему $\text{CoO} - \text{MgO}$ в интервале концентраций CoO 8,5—100 вес. %, препараты которых были получены совместным осаждением карбонатов Co и Mg из растворов хлоридов с дальнейшим разложением карбонатов при 500° в вакууме. Он нашел, что магнитный момент не зависит от концентрации Co и равен $5,1 \mu_B$, что соответствует иону Co^{2+} . Константа Вейса (Δ) линейно растет с увеличением концентрации CoO в системе. Аналогичные результаты для $\text{CoO} - \text{MgO}$ были получены в работе Перакис и Сер [5]. Каталитическая активность $\text{NiO} - \text{MgO}$ в реакции окисления CO изучалась Рогинским, Кейер и Сазоновой [6].

ЭКСПЕРИМЕНТАЛЬНАЯ ЧАСТЬ

Катализаторы с содержанием Ni 2,34—36 вес. % готовились совместным осаждением гидроокисей Ni и Mg из азотнокислых растворов гидроокисью натрия с дальнейшей отмывкой от NO_3^- — по дифениламину, формованием, сушкой и прокаливанием при 400, 600 и 750° . Полностью отмыть NO_3^- нам не удалось, а при прокаливании полное разложение NaNO_3 наблюдалось только при 750° , при этом ионы Na^+ , видимо, диффундировали в объем. При испытании каталитической активности полностью воспроизводимые результаты были получены в серии, прокаленной при 750° . Именно поэтому эта серия катализаторов нами была изу-

* μ_B — магнетон Бора.

Таблица 1

| Номер по пор. | Ni в вес. % | 400° | | | 600° | | | 750° | | |
|---------------|-------------|---------------------------------------------|---------------------------------------------|---------------------------------------------|------------------------------|------------------------------|-------------------------------|---------------------------------------------|---------------------------------------------|----------------------------------------------|
| | | $\chi_{20^\circ} \cdot 10^4$ | $\chi_{90^\circ} \cdot 10^4$ | $\chi_{160^\circ} \cdot 10^4$ | $\chi_{20^\circ} \cdot 10^4$ | $\chi_{80^\circ} \cdot 10^4$ | $\chi_{160^\circ} \cdot 10^4$ | $\chi_{20^\circ} \cdot 10^4$ | $\chi_{80^\circ} \cdot 10^4$ | $\chi_{160^\circ} \cdot 10^4$ |
| 1 | 2,34 | 1,08 (56,5) | 0,82 (45,4) | 0,70 (40,1) | NiO—MgO | | | 1,35 (68,0) | 1,16 (59,5) | 0,87 (47,5) |
| 2 | 4,60 | 2,2 (53,1) | 1,8 (44,5) | 1,6 (40,0) | 1,12 (58,3) | 0,90** (48,8) | 0,70**** (40,2) | 2,8 (66,2) | 2,4 (57,5) | 1,9 (46,5) |
| 3 | 6,00 | 3,0 (54,0) | 2,5 (45,5) | 2,2 (40,5) | 2,4 (60,5) | 2,0 (45,5) | 1,65 (41,1) | 3,8 (67,2) | 3,0** (54,0) | 2,6 (47,1) |
| 4 | 10,40 | 5,2 (52,0) | 4,4 (44,6) | 3,7 (37,6) | 3,6 (56,0) | 2,5** (45,5) | 2,1 (38,8) | 6,8 (67,5) | 5,4 (54,0) | 4,8 (48,3) |
| 5 | 18,65 | 8,2 (45,0) | 7,0 (38,6) | 6,0 (33,2) | 5,6 (45,6) | 4,4** (44,5) | 3,7 (37,7) | 9,8 (53,5) | 8,5 (46,5) | 7,3 (40,2) |
| 6 | 24,20 | 9,7* (40,8) | 8,6 (36,2) | 7,5 (31,6) | 10,5 (44,0) | 7,2 (39,7) | 6,2 (33,8) | 12,1 (50,7) | 10,5 (44,0) | 9,2**** (38,8) |
| 7 | 29,60 | 11,3 (38,8) | 10,0 (34,4) | 9,0 (31,0) | 12,0 (41,0) | 9,0 (37,8) | 7,7**** (32,6) | 13,6 (46,5) | 12,1** (41,5) | 10,8 (37,1) |
| 8 | 36,00 | 11,9 (33,4) | 10,7 (30,0) | 9,8 (27,7) | 13,4 (37,6) | 12,3 (34,6) | 11,0 (30,8) | 14,9 (41,8) | 13,5** (37,8) | 11,9 (33,5) |
| 9 | 2,9 | 1,77 (67,6) | 0,86 (38) | 0,44 (23,1) | NiO—CdO | | | — | — | — |
| 10 | 3,0 | $\chi_{18^\circ} \cdot 10^6$ 0,57 (32,8) | $\chi_{55^\circ} \cdot 10^6$ 0,25 (22,2) | $\chi_{80^\circ} \cdot 10^6$ 0,18 (19,8) | NiO—ZnO | | | $\chi_{18^\circ} \cdot 10^6$ 0,28 (23,2) | $\chi_{80^\circ} \cdot 10^6$ 0,20 (20,5) | $\chi_{160^\circ} \cdot 10^6$ 0,11 (17,5) |

* 25°, ** 84°, *** 88°, **** 165°, ***** 153°. В скобках дано значение χ , рассчитанное на грамм Ni.

чена подробно. В целях сравнения электронного состояния иона Ni^{2+} в *p*-полупроводнике (MgO) с его состоянием в *n*-полупроводнике (ZnO, CdO) были получены образцы NiO—ZnO и NiO—CdO с содержанием Ni 3,0 и 2,9 вес. % соответственно, которые также прокаливались при температурах 400, 600 и 750°.

Измерение магнитной восприимчивости (χ) осуществлялось методом Фарадея с точностью $\pm 2,5\%$ в интервале $H=3000-4750$ Ое. Температурная зависимость восприимчивости изучена в интервале 20—160°. Все образцы показали независимость восприимчивости от силы поля в изученном интервале напряженности. Рентгенограммы NiO—MgO катализаторов получали в камерах РКД на установке УРС-55; катализаторы с высоким содержанием Ni дополнительно снимали в камерах-монокроматорах КМСР с изогнутым кварцевым кристаллом. Измерение поверхности проводилось динамическим методом [7] с расчетом по уравнению БЭТ.

Каталитическая активность NiO—MgO катализаторов изучалась в проточной системе по разложению абсолютного *i*-C₃H₇ОН в температурном интервале 320—360°. Поддача *i*-C₃H₇ОН осуществлялась датчиком-электролизером [8] с объемной скоростью 2 час⁻¹. Степень превращения в основных опытах была <35% и только на катализаторе с 36 вес. % Ni при наивысшей температуре опыта 360° она составляла ~63%. Таким образом, опыты проводились вдали от равновесия, что является существенным при изучении кинетики процесса. Анализ полностью улавливаемых газообразных продуктов, объемы которых приведены к НТД, проводился на аппарате ВТИ-1. Данные по кинетике разло-

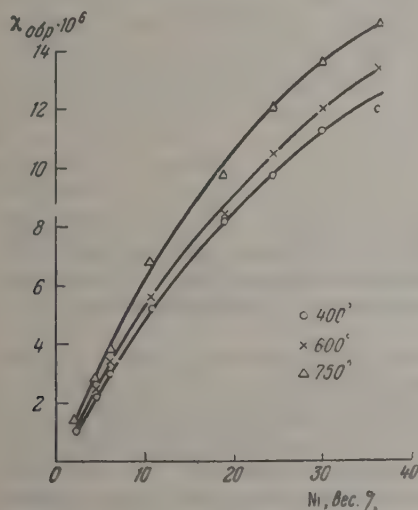
жения $i\text{-C}_3\text{H}_7\text{OH}$ обрабатывались по уравнению реакции в струе, предложенному Баландиным и Борком [9].

Результаты опытов по измерению магнитной восприимчивости приведены в табл. 1 и на фиг. 1 и 2. Из фиг. 1 видно, что восприимчивость, рассчитанная на 1 г образца, растет с увеличением концентрации Ni, не достигая насыщения. Фиг. 2 показывает, что восприимчивость, рассчитанная на 1 г Ni, очень мало изменяется в начальной области концентраций Ni (до 10 вес. %), а при дальнейшем изменении кон-

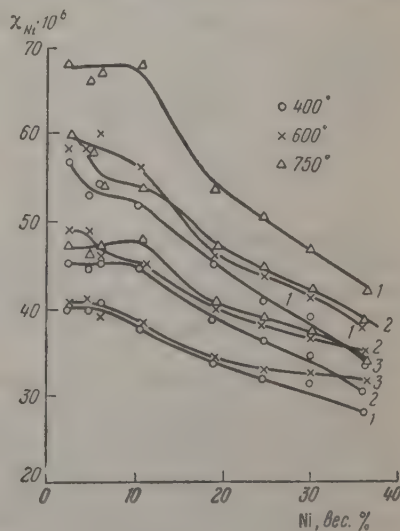
Таблица 2

| Температура прокаливания в °C | $\chi_{\text{Ni}} \cdot 10^6$ | Δ | μ_B | Температура прокаливания в °C | $\chi_{\text{Ni}} \cdot 10^6$ | Δ | μ_B |
|-------------------------------------|-------------------------------|----------|---------|-------------------------------------|-------------------------------|----------|---------|
| NiO—CdO | | | | NiO—ZnO | | | |
| 400 | 67,6 | +200 | 1,6 | 400 | 33,8 | +200 | 1,2 |
| 620 | 17,1 | —250 | 2,1 | 600 | 22,7 | +90 | 1,5 |
| | | | | 750 | 23,8 | —135 | 2,2 |

центрации сильно падает. Все изученные катализаторы подчиняются закону Кюри — Вейса в интервале 20—160°, что позволило вычислить изменение Δ и μ_B (магнитного момента) с изменением концентрации NiO и температуры прокаливания катализаторов. Полученные результаты представлены на фиг. 3. Как видно из фиг. 3, Δ во всех сериях растет с увеличением концентрации Ni, причем значения Δ в серии 400° выше, чем в сериях 600 и 750°, что связано с большей упорядоченностью твердого раствора при высоких температурах и в связи с этим с меньшей



Фиг. 1

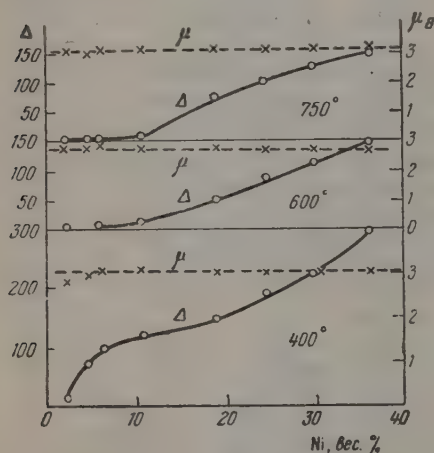


Фиг. 2

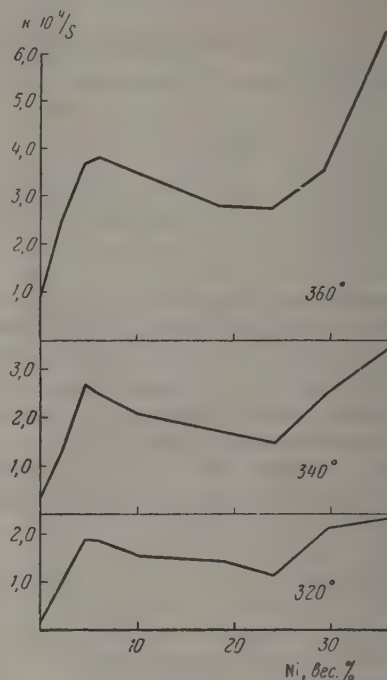
величиной парамагнитного окружения z . Во всех трех сериях препаратов магнитный момент не зависит от концентрации Ni и соответствует иону Ni^{2+} .

В табл. 2 приведены величины Δ и μ_B , рассчитанные по данным измерений χ образцов NiO—CdO и NiO—ZnO. Обращает на себя внимание высокое значение Δ и перемена ее знака при изменении температуры обработки образца, а также ненормально низкое значение μ_B по сравнению с $\mu = 2,8 \mu_B$ для Ni^{2+} . Рентгенографическое изучение ката-

лизаторов показало, что при всех температурах прокаливания NiO—MgO катализаторы представляют твердый раствор, причем даже при прецизионной съемке в камерах-монокроматорах в катализаторах с большим содержанием NiO не удалось обнаружить расщепления линий, свидетельствующего о наличии свободной фазы NiO. Результаты измерения каталитической активности и величин удельной и общей поверхности катализаторов серии 750° приведены в табл. 3 и на фиг. 4. Из данных табл. 3 видно, что в основном протекает реакция дегидрогенизации $i\text{-C}_3\text{H}_7\text{OH}$ до ацетона (98—99%); дегидратация незначительна и составляет 0,5—2%; побочные процессы окислительно восстановительного характера, связанные с образованием CO и CO₂, также незначительны (~1,0%). Чистая MgO характеризуется более низкой дегид-



Фиг. 3



Фиг. 4

рирующей способностью (~93%) и более высокой дегидратирующей (~6%) по сравнению с бинарными катализаторами. На чистой NiO при температурах 320 и 340° процесс дегидрирования идет только на 34%, а в основном идут процессы расщепления с образованием CO₂ и CH₄.

Энергия активации E , рассчитанная в предположении, что реакция протекает по первому порядку, для MgO составляет 23 ккал/М, что совпадает с величиной E для чистой MgO, найденной Рогинским и сотрудниками [10]. Для всех бинарных катализаторов (2,3—36% Ni) энергия активации приблизительно постоянна и равна $11 \pm 2,5$ ккал/М. Очевидно, этот факт также подтверждает образование твердых растворов и отсутствие свободной фазы NiO или MgO. Из фиг. 4 видно, что удельная константа скорости дегидрирования резко увеличивается при небольших добавках NiO (2,34—4,6% Ni), затем несколько снижается и вновь возрастает, начиная с 24% Ni (31% NiO). Поверхности катализаторов почти не меняются с увеличением концентрации NiO и только в двух случаях (18,65 и 24,2% Ni) они выше, чем у других образцов, что может быть связано с эффектом взаимной защиты.

У катализаторов, прокаленных при 400 и 600°, активность в 1,5-3 раза выше, чем у катализаторов, прокаленных при 750°. Однако для катализаторов этих серий мы не смогли рассчитать E ввиду недостаточно четкой воспроизводимости опытов, что, вероятно, связано с присутствием

некоторых количеств NaNO_3 в катализаторах. Необходимо, однако, отметить, что с повышением температуры прокаливания во всех случаях общая активность катализатора снижается. Бинарный катализатор с 36% Ni (46% NiO), прокаленный при 400°, при температуре опыта 360° обнаруживает изменение механизма разложения $i\text{-C}_3\text{H}_7\text{OH}$; количество предельных достигает 10%, CO_2 и CO 2%, что, по-видимому, связано с восстановлением NiO до Ni; на это указывают также повышение восприимчивости после работы в 7 раз и появление зависимости от напряженности поля.

ОБСУЖДЕНИЕ РЕЗУЛЬТАТОВ ОПЫТОВ

Основным вопросом, который требуется обсудить в связи с полученными данными, является вопрос о причине резкого возрастания каталитической активности MgO в реакции дегидрогенизации $i\text{-C}_3\text{H}_7\text{OH}$ при небольших добавках NiO. Этот факт нельзя объяснить, исходя из возможных изменений параметров решетки твердого раствора, ибо параметры решетки MgO и NiO очень близки (4,20 и 4,19 Å соответственно). Нам кажется, что наиболее вероятным в данном случае является объяснение с точки зрения теории полупроводников. Действительно, рядом авторов было показано [6, 11], что введение небольших количеств ионов иной валентности в решетку NiO резко изменяет каталитическую активность NiO вследствие появления ионов Ni^{+3} . Аналогичные изменения каталитической активности могут проявляться при введении в p -полупроводник n -полупроводника и обратно из-за резкого изменения концентраций тех или иных дефектов. Легко видеть, что в нашем случае мы не имеем изменения валентности иона Ni^{+2} ($\mu = 2,8\text{--}3,0 \text{ мв}$), а также не имеем полупроводников с разным характером проводимости (MgO и NiO p -полупроводники), поэтому вышеприведенные рассуждения не могут быть непосредственно применимы к нашему случаю.

Тем не менее результаты, полученные нами, можно вполне удов-

Таблица 3

| Номер по пор. | Количество Ni, вес. % (из NiO в MgO) | Активность катализатора | | | | Состав газа | | | | d в г/см^3 | S в $\text{м}^2/2$ | $S_{\text{общ.}}$ в м^2 | E акт. в ккал/м |
|---------------|-----------------------------------------|-------------------------|------------------|----------------|------------------|--------------|-------------------|---------------|-----|--------------------------|-------------------------|-------------------------------------|-------------------------------|
| | | 320° | | 340° | | H_2 | непре- дельные | CO_2 | CO | | | | |
| | | $k \cdot 10^4$ | $k/s \cdot 10^4$ | $k \cdot 10^4$ | $k/s \cdot 10^4$ | | | | | | | | |
| | | $k \cdot 10^4$ | $k/s \cdot 10^4$ | $k \cdot 10^4$ | $k/s \cdot 10^4$ | | | | | | | | |
| 1 | MgO | 10 | 0,21 | 15 | 0,32 | 93,3 | 5,6 | 0,8 | 0,3 | 0,468 | 50 | 47 | 22,8 |
| 2 | 2,34 | 41 | 0,98 | 58 | 1,38 | 98,0 | 1,7 | 0,3 | — | 0,462 | 46 | 42 | 11,5 |
| 3 | 4,60 | 91 | 1,90 | 131 | 2,72 | 97,5 | 2,0 | 0,5 | — | 0,463 | 52 | 48 | 11,9 |
| 4 | 6,00 | 85 | 1,85 | 116 | 2,52 | 97,2 | 2,3 | 0,5 | — | 0,472 | 50 | 46 | 11,4 |
| 5 | 10,40 | 75 | 1,53 | 101 | 2,06 | 99 | 0,5 | 0,5 | — | 0,509 | 48 | 49 | 14,2 |
| 6 | 18,65 | 129 | 1,43 | 156 | 1,73 | 98 | 1,3 | 0,4 | 0,3 | 0,563 | 80 | 90 | 10,4 |
| 7 | 24,20 | 89 | 1,46 | 113 | 1,46 | 98,1 | 1,5 | 0,5 | — | 0,559 | 71 | 80 | 13,7 |
| 8 | 29,60 | 130 | 2,06 | 158 | 2,50 | 98 | 1,2 | 0,7 | — | 0,696 | 46 | 63 | 8,7 |
| 9 | 36,00 | 168 | 2,27 | 253 | 3,41 | 97,8 | 1,0 | 0,6 | 0,6 | 0,704 | 53 | 74 | 14,8 |
| 10 | NiO | — | — | — | — | 34,3 | — | 16,1 | 3,5 | 2,393 | — | — | — |

летворительно объяснить, если применить теорию Волькенштейна [12] о влиянии положения уровня Ферми на каталитическую активность. Действительно MgO и NiO являются p -полупроводниками, но NiO обладает большей p -проводимостью, чем MgO . При введении NiO в MgO ионы Ni^{2+} будут занимать акцепторные уровни системы, и в силу различного p -характера NiO и MgO возможен некоторый переход электронов из валентной зоны MgO на Ni^{2+} -ионы. Этот переход вызывает снижение Ферми-потенциала и вместе с тем увеличение количества дырок в MgO , что связано с большим числом молекул $i\text{-C}_3\text{H}_7\text{OH}$, хемосорбированных на дефектах решетки (молекулы $i\text{-C}_3\text{H}_7\text{OH}$ служат донорами электронов), и приводит к увеличению скорости реакции.

Однако снижение Ферми-потенциала, т. е. переход электронов из валентной зоны MgO на акцепторные уровни, ограничено сравнительно небольшим количеством электронов, которые могут совершить такой переход. Поэтому положение Ферми-потенциала достигает минимума и соответственно этому имеется максимум в каталитической активности, что и видно из фиг. 4. Дальнейшее увеличение концентрации NiO уже не вызывает увеличения активности, ибо прекращен переход электронов из валентной зоны MgO на акцепторные уровни, и соответственно этому потенциал Ферми далее не снижается. Повторное увеличение активности, начиная с 24, 2% Ni , объясняется накоплением ионов Ni^{2+} на поверхности контакта.

Можно было бы думать, что переход электронов из валентной зоны MgO на ионы Ni^{2+} должен изменить магнитный момент Ni^{2+} -иона. Однако, как видно из фиг. 3, магнитный момент не зависит от концентрации NiO . Это, вероятно, объясняется тем, что переход электронов не настолько велик, чтобы можно было заметить изменение магнитного момента при данной чувствительности метода, но, тем не менее, он оказывает значительное влияние на изменение каталитической активности. Повышение каталитической активности при введении небольших добавок NiO позволяет предположить, исходя из предыдущей схемы, что стадией, определяющей скорость реакции, является переход электрона от $i\text{-C}_3\text{H}_7\text{OH}$ к катализатору.

Нами была предпринята попытка доказать переход электронов из валентной зоны носителя на Ni^{2+} магнитными методами. Для этого были получены образцы $\text{NiO} - \text{CdO}$ и $\text{NiO} - \text{ZnO}$. Известно, что CdO и ZnO являются n -полупроводниками и при введении в их решетку иона Ni^{2+} , если возможен переход электронов на Ni^{2+} , магнитный момент этого иона должен измениться. В табл. 2 представлены эти результаты. Из табл. 2 видно, что магнитный момент (μ_B) как для Ni^{2+} в CdO , так и для Ni^{2+} в ZnO , сильно занижен по сравнению с величиной $2,84 \mu_B$ для Ni^{2+} . Этот факт весьма интересен и указывает на то, что здесь имеется сильный переход электронов в d -оболочку иона Ni^{2+} с образованием конфигурации d^9 сразу или с образованием первоначально d^8S^1 с дальнейшим переходом в d^9 . Это ведет к уменьшению числа неспаренных электронов и соответственно — к снижению магнитного момента. Значения константы Вейса для $\text{NiO} - \text{CdO}$ и $\text{NiO} - \text{ZnO}$ велики по сравнению со значениями ее для $\text{NiO} - \text{MgO}$ при тех же концентрациях NiO , как это видно из данных табл. 2 и фиг. 3. Одной из возможных причин этого является сильное штарковское расщепление под влиянием электрических полей ZnO и CdO .

Результаты настоящей работы указывают на существенные различия механизма активирующего действия умеренных добавок NiO к Al_2O_3 и MgO и появления максимума удельной активности в обоих этих случаях; у $\text{NiO} - \text{Al}_2\text{O}_3$ основную роль играет «валентная индукция», тогда как в случае $\text{NiO} - \text{MgO}$ указанные явления связаны с изменением Ферми-потенциала системы. При этом следует иметь в виду, что $\text{NiO} - \text{Al}_2\text{O}_3$ — дегидратирующий катализатор, а $\text{NiO} - \text{MgO}$ — дегидрирую-

щий: в первом случае имеет место реакция ионного, а во втором электронного типа. В какой мере обсужденные механизмы активирующего действия добавок характерны для катализаторов этих типов должны показать дальнейшие исследования.

ВЫВОДЫ

1. Исследовано влияние состава прокаленных при 400, 600 и 750° совместно осажденных NiO — MgO катализаторов на их магнитные и каталитические свойства для реакции разложения $i\text{-C}_3\text{H}_7\text{OH}$.

2. Изученные катализаторы подчиняются закону Кюри-Вейса со значениями константы Вейса, возрастающими с содержанием NiO и понижением температуры прокаливания образцов; величина магнитного момента у всех образцов не зависит от концентрации NiO и в пределах ошибки опыта соответствует иону Ni^{2+} ($\mu = 2,8 - 3,1 \mu_B$).

3. Удельная каталитическая (дегидрирующая) активность препаратов при малых (до 5 вес. % Ni) добавках NiO резко возрастает по сравнению с активностью чистой MgO; вторичное увеличение удельной активности имеет место при $\text{Ni} > 24$ вес. % ($\sim 31\%$ NiO) и объясняется чисто концентрационным фактором.

4. Повышенная активность бинарных катализаторов в области малых концентраций NiO объяснена, исходя из полупроводниковых свойств NiO и MgO, переходом электронов из валентной зоны MgO на ионы Ni^{2+} , что вызывает соответствующее снижение Ферми-потенциала. Возможность такого перехода электронов экспериментально доказана на примере NiO — ZnO и NiO — CdO; переход электронов CdO и ZnO (n -полупроводники) на ион Ni^{2+} привел к уменьшению магнитного момента этого иона.

Институт органической химии
им. Н. Д. Зелинского
Академии наук СССР

Поступило
28.VI.1958

ЛИТЕРАТУРА

1. А. М. Рубинштейн, А. А. Слинкин и Н. А. Прибыткова, Изв. АН СССР. Отд. хим. н. 1958, 814.
2. А. М. Рубинштейн и А. А. Слинкин, Изв. АН СССР. Отд. хим. н. 1958, 1054.
3. F. N. Hill, P. W. Selwood, J. Amer. Chem. Soc. 71, 2522 (1949).
4. N. Elliott, J. Chem. Phys. 22, 1924 (1954).
5. N. Perakis, A. Serres, J. phys. et radium 18, 47 (1957).
6. Н. П. Кейер, С. З. Рогинский и И. С. Сазонова, Изв. АН СССР, серия физ. 21, 183 (1957).
7. А. М. Рубинштейн и В. А. Афанасьев, Изв. АН СССР. Отд. хим. н. 1956, 1294.
8. В. Э. Вассерберг, Бюллетень ВИНТИ, П-56-47/2.
9. А. Борки и А. А. Баландин, Z. phys. Chem. 33, 73 (1936).
10. О. В. Крылов, С. З. Рогинский и Е. А. Фокина, Изв. АН СССР. Отд. хим. н. 1958, 421.
11. E. J. Vervey, P. W. Haalijman, P. C. Romeijn, Phil. Res. Rep. 5, 173, (1950); G. M. Schwab, I. Block, Z. phys. Chem. (Frankfurt), 1, N 1—2, 42 (1954); Parrovano, J. Chem. Phys. 23, N 1, 5 (1955).
12. Ф. Ф. Волькенштейн, Успехи химии 27, 1304 (1958).

Л. А. ЛОВАЧЕВ

О ЦЕПОЧЕЧНО-ТЕПЛОВОМ РАСПРОСТРАНЕНИИ ПЛАМЕНИ

СООБЩЕНИЕ 3. ВЛИЯНИЕ КОЭФФИЦИЕНТА ДИФФУЗИИ И ТЕПЛОПРОВОДНОСТИ

В первой статье [1] был рассмотрен процесс цепочечно-теплового распространения пламени с упрощенной схемой цепной реакции, математическое описание которого дается системой дифференциальных уравнений диффузии активного центра и теплопроводности. Скорость выделения тепла в зоне реакции ламинарного пламени зависит от взаимодействия теплового и диффузионного потоков и определяется в основном диффузией активных центров из областей пламени с их высокой концентрацией и высокой температурой [1]. В настоящей статье получено соотношение, связывающее скорость распространения пламени с коэффициентом диффузии ведущего активного центра, теплопроводностью и прочими кинетическими и термодинамическими величинами для данной горючей смеси.

Вывод соотношений. По статье [1] для скорости распространения пламени u_0 можно получить соотношение

$$u_0 = \frac{1}{\rho_0} \eta \rho_*, \quad (1)$$

где

$$\eta = \frac{4D_0}{\alpha T_m}, \quad \alpha = \frac{cD_0}{\lambda_0} \text{ и } D = \rho D_p; \quad (2)$$

$$\dot{\rho}_*^2 = \frac{(\gamma - \beta\gamma) + \sqrt{(\gamma - \beta\gamma)^2 + 4\delta\gamma\alpha}}{2\gamma\alpha};$$

$$\alpha = 2D_m \frac{c}{Q_m}, \quad \beta = \frac{n_\Gamma}{2} T_m, \quad \gamma = D_m n_\Gamma, \quad \delta = R_m T_m^2, \quad Q_m = h n_{Am} K_m,$$

$$K_m = Z_A \frac{1}{\mu_P} \rho_m^2 \exp(-E/RT'_m), \quad R_m = Z_B \frac{\mu_P}{\mu_A} \rho_m n_{Am} \exp(-E_P/RT'_m),$$

$$\rho_m = \rho_0 \frac{\mu_m}{\mu_0} \frac{T'_0}{T'_m}, \quad T'_m = \frac{T'_\Gamma + T'_0}{2}, \quad T_m = \frac{T'_\Gamma - T'_0}{2},$$

где ρ_0 — плотность смеси при начальной температуре T'_0 °K; n_Γ — безразмерная весовая концентрация активного центра при температуре горения $T'_\Gamma = T_\Gamma + T'_0$; c — теплоемкость; D_p — коэффициент диффузии активного центра; n_A — концентрация исходного вещества; h — тепловой эффект реакции; K_m — константа скорости реакции при температуре T'_m °K, отвечающей максимальному значению градиента температуры; R_m — скорость зарождения активного центра при температуре T'_m ; μ_P — молекулярный вес активного центра; μ_A — молекулярный вес исходного вещества; μ — кажущийся

молекулярный вес смеси. Индекс „0“ относится к начальному состоянию, индекс „Г“ — к состоянию при температуре горения $T'_Г$.

Полагая, что температурная зависимость коэффициента диффузии имеет вид $D_p \sim (T')^a$, получим при $q = \mu_0/\mu_m (T'_0/T'_m)^{a-1}$:

$$D_0 = D_m q, \quad \eta = 4D_m q \frac{1}{\kappa T_m}. \quad (3)$$

По (1) с учетом (2) и (3) найдем соотношение для определения скорости распространения пламени

$$u_0 = \varphi \frac{1}{\rho_0} \sqrt{\frac{n_\Gamma Q_m (\rho D_p)_m}{2c T_\Gamma}} = \varphi \frac{1}{2\rho_0} \sqrt{n_\Gamma K_m \rho_m D_{pm}}, \quad (4)$$

где

$$\varphi = 2 \sqrt{\frac{2q}{\kappa} \left(1 - \frac{2q}{\kappa}\right)}, \quad (5)$$

$$\xi = \sqrt{\frac{1}{2} (1 + \sqrt{1 + M})}, \quad (6)$$

$$M = \frac{4\delta\eta\alpha}{(\gamma - \beta\eta)^2} = \frac{32q\kappa}{(\kappa - 2q)^2} \frac{R_m}{K_m n_\Gamma^2}. \quad (7)$$

Обозначая индексом „н“ величины в исходном состоянии, а индексом „л“ — в новом состоянии, получим при помощи (4) для отношения скоростей распространения пламени:

$$\frac{u_{0л}}{u_{0н}} = \frac{\varphi_l \xi_l}{\varphi_n \xi_n} G_T \sqrt{\frac{(n_\Gamma \rho_\Gamma)_л (D_p)_{0л}}{(n_\Gamma \rho_\Gamma)_н (D_p)_{0н}}} \exp \left[\frac{E}{R} \left(\frac{1}{T'_{Гн} + T'_{0н}} - \frac{1}{T'_{Гл} + T'_{0л}} \right) \right], \quad (8)$$

где

$$G_T = \sqrt{\frac{\mu_{mл}^3 \mu_{Гн} \mu_{0н}^2}{\mu_{Гл} \mu_{0л}^2 \mu_{mn}^3}} \sqrt{\frac{Z_{Ал} T'_{Гл} (T'_{0л})^{2-a} (T'_{Гн} + T'_{0н})^{3-a}}{Z_{Ан} T'_{Гн} (T'_{0н})^{2-a} (T'_{Гл} + T'_{0л})^{3-a}}}. \quad (9)$$

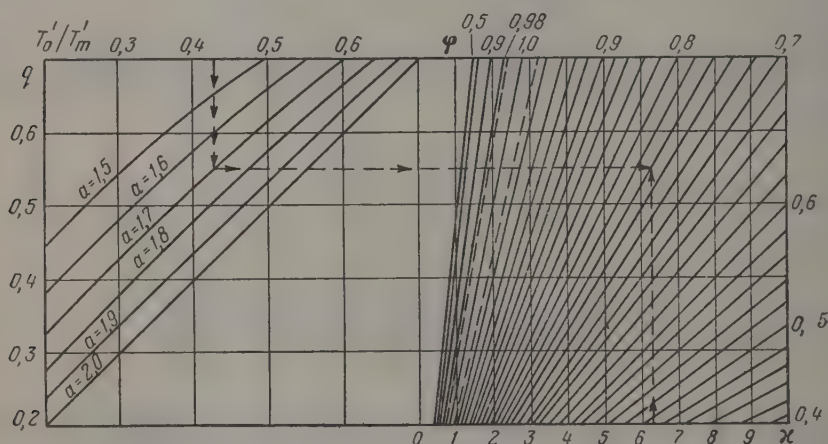
Соотношение (8) позволяет рассчитывать отношение скоростей распространения пламени при изменении коэффициента диффузии и теплопроводности, а также находить зависимость u_0 от давления и температуры, не прибегая к вычислениям абсолютных значений скоростей распространения.

Зависимость u_0 от отношения коэффициента диффузии активного центра к коэффициенту температуропроводности $\kappa = c\rho D_p/\lambda$ по (4) выражается через φ и ξ . В тех случаях, когда допустимо пренебрегать скоростью зарождения активных центров, т. е. полагать, что $R_m = 0$, $\xi = 1$. При $\xi = 1$ вся зависимость u_0 от κ определяется только коэффициентом φ , который не зависит от констант скоростей химических реакций. Уменьшение κ , т. е. увеличение теплопроводности λ или уменьшение коэффициента диффузии D_p , при прочих сходных условиях, вызовет увеличение коэффициента ξ (6). Это обусловлено тем, что при этом относительно уменьшается количество активных центров, доставляемых в зону реакции диффузией, и, следовательно, относительно увеличивается роль скорости зарождения активных центров. Поэтому увеличение теплопроводности при неизменном значении коэффициента диффузии может оказывать в целом различное влияние на величину скорости распространения пламени — в зависимости от соотношения величин, входящих

в формулу (7) для M . Это влияние будет тем больше, чем больше скорость зарождения и чем меньше n_Γ , так как от величины n_Γ зависит диффузионный поток активного центра. Обычно скорость зарождения активных центров мала, и M будет меньше единицы, пока $(\chi - 2q)$ будет порядка единицы. Это объясняется тем, что энергия активации скорости зарождения $E_p \gg E$ и примерно равна теплоте реакции образования активного центра, определяющей величину константы равновесия, по которой рассчитывается n_Γ . Однако в случае разветвленной цепной реакции влияние M может быть более значительным. Скорость разветвления цепей можно представить, как $iK_m n_{Am} n_m$ [1], где i — коэффициент разветвления цепей. Теперь скорость разветвления цепей для [7] условно представим как скорость зарождения цепей, положив $R'_m = R_m + iK_m n_{Am} n_m$. Тогда $M' = M + \Delta M$, где

$$\Delta M = \frac{32q\chi}{(\chi - 2q)^2} \frac{iK_m n_{Am} n_m}{K_m n_\Gamma^2} \approx \frac{32q\chi}{(\chi - 2q)^2} \frac{n_{Am}}{2n_\Gamma} i.$$

Теперь очевидно, что при наличии разветвления цепей коэффициент ξ будет в основном зависеть от скорости разветвления цепей (при не очень малых i). Поэтому при увеличении скорости разветвления цепей (увеличение i) изменение теплопроводности будет оказывать более значительное влияние на изменение скорости распространения пламени, вследствие более значительного возрастания или падения величины коэффициента ξ , согласно уравнениям (6) и (7).

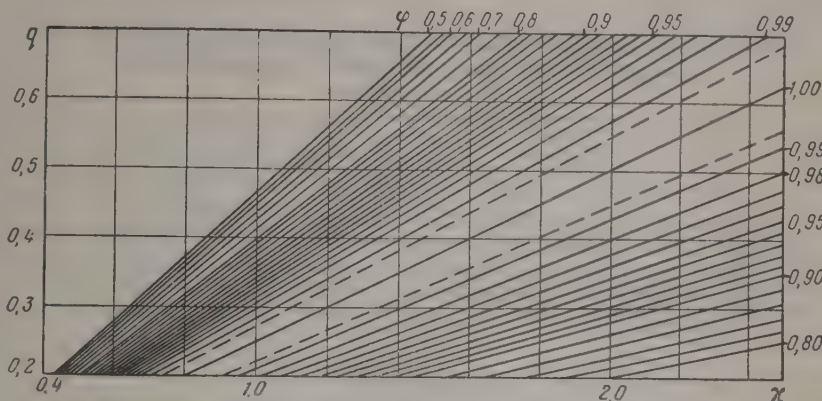


Фиг. 1. Номограмма для определения коэффициента φ в зависимости от χ и T'_0/T'_m при различных значениях показателя a

На фиг. 1 приведена номограмма для определения коэффициента φ в зависимости от χ и T'_0/T'_m при различных значениях показателя a (на вертикальной оси слева нанесены значения величины $q = (T'_0/T'_m)^{a-1}$). На фиг. 2 представлена правая часть номограммы с фиг. 1 в увеличенном масштабе. Из данных, приведенных на фиг. 1 и 2, видно, что влияние величины χ на скорость распространения пламени может быть различным в зависимости от отношения температур T'_0/T'_m и показателя a . На фиг. 3 приводится зависимость коэффициента ξ от величины M по уравнению (6).

Численные расчеты. Полученное соотношение (8) было применено для вычисления отношения скоростей распространения пламени в трех стехиометрических метано-кислородных смесях (9,46% метана), содержащих одинаковое количество различных инертных разбавителей: смесь с азотом (воздушная

смесь), смесь с аргоном вместо азота, смесь с гелием вместо азота. Не учитывая детальный механизм химического превращения, будем полагать, что вид константы скорости реакции выделения тепла K сохраняется при замене инертного разбавителя и что скорость тепловыделения определяется в основном диффузией одного из активных центров, у которого произведение коэффициента диффузии на его концентрацию при температуре горения T'_T будет наибольшим.

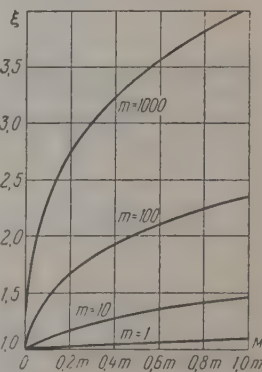


Фиг. 2. Правая часть номограммы с фиг. 1 (в увеличенном масштабе)

Опытное отношение скоростей распространения пламени для трех указанных смесей $(u_0)_{N_2} : (u_0)_A : (u_0)_{He}$ приводится в работе Клингмана, Броко и Пиза [2] (таблица). Значение скорости распространения пламени в метано-кислородной смеси с аргоном в таблице принято за единицу; $(u_0)_A = 1$. Все данные, необходимые для выполнения расчетов по соотношению (8), были приняты по [2]. Значение энергии активации $E = 13,7$ ккал/М, входящей в (8), было определено по соотношению (8) из зависимости u_0 от давления в стехиометрической метано-кислородной смеси [3]. Для показателя a было принято значение $a = 1,9$. Расчеты отношения скоростей распространения пламени по (8) были выполнены по концентрациям и коэффициентам диффузии атомов водорода и гидроксила (таблица).

Возможно, что значение коэффициента диффузии ОН в смеси с гелием, приведенное в [2], несколько занижено. Ввиду высокой, по сравнению с концентрацией атомов Н, концентрации гидроксила при температуре горения для 9,46% метана в смесях с аргоном или гелием отношение $(u_0)_A : (u_0)_{He}$, по-видимому, должно определяться в основном по концентрациям и коэффициентам диффузии гидроксила, а не атомов Н. Поэтому уточнение значений коэффициентов диффузии гидроксила, которое не входит в задачи настоящей статьи, весьма существенно.

Возможно, что для уточнения теоретических отношений скоростей распространения пламени необходим учет скорости разветвления (в настоящих расчетах с учетом зарождения было установлено, что во всех случаях $\xi = 1$ и что поэтому можно пренебрегать скоростью зарождения цепей при вычислении отношений в таблице). Причина недостаточно близкого соответствия вычисленного по ОН отношения с опытным



Фиг. 3. Зависимость коэффициента ξ по уравнению (6) от величины M

может заключаться и в том, что теоретическое соотношение (8) получено для упрощенной схемы цепной реакции с учетом диффузии только одного активного центра. Дальнейшее уточнение теоретических соотношений для определения зависимости скорости распространения пламени от теплопроводности и коэффициентов диффузии будет выполнено после опубликования теории распространения пламени с учетом диффузии двух активных центров.

Т а б л и ц а

Отношение скоростей распространения пламени в метано-кислородных смесях с азотом (воздушная смесь), аргоном и гелием при 9,46% метана

| Источник | $(u_0)_{N_2}$ | $(u_0)_A$ | $(u_0)_{He}$ |
|-------------------------------|---------------|-----------|--------------|
| Опытные данные [2] | 0,43 | 1 | 1,42 |
| По тепловой теории [2] | | 1 | 2,03 |
| По теории Тэнфорда и Пиза [2] | 0,36 | 1 | 1,32 |
| По соотношению (8) и атомам Н | 0,31 | 1 | 1,77 |
| По соотношению (8) и ОН | 0,43 | 1 | 0,91 |

ВЫВОДЫ

Получено соотношение, определяющее зависимость скорости распространения пламени от коэффициента диффузии ведущего активного центра и теплопроводности; оно применено для вычисления отношения скоростей распространения пламени в трех метано-кислородных смесях, содержащих азот (воздушная смесь), аргон вместо азота или гелий вместо азота. Теоретические отношения скоростей распространения находятся в соответствии с опытными отношениями.

Институт химической физики
Академии наук СССР

Поступило
14.VI.1958

ЛИТЕРАТУРА

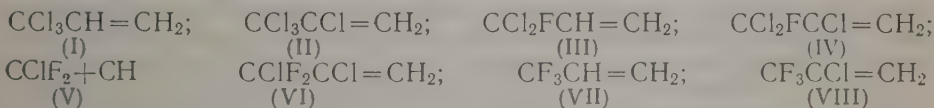
1. Л. А. Ловачев, Изв. АН СССР. Отд. хим. н. 1959, 1740.
2. W. H. Clingman, R. S. Brokaw, R. N. Pease, Fourth Symposium on Combustion, Baltimore, 1953, стр. 310—313.
3. Л. А. Ловачев, Изв. АН СССР. Отд. хим. н. 1960, 204.

А. Н. НЕСМЕЯНОВ, В. Н. КОСТ, Л. И. ЗАХАРКИН и Р. Х. ФРЕЙДЛИНА

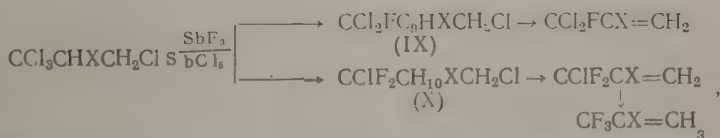
ПОЛУЧЕНИЕ НЕКОТОРЫХ ФТОРХЛОРПРОИЗВОДНЫХ, ИСХОДЯ ИЗ 1, 1, 1,3-ТЕТРАХЛОРПРОПАНА

Как было показано двумя из авторов этой статьи и Фирстовым [1], ряд разнообразных полихлорпроизводных пропана и пропилена может быть получен, исходя из 1,1,1,3-тетрахлорпропана посредством последовательного проведения реакций дегидрохлорирования и хлорирования. Полученные соединения могут быть использованы для синтеза фторхлорзамещенных пропана и пропилена [2, 3]. Так, например, Хассельдин [3] описал получение ряда фторхлоролефинов типа $\text{CF}_3\text{CX}=\text{CH}_2$ и $\text{CF}_2\text{ClCX}=\text{CH}_2$, где $\text{X}=\text{H}$, Cl , Br фторированием соединений, описанных в вышеупомянутой работе [1].

Нам представлялось интересным получить также и соединения типа $\text{CCl}_2\text{FCX}=\text{CH}_2$, где $\text{X}=\text{H}$, Cl , в частности, для сравнительного изучения способности к аллильной перегруппировке галоидпропенов строения:



Представляло также интерес получить фторхлорпроизводные, содержащие реакционноспособные группы, исходя из 1,1,1,3-тетрахлорпропана. Упомянутые фторхлоролефины получались нами по схеме:



где $\text{X}=\text{H}$, Cl .

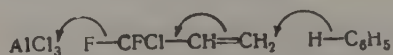
Строение монофторидов (III, IV, IX) доказывалось получением из них известных дифторидов (V, VI, X) под действием трехфтористой сурьмы в присутствии пятихлористой сурьмы.

В результате исследования нами установлено, что способность к аллильной перегруппировке уменьшается в ряду $\text{CCl}_3\text{CR}=\text{CH}_2$, $\text{CCl}_2\text{FCR}=\text{CH}_2$, $\text{CClF}_2\text{CR}=\text{CH}_2$, где $\text{R}=\text{H}$ или Cl . Если $\text{CCl}_3\text{CH}=\text{CH}_2$ и $\text{CCl}_3\text{CCl}=\text{CH}_2$ нацело изомеризуются при нагревании до 150° [1], то соединения строения $\text{CClF}_2\text{CH}=\text{CH}_2$ и $\text{CClF}_2\text{CCl}=\text{CH}_2$ практически не способны к аллильной перегруппировке в этих условиях. Соответствующие монофториды занимают промежуточное положение в этом отношении.

Как уже сообщалось [1], 1,1,1-трихлорпропен и 1,1,1,2-тетрахлорпропен конденсируются с бензолом в присутствии небольшого количества AlCl_3 уже при комнатной температуре; полученные при этом вещества имеют строение: $\text{C}_6\text{H}_5\text{CH}_2\text{CH}=\text{CCl}_2$ и $\text{C}_6\text{H}_5\text{CH}_2\text{CCl}=\text{CCl}_2$ соответственно, что указывает на наступление аллильной перегруппировки в процессе этой реакции. Было интересно сравнить поведение в этих условиях

1,2-дихлор-1,1-дифторпропена. Оказалось, что в последнем случае реакция идет лишь с трудом при постепенном добавлении все новых порций AlCl_3 и при нагревании. Полученное соединение оказалось не дифтормонохлорпроизводным, как следовало бы ожидать, а монофтордихлорпроизводным строения $\text{C}_6\text{H}_5\text{CH}_2\text{CCl}=\text{CClF}$. Строение этого соединения доказано окислением щелочным раствором марганцевокислого калия с получением фенилуксусной кислоты.

Малая вероятность того, что реакция идет с аллильной перегруппировкой за счет атома фтора, заставляет нас предположить, что в данном случае имело место одновременное воздействие на дифторид хлористого алюминия и бензола, что может быть выражено схемой:



Взаимодействие 1-фтор-1,1-дихлорпропена с бензолом и хлористым алюминием течет аналогично, приводя к получению 1,1-дихлор-3-фенилпропена-1. В связи с таким необычным течением реакции за счет атома фтора нами было изучено действие на 1-фтор-1,1-дихлорпропен цианистой меди. Ранее нами было показано [4], что 1,1,1-трихлорпропен при взаимодействии с цианистой медью превращается в нитрил γ , γ -дихлорвинилуксусной кислоты.

Реакция цианистой меди с 1-фтор-1,1-дихлорпропеном идет аналогично реакции с 1,1,1-трихлорпропеном за счет атома хлора с аллильной перегруппировкой с образованием нитрила γ -фтор- γ -хлорвинилуксусной кислоты. Строение нитрила доказано гидролизом в среде концентрированной серной кислоты в янтарную кислоту. 1,1-Дифтор-1-хлорпропен реагирует с цианистой медью лишь в жестких условиях при температуре $\sim 250^\circ$ с образованием смеси продуктов, из которой с небольшими выходами выделен нитрил γ , γ -дифторвинилуксусной кислоты и соединение состава $\text{C}_4\text{H}_4\text{NF}_3$, по-видимому, являющееся нитрилом трифтормасляной кислоты. Образование последнего соединения показывает, что реакция течет сложно и, вероятно, сопровождается выделением фтористого водорода.

Из нитрила γ -фтор- γ -хлорвинилуксусной кислоты гидролизом смесью соляной и уксусной кислоты получена γ -фтор- γ -хлорвинилуксусная кислота, охарактеризованная через ее анид. При действии хлора на нитрил γ -фтор- γ -хлорвинилуксусной кислоты получен нитрил γ -фтор- β - γ , γ -трихлормасляной кислоты. Гидролизом этого нитрила получена γ -фтор- β , γ , γ -трихлормасляная кислота, охарактеризованная через ее анид. Та же кислота получена при действии хлора на γ -фтор- γ -хлорвинилмасляную кислоту.

ЭКСПЕРИМЕНТАЛЬНАЯ ЧАСТЬ

Получение $\text{CClF}_2\text{CH}_2\text{CH}_2\text{Cl}$ и $\text{CCl}_2\text{FCH}_2\text{CH}_2\text{Cl}$. 210 г (1,13 М) 1,1,1,3-тетрахлорпропана, 180 г (1 М) трехфтористой сурьмы и 18 г пятихлористой сурьмы нагревались в колбе с длинной вертикальной трубкой, соединенной с прямым холодильником, на масляной бане. Реакция начиналась при 120° , при этом сначала отгонялся дифторид, а затем при повышении температуры — монофторид. Выделялось также значительное количество хлористого водорода. Дистиллат промыт соляной кислотой, затем водой и высушен над хлористым кальцием. При фракционированной перегонке с 40 см дефлегматором Вигре получено 88 г (51% от теорет.) 1,1-дифтор-1,3-дихлорпропана и 20 г (10% от теорет.) 1,1,3-трихлор-1-фторпропана. 1,1-Дифтор-1,3-дихлорпропан кипит при $80,5-81^\circ$. n_D^{20} 1,3792; d_4^{20} 1,3520; найдено MR 25,48. $\text{C}_3\text{H}_4\text{Cl}_2\text{F}_2$. Вычислено MR 25,58. Литературные данные для 1,1-дифтор-1,3-дихлорпропана [3]: т. кип. $81-81,5^\circ$;

$n_D^{20} 1,3775$; $d_4^{20} 1,339$. 1-Фтор-1,1,3-трихлорпропан кипит при 118–118,5°; $n_D^{20} 1,4302$; $d_4^{20} 1,4055$; найдено MR 30,50. $C_3H_4Cl_3F$. Вычислено MR 30,55. Найдено: Cl 64,72; 64,62%. Вычислено: Cl 64,40%.

1-Фтор-1,1-дихлорпропен. К 30 г (0,18 М) 1,1,3-трихлор-1-фторпропана при комнатной температуре при перемешивании постепенно добавлен раствор 15 г (0,27 М) едкого кали в 30 мл спирта. Через 3 часа реакционная смесь разбавлена водой, выделившееся масло отделено и высушено над хлористым кальцием. При перегонке получено 19,7 г (84% от теорет.) 1-фтор-1,3-трихлорпропена, кипящего при 57,5–58°; $n_D^{20} 1,4013$; $d_4^{20} 1,2401$; найдено MR 25,24 $C_3H_3Cl_2FF$. Вычислено MR 25,32. Найдено: Cl 55,31; 55,39%. Вычислено: Cl 55,04%.

Получение $CCl_2FCHClCH_2Cl$ и $CCl_2FCHClCH_2Cl$. В круглодонную колбу, снабженную вертикальной трубкой (40 см), соединенной с холодильником, было помещено 125 г (0,58 М) 1,1,1,2,3-пентахлорпропана, 90 г (0,50 М) трехфтористой сурьмы и 5 г пятихлористой сурьмы. Смесь нагревали на голлом пламени так, чтобы шла быстрая перегонка. Продукт собирался под слой соляной кислоты, затем был тщательно промыт соляной кислотой и водой и высушен над хлористым кальцием. При перегонке продукта собирались следующие фракции: фракция I до 113°; 1 г; фракция II с т. кип. 113–140°; 32,5 г; фракция III с т. кип. 140–170; 29,5 г; остаток 6 г.

После двукратной перегонки фракции II получено 29,5 г (28% от теорет.) дифторида, кипящего при 113,5–114,5°; $n_D^{20} 1,4126$. По Хассельдину [3]: т. кип. 113°, $n_D^{20} 1,415$.

Из фракции III выделен монофторид (выход 18% от теорет.) с т. кип. 154–155° (21 г); $n_D^{20} 1,4669$; $d_4^{20} 1,5610$; найдено MR 35,51, $C_3H_3Cl_4F$. Вычислено MR 35,42. Найдено: C 18,14; 18,39; H 1,50; 1,49; Cl 70,42; 70,12%. Вычислено: C 18,02; H 1,52; Cl 70,95%.

Варьируя количество $SbCl_5$, можно получить в качестве основного продукта как монофторид, так и дифторид.

1-Фтор-1,1,2-трихлорпропен. Реакция проводилась как описано в опыте получения 1-фтор-1,1-дихлорпропена. При этом из 32 г $CCl_2FCHClCH_2Cl$ и 14 г KOH в 35 мл спирта было получено 15,5 г вещества (59,4% от теорет.), которое после двукратной перегонки имело т. кип. 98,5–98,7° (742 мм); $n_D^{20} 1,4402$; $d_4^{20} 1,4353$; найдено MR 30,02. $C_3H_2Cl_3FF$. Вычислено MR 30,08. Найдено: Cl 64,44; 64,20%. Вычислено: Cl 65,09%.

Аллильная перегруппировка 1,1,1-трихлорпропена при нагревании с трехфтористой сурьмой. 12 г (0,088 М) 1,1,1-трихлорпропена (т. кип. 101°) нагревали при 140–150° с 18 г (0,10 М) SbF_3 в пробирке из нержавеющей стали в течение 2 час. Получено 11 г вещества, кипящего при 131–131,5°, по всем свойствам идентичного с 1,1,3-трихлорпропеном-1; продуктов замещения хлора на фтор не было найдено.

Аллильная перегруппировка $CCl_3CCl=CH_2$ под действием пятихлористой сурьмы. К 24 г тетрахлорпропена при охлаждении до 0° было добавлено 1,1 г пятихлористой сурьмы. Смесь была оставлена на ночь при комнатной температуре. Продукт реакции был промыт соляной кислотой, водой и высушен над хлористым кальцием. При перегонке было выделено 20 г изомерного тетрахлорпропена $CCl_2=CCl-CH_2Cl$, который после двукратной перегонки имел т. кип. 165,5–166,5° (766 мм); $n_D^{20} 1,5198$.

Аллильная перегруппировка 1-фтор-1,1-дихлорпропена при нагревании с SbF_3 . 11,5 г (0,09 М) монофтордихлорпропена (т. кип. 58°) нагревали при 150–155° с 15 г (0,083 М) SbF_3 в стальной пробирке в течение 3 час. Реакционная смесь обработана разбавленной соляной кислотой. Масло отделено и высушено над хлористым кальцием. При фракционировании выделено 4,6 г 1,3-дихлор-1-фторпропена-1, кипящего при 88,6–89,3°; $n_D^{20} 1,4310$; $d_4^{20} 1,3186$; найдено MR 25,32. $C_3H_3Cl_2FF$. Вычислено MR 25,32.

Отношение 1,1-дифтор-1-хлорпропена к нагреванию с трехфтористой

сурьмой. 12 г (0,11 М) 1,1-дифтор-1-хлорпропена нагревали при 160—180° с 10 г (0,06 М) SbF_3 в стальной пробирке в течение 4 час. Обратно выделено 11 г неизмененного 1,1-дифтор-1-хлорпропена, кипящего при 21—22°. В присутствии небольшого количества SbCl_5 гладко идет фторирование с образованием 1,1,1-трифторпропена.

Отношение 1-фтор-1,1,2-трихлорпропена к нагреванию с трехфтористой сурьмой. 13,1 г (0,08 М) 1-фтор-1,1,2-трихлорпропена нагревали при 160—180° с 18 г (0,1 М) SbF_3 в стальной пробирке в течение 4 час. Обратно выделено 10,8 г неизмененного 1-фтор-1,1,2-трихлорпропена, кипящего при 98—99°; $n_D^{20} 1,4402$.

Отношение 1,1-дифтор-1,2-дихлорпропена к нагреванию в присутствии SbF_3 . При нагревании 14,7 г (0,1 М) 1,1-дифтор-1,2-дихлорпропена с 12 г трехфтористой сурьмы до 170—180° в течение 4 час. никакой реакции не происходило; выделено 13 г 1,1-дифтор-1,2-дихлорпропена в неизмененном виде; т. кип. 54—55°; $n_D^{20} 1,3770$. В присутствии небольших количеств пятихлористой сурьмы гладко идет фторирование с образованием 1,1,1-трифтор-2-хлорпропена.

Взаимодействие 1,1-дифтор-1,2-дихлорпропена с бензолом и хлористым алюминием. К раствору 12 г (0,082 М) дифтордихлорпропена в 50 мл бензола прибавлено 0,5 г хлористого алюминия, и смесь нагревалась до кипения (на водяной бане) в течение 4 час., время от времени в нее добавлялся хлористый алюминий (при прекращении выделения HCl). Всего было добавлено 3 г (0,023 М). Смесь была вылита в воду. Масляный слой промыт соляной кислотой, водой и высушен над хлористым кальцием. После отгонки бензола остаток был перегнан в вакууме. Собиралась фракция с т. кип. 86—89 (6 мм); 13,2 г, что соответствует 78,6% от теорет. При дальнейших перегонках вещество кипело при 84—84,5 (5,5 мм); $n_D^{20} 1,5256$; $d_4^{20} 1,2759$; найдено MR 49,30. $\text{C}_9\text{H}_7\text{Cl}_2\text{F}_2$. Вычислено MR 49,32. Найдено: С 52,63; 52,42; Н 3,58; 3,33; Cl 34,32; 34,31%. Вычислено: С 52,71; Н 3,44; Cl 34,58%.

Взаимодействие 1-фтор-1,1-дихлорпропена с бензолом и хлористым алюминием. В раствор 10 г 1-фтор-1,1-дихлорпропена в 50 мл бензола добавили по частям 2 г AlCl_3 . Смесь нагревали на водяной бане до прекращения выделения хлористого водорода. Раствор был промыт водой и высушен над CaCl_2 . После отгонки бензола остаток перегнан в вакууме. Получено 9,1 г 1,1-дихлор-3-фенилпропена-1 с т. кип. 95—95,5° (6,5 мм); $n_D^{20} 1,5495$; $d_4^{20} 1,2022$; найдено MR 49,53; вычислено MR 49,43. Для 1,1-дихлор-3-фенилпропена-1 известны [1] следующие константы: т. кип. 94—95° (6 мм); $n_D^{20} 1,5490$; $d_4^{20} 1,2032$.

Нитрил γ -фтор- γ -хлорвинилуксусной кислоты. Смесь 12,9 г 1-фтор-1,1-дихлорпропена и 10 г цианистой меди нагревали в стальной пробирке при 160—170° в течение 2,5 час. Продукт реакции был отогнан. После двукратной перегонки получено 6 г (50,4% от теорет.) нитрила γ -фтор- γ -хлорвинилуксусной кислоты с т. кип. 61—62° (21 мм); $n_D^{20} 1,4279$; $d_4^{20} 1,2419$; найдено MR 24,76; $\text{C}_4\text{H}_3\text{ClFN}$. Вычислено MR 24,79. Найдено: Cl 29,05; 29,03%. Вычислено: Cl 29,66%. Гидролиз нитрила (0,5 г) в 10 мл 92%-ной серной кислоты при 120° дал (0,3 г) янтарной кислоты, не показавшей депрессии температуры плавления смешанной пробы с заведомой янтарной кислотой.

γ -Фтор- γ -хлорвинилуксусная кислота. Раствор 6 г нитрила γ -фтор- γ -хлорвинилуксусной кислоты в смеси 10 мл уксусной кислоты, 6 мл соляной кислоты и 6 мл воды кипятили 8 час. Смесь разбавлена водой и экстрагирована эфиром. После отгонки растворителя и двукратной перегонки получено 5,9 г (85% от теорет.) γ -фтор- γ -хлорвинилуксусной кислоты с т. кип. 95—96° (10 мм); $n_D^{20} 1,4397$; $d_4^{20} 1,3720$; найдено MR 26,59; $\text{C}_4\text{H}_4\text{ClFO}_2$. Вычислено MR 26,51. Анирид имеет т. пл. 75—76° (из смеси бензол и петролейного эфира). Найдено: N 6,56; 6,64%. $\text{C}_{10}\text{H}_9\text{ClFNO}$. Вычислено: N 6,56%.

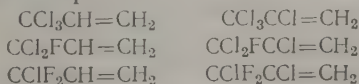
γ-Фтор-β, γ, γ-трихлормасляная кислота. Через раствор 4 г γ-фтор-γ-хлорвинилуксусной кислоты в 10 мл CCl_4 при нагревании до кипения и освещении пропускали хлор до насыщения. После отгонки растворителя остаток перегнан в вакууме. При повторной перегонке получено 5,5 г (90% от теорет.) γ-фтор-β-γ-γ-трихлормасляной кислоты с т. кип. 121° (8 мм); $n_D^{20} 1,4654$; $d_4^{20} 1,5756$; найдено $MR 36,77$; $\text{C}_4\text{H}_4\text{Cl}_3\text{FO}_2$. Вычислено $MR 36,71$. При стоянии кислота закристаллизовалась; т. пл. $29-30^\circ$ (из петroleйного эфира). Найдено: С 23,05; 23,03; Н 2,12; 2,15%. Вычислено: С 22,94; Н 1,92%. Нагреванием кислоты с хлористым тиоилом получен ее хлорагидрид ($\text{CFCI}_2\text{CHClCCl}$) с т. кип. $62-63^\circ$ (8 мм); $n_D^{20} 1,4700$. Анилид имеет т. пл. $123-124^\circ$ (из бензола и петroleйного эфира). Найдено: N 5,13; 5,16%. Вычислено: N 4,92%.

Нитрил γ-фтор-β-γ-γ-трихлормасляной кислоты. Опыт проводился, как предыдущий. Из 5 г нитрила γ-фтор-γ-хлорвинилуксусной кислоты при хлорировании получено 7,1 г нитрила γ-фтор-β-γ-γ-трихлормасляной кислоты с т. кип. $87-88^\circ$ (8 мм); $n_D^{20} 1,4641$; $d_4^{20} 1,5052$; найдено $MR 34,92$; $\text{C}_4\text{H}_3\text{Cl}_3\text{FN}$. Вычислено $MR 34,99$. Найдено: С 25,36; 25,34; Н 1,77; 1,81; Cl 56,19; 56,47%. Вычислено: С 25,22; Н 1,56; Cl 55,86%. При гидролизе нитрила в смеси соляной и уксусной кислот получена γ-фтор-β, γ, γ-трихлормасляная кислота, идентифицированная в виде ее анилида.

Действие цианистой меди на 1,1-дифтор-1-хлорпропен. Смесь 10 г 1,1-дифтор-1-хлорпропена и 10 г цианистой меди нагревалась в стальной пробирке до 250° в течение 2 час. Продукт реакции фракционировали. После многократной перегонки получено 2 г фракции, кипящей при $122-124^\circ$, которая в основном состоит из нитрила γ, γ-дифторвинилуксусной кислоты. Найдено: F 35,24; 35,95%. $\text{C}_4\text{H}_3\text{F}_2\text{N}$. Вычислено: F 36,87%. При гидролизе этой фракции, концентрированной серной кислотой, получена янтарная кислота с выходом 50%. Кроме того, получено 2 г вещества с т. кип. $139-140^\circ$, $n_D^{20} 1,3421$; $d_4^{20} 1,2484$; найдено $MR 20,77$. $\text{C}_4\text{H}_4\text{F}_3\text{N}$. Вычислено $MR 20,18$. Найдено: С 39,09; 39,08; Н 3,35; 3,39; N 11,33 11,54%. Вычислено: С 39,03; Н 3,28; N 11,38%. По-видимому, это нитрил трифтормасляной кислоты.

ВЫВОДЫ

1. Изучена возможность аллильной перегруппировки и обменного разложения соединений строения:



при нагревании с трехфтористой сурьмой. По мере возрастания числа атомов фтора в тригалогидметильной группе падает способность этих соединений к изомеризации.

2. Конденсация 1-фтор-1,1-дихлорпропена и 1,1-дифтор-1,2-дихлорпропана с бензолом в присутствии AlCl_3 течет за счет атома фтора и с аллильной перегруппировкой.

3. Взаимодействие 1-фтор-1,1-дихлорпропена и 1,1-дифтор-1-хлорпропена с цианистой медью течет с аллильной перегруппировкой за счет атома хлора.

Институт элементоорганических соединений
Академии наук СССР

Поступило
15.VII.1958

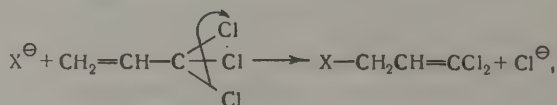
ЛИТЕРАТУРА

1. А. Н. Несмеянов, Р. Х. Фрейдлина и В. И. Фирстов, Докл. АН СССР 78, 717 (1951); Изв. АН СССР. Отд. хим. н. 1951, 505.
2. A. Henne, Nager, J. Amer. Chem. Soc. 73, 1042 (1951).
3. R. N. Haszeldine, J. Chem. Soc. 1953, 3371.
4. А. Н. Несмеянов, Л. И. Захаркин, В. Н. Кост и Р. Х. Фрейдлина, Изв. АН СССР. Отд. хим. н. 1954, 258.

Р. Х. ФРЕЙДЛИНА, Ф. К. ВЕЛИЧКО и А. Б. БЕЛЯВСКИЙ

ДИЕНОВАЯ КОНДЕНСАЦИЯ НЕПРЕДЕЛЬНЫХ СОЕДИНЕНИЙ, СОДЕРЖАЩИХ ТРИХЛОРМЕТИЛЬНУЮ ИЛИ ТРИХЛОРВИНИЛЬНУЮ ГРУППУ

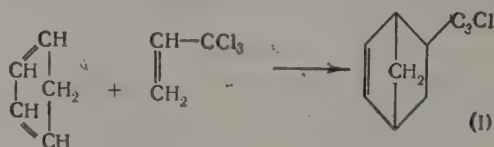
Реакции нуклеофильных реагентов с 1,1,1-трихлорпропеном протекают с перенесением реакционного центра, что может быть иллюстрировано схемой [1, 2]:



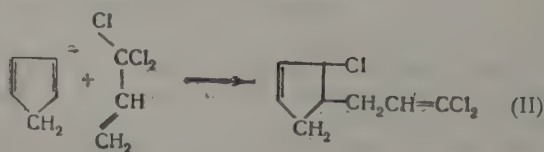
где $X^{\ominus} = CN^{\ominus}$, J^{\ominus} , CH_3COO^{\ominus} и др.

Было интересно изучить поведение 1,1,1-трихлорпропена в реакции диенового синтеза, в которую, как известно, вступают не только диены-1,4, но и системы с π - σ -сопряжением [3]. Можно было ожидать протекания следующих реакций, например с цикlopentadiеном:

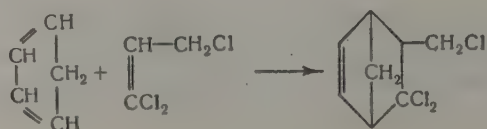
а) обычного диенового синтеза



б) диенового синтеза с участием 1,1,1-трихлорпропена в качестве π - σ -сопряженной системы



в) предварительной изомеризации 1,1,1-трихлорпропена в 1,1,3-трихлорпропен с последующим взаимодействием его с диеном по схеме обычного диенового синтеза



Изучение последней возможности тем более интересно, что до сих пор остается неясным, насколько накопление атомов галогена при двойной связи снижает реакционную способность алкенов и алкадиенов в реакции диенового синтеза. Трихлорэтилен не реагирует с бутадиеном [4]. С циклоном [5] и циклопентадиеном [6] он дает аномальные продукты реакции и лишь с антраценом [4] образует нормальный аддукт. Тетрахлорэтилен не удалось ввести в реакцию диенового синтеза [4].

Галогензамещенные бутадиены типа $\text{CH}_2=\text{CR}-\text{CX}=\text{CHX}$, где $\text{R}=\text{H}$, CH_3 , Cl ; $\text{X}=\text{Cl}$, Br , не вступают в диеновую конденсацию с малеиновым ангидридом [7, 8], лишь 1,4-дихлорбутадиен-1,3 реагирует с малеиновым ангидридом по типу реакции Дильса-Альдера [9]. Возможность использования непредельных соединений этого типа в качестве диенофильных веществ не исследовалась. В связи с этим нами было изучено поведение в реакции Дильса-Альдера недавно синтезированного [10] 1,1,2-трихлорбутадиена-1,3, совмещающего в одной молекуле трихлорвинильную и винильную группировки.

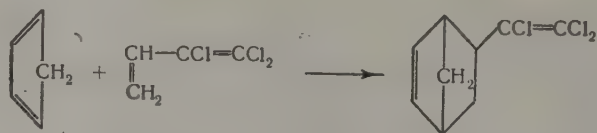
Оказалось, что 1,1,1-трихлорпропен реагирует с циклопентадиеном при 180—200° с образованием 2-(трихлорметил)-бицикло-(2,2,1)гептена-5. Полученный аддукт не вступает в дальнейшую конденсацию с циклопентадиеном при шестичасовом нагревании в запаянной ампуле при 180—200°. Аддукт 1,1,1-трихлорпропена и циклопентадиена не изменяется после 10-часового кипячения с йодистым натрием в ацетоне, следовательно не содержит атома хлора, способного к обмену на йод, и не может поэтому иметь строение (II). Кроме того, соединение, полученное при дегидрохлорировании продукта реакции 1,1,1-трихлорпропена с циклопентадиеном, присоединяет только один эквивалент уксуснокислой ртути и, следовательно, содержит в молекуле только одну — $\text{CH}=\text{CH}$ -группировку*; такое соединение может образоваться только из (I) и должно иметь строение 2-(дихлорметил)-бицикло-(2,2,1)гептена-5. Схема (в) отпадает также потому, что 1,1,3-трихлорпропен не удалось ввести в реакцию диенового синтеза с циклопентадиеном, изопреном и бутадиеном. Этими реакциями строение аддукта 1,1,1-трихлорпропена и циклопентадиена, как 2-(трихлорметил)-бицикло-(2,2,1)гептена-5 подтверждается достаточно однозначно. 2-(Трихлорметил)-бицикло-(2,2,1)гептен-5 был восстановлен над Pt-катализатором в 2-(трихлорметил)-бицикло-(2,2,1)гептан, а также превращен в кристаллическое винильное хлормеркурометоксипроизводное действием уксуснокислой ртути в метиловом спирте с последующей обработкой продукта реакции раствором хлористого натрия.

При нагревании с 92%-ной серной кислотой 2-(трихлорметил)-бицикло-(2,2,1)гептен-5 и 2-(трихлорметил)-бицикло-(2,2,1)гептан осмоляются, не образуя соответствующих кислот. Азотная кислота удельного веса 1,513 бурно окисляет эти соединения уже при комнатной температуре с образованием муравьиной кислоты и неперегоняющихся смолистых продуктов реакции.

Попытка заставить 1,1,1-трихлорпропен прореагировать с циклогексеном по схеме (б) при 180—200° успеха не имела; из реакционной смеси выделено исходное количество неизмененного циклогексена. Выяснилось далее, что 1,1,2-трихлорбутадиен-1,3 не способен вступать в реакцию Дильса-Альдера в качестве диеновой составляющей, очевидно вследствие значительной делокализации π -электронного облака трихлорвинильной группировки и нарушения тем самым π - π -сопряжения двойных связей. Нам не удалось получить аддуктов 1,1,2-трихлорбутадиена-1,3 с малеиновым ангидридом и циклогексеном, несмотря на широкое варьирование условий реакции (100—180°, 2—8 час. в бензоле

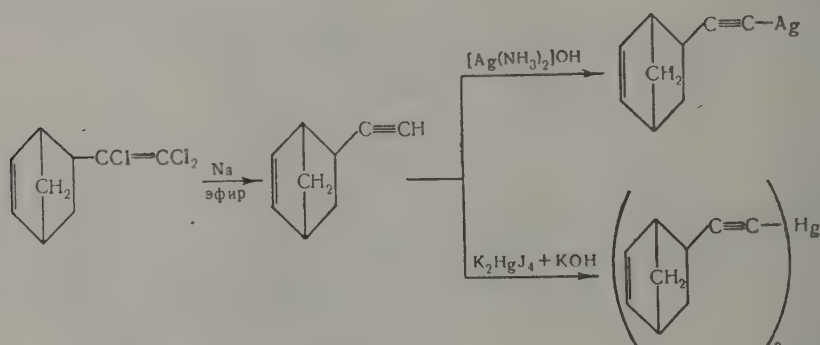
* Ранее было показано [11], что система $\text{CCl}_2=\text{CH}-$ не присоединяет ацетата ртути.

и без растворителя). В то же время 1,1,2-трихлорбутadiен-1,3 оказался весьма активным диенофилом за счет винильной группировки, образуя с цикlopentadiеном в сравнительно мягких условиях (80°, бензол) аддукт:



При проведении реакции без растворителя 1,1,2-трихлорбутadiен-1,3 энергично полимеризуется, не давая продукта диенового синтеза.

Наличие трихлорвинильной группировки в аддукте 1,1,2-трихлорбутadiена-1,3 с цикlopentadiеном доказано превращением его действием натрия в соответствующий замещенный ацетилен, охарактеризованный Ag- и Hg-производными:



ЭКСПЕРИМЕНТАЛЬНАЯ ЧАСТЬ

2-(Трихлорметил)-бицикло-(2,2,1)гептен-5. Смесь 54 г (0,37 М) 1,1,1-трихлорпропена, 25 г (0,38 М) цикlopentadiена, 0,05 г гидрохинона и 30 мл бензола нагревалась 6 час. в запаянных ампулах при 180—200°. После двукратной перегонки на колонке получено 45 г (57% от теорет.) 2-(трихлорметил)-бицикло-(2,2,1) гептена-5 с т. кип. 93° (9 мм); n_D^{20} 1,5270; d_4^{20} 1,3280; найдено MR 48,97; для $C_8H_9Cl_3$ вычислено MR 48,87. Найдено: С 45,99; 46,00; Н 4,23; 4,22%. $C_8H_9Cl_3$. Вычислено: С 45,43; Н 4,29%. Остаток в перегонной колбе представлял собой вязкий полимер.

Реакция 2-(трихлорметил)-бицикло-(2,2,1) гептена-5 с ацетатом ртути. В теплый раствор 5,4 г (1,7 м М) уксуснокислой ртути в 30 мл метилового спирта прибавлено 3,6 г (1,7 м М) 2-(трихлорметил)-бицикло-(2,2,1) гептена-5. Смесь оставлена на 12 час., затем вылита в горячий раствор NaCl, через полчаса жидкость декантирована; к остатку прибавлено 5 мл метилового спирта; смесь нагрета до кипения, спустя 12 час. осадок винильного хлормеркурометоксена-(трихлорметил)-бицикло-(2,2,1) гептана отфильтрован и дважды перекристаллизован из ацетона. Выход 2 г (42% от теорет.); т. пл. 140° с разложением. Найдено: С 23,22; 23,48; Н 2,40; 2,54; Cl 29,45; 29,64%. $C_9H_{12}Cl_4HgO$. Вычислено: С 22,66; Н 2,33; Cl 29,69%.

2-(Трихлорметил)-бицикло-(2,2,1) гептан. В утку для гидрирования, установленную на качалке, помещено 15 г (7,1 м М) 2-(трихлорметил)-бицикло-(2,2,1) гептена-5, 15 г метилового спирта и 0,13 г платиновой черни. Реакционная смесь перемешивалась 20 час. при ~20° в атмосфере водорода, затем раствор отфильтрован; при перегонке фильтрата выделена фракция

с т. кип. $62,5-63^{\circ}$ (3 мм), представляющая собою 2-(трихлорметил)-бицикло-(2,2,1) гептан с небольшой примесью 2-(трихлорметил)-бицикло-(2,2,1)-гептена-5. Для очистки от последнего полученная фракция обработана избытком раствора уксуснокислой ртути в метиловом спирте. Спустя 12 час. смесь вылита в воду, 2-(трихлорметил)-бицикло-(2,2,1) гептан экстрагирован эфиром. После высушивания экстракта над CaCl_2 и перегонки в вакууме выделено 9 г (59% от теорет.) чистого 2-(трихлорметил)-бицикло-(2,2,1) гептана с т. кип. 92° (9 мм); n_D^{20} 1,5170; d_4^{20} 1,3060, найдено MR 49,47; для $\text{C}_8\text{H}_{11}\text{Cl}_3$ вычислено MR 49,35. Найдено: С 45,20; 45,24; Н 5,01; 5,26%. $\text{C}_8\text{H}_{11}\text{Cl}_3$. Вычислено: С 45,01; Н 5,20%.

2-(Дихлорметилен)-бицикло-(2,2,1) гептен-5. К раствору 29 г (13,7 мм) 2-(трихлорметил)-бицикло-(2,2,1) гептена-5 в 25 мл метилцеллозольва при $70-80^{\circ}$ прибавлен по каплям при перемешивании раствор эквимолекулярного количества КОН в 25 мл метилцеллозольва. Смесь нагревалась еще час при $90-100^{\circ}$, после чего вылита в воду, нижний слой отделен, промыт водой и высушен над CaCl_2 . После двукратной перегонки получено 16 г (67% от теорет.) 2-(дихлорметилен)-бицикло-(2,2,1) гептена-5 с т. кип. 96° (25 мм); n_D^{20} 1,5350; d_4^{20} 1,2374; найдено MR 44,05; для $\text{C}_8\text{H}_7\text{Cl}_2\text{F}$ вычислено MR 43,54. Найдено: С 54,33; 54,36; Н 4,55; 4,52; Cl 40,62; 40,77%. $\text{C}_8\text{H}_7\text{Cl}_2$. Вычислено: С 54,90; Н 4,61; Cl 40,52%.

Реакция 2-(дихлорметилен)-бицикло-(2,2,1) гептена-5 с уксуснокислой ртутью. К эмульсии 1,4 г (8 мм) 2-(дихлорметилен)-бицикло-(2,2,1) гептена-5 в 5 мл метанола прилит раствор 5,1 г (16 мм) уксуснокислой ртути в 30 мл метанола; смесь оставлена при $\sim 20^{\circ}$ на 12 час., затем вылита в раствор 10 г NaCl в 40 мл воды; спустя час прозрачный раствор декантирован и обработан избытком 10%-ного NaOH . Выпавшая окись ртути отфильтрована, промыта спиртом и эфиром и высушена при 50° . Вес HgO 1,8 г, что соответствует 8,3 мм не вступившей в реакцию $\text{Hg}(\text{OCOCH}_3)_2$. При растирании оставшегося после декантации маслообразного осадка с эфиром выделены кристаллы вицинального хлормеркурметокси-(дихлорметилен)-бицикло-(2,2,1) гептана, плавящиеся после двукратной перекристаллизации из смеси хлороформ-эфир (1:1) при $154,5-156^{\circ}$; выход 0,5 г (14% от теорет.). Найдено: С 24,42; 24,37; Н 2,37; 2,56%. $\text{C}_9\text{H}_{11}\text{Cl}_3\text{HgO}$. Вычислено: С 24,50; Н 2,29%.

2-(Трихлорвинил)-бицикло-(2,2,1) гептен-5. 38 г (0,24 М) 1,1,2-трихлорбутадиена-1,3, 16 г (0,24 М) цикlopentадиена и 0,05 г гидрохинона в 30 мл абс. бензола нагреты в запаянной ампуле при 80° в течение 6 час. После отгонки бензола и двукратной перегонки остатка в вакууме на колонке получено 15 г (27% от теорет.) 2-(трихлорвинил)-бицикло-(2,2,1) гептена-5 с т. кип. $83-84^{\circ}$ (3 мм); n_D^{20} 1,5468; d_4^{20} 1,3372; найдено MR 53,00; для $\text{C}_9\text{H}_9\text{Cl}_3\text{F}$ вычислено MR 53,03. Найдено: С 48,46; 48,17; Н 3,98; 3,93; Cl 47,60; 47,67%. $\text{C}_9\text{H}_9\text{Cl}_3$. Вычислено: С 48,36; Н 4,06; Cl 47,60%.

Бицикло-(2,2,1) гептен-5-ил-2-ацетилен. К суспензии 8,2 г (0,36 г-атома) мелко раздробленного натрия в 50 мл эфира добавлена при перемешивании одна треть раствора 20 г (0,09 М) 2-(трихлорвинил)-бицикло-(2,2,1) гептена-5 в 50 мл эфира. При слабом подогревании, спустя 5 мин., реакция бурно началась и потребовалось временное наружное охлаждение ледяной водой. Остаток эфирного раствора 2-(трихлорвинил)-бицикло-(2,2,1) гептена-5 прибавлен по каплям за 60 мин. Спустя 12 час. в реакционную массу добавлено 50 мл метилового спирта; после окончания вспенивания смесь вылита в воду, слои разделены, водный промыт эфиром, эфирная вытяжка присоединена к органическому слою, из которого после сушки над CaCl_2 и перегонки в вакууме на колонке выделено 7,3 г (69,5% от теорет.) бицикло-(2,2,1)-гептена-5-ил-2-ацетилена - подвижной жидкости с резким запахом с т. кип. $54-55^{\circ}$ (29 мм); n_D^{20} 1,4922; d_4^{20} 0,9227; найдено MR 37,17; для $\text{C}_9\text{H}_{10}\text{FF}$ вычислено MR 36,89. Найдено: С 91,31; 91,39; Н 8,47; 8,48%. C_9H_{10} . Вычислено: С 91,45; Н 8,55%.

Бицикло-(2,2,1) гептен-5-ил-2-этинилсеребро. К раствору 0,17 г (1 мМ) азотнокислого серебра в 5 мл дистиллированной воды прибавлен по каплям 25%-ный NH_4OH до растворения осадка и затем раствор 0,12 г (1 мМ) бицикло-(2,2,1) гептен-5-ил-2-ацетилена в 5 мл метанола. Выпавший осадок бицикло-(2,2,1) гептен-5-ил-2-этинилсеребра отфильтрован, промыт спиртом и эфиром и высушен в вакууме. Выход 0,22 г ($\sim 100\%$ от теорет.). Бицикло-(2,2,1) гептен-5-ил-2-этинилсеребро обугливается в интервале 130—140° и при быстром нагревании до 300° разлагается со взрывом. Найдено: Ag 48,07; 48,33%. $\text{C}_9\text{H}_9\text{Ag}$. Вычислено: Ag 47,93%.

Бис-[бицикло-(2,2,1) гептен-4-ил-2-этинил]ртуть. К раствору 0,33 г (1,22 мМ) сулемы в 3 мл дистиллированной воды прилит раствор 0,82 г (2,47 мМ) KJ в 2 мл воды и после растворения осадка — 1 мл 10%-ного KOH . Незначительный осадок отделен центрифугированием, к прозрачному раствору прибавлено по каплям при перемешивании 0,24 г (1 мМ) бицикло-(2,2,1) гептен-5-ил-2-ацетилена в 10 мл метанола. Спустя 15 мин. осадок бис-[бицикло-(2,2,1) гептен-5-ил-2-этинил]ртути отфильтрован, промыт 5 мл охлажденного до 0° метанола и перекристаллизован из этилового спирта; выход 0,28 г (63,5% от теорет.); т. пл. 150,5—151,5. Найдено: C 49,56; 49,63; H 4,14; 4,28; Hg 45,77; 45,65%. $\text{C}_{18}\text{H}_{18}\text{Hg}$. Вычислено: C 49,71; H 4,17; Hg 46,12%.

ВЫВОДЫ

- 1,1,1-Трихлорпропен реагирует с цикlopентадиеном по обычной схеме диенового синтеза.
- 1,1,2-Трихлорбутадиен-1,3 вступает в реакцию Дильса-Альдера только в качестве диенофила.

Институт элементоорганических
соединений
Академии наук СССР

Поступило
19.VII.1958

ЛИТЕРАТУРА

1. А. Н. Несмеянов, Л. И. Захаркин, В. Н. Кост и Р. Х. Фрейдлина, Изв. АН СССР. Отд. хим. н. 1954, 258.
2. А. Н. Несмеянов, Р. Х. Фрейдлина, Л. И. Захаркин, Успехи химии 25, 665 (1956).
3. K. Alder, H. Söhl, Liebigs Ann. Chem. 565, 57 (1949); K. Alder, F. Pascher, A. Smitz, Ber. 76, 27 (1943).
4. В. М. Зороастрова и Б. А. Арбузов, Докл. АН СССР 60, 59 (1948).
5. В. С. Абрамов и К. А. Шапшинская, Изв. АН СССР. Отд. хим. н. 1946, 455.
6. K. Alder, H. F. Rickert, Liebigs Ann. Chem. 543, 1 (1940).
7. А. А. Петров, Ж. общ. химии 13, 237, 331 (1943).
8. G. J. Berchet, W. H. Carothers, J. Amer. Chem. Soc. 55, 2004 (1933).
9. R. Criegee, W. H. Högauf, W. D. Schellenberg, Ber. 86, 126 (1953).
10. А. Н. Несмеянов, Р. Х. Фрейдлина и А. Б. Белявский, Докл. АН СССР 122, 821 (1958).
11. Ф. К. Величко, Диссертация, Ин-т элементоорганических соединений, М., 1957.

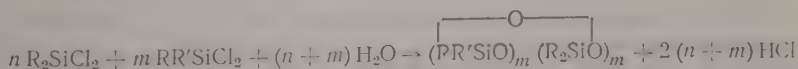
К. А. АНДРИАНОВ и С. Е. ЯКУШКИНА

СИНТЕЗ ПОЛИОРГАНОСИЛОКСАНОВ С РАЗЛИЧНЫМИ ГРУППАМИ В ЦИКЛЕ

Синтез полиорганосилоксанов с линейными цепями молекул представляет собой значительные трудности. Метод гидролиза дифункциональных мономеров приводит, как правило, к получению смеси низкомолекулярных продуктов с циклической и линейной структурой молекул, причем реакция идет преимущественно в сторону образования циклических продуктов [1]. Полагают, что при согидролизе дифункциональных мономеров также преимущественно получаются смешанные циклические соединения. В связи с этим большой интерес приобретает изучение реакций синтеза полиорганосилоксанов с последующим превращением их в полимеры с линейной структурой. В литературе описаны синтезы полидиметилциклосилоксанов [2], полидиэтилциклосилоксанов [3], полифенилметилциклосилоксанов и некоторых циклических соединений, содержащих у кремния одновременно метилные или этильные группы и водород [4].

Циклические соединения, в которых содержатся одновременно наряду с диметилсилоксановыми звеньями также и другие, в литературе не описаны. Разработка методов синтеза и превращения смешанных полиорганосилоксанов представляет большой теоретический и практический интерес, так как, с одной стороны, позволяет установить влияние различных групп на процесс образования циклов и на реакции их превращения, а с другой — получать линейные полимеры, содержащие различные органические радикалы у атомов кремния в строго определенном порядке. Методы получения полимеров с линейной структурой молекул, у которых чередование различных групп и радикалов регулярно в полимерной цепи, совершенно не разработаны, и в литературе нет никаких сведений по этому вопросу.

В данной работе сделаны попытки синтезировать полиорганосилоксаны, у которых наряду с диметилсилоксановыми группами в цикле содержатся фенилметилсилоксановые, хлорфенилметилсилоксановые и дифенилсилоксановые группы в различных соотношениях друг к другу. В основу метода синтеза смешанных полиорганосилоксанов была положена реакция согидролиза двух различных дифункциональных мономеров водой в кислой среде.



По данной схеме реакции был проведен согидролиз диметилдихлорсилана с фенилметилдихлорсиланом, хлорфенилметилдихлорсиланом и дифенилдихлорсиланом. Как показали опыты, при согидролизе указанных выше дифункциональных соединений в избытке воды при соотношении диметилдихлорсилана к другим указанным компонентам 1:1 и 1:0,74 всегда получались циклические соединения, содержащие преимущественно 8-членные циклы, причем отношение между диметилсилоксановыми

группами и другими органосилоксановыми группами в цикле были 1:1 и 3:1. При выделении индивидуальных полиорганосилоксанов 6-членные циклы обнаружены не были. Если они и образовывались, то в весьма небольшом количестве и при фракционировании выделить их не удалось. Соединения же с большим количеством звеньев в цикле и в описанных условиях гидролиза получались всегда в значительных количествах. Так, при согидролизе диметилдихлорсилана с метилфенилдихлорсиланом, кроме 8-членных циклов, был выделен октаметилтетрафенилциклогексасилоксан, т. е. 12-членный цикл. Выделить высшие циклы в других случаях пока не удалось. При согидролизе хлорфенилдихлорсилана с диметилдихлорсиланом удалось выделить только 8-членные циклы с соотношением диметилсилоксановой группировки к хлорфенилметилсилоксановой 1:1 и 3:1. При согидролизе диметилдихлорсилана с дифенилдихлорсиланом был выделен только один 8-членный цикл с соотношением диметилсилоксановой группы к дифенилсилоксановой 3:1. Во всех случаях легко выделялись 8-членные циклы с хорошими выходами.

Все выделенные полиорганосилоксаны представляли собой стабильные жидкости, хорошо перегоняющиеся в вакууме без разложения. Структура полученных соединений устанавливалась по элементарному составу, инфракрасным спектрам и качественным реакциям на функциональные группы. Проба на содержание гидроксильных групп с металлическим натрием дала отрицательный результат. При определении спектров поглощения для гептаметилфенилциклотетрасилоксана и гексаметилдифенилциклотетрасилоксана в инфракрасной области были обнаружены частоты, характерные для связей $\text{Si}-\text{C}_6\text{H}_5$ $1,429\text{ см}^{-1}$, $\text{Si}-\text{CH}_3$ и $\text{Si}-(\text{CH}_3)_2$ 1259 см^{-1} и 800 см^{-1} и для связи $\text{Si}-\text{O}-\text{Si}$ в 8-членном цикле $1080-1090\text{ см}^{-1}$. Свойства полученных соединений приведены в таблице. Была исследована также вязкость у синтезированных полиорганосилоксанов при различных температурах и установлено, что при введении в цикл вместо диметилсилоксановой группы фенилметилсилоксановой, хлорфенилметилсилоксановой или дифенилсилоксановой новой группы вязкость циклов резко увеличивается. Фенильные группы оказывают влияние на вязкость циклов различно, в зависимости от того, находятся ли обе группы у одного или у двух атомов кремния. Цикл, содержащий две фенильные группы у одного атома кремния, имеет большую вязкость (см. таблицу).

Расчет энергии активации вязкого течения E в интервале температур $-10 \div +50^\circ$ для различных циклов показал, что E сильно зависит от содержания в цикле фенильных групп (см. таблицу).

Предварительными опытами установлено, что циклические соединения способны к полимеризации под действием катализаторов. Вопросы, связанные с механизмом и кинетикой полимеризации таких циклов, являются предметом нашего отдельного сообщения.

ЭКСПЕРИМЕНТАЛЬНАЯ ЧАСТЬ

Согидролиз диметилдихлорсилана с метилфенилдихлорсиланом. К смеси 60 мл воды и 100 мл серного эфира постепенно в течение 1 часа при перемешивании вводилась смесь, состоящая из 42 г диметилдихлорсилана (1 М) и 46 г метилфенилдихлорсилана (0,74 М). Температура поддерживалась $\sim 30^\circ$. Перемешивание продолжалось ~ 1 часа. Отслоившиеся продукты гидролиза отделялись, промывались водой и сушились прокаленным сульфатом натрия. В результате многократной фракционированной разгонки были выделены: а) Октаметилциклотетрасилоксан с т. кип. 64° (12 мм); выход 5,05%. Найдено: С 32,69; 32,60; Н 8,12; 8,30; Si 37,02; 36,97%. $\text{C}_8\text{H}_{24}\text{Si}_4\text{O}_4$. Вычислено: С 32,43; Н 8,10; Si 37,50%. б) Гептаметилфенилциклотетрасилоксан с т. кип. $111-113^\circ$ (7 мм); выход 11,7%. Найдено: С 42,90; 43,02; Н 7,66; 7,54; Si 31,04; 30,96%;

Т а б л и ц а

| Соединение | Темпера- тура кип. в °С (<i>p</i> в мм рт. ст.) | d_4^{20} | n_D^{20} | MR | | η^{20° сст | Е в ккал |
|-------------------------------------------------------------------------------------------------------------------------------------------------------------------------------------------------------------------------------------------------------------------------------------------------------------------------------------------------------------------------------------------------------------------------------------------------------------------------------------------------------------------------------------------------------------------------------------------------------------------------------|--------------------------------------------------------------|------------|------------|--------------|----------------|--------------------------|-------------|
| | | | | най- дено | вычис- лено | | |
| Октаметилциклотетрасилоксан $\begin{array}{c} (\text{CH}_3)_2\text{Si}-\text{O}-\text{Si}-(\text{CH}_3)_2 \\ \quad \quad \\ \text{O} \quad \quad \text{O} \\ \quad \quad \\ (\text{CH}_3)_2\text{Si}-\text{O}-\text{Si}-(\text{CH}_3)_2 \end{array}$ | 64(12) | 0,9413 | 1,4013 | 74,5 | 74,47 | 3,3 | — |
| Гептаметилфенилциклотетрасилоксан $\begin{array}{c} (\text{CH}_3)_2\text{Si}-\text{O}-\text{Si}-(\text{CH}_3)_2 \\ \quad \quad \\ \text{O} \quad \quad \text{O} \\ \quad \quad \\ \text{C}_6\text{H}_5 \quad \text{CH}_3 \\ \quad \quad \\ \text{C}_6\text{H}_5 \quad \text{CH}_3 \end{array}$ | 111—113 (7) | 1,0163 | 1,4490 | 94,59 | 94,36 | 6,16 | 4827 |
| Гексаметилдифенилциклотетрасилоксан $\begin{array}{c} (\text{CH}_3)_2\text{Si}-\text{O}-\text{Si}-\text{C}_6\text{H}_5 \\ \quad \quad \quad \quad \\ \text{O} \quad \quad \text{O} \quad \quad \text{O} \\ \quad \quad \quad \quad \\ (\text{CH}_3)_2\text{Si}-\text{O}-\text{Si}-\text{C}_6\text{H}_5 \\ \quad \quad \\ \text{CH}_3 \quad \text{CH}_3 \end{array}$ | 167—168 (7) | 1,0602 | 1,4881 | 113,58 | 113,94 | 16,47 | 5730 |
| Октаметилтетрафенилциклогексасилоксан $\begin{array}{c} \text{C}_6\text{H}_5 \quad \text{CH}_3 \quad \text{C}_6\text{H}_5 \\ \quad \quad \quad \quad \\ (\text{CH}_3)_2\text{Si}-\text{O}-\text{Si}-\text{O}-\text{Si} \\ \quad \quad \quad \quad \quad \quad \\ \text{O} \quad \quad \text{O} \quad \quad \text{O} \quad \quad \text{O} \\ \quad \quad \quad \quad \quad \quad \\ (\text{CH}_3)_2\text{Si}-\text{O}-\text{Si}-\text{O}-\text{Si} \\ \quad \quad \quad \quad \quad \quad \\ \text{C}_6\text{H}_5 \quad \text{CH}_3 \quad \text{C}_6\text{H}_5 \quad \text{CH}_3 \end{array}$ | 182 (2) | 1,0916 | 1,5170 | 190,34 | 190,24 | 46,23 | — |
| Гексаметилдифенилциклотетрасилоксан $\begin{array}{c} (\text{CH}_3)_2\text{Si}-\text{O}-\text{Si}-\text{C}_6\text{H}_5 \\ \quad \quad \quad \quad \\ \text{O} \quad \quad \text{O} \quad \quad \text{O} \\ \quad \quad \quad \quad \\ (\text{CH}_3)_2\text{Si}-\text{O}-\text{Si}-(\text{CH}_3)_2 \end{array}$ | 166—170 (8) | 1,0623 | 1,4880 | 113,68 | 113,94 | 21,08 | 7709 |
| Гептаметилхлорфенилциклотетрасилоксан $\begin{array}{c} (\text{CH}_3)_2\text{Si}-\text{O}-\text{Si}-\text{CH}_3 \\ \quad \quad \quad \quad \\ \text{O} \quad \quad \text{O} \quad \quad \text{O} \\ \quad \quad \quad \quad \\ (\text{CH}_3)_2\text{Si}-\text{O}-\text{Si}-\text{C}_6\text{H}_4\text{Cl} \\ \quad \quad \\ \text{CH}_3 \quad \text{CH}_3 \end{array}$ | 150 (18) | 1,0882 | 1,4557 | 97,88 | 98,50 | 10,49 | 5873 |
| Гексаметилдихлорфенилциклотетрасилоксан $\begin{array}{c} (\text{CH}_3)_2\text{Si}-\text{O}-\text{Si}-\text{C}_6\text{H}_3\text{Cl}_2 \\ \quad \quad \quad \quad \\ \text{O} \quad \quad \text{O} \quad \quad \text{O} \\ \quad \quad \quad \quad \\ (\text{CH}_3)_2\text{Si}-\text{O}-\text{Si}-(\text{CH}_3)_2 \end{array}$ | 182—184 (4) | 1,1756 | 1,4989 | 121,99 | 122,56 | 41,88 | 10384 |

$\text{C}_{13}\text{H}_{26}\text{Si}_4\text{O}_4$. Вычислено: С 43,57; Н 7,26; Si 31,8%. в) Гексаметилдифенилциклотетрасилоксан с т. кип. 167—168° (7 мм); выход 21,8%. Найдено: С 50,68; Н 7,04; 7,05; Si 26,85; 27,06%. $\text{C}_{15}\text{H}_{28}\text{Si}_4\text{O}_4$. Вычислено: С 51,42; Н 6,66; Si 26,66%. г) Октаметилтетрафенилциклогексасилоксан с т. кип. 182° (2 мм); выход 18,1%. Найдено: С 55,20; 55,00; Н 6,48; 6,59; Si 23,13; 23,0%. $\text{C}_{32}\text{H}_{44}\text{Si}_6\text{O}_6$. Вычислено: С 55,49; Н 6,35; Si 24,47%. д) Сокодикивающий остаток, выход 22,1%.

Солидроллиз диметилдихлорсилана с дифенилдихлорсиланом. Методика солидроллиза была аналогична предыдущей. В результате фракционированной разгонки были получены: а) Гексаметилдифенилциклотетрасилоксан, т. кип. 166—170° (8 мм); выход 22,3%. Найдено: С 51,96;

52,20; Н 7,16; 7,40; Si 25,59; 25,51%. $C_{18}H_{28}Si_4O_4$. Вычислено: С 51,42; Н 6,66; Si 26,66%. б) Остаток — выход 60,9%.

Согидролиз диметилдихлорсилана с хлорфенилметилдихлорсиланом проводился по методике, аналогичной описанной выше. В результате фракционированной разгонки были выделены: а) Гептаметилхлорфенилциклотетрасилоксан с т. кип. 150° (18 мм); выход 23,5%. Найдено: С 39,00; 38,97; Н 6,10; 6,21; Si 27,92; Cl 9,30%. $C_{13}H_{25}Si_4O_4Cl$. Вычислено: С 39,21; Н 6,36; Si 28,53; Cl 9,04%. б) Гексаметилдихлорфенилциклотетрасилоксан с т. кип. 182° (4 мм); выход 32,1%. Найдено: С 43,92; Н 5,00; Si 22,32; Cl 14,03%. $C_{18}H_{26}Si_4O_4Cl_2$. Вычислено: С 44,18; Н 5,31; Si 22,96; Cl 14,51%.

ВЫВОДЫ

1. При согидролизе диметилдихлорсилана с метилфенилдихлорсиланом и дифенилдихлорсиланом образуются циклические продукты, содержащие одновременно диметилсилоксановые и фенилметил- и дифенилсилоксановые группы в соотношении 3:1 и 1:1. При согидролизе диметилдихлорсилана с хлорфенилметилдихлорсиланом образуются циклические продукты, содержащие одновременно диметилсилоксановые и хлорфенилметилсилоксановые группы в соотношениях 3:1 и 1:1.

2. Синтезированы новые восьмичленные циклы: гептаметилфенилциклотетрасилоксан, гексаметилдифенилциклотетрасилоксан, гептаметилхлорфенилциклотетрасилоксан, гексаметилдихлорфенилциклотетрасилоксан и 12-членный цикл — октаметилтетрафенилциклогексасилоксан.

Институт элементоорганических соединений
Академии наук СССР

Поступило
24.VII.1958

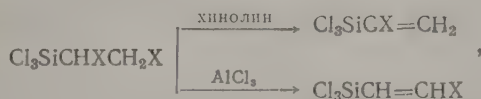
ЛИТЕРАТУРА

1. W. Pathode, D. Wilcock, J. Amer. Chem. Soc. **68**, 358 (1946).
2. W. Pathode, D. Wilcock, J. Amer. Chem. Soc. **68**, 360 (1946).
3. К. А. Андрианов и др., Успехи химии **18**, 145 (1949).
4. В. Okawara, U. Takanishi, M. Sakiyama, Bull. Chem. Soc. Japan **30**, 608 (1957).

В. Ф. МИРОНОВ, В. В. НЕПОМНИНА и Л. А. ЛЕЙТЕС*

ДЕГИДРОГАЛОГЕНИРОВАНИЕ НЕКОТОРЫХ КРЕМНЕОРГАНИЧЕСКИХ СОЕДИНЕНИЙ И ПЕРЕГРУППИРОВКА α , β -ДИХЛОРАЛКИЛТРИХЛОРСИЛАНОВ ПРИ ИХ ДЕГИДРОХЛОРИРОВАНИИ ХЛОРИСТЫМ АЛЮМИНИЕМ

В предыдущих работах [1—6] мы сообщали о ряде закономерностей, обнаруженных при дегидрохлорировании некоторых кремнеорганических соединений. В частности, было установлено [1, 7], что α , β -дихлорэтилтрихлорсилан отщепляет при действии хинолина β -хлоратом, а при действии хлористого алюминия — α -хлоратом. Впоследствии [8, 9] было также найдено, что и α , β -дибромэтилтрихлорсилан ведет себя при дегидробромировании хлористым алюминием аналогичным образом:



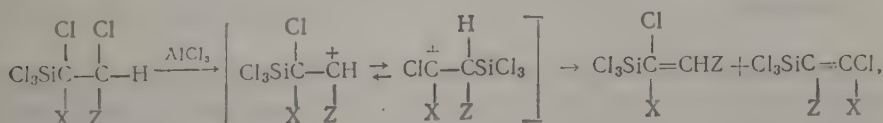
где X = Cl или Br.

Полученные результаты были неожиданными, так как нами было окончательно установлено [5, 6], что независимо от дегидрохлорирующего реагента (хинолин или AlCl_3) β -хлоратом всегда отщепляется легче, чем α -хлоратом.

При дегидрохлорировании хлористым алюминием α , β -дихлорпропилтрихлорсилана наряду с α -хлорпропенилтрихлорсиланом был обнаружен [3] также и β -хлоризопропенилтрихлорсилан



На основании вышеизложенных фактов одним из нас [6] был предложен механизм дегидрохлорирования α , β -дихлоралкилтрихлорсиланов хлористым алюминием. Механизм этот предусматривает первоначальное отщепление β -хлоратома и последующую изомеризацию образовавшегося β -нонкарбония с перемещением Cl_3Si -группы от α - к β -углеродному атому (см. схему 1):



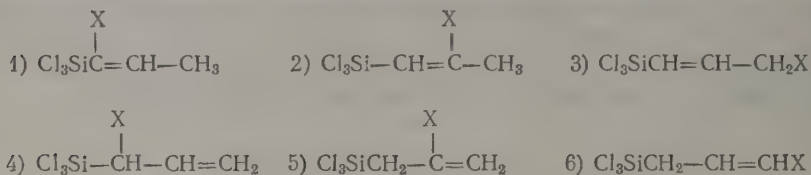
где X и Z = H или CH_3 .

* Л. А. Лейтес выполнила спектрографическая часть работы.

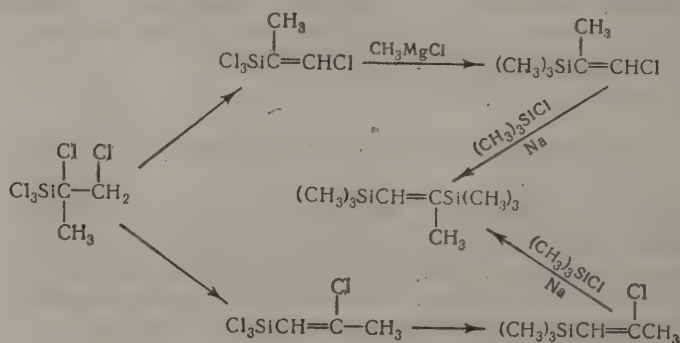
Предложенная схема хорошо объясняет структуру получаемых веществ при дегидрохлорировании α , β -дихлорэтил- и α , β -дихлорпропилтрихлорсиланов. Действительно, если X и Z являются атомами водорода, то изомеризация с переходом Cl_3Si -группы идет полностью, что и создает впечатление об отщеплении α -хлоратома. Если же $\text{X}=\text{H}$, а $\text{Z}=\text{CH}_3$, то изомеризация с переходом Cl_3Si -группы (идущая, правда, частично) приводит к превращению пропильного радикала в изопропенильный.

В целях проверки приведенной схемы мы в настоящей работе подвергли дегидрохлорированию хлористым алюминием α , β -дихлоризопропилтрихлорсилан, который хинолином дегидрохлорируется только до α -хлоризопропенилтрихлорсилана [2]. После дегидрохлорирования α , β -дихлоризопропилтрихлорсилана хлористым алюминием было получено индивидуальное вещество, которое ни по константам, ни по спектрам комбинационного рассеяния не соответствовало ни одному из двух возможных [2] хлоризопропенилтрихлорсиланов: $\text{Cl}_3\text{SiC}(\text{CH}_3)=\text{CHCl}$ или $\text{Cl}_3\text{SiC}(\text{CH}_3)=\text{CH}_2$.

Следовательно, полученное соединение могло быть одним из шести возможных хлорпропенил- или хлораллилтрихлорсиланов:



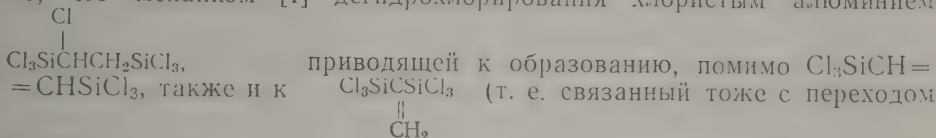
Соединения (1 и 6) были нами ранее получены, и их свойства (спектры КРС, n_D^{20} , d_4^{20} и температура кипения) не совпадали со свойствами неизвестного соединения. Для окончательного доказательства структуры полученного соединения мы провели ниже представленные (см. схему 2) превращения, которые позволяют с несомненностью утверждать, что структура полученного соединения соответствует β -хлорпропенилтрихлорсилану, т. е. соединению (2).



Идентичность $(\text{CH}_3)_3\text{SiCH}=\text{CSi}(\text{CH}_3)_3$, полученных как по верхней,

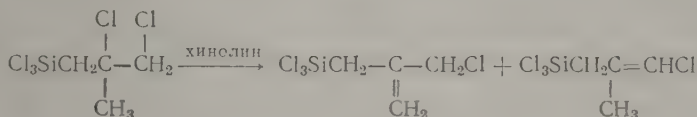
с хинолином, так и по нижней ветви с AlCl_3 , достоверно доказывается совпадением спектров КРС и констант этих соединений. 1,2-бис(Триметилсилил)метилэтилен [3] по верхней ветви схемы 2 был в настоящей работе получен и охарактеризован заново. Что касается соединений (3, 4 и 5), то они в превращениях схемы 2 должны были образовать совершенно иные бис-(триметилсилил) пропилены, некоторые из которых были нами получены ранее [3].

Таким образом предложенный механизм дегидрохлорирования α , β -дихлоралкилттрихлорсиланов приобретает большую степень вероятности. Действительно, в случае дегидрохлорирования α , β -дихлоризопропилтрихлорсилана, согласно схеме 1 (когда $X=CH_3$, а $Z=H$), должна наблюдаться изомеризация с переходом Cl_3Si -группировки к соседнему атому углерода, ведущая к превращению изопропильного радикала в пропенильный, что имеет место в действительности. Вероятно, что механизм [1] дегидрохлорирования хлористым алюминием



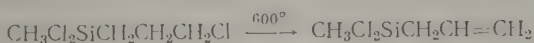
Cl_3Si -группы), имеет общую природу с вышеотмеченной перегруппировкой α , β -дихлоралкилттрихлорсиланов при их дегидрохлорировании хлористым алюминием.

Что касается результатов дегидрохлорирования хинолином β , γ -дихлоралкилттрихлорсиланов, то мы уже отмечали [3], что при дегидрохлорировании β , γ -дихлорпропилтрихлорсилана образуется два непредельных соединения. В настоящей работе мы установили, что при дегидрохлорировании хинолином β , γ -дихлоризобутилтрихлорсилана образуются также два соединения



Таким образом можно сделать вывод, что при дегидрохлорировании хинолином α , β -дихлоралкилттрихлорсиланов образуется лишь одно непредельное соединение с α , β -положением кратной связи, а при дегидрохлорировании β , γ -дихлоралкилттрихлорсиланов образуются два непредельных соединения с различным положением кратных связей.

Как известно, γ -хлоралкилсиланхлориды хинолином не дегидрохлорируются вовсе [4, 5]. При отсутствии в структуре этих соединений Cl_3Si -группировки они также не могут быть дегидрохлорированы и хлористым алюминием [1]. Поэтому мы попытались осуществить дегидрохлорирование $CH_3Cl_2SiCH_2CH_2CH_2Cl$ пиролизом этого соединения при 600° в пустой стеклянной трубке. При этом оказалось, что с выходом 48% образуется аллилметилдихлорсилан. Подмеси ожидаемого метилпропенилдихлорсилана обнаружено не было даже на основании анализа спектров КРС

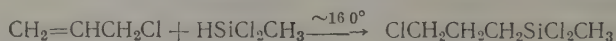


Ранее [4] при пиролизе $Cl_2CH_3SiCH_2CHCH_2Cl$ на активированном угле мы получили несколько иные результаты, а именно было установлено, что, кроме $CH_3Cl_2SiCH=CH(CH_3)_2$ и $CH_3Cl_2SiCH_2-C=CH_2$, образовалось

даже соединение $Cl_2CH_3SiCH_2CH=CHCH_3$. Все это побудило нас повторить пиролиз $CH_3Cl_2SiCH_2CHCH_2Cl$ при 600° без активированного угля в

пустой стеклянной трубке. В результате проведенного пиролиза была получена смесь двух соединений: металл- и изокротилметилдихлорсиланов (70:30), однако образования β -бутилметилдихлорсилана отмечено не было.

Синтез исходных γ -хлоралкилметилдихлорсиланов обычно осуществляется под давлением в автоклаве при $\sim 160^\circ$ и в присутствии катализатора платина на угле [4, 10]



В настоящей работе мы обнаружили, что эта реакция легко осуществляется в обычной колбе в присутствии платинохлористоводородной кислоты за 2—4-часовое кипячение указанной смеси. В этих условиях удалось даже присоединить метилдихлорсилан к бромистому аллилу, что не удается в условиях автоклавного опыта. Однако присоединение $\text{CH}_3\text{Cl}_2\text{SiH}$ к хлористому металлилу в упомянутых условиях проходит настолько бурно, что потребовалось изменить методику опыта и медленно прибавлять реакционную смесь в колбу с указанным катализатором. Выходы γ -хлоралкилметилдихлорсиланов оказываются в этих случаях выше, чем при осуществлении этих реакций по старой методике в автоклаве [10]. Кроме того, мы установили, что $\text{Cl}_3\text{SiCH}_2\text{CH}_2\text{Br}$ хорошо дегидробромируется диэтиланилином, в то время как $\text{Cl}_3\text{SiCH}_2\text{CH}_2\text{Cl}$ этим реагентом не дегидрохлорируется вовсе.

Полученные результаты позволяют утверждать, что в кремнеорганических соединениях бром значительно подвижнее, чем хлор в реакциях дегидрогалогенирования. Кстати, синтез исходных α - и β -бромалкилтрихлорсиланов мы впервые осуществили бромированием элементарным бромом этил- и изопропилтрихлорсиланов по методике Спайера [11], т. е. при освещении светом с одновременным пропусканием хлора и брома. Этот метод получения галогеналкилтрихлорсиланов значительно удобнее и быстрее, чем хлорирование в ультрафиолете аналогичных соединений.

ЭКСПЕРИМЕНТАЛЬНАЯ ЧАСТЬ

γ -Хлорпропилметилдихлорсилан $\text{CH}_3\text{Cl}_2\text{SiCH}_2\text{CH}_2\text{CH}_2\text{Cl}$. В литровую колбу, снабженную термометром и обратным холодильником, помещено 400 г смеси, состоящей из 160 г хлористого аллила и 240 г метилдихлорсилана. Далее к смеси добавляется 1 мл 0,1 N раствора $\text{H}_2\text{PtCl}_6 \cdot 6\text{H}_2\text{O}$ в изопропиловом спирте, и содержимое колбы кипятится до тех пор, пока температура смеси не поднимется до $75\text{--}80^\circ$, на что обычно требуется 3—4 час. Дальнейшее кипячение не приводит к повышению температуры. Перегонкой на колонке получено 165 г метилтрихлорсилана с т. кип. $65\text{--}66^\circ$ и 160 г γ -хлорпропилметилдихлорсилана с т. кип. $184\text{--}185^\circ$; n_D^{20} 1,4600; выход 40%. Литературные данные [10]: т. кип. $184,5^\circ$ (754 мм); n_D^{20} 1,4580; выход 30%.

Проведение этой же реакции, но по методике последующего опыта, позволяет переработать 2 кг смеси за 3—4 часа без снижения выхода γ -хлорпропилметилдихлорсилана.

γ -Хлоризобутилметилдихлорсилан $\text{ClCH}_2\text{CH}(\text{CH}_3)\text{CH}_2\text{SiCH}_3\text{Cl}_2$. В полулитровую

колбу, снабженную обратным холодильником, термометром и капельной воронкой, добавляется 15—20 мл смеси, составленной из 209 г хлористого металлила и 267 г метилдихлорсилана. Убедившись, что после добавления 1 мл катализатора Спайера реакция при нагревании началась (т. кип. стала $\sim 100^\circ$), добавление остальной смеси проводится с такой скоростью, чтобы температура содержимого колбы не опускалась ниже 100° . Перегонкой на колонке выделено 60 г метилтрихлорсилана и 162 г γ -хлоризобутилметилдихлорсилана с т. кип. $195\text{--}196^\circ$ (745 мм); n_D^{20} 1,4630; выход 70%. Литературные данные [10]: т. кип. $195,5^\circ$ (745 мм); n_D^{20} 1,4629; выход 58%.

α -Бромэтилтрихлорсилан $\text{Cl}_3\text{SiCHBrCH}_3$ и **β -бромэтилтрихлорсилан** $\text{Cl}_3\text{SiCH}_2\text{CH}_2\text{Br}$. В колбу, снабженную мешалкой, обратным холодильником, капельной воронкой и трубкой для подвода хлора, помещено 357 г этилтрихлорсилана. Содержимое колбы освещается снизу 200 W электролампой и при работающей мешалке через $\text{C}_2\text{H}_5\text{SiCl}_3$ пропускается хлор непрерывной цепочкой пузырьков. Добавление 175 г брома проводится с такой скоростью, чтобы содержимое колбы было все время окрашено бромом. Когда весь бром добавлен и жидкость становится бесцветной, содержимое колбы разгоняется на колонке. При этом получено 43 г исходного этилтрихлорсилана, 49 г α -бромэтилтрихлорсилана с т. кип. $155,2^\circ$ (747 мм); n_D^{20} 1,4802; d_4^{20} 1,6287; найдено MR 42,31; вычислено MR 41,48 и 73 г β -бромэтилтрихлорсилана с т. кип. 171° (747 мм); n_D^{20} 1,4901; d_4^{20} 1,6690; найдено MR 42,01; вычислено MR 41,48. В остатке 162 г полибромэтилтрихлорсиланов.

Спектр КРС $\text{Cl}_3\text{SiCH}_2\text{CH}_2\text{Br}$

($\Delta\nu$ в см^{-1}): 170 (4ш), 229 (1ш), 260 (1), 280 (3), 430 (1), 457 (10ш), 548 (1ш), 583 (2ш), 641 (10ш), 691 (0ш), 755 (2), 1021 (1), 1166 (1), 1262 (5), 1382 (0), 1439 (1), 2870 (1), 2900 (3), 2934 (1), 2961 (3).

Бромирование $\text{Cl}_3\text{SiCH}(\text{CH}_3)_2$. 300 г изопропилтрихлорсилана [5] бромировались в течение 3,5 час. 135 г брома при освещении и пропускании хлора в условиях, описанных в предыдущем опыте. Разгонкой на колонке выделено исходного $\text{Cl}_3\text{SiCH}(\text{CH}_3)_2$ 45 г с т. кип. $117\text{--}118^\circ$ и 230 г смеси α - и β -бромизопропилтрихлорсилана с т. кип. $165\text{--}170^\circ$ и т. пл. $85\text{--}100^\circ$. Выход 62% на невозвращенный $\text{Cl}_3\text{SiCH}(\text{CH}_3)_2$. Кроме того, жидких вышекипящих полибромидов (170°) получено 62 г.

Дегидробромирование $\text{Cl}_3\text{SiCH}_2\text{CH}_2\text{Br}$. Из 200 мл колбы медленно перегоняется до 180° смесь, состоящая из 104 г β -бромэтилтрихлорсилана и 76 г диэтиланилина. Повторной перегонкой конденсата на колонке выделено 27 г винилтрихлорсилана с т. кип. 92° ; выход 50%.

Дегидробромирование $\text{BrC}_3\text{H}_7\text{SiCl}_3$. Из колбы Вюрца медленно перегоняется до 200° смесь, состоящая из 230 г α - и β -бромизопропилтрихлорсиланов и 146 г диэтиланилина. Перегонкой конденсата на колонке выделено с 50 до 100° всего 10 г, а изопропенилтрихлорсилана получено 120 г; т. кип. 112° (745 мм); n_D^{20} 1,4455; выход 77%. Литературные данные [2]: т. кип. $113,5^\circ$ (731 мм); n_D^{20} 1,4453.

γ -Хлорметаллилтрихлорсилан $\text{Cl}_3\text{SiCH}_2\text{C}-\text{CH}_2\text{Cl}$ и **γ,β -дихлоризобутил-**

трихлорсилан $\text{Cl}_3\text{SiCH}_2-\overset{\text{CH}_3}{\underset{\text{Cl}}{\text{C}}}-\underset{\text{Cl}}{\text{CH}_2}$. Через 141 г трихлорметаллилсилана [12]

барботируется хлор до достижения теоретического привеса, на что требуется 10 час. Перегонкой на колонке получено две фракции: 1) 50 г с т. кип. $180\text{--}200^\circ$ и 2) 68 г с т. кип. $210\text{--}220^\circ$. Далее наблюдается сильное разложение. Повторная ректификация первой фракции дала 40 г γ -хлорметаллилтрихлорсилана с т. кип. $187\text{--}188^\circ$; n_D^{20} 1,4850; d_4^{20} 1,3480. Литературные данные: т. кип. $188\text{--}189^\circ$; n_D^{20} 1,4846; d_4^{20} 1,3473 [13]. Метилирование полученного γ -хлорметаллилтрихлорсилана металмагниихлоридом приводит к выходу 65% γ -хлорметаллилтриметилсилана с т. кип. $160,6^\circ$ (748 мм); n_D^{20} 1,4513; d_4^{20} 0,9000. Литературные данные [13]: т. кип. $162\text{--}163^\circ$ (768 мм); n_D^{20} 1,4510; d_4^{20} 0,8996.

Повторная перегонка второй фракции позволила выделить 50 г γ,β -дихлоризобутилтрихлорсилана с т. кип. $211\text{--}212^\circ$; n_D^{20} 1,5072. Найдено: Si 10,60; 10,30%. $\text{C}_4\text{H}_7\text{SiCl}_5$. Вычислено: Si 10,78%.

Дегидрохлорирование $\text{Cl}_3\text{SiCH}_2-\overset{\text{Cl}}{\underset{\text{CH}_3}{\text{C}}}-\text{CH}_2\text{Cl}$. Из 200-мл колбы перегнана

до $\sim 200^\circ$ смесь, состоящая из 150 г γ , β -дихлоризобутилтрихлорсилана и 74,4 г хинолина. Псвторной перегонкой на колонке конденсата выделено 27 г вещества с т. кип. $176\text{--}180^\circ$; выход 20%. Полученное соединение метилируется CH_3MgCl , полученным из 9 г магния, в 300 мл эфира. После 4-часового кипячения и обычных обработок перегонкой на колонке выделено 7,5 г вещества с т. кип. $157\text{--}162^\circ$; выход 67%.

Спектр КРС

($\Delta\nu$ см^{-1}): 148 (1), 185 (1ш), 237 (2ш), 294 (1), 410 (0ш), 488 (1), 596 (10), 615 (5), 699 (3ш), 753 (2ш), 848 (1ш), 1024 (1ш), 1102 (1ш), 1130 (1ш), 1154 (2ш), 1182 (2), 1207 (0ш), 1256 (2ш), 1299 (2ш), 1323 (1), 1380 (1), 1415 (2ш), 1448 (1ш), 1630 (10), 1647 (10), 2892 (10), 2955 (10), 3007 (0), 3077 (2ш).

В области спектра, где расположены частоты валентных колебаний $\text{C}=\text{C}$, имеются две линии одинаковой интенсивности: 1630 и 1647 см^{-1} , следовательно вещество представляет собой смесь двух соединений, содержащихся примерно в равных количествах. Часть линий полученного спектра относится к $(\text{CH}_3)_3\text{Si}-\text{CH}_2-\text{C}=\text{CH}_2$ [13]. Линии, соответствующие $(\text{CH}_3)_3\text{SiCH}=\text{C}-\text{CH}_2\text{Cl}$,

отсутствуют. Структура второго содержащегося в смеси вещества, вероятно соответствует $(\text{CH}_3)_3\text{SiCH}_2-\text{C}=\text{CHCl}$.

Дегидрохлорирование $\text{Cl}_3\text{Si}\overset{\text{Cl}}{\underset{\text{CH}_3}{\text{C}}}-\text{CH}_2\text{Cl}$. Смесь, состоящая из 120 г α , β -ди-

хлоризопропилтрихлорсилана и 1 г хлористого алюминия, была перегнана под вакуумом ($\sim 150\text{ мм}$). Повторная перегонка конденсата на колонке позволила выделить 211 г β -хлорпропенилтрихлорсилана в пределах т. кип. $155\text{--}157^\circ$; т. кип. $155,5^\circ$ (744 мм); n_D^{20} 1,4795; d_4^{20} 1,3812; найдено MR 43,14; вычислено MR 42,80; выход 40%. Найдено: Cl 67,52, 67,57%. $\text{C}_3\text{H}_4\text{SiCl}_4$. Вычислено: Cl 67,54%.

Спектр КРС $\text{Cl}_3\text{Si}-\text{CH}=\text{CCl}-\text{CH}_3$

($\Delta\nu$ в см^{-1}): 151 (1), 172 (3), 193 (6), 247 (1ш), 298 (2), 322 (5), 358 (2), 395 (3), 438 (3), 463 (0), 493 (10), 508 (1), 591 (2оч.ш), 700 (2), 811 (0), 981 (2), 1040 (0), 1279 (0), 1388 (2), 1438 (3), 1616 (10), 2876 (1ш), 2931 (5ш), 2970 (1), 3017 (1).

β -Хлорпропенилтриметилсилан $(\text{CH}_3)_3\text{SiCH}=\overset{\text{Cl}}{\underset{\text{Cl}}{\text{C}}}-\text{CH}_3$. К CH_3MgCl , приго-

товленному из 16 г магния в 0,3 л эфира, прибавлено 31 г $\text{Cl}_3\text{SiCH}=\text{C}-\text{CH}_3$. Содержимое колбы кипятилось 3 часа, далее было разложено водой. Эфирный слой и эфирные вытяжки из водного слоя сушились CaCl_2 . После раз-

гонки на колонке получено: 13 г $(\text{CH}_3)_3\text{SiCH}=\text{C}-\text{CH}_3$ с т. кип. $130\text{--}132^\circ$; выход 60%; n_D^{20} 1,4413; d_4^{20} 0,8875; найдено MR 44,30; вычислено MR 43,91.

Спектр КРС

($\Delta\nu$ в см^{-1}): 151 (1), 184 (2ш), 230 (3оч), 304 (1), 341 (0), 397 (1), 443 (3р), 478 (2), 497 (1), 582 (8), 629 (8), 703 (3ш), 848 (ш), 1017 (1), 1225 (1ш), 1323 (0), 1381 (2), 1415 (1), 1444 (3ш), 1622 (8ш), 2843 (0), 2899 (10ш), 2919 (2ш), 2960 (10ш).

Структура, приписываемая этому соединению, хорошо подтверждается его спектром КРС. Действительно, отсутствие частот выше 3000 см^{-1} , характе-

ризующих группу $=CH_2$, указывает на то, что структуры 4 и 5 отпадают. Наличие частоты 1380 характерно для изокротильного радикала, а структура $(CH_3)_3SiCH=C-CH_3$ похожа на структуру триметилизокротилсилана.

1,2-бис(триметилсилил) метилэтилен $(CH_3)_3SiCH=C-Si(CH_3)_3$. 6 г Na

в 30 мл кипящего толуола быстро вращающейся мешалкой раздроблены до пылевидного состояния. После охлаждения толуол сливается и заменяется 200 мл эфира. В колбу добавляется 13,2 г $(CH_3)_3SiCl$ и 1 мл этилацетата и немного $(CH_3)_3SiCH=C-CH_3$; после начала реакции добавлены остальные 18 г $(CH_3)_3SiCH=C-CH_3$ так, чтобы эфир уме-

ренно кипел. После 10-часового кипячения содержимое колбы отфильтровано от соли, которая промыта свежим эфиром. Перегонкой на колонке выделено 8 г 1,2-бис-(триметилсилил)метилэтилена с т. кип. 162°; выход 40%.

Спектр КРС

($\Delta\nu$ в cm^{-1}): 150 (3ш), 183 (3ш), 223 (2ш), 315 (1ш), 373 (1), 426 (0,6), 465 (0,5), 504 (3), 588 (0), 619 (10), 645 (3), 696 (4ш), 848 (1ш), 962 (0), 1253 (2ш), 1291 (1ш), 1314 (1ш), 1368 (1ш), 1411 (2ш), 1444 (1ш), 1564 (4ш), 2845 (0ш), 2897 (10ш), 2957 (10ш).

Полученный спектр полностью (за исключением линий 504 и 645 cm^{-1}) совпадает со спектром $(CH_3)_3SiCH=C-Si(CH_3)_3$ синтезированным

другим путем [2, 3]. Линии 504 и 645 cm^{-1} свидетельствуют, вероятно, о примеси $[(CH_3)_3Si]_2C=CH-CH_3$.

Дегидрохлорирование $CH_3Cl_2SiCH_2CH_2CH_2Cl$. Через пустую стеклянную трубку (диаметром 16 мм и длиной 100 мм), нагретую до 600°, пропускается в течение 5 час. (одна капля в 2 сек.) 222 г γ -хлорпропилметилдихлорсилана. Конденсат перегнан на колонке, при этом получено 16 мл с 80 до 113°, 43 г аллилметилдихлорсилана с т. кип. 119—120°; выход 48% и 117 г исходного $CH_3Cl_2Si(CH_2)_3Cl$.

Спектр КРС

($\Delta\nu$ в cm^{-1}): 150 (2), 167 (1ш), 230 (3ш), 296 (1ш), 413 (4ш), 469 (10), 549 (2ш), 610 (1ш), 706 (3ш), 805 (2ш), 917 (1ш), 988 (0), 1109 (0ш), 1171 (4ш), 1247 (0), 1302 (6р), 1390 (3), 1422 (3), 1635 (10), 2907 (8ш), 2975 (4ш), 3008 (3ш), 3085 (2).

Спектр подтверждает структуру $CH_3Cl_2SiCH_2-CH=CH_2$, так как линии 413, 917, 988, 1302, 1390, 1635 и 3085 cm^{-1} характерны для аллильного радикала, связанного с атомом кремния [14].

Дегидрохлорирование $CH_3Cl_2SiCH_2CHCH_2Cl$. В условиях предыдущего опыта про-

веден пиролиз 270 г γ -хлоризобутилметилхлорсилана за 4 час. Перегонкой на колонке конденсата получено 29 г вещества с 70 до 130° и 54 г вещества с т. кип. 140—149°; выход 28%. Исходного γ -хлоризобутилметилдихлорсилана возвращено 105 г. Метилирование 54 г фракции (140—149°) CH_3MgCl , полученным из 20 г Mg в 0,5 л эфира, проведено было обычным образом. Разгонкой на колонке выделена фракция с т. кип. 108—110°. 23 г; выход 56%. Анализ [4, 15] спектра КРС этого соединения указывает лишь на присутствие $(CH_3)_3SiCH_2C=CH_2$ (~70%) и $(CH_3)_3SiCH=C-CH_3$ (~30%).

ВЫВОДЫ

При дегидрохлорировании хлористым алюминием α , β -дихлоризопротилтрихлорсилана образуется β -хлорпропенитрихлорсилан. Отмеченная изомеризация является частным случаем общей перегруппировки,

претерпеваемой всеми α , β -дихлоралкилтрихлорсиланами при их дегидрохлорировании хлористым алюминием.

2. Предложен механизм этой новой перегруппировки в органической химии кремния, заключающийся в частичном или полном переходе трихлорсилильной группы после отщепления β -хлоратома от α - к β -атому углерода, что приводит к получению β -хлор α -алкенилтрихлорсиланов.

3. Если α , β -дихлоралкилтрихлорсиланы при дегидрохлорировании хинолином образуют одно неопределенное соединение, то β , γ -дихлоралкилтрихлорсиланы при этом образуют смесь двух различных неопределенных кремнеорганических соединений.

4. Разработана методика синтеза γ -хлоралкилметилдихлорсиланов без автоклава в мягких условиях и установлено, что пиролизом этих соединений можно синтезировать неопределенные соединения с хорошими выходами.

5. Атом брома в алкильной цепи кремнеорганических соединений значительно легче отщепляется при дегидрогалогенировании, чем аналогичный атом хлора.

Институт органической химии

им. Н. Д. Зелинского

Академии наук СССР

Поступило

16.VII.1958

ЛИТЕРАТУРА

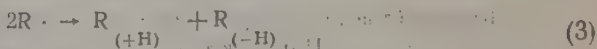
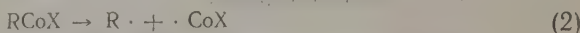
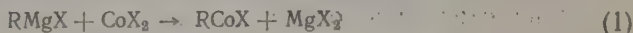
1. А. Д. Петров, В. Ф. Миронов и Д. Машанцкер, Изв. АН СССР. Отд. хим. н. 1956, 551.
2. А. Д. Петров, В. Ф. Миронов и В. Г. Глуховцев, Докл. АН СССР 110, 93 (1956).
3. А. Д. Петров, В. Ф. Миронов, В. Г. Глуховцев и Ю. П. Егоров, Изв. АН СССР. Отд. хим. н. 1957, 1091.
4. В. Ф. Миронов и Н. А. Погонкина, Изв. АН СССР. Отд. хим. н. 1957, 1199.
5. В. Ф. Миронов и В. В. Непомнина, Изв. АН СССР. Отд. хим. н. 1959, 1231.
6. В. Ф. Миронов, Сб. «химия и практическое применение кремнеорганических соединений», вып. 1, Центральное бюро технической информации, Л., 1958, стр. 148.
7. А. Д. Петров, В. Ф. Миронов и Д. Команич, Изв. АН СССР. Отд. хим. н. 1957, 1393.
8. В. Ф. Миронов и А. Д. Петров, Изв. АН СССР. Отд. хим. н. 1958, 787.
9. В. Ф. Миронов, А. Д. Петров и Н. Г. Максимова, Изв. АН СССР. Отд. хим. н. 1959, 1954.
10. В. А. Пономаренко, Б. А. Соколов, Х. М. Миначев и А. Д. Петров, Докл. АН СССР 106, 76 (1956).
11. G. L. Speller, J. Amer. Chem. Soc. 73, 826 (1951).
12. В. Ф. Миронов, Изв. АН СССР, Отд. хим. н. 1959, 1862.
13. А. Д. Петров и Г. И. Никишин, Изв. АН СССР. Отд. хим. н. 1956, 243.
14. П. А. Бажулин, Ю. П. Егоров и В. Ф. Миронов, Докл. АН СССР, 92, 515 (1953).
15. А. Д. Петров, С. И. Садых-Заде, В. А. Пономаренко, Б. А. Соколов и Ю. П. Егоров, Ж. общ. химии 27, 2479 (1954).

ВАН ФО-СУН, Б. А. ДОЛГОПЛОСК и Б. Л. ЕРУСАЛИМСКИЙ

РЕАКЦИИ МЕТАЛЛООРГАНИЧЕСКИХ СОЕДИНЕНИЙ С СОЛЯМИ ТЯЖЕЛЫХ МЕТАЛЛОВ

СООБЩЕНИЕ I. ВЗАИМОДЕЙСТВИЕ МАГНИЙБРОМЭТИЛА С ГАЛОГЕНИДАМИ ТИТАНА И КОБАЛЬТА

Изучению реакций между магнийорганическими соединениями и солями различных металлов посвящен ряд работ. Кондырёв и Фомина [1], которые впервые систематически исследовали эту реакцию, показали, что в результате взаимодействия магнийгалогеналкилов с солями тяжелых металлов (железа, меди, кобальта, хрома, молибдена и др.) получаются эквивалентные количества насыщенного и ненасыщенного углеводородов, отвечающих алкилу магнийорганического соединения. Соли тяжелых металлов восстанавливаются при этом до закисных, а в некоторых случаях — до металла. За последние годы в литературе появился ряд исследований, в частности, Джильмена [2, 3], Караша [4], Циглера [5] и Германа [6], посвященных изучению механизма этих реакций. Указанные авторы предполагают, что взаимодействие магнийгалогеналкилов с солями тяжелых металлов проходит через стадию образования неустойчивых металлоорганических соединений, разложение которых чаще всего рассматривается как свободнорадикальный процесс:



Другие исследователи, например Уилдс [7], считают, что разложение металлоорганических соединений приводит к непосредственному образованию углеводородов без участия свободных радикалов, что, однако, не является экспериментально доказанным.

Возможность появления свободных радикалов в рассматриваемой реакции представляется сомнительной. Известно [8], что этильные свободные радикалы преимущественно взаимодействуют с растворителем с отрывом H-атома и с образованием этана. Реакция диспропорционирования отмечается при этом лишь в незначительной степени. В то же время в большинстве цитированных выше работ отмечается, что разложение C_2H_5MgBr под влиянием солей тяжелых металлов связано с образованием эквивалентных или сравнимых количеств этана и этилена.

С целью выяснения вопроса о механизме указанной реакции нами было изучено взаимодействие магнийбромэтила с трех- и четыреххлористым титаном в присутствии окиси азота, стирола и α -метилстирола. Все эти соединения количественно улавливают свободные радикалы, вследствие чего изучение их влияния на выход этана и этилена является прямым путем для установления наличия свободнорадикальных стадий. В случае справедливости предположения о появлении в ходе реак-

Таблица 1

Взаимодействие магнийбромэтила с четыреххлористым титаном при 20°

Продолжительность опытов — 2 часа

| Молярное соотношение $\frac{C_2H_5MgBr}{TiCl_4}$ | Выход в % от теорет. | | | Акцептор | |
|-----------------------------------------------------|----------------------|--------|-------------|-----------------------|-------------------------------------------|
| | этан | этилен | общий выход | наименование | количество в % к объему реакционной смеси |
| 1 : 1,6 | 52 | 20 | 72 | Без акцептора | — |
| 1 : 1,6 | 56 | 18 | 74 | " " | — |
| 1 : 1,6 | 56 | 20 | 76 | Оксид азота | — |
| 1 : 1,6 | 54 | 21 | 75 | " " | — |
| 1 : 1,6 | 57 | 23 | 80 | α -Метилстирол | 50 |
| 1 : 1,6 | 57 | 18 | 75 | " " | 50 |
| 1 : 1,6 | 57 | 21 | 78 | Стирол | 55 |
| 1 : 1,6 | 56 | 23 | 79 | " " | 60 |

ции радикалов C_2H_5 , присутствие акцепторов должно было бы полностью исключить образование этана и этилена. Нами показано, что при проведении взаимодействия магнийбромэтила с четыреххлористым титаном при 20° оксид азота, стирол и α -метилстирол не влияют на общий выход этана и этилена и на их соотношение (табл. 1).

Следует указать, что оксид азота может реагировать с магниорганическими соединениями с образованием производных нитрозогидроксил-амина [9], что ограничивает возможность ее использования для количественного улавливания свободных радикалов. Вывод об отсутствии радикальных стадий при взаимодействии магнийбромэтила с четыреххлористым титаном становится очевидным при использовании в качестве акцепторов свободных радикалов стирола и α -метилстирола. Эти соединения брались в большом избытке во избежание возможности их полного израсходования за счет полимеризации под влиянием $TiCl_4$ (или комплекса, образующегося при реакции между C_2H_5MgBr и $TiCl_4$). Как нами установлено методом бромид-броматного титрования, в реакционной смеси по окончании опыта оставалось 15—20% неизрасходованного стирола или α -метилстирола.

Таблица 2

Взаимодействие магнийбромэтила с треххлористым титаном при 100°С

Продолжительность опытов — 5 час.

| Молярное соотношение $\frac{C_2H_5MgBr}{TiCl_3}$ | Выход в % от теорет. | | | Акцептор |
|-----------------------------------------------------|----------------------|--------|-------------|-----------------------|
| | этан | этилен | общий выход | |
| 1 : 2,4 | 31 | 11 | 42 | Без акцептора |
| 1 : 2,4 | 34 | 13 | 47 | " " |
| 1 : 2,4 | 32 | 12 | 46 | Оксид азота |
| 1 : 2,4 | 30 | 14 | 44 | " " |
| 1 : 2,4 | 39 | 15 | 54* | α -Метилстирол |
| 1 : 2,4 | 40 | 15 | 55* | " " |

* В двух последних опытах (табл. 2) был использован треххлористый титан с более высокой степенью дисперсности.

При изучении реакции магнийбромэтила с треххлористым титаном были получены аналогичные результаты. В данном случае опыты проводились при 100° (табл. 2).

В присутствии тех же акцепторов свободных радикалов изучена реакция между магнийбромэтилом и хлористым кобальтом. Результаты, по-

Таблица 3

Взаимодействие магнийбромэтила с хлористым кобальтом

| Температура опыта в °С | Время опыта в часах | Молярное соотношение C_2H_5MgBr $CoCl_2$ | Выход в % от теорет. | | | Акцептор | |
|------------------------|---------------------|--------------------------------------------|----------------------|--------|-------------|-----------------------|-------------------------------------------|
| | | | этан | этилен | общий выход | наименование | количество в % к объему реакционной смеси |
| 40 | 5 | 1:4,8 | 13 | 11 | 24 | Без акцептора | — |
| 40 | 5 | 1:4,8 | 12 | 12 | 24 | α -Метилстирол | 20 |
| 40 | 5 | 1:4,8 | 15 | 15 | 30 | Стирол | 20 |
| 20 | 5 | 1:4,8 | 15 | 12 | 27 | Без акцептора | — |
| 20 | 5 | 1:4,8 | 17 | 15 | 32 | Оксид азота | — |
| 20 | 5 | 1:4,8 | 15 | 14 | 29 | Стирол | 20 |
| -20 | 7 | 1:4,8 | 15 | 12 | 27 | Без акцептора | — |
| -20 | 7 | 1:4,8 | 18 | 16 | 34 | α -Метилстирол | 90 |
| -20 | 7 | 1:4,8 | 18 | 15 | 33 | Стирол | 50 |

лученные нами при этом в температурном интервале от -20 до 40° , показывают, что ни один из использованных акцепторов не приводит к повышению выхода этана и этилена (табл. 3).

Обращает на себя внимание то, что общий выход этана и этилена, особенно в случае $TiCl_3$ и $CoCl_2$, существенно отличается от теоретического. Это связано с тем, что в системе остается непрореагировавшее магнийорганическое соединение. Как нами показано, суммарный выход углеводородов становится практически количественным (97—99% от теорет.), если по окончании реакции между магнийбромэтилом и хлористым кобальтом разложить реакционную смесь водой.

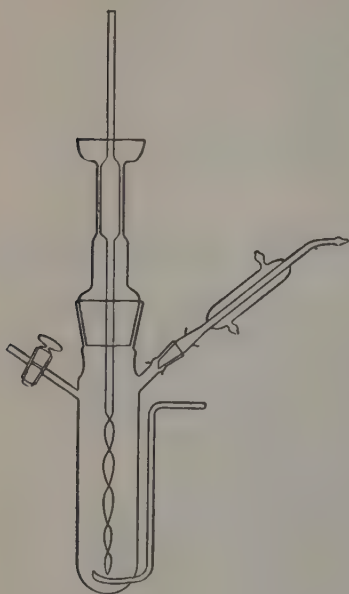
Данные, приведенные в табл. 1—3, позволяют сделать заключение об отсутствии радикальных стадий при реакции между магнийбромэтилом и солями титана и кобальта, по крайней мере в изученных нами температурных пределах. Необходимо отметить, что в присутствии трех- и четыреххлористого титана выход этана существенно превышает выход этилена. Подобное наблюдение было сделано также Джильменом [3], который установил, что при реакции магнийбромэтила с четыреххлористым титаном при 25° (соотношение 4:1), в среде этилового эфира, выходы этана и этилена соответственно равны 52 и 9% от теорет. Автор объясняет этот факт реакцией свободных радикалов $C_2H_5\cdot$ с растворителем. Такой вывод представляется нам необоснованным, так как при наличии свободных этильных радикалов стирол и α -метилстирол должны были бы практически полностью подавить процесс образования этана и этилена. Как это следует из наших данных, присутствие этих акцепторов не влияет ни на общий выход этана и этилена, ни на их соотношение. По-видимому, образование этилена в меньшем по сравнению с этаном количестве связано с частичной полимеризацией этилена под влиянием комплекса, образующегося при реакции между солями титана и магнийбромэтилом. Недавно было показано, что комплексы этого типа могут быть применены для полимеризации олефинов [10]. С другой стороны, при реакции между хлористым кобальтом и магнийбромэтилом, которую для инициирования полимеризации использовать не удалось, этан и этилен образуются в эквивалентных количествах.

Количество полиэтилена, которое могло образоваться в условиях проведенных нами опытов по взаимодействию галогенидов титана с магнийбромэтилом, чрезвычайно мало. Это не позволило нам доказать образование полимера экспериментально.

ЭКСПЕРИМЕНТАЛЬНАЯ ЧАСТЬ

Для устранения возможности попадания паров низкокипящего растворителя в газообразные продукты реакции синтез магнийбромэтила проводился в среде изоамилового эфира (т. кип. 171°). Полученный рас-

твор разбавлялся 8-кратным количеством сухого керосина (фракция 150—220°). Эта же фракция использовалась в качестве растворителя во всех других случаях. Концентрация магнийорганического соединения определялась по количеству углеводородов, выделяющемуся при разложении определенного объема его раствора водой. Обезвреживание шестиводного хлористого кобальта проводилось путем длительного нагревания при 150—170° в вакууме (2 мм) или в токе сухого хлористого во-



Фиг. 1. Реактор

дорода при 250°, в соответствии с методикой, описанной в литературе [11, 12]. Товарный четыреххлористый титан очищался перегонкой через колонку с медной стружкой. Треххлористый титан готовился восстановлением четыреххлористого титана водородом при 800°. Полученный продукт освобождался от следов четыреххлористого титана нагреванием в вакууме (2 мм) при 170° в течение 8 час. Окись азота, которая получалась, по Карякину [11], тщательно высушивалась при помощи КОН и P_2O_5 .

Опыты проводились в приборе емкостью 100 мл, снабженном мешалкой, холодильником и краном для ввода необходимых растворов (фиг. 1). Перед началом опыта прибор многократно эвакуировался и заполнялся сухим азотом. Хлористый кобальт и треххлористый титан загружались в прибор в противотоке азота. Раствор магнийбромэтила вводился из прибора Шленка под давлением азота. Таким же образом вводились четыреххлористый титан, стирол и α -метилстирол.

В случаях, когда в качестве акцептора применялась окись азота, последняя барботировалась через реакционную смесь на протяжении всего опыта.

Выделяющиеся при реакции газообразные продукты собирались в газовую бюретку. По окончании реакции через реакционную смесь при той же температуре барботировалась сухая двуокись углерода для карбонизации непрореагировавшего магнийбромэтила. Количество CO_2 , необходимое для полной карбонизации, устанавливалось холостыми опытами, которые были проведены при 40, 20 и -20° . Затем для полного выделения растворенных в керосине газообразных продуктов реакции температура повышалась до 100° и через реакционную смесь продувался большой объем азота*. Количество азота, необходимое для полного выделения растворенных в реакционной смеси этана и этилена, также устанавливалось холостыми опытами. Содержание этана и этилена в газе определялось при помощи газоанализатора ВТИ. Ниже описываются типовые опыты.

Реакция магнийбромэтила с четыреххлористым титаном. Взято 20 мл раствора магнийбромэтила (концентрация 0,41 М/л) и 30 мл раствора $TiCl_4$ в керосине (концентрация 0,53 М/л). Опыт велся 2 часа при 20° и интенсивном перемешивании. После этого через реакционную смесь при той же температуре барботировался сухой CO_2 . Температура поднята до 100°, прибор продут азотом. Общий объем газа 1068 мл НТД. Содержание углеводородов в газе: этан 9,2% (52% от теорет.), этилен 3,5% (20% от теорет.).

* Такой же метод использовался при определении концентрации магнийбромэтила в растворе.

Реакция магнийбромэтила с четыреххлористым титаном в присутствии стирола. Взято 20 мл раствора магнийбромэтила (концентрация 0,61 М/л), 26 мл стирола и 23,5 мл раствора TiCl_4 в керосине (концентрация 0,39 М/л). Продолжительность опыта 2 час., температура 20°. Обработка, как в предыдущем опыте. Общий объем газа 1113 мл НТД. Содержание углеводородов в газе: этан 6,8% (57% от теорет.), этилен 2,5% (21% от теорет.). Содержание неизрасходованного стирола в реакционной смеси (по титрованию бромидброматным методом) 17% от взятого количества.

Реакция магнийбромэтила с хлористым кобальтом. Взято 5,73 г безводного хлористого кобальта и 50 мл раствора магнийбромэтила (концентрация 0,16 М/л). Продолжительность опыта 5 час., температура 20°. Обработка, как в первом опыте. Общий объем газа 1050 мл НТД. Содержание углеводородов в газе: этан 2,4% (15% от теорет.); этилен 2,0% (12% от теорет.).

ВЫВОДЫ

1. Изучено взаимодействие магнийбромэтила с трех- и четыреххлористым титаном и с хлористым кобальтом в присутствии различных акцепторов свободных радикалов.

2. Присутствие акцепторов свободных радикалов не влияет ни на выход, ни на соотношение этана и этилена, что указывает на отсутствие свободнорадикальных стадий в данной реакции.

Институт высокомолекулярных соединений
Академии наук СССР

Поступило
14.VII.1958

ЛИТЕРАТУРА

1. Н. В. Кондырев и Д. А. Фомина, Ж. русск. физ.-хим. об-ва **47**, 190 (1915).
2. H. Gilman, J. Amer. Chem. Soc. **46**, 2823 (1924).
3. H. Gilman, R. Jones, L. Woods, J. Amer. Chem. Soc. **76**, 3615 (1954).
4. M. Kharash, J. Amer. Chem. Soc. **52**, 2919 (1930); M. Kharash, E. Fields, там же **63**, 2316 (1941).
5. K. Ziegler, W. Hechelhammer, Liebigs Ann. Chem. **567**, 56 (1950).
6. D. Herman, W. Nelson, J. Amer. Chem. Soc. **75**, 3887, 3882 (1953).
7. A. Wilds, W. McCormac, J. Organ. Chem. **14**, 45 (1949).
8. Б. А. Долгоплоск, Б. Л. Ерусалимский, В. А. Кроль и Л. М. Романов, Ж. общ. химии **24**, 1774 (1954).
9. J. Sand, F. Singer, Liebigs Ann. Chem. **329**, 190 (1903); E. Müller, H. Metzger, Chem. Ber. **89**, 399 (1956).
10. Б. А. Долгоплоск, Л. М. Романов, Б. Л. Ерусалимский и В. Я. Богомольный, Докл. АН СССР **115**, 731 (1957).
11. Ю. В. Карякин и И. И. Ангелов, Чистые химические реактивы, М., Госхимиздат, 1955.
12. M. Kharash, F. Engelmann, W. Urry, J. Amer. Chem. Soc. **66**, 365 (1944).

А. А. БУГОРКОВА, В. Ф. МИРОНОВ и А. Д. ПЕТРОВ

ИССЛЕДОВАНИЕ ОТНОСИТЕЛЬНОЙ РЕАКЦИОННОЙ СПОСОБНОСТИ КРАТНОЙ СВЯЗИ В МЕТАЛЛООРГАНИЧЕСКИХ СОЕДИНЕНИЯХ IV ГРУППЫ МЕТОДОМ РОДАНОВЫХ ЧИСЕЛ

Несколько лет назад мы обнаружили [1, 2], что некоторые кремнеорганические соединения, содержащие непредельные радикалы, не дают теоретических величин бромных чисел (БЧ) при определении последних по методу Кауфмана [3]. Например все кремнеорганические соединения, содержащие аллильный или метилаллильный радикалы, показывали БЧ значительно выше вычисленных. Для триалкилаллилсиланов ($R_3SiCH_2CH=CH_2$) БЧ оказывались, например, точно в два раза более высокими, нежели теоретические, а для ди-, три- и тетрааллилсиланов величины БЧ четкими закономерностей не обнаруживали и редко давали повторяющиеся результаты.

Это явление было нами объяснено [1, 2] тем, что образующиеся термически нестойкие соединения, содержащие β , γ -дибромпропильные радикалы, претерпевают так называемый β -распад (β -отщепление)

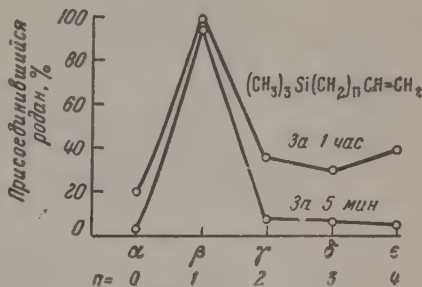


Отщепившийся бромистый аллил присоединяет еще два атома брома (раствор Кауфмана берется обычно в избытке), что и ведет к удвоению БЧ. В случае полиаллилзамещенных силанов, после отщепления одного или двух радикалов, наступает термическая стабилизация молекулы, и оставшиеся β , γ -дибромпропильные радикалы более не отщепляются или отщепляются очень медленно. В результате величины БЧ носят неопределенный характер и зависят от внешних условий: температуры опыта, времени и т. п. Кремнеуглеводороды, содержащие ванильные и γ -бутенильные радикалы, дают БЧ, соответствующие вычисленным величинам, так как образующиеся $R_3SiCHBrCH_2Br$ или $R_3SiCH_2CH_2CHBrCH_2Br$, в отличие от $R_2SiCH_2CHBrCH_2Br$, являются термически устойчивыми соединениями. Другой группой кремнеорганических соединений, представители которой не дают правильных БЧ, являются соединения, содержащие у атома кремния водород, который реагирует с бромом раствора Кауфмана. Например диаллилсилан или аллилсилан с раствором Кауфмана дают завышенные БЧ, так как бром расходуется частично на замещение водорода в связи $Si-H$.

Поэтому для характеристики чистоты непредельных кремнеорганических соединений мы решили применить реакцию присоединения родана по кратной связи или метод родановых чисел (РЧ) Кауфмана [4]. Оказалось, что РЧ для любых классов непредельных кремнеуглеводородов очень хорошо совпадают с вычисленными. Таким образом стало ясно, что родан не реагирует со связью $Si-H$, а образующиеся γ , β -дироданалкилсиланы являются термически стойкими соединениями, т. е. нахождение у β - и γ -углеродного атома (относительно атома

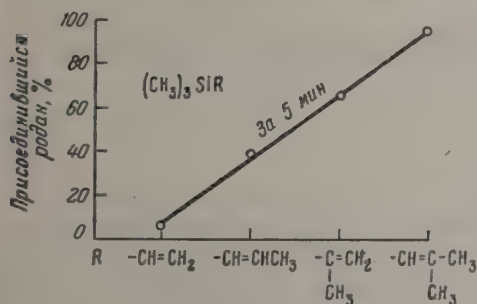
кремния) роданогрупп ($-\text{SCN}$) не вызывает термического β -отщепления роданистого аллила.

Кажущийся недостаток метода РЧ перед БЧ заключается в длительности определения РЧ для некоторых непредельных кремнеуглеводородов. Например $(\text{C}_2\text{H}_5)_3\text{SiCH}=\text{CH}_2$ и ряд других α -алкенилсиланов присоединяют 100% родана лишь за 24 часа. Однако медленность присоединения родана дала нам возможность легко определять присоединения родана в процентах за различные промежутки времени, т. е. легко следить за скоростью его присоединения к тому или иному непредельному соединению. Таким образом, метод РЧ дал нам в руки простой путь определения относительной реакционной способности кратной связи в разнообразных кремнеорганических соединениях. Например определение [5] РЧ для гомологического ряда $\text{R}_3\text{Si}(\text{CH}_2)_n\text{CH}=\text{CH}_2$ позволило установить интересную закономерность реакционной способности кратной связи в зависимости от ее положения относительно атома кремния (фиг. 1).

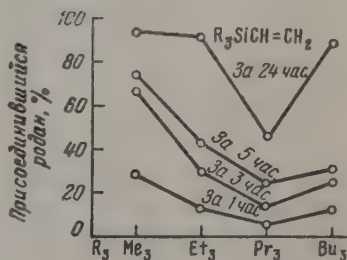


Фиг. 1

Из фиг. 1 ясно видно, что наименьшей реакционной способностью обладают винилсиланы (т. е. соединения с $n=0$), наибольшей — аллилсиланы ($n=1$). Из этого же графика следует, что γ -бутенилсиланы ($n=2$) значительно реакционноспособнее, чем винилсиланы ($n=0$), но менее реакционны, чем аллилсиланы, и т. д. И, наконец, из полученных данных явно проявляется альтернация в реакционной способности



Фиг. 2



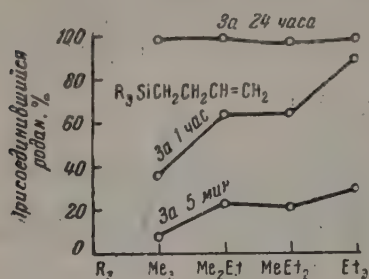
Фиг. 3

кратной связи: действительно соединения с $n=0,2$ обладают пониженной реакционной способностью, а соединения с $n=1$ обладают повышенной реакционной способностью.

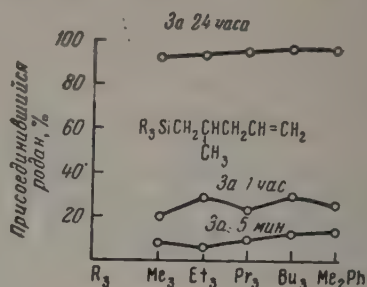
Отмеченная закономерность впоследствии неоднократно подтверждалась для рассматриваемого гомологического ряда в других реакциях ионного присоединения, HX , X_2 , $(\text{RO})_2\text{PS}_2\text{H}$ и других реагентов. В то же время в радикальных реакциях присоединения соединения этого гомологического ряда обнаруживают обратную зависимость реакционной способности [6, 7], т. е. соединения из гомологического ряда $\text{R}_3\text{Si}(\text{CH}_2)_n\text{CH}=\text{CH}_2$, обнаруживая большую реакционную способность в ионных реакциях присоединения (например аллилсиланы), одновременно проявляют низкую реакционную способность в радикальных реакциях присоединения и наоборот. Отмеченное обстоятельство

позволяет нам считать, что присоединение родана является ионной реакцией присоединения по кратной связи.

Далее при помощи РЧ мы оценили реакционную способность кратной связи в α -алкенилсиланах в зависимости от количества и положения

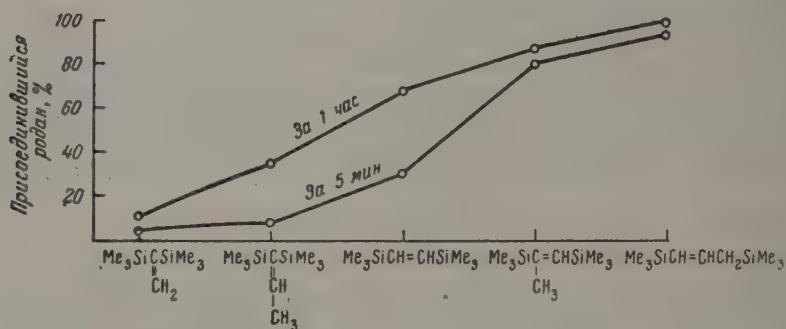


Фиг. 4



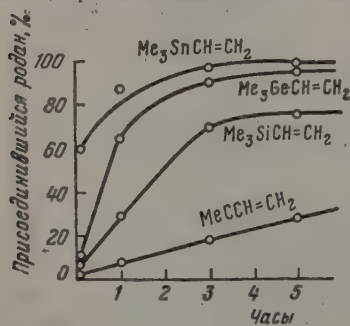
Фиг. 5

метильных радикалов, осуществляющих разветвление у кратной связи (фиг. 2). Для винилтриалкилсиланов ($R_3SiCH=CH_2$) реакционная способность кратной связи находится в следующей зависимости от природы R (фиг. 3). Для серии γ -алкенилсиланов реакционная способ-



Фиг. 6

ность, однако, возрастает при переходе от метильных радикалов к этильным (фиг. 4). И, наконец, для δ -алкенилсиланов уловить различие в реакционной способности кратной связи в зависимости от строения остальных трех радикалов не удается, так как все они почти одинаково присоединяют родан за 5 мин., 1 час и 24 часа (фиг. 5).



Фиг. 7

Интересная зависимость реакционной способности кремнеорганических соединений от строения наблюдается для дисиланэтиленов и пропиленов (фиг. 6). Особенно четкие результаты были нами получены при определении РЧ для соединения $(CH_3)_3MCH=CH_2$, когда M менялось в следующем порядке: C, Si, Ge, Sn (фиг. 7). Для соединений ряда $(CH_3)_3MCH_2CH=CH_2$ подобной зависимости установить

не удалось, так как при M=Si, Ge и Sn уже за 5 мин. родан присоединяется на ~100%, т. е. настолько быстро уловить разницу в скорости присоединения не удается.

Таблица

| Формула | Степень роданирования в % за время | | | | |
|--------------------------------------------------------------------------------------------------------------------------|------------------------------------|-------|--------|--------|-------|
| | 5 мин. | 1 час | 3 час. | 5 час. | сутки |
| $(\text{CH}_3)_2\text{SiCH}=\text{CH}_2$ | 4,0 | 29,5 | 67,4 | 73,9 | 95,5 |
| $(\text{C}_2\text{H}_5)_2\text{SiCH}=\text{CH}_2$ | 3,0 | 13,8 | 29,8 | 42,3 | 93,5 |
| $(\text{C}_2\text{H}_5)_3\text{SiCH}=\text{CH}_2$ | — | 5,6 | 14,7 | 24,1 | 46,6 |
| $(\text{C}_4\text{H}_9)_2\text{SiCH}=\text{CH}_2$ | — | 12,5 | 24,6 | 28,6 | 89,9 |
| $(\text{CH}_3)_2\text{Si}(\text{CH}=\text{CH}_2)_2$ | 6,1 | — | 17,2 | 29,7 | — |
| $\text{Si}(\text{CH}=\text{CH}_2)_4$ | 1,5 | 12,7 | — | — | — |
| $(\text{CH}_3)_3\text{SiC}=\text{CH}_2$ | 64,3 | 80,7 | — | — | 98,7 |
| $\begin{array}{c} \text{CH}_3 \\ \\ \text{C}_6\text{H}_7(\text{CH}_2)_2\text{SiCH}=\text{CHC}_6\text{H}_5 \end{array}$ | 29,5 | 40 | 53,4 | — | — |
| $(\text{CH}_3)_2\text{SiCH}=\text{C}-\text{CH}_3$ | 98,3 | 101,4 | — | — | — |
| $(\text{CH}_3)_2\text{SiCH}=\text{CH}-\text{CH}_3$ | 42,1 | 99,0 | — | — | — |
| $(\text{C}_2\text{H}_5)_2\text{SiCH}=\text{C}-\text{CH}_3$ | 74,9 | 96,5 | — | — | — |
| $\begin{array}{c} \text{CH}_3 \\ \\ \text{C}_6\text{H}_5(\text{CH}_2)_2\text{SiCH}=\text{C}-\text{CH}_3 \end{array}$ | 78,0 | 88,1 | 88,2 | 88,6 | 96,4 |
| $(\text{C}_2\text{H}_5)_2\text{SiCH}=\text{CH}-\text{CH}_2$ | 35,8 | 87,3 | — | — | 99,0 |
| $(\text{CH}_3)_2\text{Si} \begin{array}{c} \diagup \text{---} \diagdown \\ \text{---} \end{array}$ | 5,8 | 18 | 34,6 | 41,5 | 85,6 |
| $(\text{CH}_3)_2\text{SiC}-\text{CH}_2-\text{CH}_3$ | 41,2 | 52,5 | — | — | 91,5 |
| $\begin{array}{c} \text{CH}_2 \\ \\ (\text{CH}_3)_2\text{SiC}=\text{CHCH}_2\text{OH} \end{array}$ | 59,7 | 76,2 | — | — | — |
| $\begin{array}{c} \text{CH}_3 \\ \\ (\text{CH}_3)_2\text{SiCC}_6\text{H}_5 \end{array}$ | 4,1 | 10,6 | 19,6 | 24,3 | 71 |
| $\begin{array}{c} \text{CH}_2 \\ \\ (\text{CH}_3)_2\text{Si}(\text{CH}=\text{C}-\text{CH}_3)_2 \end{array}$ | 57,8 | 83,2 | — | — | 99,1 |
| $\begin{array}{c} \text{CH}_3 \\ \\ (\text{C}_2\text{H}_5)_2\text{SiCCl}=\text{CH}_2 \end{array}$ | 0 | 0 | — | — | 3,0 |
| $(\text{CH}_3)_2\text{C}-\text{CH}=\text{CH}_2$ | 3,6 | 8,4 | 18,6 | 26,8 | 57,2 |
| $(\text{C}_2\text{H}_5)_2\text{SnCH}=\text{CH}_2$ | 58,2 | 80,9 | 86,7 | 88,9 | 96,2 |
| $(\text{CH}_3)_2\text{GeCH}=\text{CH}_2$ | 20,8 | 65,9 | 88,3 | 94,2 | 94,2 |
| $(\text{CH}_3)_2\text{SnCH}=\text{CH}_2$ | 60 | 83,2 | 94,3 | 98,7 | — |
| $(\text{CH}_3)_2\text{SiCH}_2-\text{CH}=\text{CH}_2$ | 93,3 | 93,9 | — | — | — |
| $(\text{C}_6\text{H}_5)_2\text{SiCH}_2-\text{CH}=\text{CH}_2$ | 96,4 | 96,4 | — | — | — |
| $(\text{C}_6\text{H}_5)_2\text{SiCH}_2-\text{CH}=\text{CH}_2$ | 92,2 | 97,3 | — | — | 100,2 |
| $(\text{CH}_3)_2\text{SnCH}_2-\text{CH}=\text{CH}_2$ | 78,9 | 94,2 | — | — | — |
| $(\text{C}_2\text{H}_5)_2\text{SnCH}_2\text{CH}=\text{CH}_2$ | 76,4 | — | 101,2 | 103,8 | 104,0 |
| $(\text{CH}_3)_2\text{SiGeCH}_2\text{CH}=\text{CH}_2$ | 96,0 | 102,0 | — | — | — |
| $\text{CH}_3\text{SiH}(\text{CH}_2-\text{CH}=\text{CH}_2)_2$ | 76,8 | 93,7 | — | — | — |
| $\text{CH}_3\text{Si}(\text{CH}_2-\text{CH}=\text{CH}_2)_2$ | 81,6 | 95,6 | — | — | — |
| $(\text{C}_6\text{H}_5)_2\text{Si}(\text{CH}_2-\text{CH}=\text{CH}_2)_2$ | 83,7 | 88,5 | — | — | 90,8 |
| $(\text{CH}_3)_2\text{Si}(\text{CH}_2-\text{CH}=\text{CH}_2)_2$ | 94,8 | 96,9 | — | — | 109,1 |
| $\text{CH}_3(\text{C}_6\text{H}_5)\text{Si}(\text{CH}_2-\text{CH}=\text{CH}_2)_2$ | 87,0 | 91,9 | — | — | 95,3 |
| $(\text{C}_6\text{H}_5)_2\text{Si}(\text{CH}_2-\text{CH}=\text{CH}_2)_2$ | 55,9 | 90,3 | — | — | 98,3 |
| $(\text{C}_6\text{H}_5)_2(\text{CH}_3)\text{Si}(\text{CH}_2-\text{CH}=\text{CH}_2)_2$ | 72,9 | 91,4 | — | — | 93,8 |
| $(\text{C}_6\text{H}_7)\text{HSi}(\text{CH}_2\text{CH}=\text{CH}_2)_2$ | 87,1 | 113,8 | — | — | 103,1 |
| $\text{C}_2\text{H}_5\text{Si}(\text{CH}_2\text{CH}=\text{CH}_2)_2$ | 69,6 | 83,8 | — | — | 91,3 |
| $\text{C}_6\text{H}_5\text{Si}(\text{CH}_2-\text{CH}=\text{CH}_2)_2$ | 64,4 | 80,7 | — | — | 91,2 |
| $(\text{CH}_3)_2\text{Si}(\text{CH}_2\text{C}=\text{CH}_2)_2$ | 54,2 | 65,5 | — | — | 73,6 |
| $\begin{array}{c} \text{CH}_3 \\ \\ (\text{C}_2\text{H}_5)_2\text{SiCH}_2\text{C}=\text{CH}_2 \end{array}$ | 97,2 | 99,3 | — | — | — |
| $\begin{array}{c} \text{CH}_3 \\ \\ (\text{CH}_3)_2\text{SiCH}_2\text{C}=\text{CH}_2 \end{array}$ | 93,3 | 96,8 | — | — | 104,8 |
| $\begin{array}{c} \text{CH}_3 \\ \\ (\text{CH}_3)_2\text{GeCH}_2\text{C}=\text{CH}_2 \end{array}$ | 103,4 | — | — | — | — |
| $\begin{array}{c} \text{CH}_3 \\ \\ (\text{CH}_3)_2\text{SiCH}=\text{CH}=\text{CH}-\text{CH}_3 \end{array}$ | 100,5 | 102,4 | — | — | — |
| $\begin{array}{c} \text{CH}_3 \\ \\ (\text{CH}_3)_2\text{SiCH}_2\text{CH}=\text{CCl}-\text{CH}_3 \end{array}$ | 0 | 0 | — | 1,0 | 10,4 |

(Продолжение табл.)

| Формула | Степень роданирования в % за время | | | | |
|------------------------------------------------------------------------------------------------------------------------------------------------|------------------------------------|-------|--------|--------|-------|
| | 5 мин. | 1 час | 3 час. | 5 час. | сутки |
| $(\text{CH}_3)_3\text{SiCH}_2\text{CH}_2\text{CH}=\text{CH}_2$ | 6,9 | 37,7 | — | — | 99,6 |
| $(\text{C}_2\text{H}_5)_2(\text{CH}_3)\text{SiCH}_2\text{CH}_2\text{CH}=\text{CH}_2$ | 22,5 | 61,8 | — | — | 102,4 |
| $(\text{C}_2\text{H}_5)_2\text{CH}_2\text{SiCH}_2\text{CH}_2\text{CH}=\text{CH}_2$ | 20,1 | 60,3 | — | — | 100,6 |
| $(\text{C}_2\text{H}_5)_2\text{SiCH}_2\text{CH}_2\text{CH}=\text{CH}_2$ | 30,4 | 90,3 | — | — | 102 |
| $(\text{CH}_3)_3\text{SiCH}_2\text{CH}_2\text{C}=\text{CH}_2$ | 96,3 | 97,7 | — | — | 102,6 |
| $\begin{array}{c} \text{CH}_3 \\ \\ (\text{CH}_3)_3\text{SiCH}_2\text{CH}-\text{CH}_2\text{CH}=\text{CH}_2 \end{array}$ | 8,5 | 20,3 | — | — | 93,9 |
| $\begin{array}{c} \text{CH}_3 \\ \\ (\text{C}_2\text{H}_5)_2\text{SiCH}_2\text{CHCH}_2\text{CH}=\text{CH}_2 \end{array}$ | 5,2 | 31,2 | — | — | 93,0 |
| $\begin{array}{c} \text{CH}_3 \\ \\ (\text{C}_2\text{H}_5)_2\text{SiCH}_2\text{C}-\text{CH}_2-\text{CH}_2-\text{CH}=\text{CH}_2 \end{array}$ | 9,3 | 16,9 | — | — | 90,1 |
| $\begin{array}{c} \text{CH}_3 \\ \\ (\text{C}_3\text{H}_7)_2\text{SiCH}_2\text{CH}-\text{CH}_2\text{CH}=\text{CH}_2 \end{array}$ | 10,2 | 22,0 | — | — | 95,6 |
| $\begin{array}{c} \text{CH}_3 \\ \\ (\text{C}_4\text{H}_9)_2\text{SiCH}_2\text{CHCH}_2\text{CH}=\text{CH}_2 \end{array}$ | 12,7 | 29,4 | — | — | 98,6 |
| $\begin{array}{c} \text{CH}_3 \\ \\ (\text{CH}_3)_2(\text{C}_6\text{H}_5)\text{SiCH}_2\text{CHCH}_2\text{CH}=\text{CH}_2 \end{array}$ | 13,8 | 24,1 | — | — | 96,2 |
| $\begin{array}{c} \text{CH}_3 \\ \\ (\text{CH}_3)\text{HSi}(\text{CH}_2\text{CHCH}_2\text{CH}=\text{CH}_2)_2 \end{array}$ | 5,2 | 39,1 | — | — | 98,4 |
| $\begin{array}{c} \text{CH}_3 \\ \\ (\text{CH}_3)_2\text{Si}(\text{CH}_2)_6\text{CH}=\text{CH}_2 \end{array}$ | 3,2 | 40,2 | — | — | 97,7 |

Роданирование дисилановых производных

| | | | | | |
|---------------------------------------------------------------------------------------------------------------------------------------|------|------|------|------|-------|
| $(\text{CH}_3)_3\text{SiCH}=\text{CHSi}(\text{CH}_3)_3$ | 29,8 | 67,5 | — | — | 90,6 |
| $(\text{C}_2\text{H}_5)_2\text{SiCH}=\text{CHSi}(\text{C}_2\text{H}_5)_2$ | 5,6 | 9,9 | — | — | 59,6 |
| $(\text{CH}_3)_3\text{SiCH}=\text{CSi}(\text{CH}_3)_3$ | 90,0 | 97,4 | 98,4 | 99 | 101,5 |
| $\begin{array}{c} \text{CH}_3 \\ \\ (\text{C}_2\text{H}_5)_2\text{SiOCH}_2\text{CH}-\text{CSi}(\text{C}_2\text{H}_5)_2 \end{array}$ | 7,8 | 27,5 | — | — | 68,2 |
| $\begin{array}{c} \text{CH}_3 \\ \\ (\text{CH}_3)_2\text{SiC} \cdot \text{Si}(\text{CH}_3)_3 \\ \\ \text{HCCCH}_3 \end{array}$ | 34,6 | 46,6 | 68,8 | 75,6 | — |
| $(\text{CH}_3)_2\text{SiCH}_2\text{CH}=\text{CHSi}(\text{CH}_3)_3$ | 96 | 98 | 100 | — | — |
| $\begin{array}{c} \text{CH}_3 \\ \\ (\text{CH}_3)_2\text{SiCSi}(\text{CH}_3)_3 \end{array}$ | 4,3 | 8,8 | — | — | 61,4 |

Таким образом, нам удалось установить, что метод РЧ полностью приложим и к непредельным соединениям германия и олова. Несколько сужает рамки метода РЧ то, что реакция получения родана и его дальнейшего присоединения проводится в ледяной уксусной кислоте. Уксусная кислота реагирует со связями SiCl , SiBr , SiOCH_3 и др. Поэтому мы исследовали только кремний-, германий- и оловоуглеводороды. Таким образом, нами предложен очень простой, требующий всего 0,1 г вещества, метод определения относительной реакционной способности кратной связи в ионных реакциях присоединения для разнообразных непредельных металлоорганических соединений. Величины родановых чисел разнообразных соединений, определенных за различные промежутки времени, приведены в таблице.

ЭКСПЕРИМЕНТАЛЬНАЯ ЧАСТЬ

Методика определения родановых чисел [8, 9]. Раствор (0,1 N) свободного родана готовится действием брома (0,6 мл) на роданистый свинец (6—7 г) в безводной уксусной кислоте (200 мл) с последующим

фильтрованием осадка $PbBr_2$ через просушенный двойной складчатый фильтр [4]. В сухую колбу с притертой пробкой помещают навеску испытуемого вещества $\sim 0,1$ г. Приливают автоматической пипеткой 20 мл 0,1 N раствора родана в безводной уксусной кислоте, и ставят реакционную колбу в темное место. Через определенный промежуток времени (5 мин., 1 час и т. д.) в колбу добавляют 10 мл раствора йодистого калия и титруют выделившийся йод 0,1 N раствором гипосульфита. Параллельно ставится контрольный опыт. Доля присоединившегося родана или степень роданирования в процентах от рассчитанного высчитывается по следующей формуле:

$$A = \frac{(a - b) Mb}{200c},$$

где A — доля присоединившегося родана в %; a — количество мл 0,1 N раствора гипосульфита, пошедшее на титрование контрольного опыта; b — количество мл 0,1 N раствора гипосульфита, пошедшее на титрование опыта с навеской; c — навеска испытуемого вещества.

ВЫВОДЫ

1. Определение родановых чисел непредельных соединений Si, Ge и Sn является более универсальным методом оценки непредельности, чем метод бромных чисел.
2. Определение родановых чисел может служить удобным и быстрым методом определения относительной реакционной способности металлоорганических непредельных соединений в реакциях ионного присоединения по кратной связи.
3. В гомологическом ряду $R_3Si(CH_2)_nCH=CH_2$ реакционная способность кратной связи находится в следующей зависимости: $\beta > \gamma > \alpha$, а для соединений $R_3MCH=CH_2$ — в зависимости от $M-C < Si < Ge < Sn$.

Институт органической химии
 им. Н. Д. Зелинского
 Академии наук СССР

Поступило
 18.VII.1958

ЛИТЕРАТУРА

1. А. Д. Петров и В. Ф. Миронов, Докл. АН СССР 75, 707 (1950).
2. В. Ф. Миронов, Диссертация, М., 1952.
3. Н. Р. Кауфман, Archiv Pharmazie 261 (1929).
4. Н. Р. Кауфман, Ber. Dtsch. Pharmazie Ges. 33, 139 (1923).
5. А. Д. Петров, Ю. П. Егоров, В. Ф. Миронов, Г. И. Никишин и А. А. Бугоркова, Изв. АН СССР, Отд. хим. н. 1956, 50.
6. В. В. Коршак, А. М. Полякова, А. А. Сахарова, А. Д. Петров, В. Ф. Миронов, В. Г. Глуховцев и Г. И. Никишин, Ж. общ. химии 27, 2445 (1957).
7. Е. А. Чернышев, Изв. АН СССР, Отд. хим. н. 1960, 80.
8. А. А. Бугоркова, Диссертация, М., 1952.
9. А. А. Бугоркова, Л. И. Петрова и В. М. Родионов, Ж. общ. химии 23, 1808 (1953).

Е. А. ТИМОФЕЕВА, Н. И. ШУЙКИН, Т. П. ДОБРЫНИНА,
Ю. Н. ПЛОТНИКОВ и Г. С. ПЕТРЯЕВА

ДЕГИДРОГЕНИЗАЦИЯ УГЛЕВОДОРОДОВ НА АЛЮМОХРОМОВЫХ КАТАЛИЗАТОРАХ С ДОБАВКАМИ НЕКОТОРЫХ ОКИСЛОВ МЕТАЛЛОВ

В предыдущей нашей работе [1] мы показали, что добавка K_2O , введенная в виде KOH , K_2CO_3 , KNO_3 и $K_2Cr_2O_7$, к алюмохромовым катализаторам разных способов приготовления существенно изменяет их устойчивость и активность в реакциях дегидрогенизации изопентана, н.гексана и циклогексана. Найдено также, что эта добавка отрицательно сказывается на повышении выходов непредельных углеводородов из н.гексана.

В настоящей работе мы решили исследовать те же самые реакции в присутствии алюмохромового катализатора с добавками Li_2O , Na_2O , Rb_2O , Cs_2O и сравнить полученные результаты с имеющимися уже данными по алюмохромокалиевому катализатору. Кроме того, нам казалось интересным исследовать реакции дегидрогенизации изопентана, гексана и циклогексана в присутствии алюмохромового катализатора с добавками ZnO или PbO . Применяя эти катализаторы, мы надеялись подавить реакцию ароматизации при дегидрировании н.гексана и повысить тем самым отношение образующихся из этого углеводорода олефинов и бензола.

В результате проведенного исследования было показано, что катализаторы с добавками окиси рубидия и цезия близки по своим свойствам к алюмохромокалиевому. Лучшими из исследуемых катализаторов для реакции дегидрогенизации н.гексана являются алюмохромолитиевый и алюмохромосвинцовый.

ЭКСПЕРИМЕНТАЛЬНАЯ ЧАСТЬ

Все исследованные катализаторы готовились пропитыванием активной окиси алюминия растворами бихромата аммония и азотнокислых солей лития, рубидия, цезия, цинка или свинца. Методика приготовления таких катализаторов на примере алюмохромокалиевых описана в нашей предыдущей работе [1]. Соотношение компонентов в катализаторах было одинаковым: Al_2O_3 — 90,7 мол.%, Cr_2O_3 — 5,6 мол.% и добавка — 3,7 мол.%. Методика проведения опытов была принята такая же, как в цитированной выше работе. Таким же был и анализ катализаторов. В присутствии 30 мл катализатора пропускалось 100 мл углеводорода при 500° с объемной скоростью 0,5 час⁻¹. Полученные результаты представлены в табл. 1. В табл. 2 указаны выходы непредельных и ароматических углеводородов на пропущенный и разложенный исходный продукт и удельная поверхность катализаторов. На фиг. 1 изображена зависимость активности катализаторов в реакциях дегидрирования изопентана, н.гексана и циклогексана, а также дегидроциклизации н.гексана от продолжительности работы их в пределах семичасового опыта.

Таблица 1

Состав жидких катализаторов и газов

| Добавка к алюмохромовому катализатору | Углеводород | Выход катализата в % | Содержание в катализате в % | | n_D^{20} | Количество газа в л(НТД) | Состав газа | | |
|---------------------------------------|-------------|----------------------|-----------------------------|-----------------------------|------------|--------------------------|----------------|--------------------------------|----------------------------------|
| | | | непредельных* углеводородов | ароматических углеводородов | | | H ₂ | C _n H _{2n} | C _n H _{2n+2} |
| Li ₂ O | Изопентан | 89,4 | 33,4(0,9) | — | 1,3641 | 10,750 | 83,6 | 2,1 | 14,3 |
| | н.Гексан | 86,1 | 19,3 | 17,2 | 1,3955 | 17,447 | 90,3 | 1,6 | 8,1 |
| | Циклогексан | 81,6 | Следы | 77,6 | 1,4792 | 52,290 | 98,6 | 0,0 | 1,4 |
| Na ₂ O | Изопентан | 92,6 | 37,7(1,7) | — | 1,3665 | 10,110 | 85,0 | 0,4 | 14,6 |
| | н.Гексан | 86,6 | 13,8 | 26,0 | 1,4040 | 21,760 | 92,4 | 0,0 | 7,6 |
| | Циклогексан | 81,8 | Следы | 79,6 | 1,4810 | 50,600 | 95,9 | 0,0 | 4,1 |
| K ₂ O | Изопентан | 91,2 | 39,3(2,5) | — | 1,3668 | 12,840 | 92,2 | 0,8 | 7,0 |
| | н.Гексан | 83,1 | 10,9 | 46,0 | 1,4315 | 37,090 | 93,2 | 2,3 | 4,5 |
| | Циклогексан | 81,4 | Следы | 88,2 | 1,4890 | 55,900 | 99,0 | 0,4 | 0,6 |
| Rb ₂ O | Изопентан | 90,6 | 39,6(1,7) | — | 1,3655 | 10,440 | 92,6 | 0,0 | 7,4 |
| | н.Гексан | 82,8 | 11,6 | 42,0 | 1,4210 | 33,834 | 96,8 | 0,0 | 3,2 |
| | Циклогексан | 80,2 | Следы | 73,6 | 1,4755 | 46,563 | 95,8 | 0,0 | 4,2 |
| Cs ₂ O | Изопентан | 92,2 | 38,2(1,0) | — | 1,3655 | 10,528 | 91,8 | 1,0 | 7,2 |
| | н.Гексан | 84,1 | 13,4 | 39,0 | 1,4190 | 30,900 | 95,2 | 0,9 | 3,9 |
| | Циклогексан | 85,0 | 3,6 | 48,4 | 1,4555 | 30,700 | 97,8 | 0,4 | 1,8 |
| ZnO | Изопентан | 83,8 | 30,9(2,5) | — | 1,3652 | 11,564 | 70,0 | 7,0 | 23,0 |
| | н.Гексан | 70,1 | 16,4 | 31,2 | 1,4102 | 30,803 | 61,7 | 15,8 | 22,5 |
| | Циклогексан | 88,0 | 2,1 | 56,0 | 1,4610 | 36,500 | 99,2 | 0,8 | 0,0 |
| PbO | Изопентан | 86,1 | 31,4(2,0) | — | 1,3630 | 10,080 | 91,8 | 1,3 | 6,9 |
| | н.Гексан | 87,8 | 17,8 | 15,2 | 1,3955 | 19,490 | 91,6 | 2,6 | 5,8 |
| | Циклогексан | 91,1 | Следы | 33,0 | 1,4450 | 21,969 | 92,0 | 3,0 | 5,0 |

* Содержание непредельных углеводородов в катализатах н.гексана и циклогексана дано в расчете на соответствующие моноолефины без учета возможно образовавшихся диенов; в катализате изопентана содержание изопентенов и изопрена (в скобках) приведено раздельно.

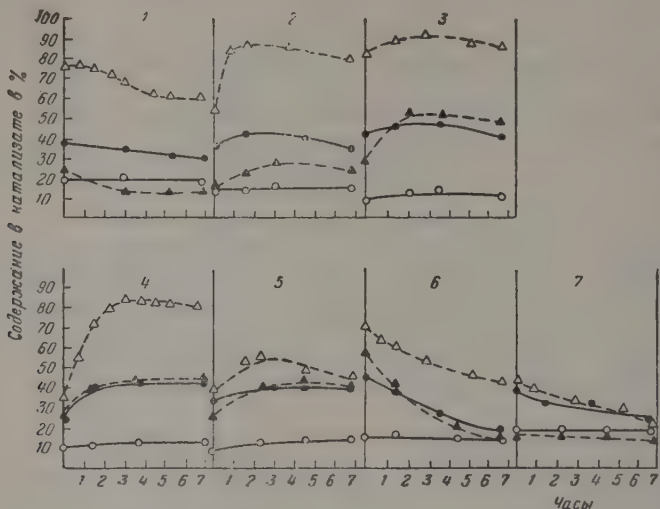
Таблица 2

Выходы продуктов дегидрогенизации и дегидроциклизации на пропущенный и разложенный углеводород в вес. %

| Добавка к алюмо- хромовому катализатору | Удельная поверх- ность в м ² /г | Непредельные углеводороды, считая на моноолефины | | | | Бензол | | | | Отношение выходов не- предельных и ароматических углевод. на 1 г пропущен. гексана |
|--------------------------------------------------|-----------------------------------------------------|-----------------------------------------------------|--------------------------|--------------------------|--------------------------|--------------------------|--------------------------|--------------------------|--------------------------|------------------------------------------------------------------------------------------------------|
| | | из изопентана | | из н.гексана | | из н.гексана | | из циклогексана | | |
| | | на про- пущен- ный | на раз- ложен- ный | на про- пущен- ный | на раз- ложен- ный | на про- пущен- ный | на раз- ложен- ный | на про- пущен- ный | на раз- ложен- ный | |
| Li ₂ O | 158 | 30,9 | 74,5 | 16,6 | 35,0 | 14,8 | 31,3 | 63,3 | 77,5 | 1,12 |
| Na ₂ O | 134 | 36,8 | 83,5 | 12,0 | 25,1 | 22,5 | 47,0 | 65,1 | 78,2 | 0,53 |
| K ₂ O | 144 | 38,6 | 81,4 | 9,1 | 14,2 | 38,2 | 59,5 | 77,8 | 80,7 | 0,24 |
| Rb ₂ O | 147 | 37,7 | 80,0 | 9,6 | 15,6 | 34,8 | 56,5 | 59,0 | 75,0 | 0,28 |
| Cs ₂ O | 154 | 36,3 | 82,4 | 11,3 | 18,8 | 32,8 | 54,7 | 41,1 | 73,1 | 0,35 |
| ZnO | 149 | 28,0 | 63,4 | 11,5 | 18,2 | 21,9 | 34,6 | 49,7 | 80,6 | 0,53 |
| PbO | 133 | 29,1 | 67,7 | 15,6 | 40,4 | 13,3 | 32,4 | 30,0 | 78,0 | 1,17 |

Из представленных данных видно, что добавки оксидов натрия, калия, рубидия и цезия к алюмохромовому катализатору приводят к получению катализаторов с практически одинаковой активностью в реакции дегидрогенизации изопентана; в их присутствии из изопентана полу-

чается 36—39% непредельных углеводородов, считая на пропущенный исходный продукт. При дегидрировании н.гексана на алюмохромовых катализаторах с указанными выше добавками получается 9—12% непредельных углеводородов, считая на пропущенный гексан. Однако в присутствии алюмохромонатриевого катализатора из н.гексана образуется значительно меньше ароматических углеводородов (23% на про-



Фиг. 1. Содержание непредельных (●—●— из изопентана и о-о из н. гексана) и ароматических (▲—▲— из н. гексана и Δ—Δ— из циклогексана) углеводородов в зависимости от продолжительности работы алюмохромовых катализаторов с добавками окисей металлов

1 — Li_2O ; 2 — Na_2O ; 3 — K_2O ; 4 — Rb_2O ; 5 — Cs_2O ; 6 — ZrO ; 7 — PbO

пущенный), чем в присутствии алюмохромовых с добавками окисей калия, рубидия и цезия (35—38%). В реакции дегидрогенизации циклогексана все исследованные катализаторы обладали различной активностью вне связи с их активностью в других реакциях.

Алюмохромолитиевый, алюмохромосвинцовый и алюмохромоцинковый катализаторы обладают более низкой активностью в реакциях дегидрогенизации изопентана и дегидроциклизации н.гексана, чем алюмохромовые катализаторы с добавками окисей калия, рубидия и цезия. Однако выходы непредельных из н.гексана в присутствии катализаторов с добавками окисей лития или свинца выше (16—17%), чем в присутствии других исследуемых катализаторов (9—12%). На алюмохромовом катализаторе без добавок окисей металлов, как показано в нашей предыдущей работе [1], этот выход еще больше, а именно 20% на пропущенный гексан. Удельная поверхность катализаторов колебалась в пределах 134—158 $\text{м}^2/\text{г}$ и, по-видимому, не являлась определяющим фактором активности в исследуемых реакциях.

Из полученного экспериментального материала можно сделать заключение, что катализаторы, обладающие высокой ароматизирующей способностью, активны и в реакции дегидрогенизации изопентана. Однако не все катализаторы, активные в реакции дегидрогенизации изопентана, обладают высокой ароматизирующей способностью. Таким образом, изменение исследованных добавок к алюмохромовому катализатору влияет на глубину протекания реакции дегидрогенизации изопентана, но меньше, чем на глубину реакций дегидроциклизации н.гексана и дегидрогенизации циклогексана. По-видимому, для ароматизации н.гексана нужны какие-то дополнительные изменения природ-

ы катализатора, которые необязательны для дегидрогенизации изопентана.

Как видно из последнего столбца табл. 2, путем введения различных добавок к алюмохромовому катализатору можно существенно изменять соотношения выходов непредельных и ароматических углеводородов из н.гексана от 0,24 до 1,17. Самые высокие отношения были получены на катализаторах с добавками окисей лития и свинца, 1,2 и 1,17 соответственно. Бóльшее значение этих отношений для указанных катализаторов связано с сравнительно невысокой активностью их в реакции ароматизации. Кривые 1,6 и 7 на фиг. 1, полученные при проведении реакций на катализаторах с добавками окисей лития, цинка и свинца, обладающих меньшей ароматизирующей способностью, отличаются от других кривых. Активность этих катализаторов при дегидрогенизации циклогексана, изопентана и дегидроциклизации н.гексана с течением времени заметно падает, тогда как активность других катализаторов или повышается, или проходит через максимум. Заслуживает быть отмеченным тот факт, что кривая дегидрогенизации н.гексана во всех случаях почти параллельна оси абсцисс и изменение скорости этой реакции не находится в связи с изменением скорости ароматизации н.гексана. Такое же заключение было нами сделано при изучении реакции дегидрогенизации изопентана, н.гексана и циклогексана в присутствии алюмохромокалиевых катализаторов различных способов приготовления [1].

ВЫВОДЫ

1. Изучены реакции дегидрогенизации изопентана, н.гексана и циклогексана в присутствии алюмохромового катализатора с добавками окисей лития, натрия, калия, рубидия, цезия, цинка или свинца при 90° и объемной скорости 0,5 час⁻¹.
2. Катализаторы с добавками окисей натрия, калия, рубидия и цезия практически обладают одинаковой активностью в реакциях дегидрогенизации изопентана и н.гексана: выходы непредельных из изопентана 36—39% на пропущенный углеводород, а выходы непредельных из н.гексана 9—12%.
3. Максимальной дегидроциклизирующей активностью обладают катализаторы с добавками окисей калия, рубидия и цезия, при этом выход бензола составляет 35—38% на пропущенный гексан.
4. Из всех исследованных катализаторов алюмохромолитиевый и алюмохромосвинцовый являются лучшими, с точки зрения получения более высоких выходов непредельных (16—17% на пропущенный) и ароматических выходов бензола (13—15%).

Институт органической химии
им. Н. Д. Зелинского
Академии наук СССР

Поступило
3.VII.1958

ЛИТЕРАТУРА

Е. А. Тимофеева, Н. И. Шуйкин, Т. П. Добрынина, Г. С. Петряева и Ю. Н. Плотников, Изв. АН СССР. Отд. хим. н. 1960, 292.

Н. И. ШУЙКИН, М. И. ЧЕРКАШИН и Г. К. ГАЙВОРОНСКАЯ

КАТАЛИТИЧЕСКИЕ ПРЕВРАЩЕНИЯ ИЗОАМИЛЦИКЛОПЕНТАНА ПОД ДАВЛЕНИЕМ ВОДОРОДА

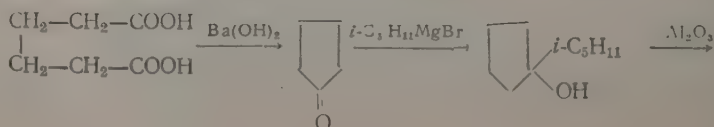
При изучении каталитических превращений алкилциклопентанов (метилциклопентана, этилциклопентана) было установлено, что последнее в условиях повышенных температур (450—510°) и давлений водорода (20—50 атм) на Pt—Al₂O₃ [1], Ni—Al₂O₃ [2, 3], Pb—, Rh—, Ru—Al₂O₃ [4—6] изомеризуются с расширением цикла в соответствующие шестичленные цикланы с последующим дегидрированием их в ароматические углеводороды; при этом повышение температуры благоприятствует образованию ароматических углеводородов. В этих же условиях часть исходных алкилциклопентанов подвергается гидрогенолизу с образованием алканов. Обычно изомеризация пятичленных цикланов протекает легко на бифункциональных катализаторах [7]. Применение для каталитических превращений пятичленных цикланов дегидрирующих катализаторов [8] дает низкие выходы ароматических углеводородов.

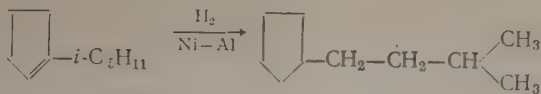
В ранее опубликованной нами работе [9] было найдено, что дициклопентил при 450° и давлении 20 атм в контакте с Pt—Al₂O₃ и Pt—ZrO₂ подвергается изомеризации в конденсированную систему декалина с последующим дегидрированием его в тетралин и нафталин; гидрогенолиза С—С-связей пентаметиленового цикла в этих условиях почти не наблюдается. В связи с изложенными результатами значительный интерес представляло бы исследование превращений пятичленных цикланов, содержащих в своей молекуле более длинные боковые цепи, чем этильная, так как полученные результаты позволили бы сделать некоторые выводы о механизме каталитических превращений более высокомолекулярных углеводородов, являющихся составной частью бензино-лигроновой фракции, применяемой для каталитического реформинга.

Проведенное нами исследование показало, что в противоположность дициклопентилу изоамилциклопентан при 450° и давлении водорода 20 атм в присутствии Pt—Al₂O₃ легко подвергается гидрогенолизу по всем связям пятичленного цикла. Одновременно с реакцией гидрогенолиза происходит также образование ароматических углеводородов. Заслуживает быть особо отмеченным, что платина, отложенная на окиси циркония, в этих условиях почти не проводит гидрогенолиза пентаметиленового цикла.

ЭКСПЕРИМЕНТАЛЬНАЯ ЧАСТЬ

Синтез исходного изоамилциклопентана проводился по следующей схеме:





Полученный изоамилциклопентан подвергался перегонке на колонке эффективно в 70 теоретических тарелок; он обладал следующими свойствами: кип. 171,2° (744 мм); n_D^{20} 1,4337 и d_4^{20} 0,7875; найдено MR 46,34; для $C_{10}H_{20}$ вычислено MR 46,38.

1-Изоамилциклопентен-1 имел т. кип. 168—168,5° (760 мм); n_D^{20} 1,4507 и d_4^{20} 0,8151; найдено MR 45,61; для $C_{10}H_{18}$ вычислено MR 45,71.

Спектр комбинационного рассеяния света изоамилциклопентана:

$\Delta\nu$: 252(2ш), 294(2ш), 406(2), 509(0), 799(1), 823(2), 863(1), 894(8ш), 955(5), 77(1), 1018(1), 1038(2), 1057(1), 1080(3), 1103(5ш), 1138(4ш), 1170(4), 1192(4), 1224(1), 1280(1), 1297(5), 1312(1), 1336(7ш), 1383(1ш), 1433(8), 1445(10), 1459(8), 1845(8), 2860(10), 2905(2), 2956(10), 3040(9р), 3065(1), 3076(1).

Изучение превращений изоамилциклопентана проводилось в присутствии платинированных окиси алюминия и окиси циркония, содержащих 0,5% Pt. при 450° и давлении 20 атм водорода с объемной скоростью 0,5 час⁻¹, при молярном отношении водорода к углеводороду 4:1. Полученные катализаты подвергались разгонке на колонке, а состав их определялся химическими методами и снятием спектров комбинационного рассеяния света.

Превращения изоамилциклопентана в присутствии платинированного линозема. Из 78,5 г пропущенного изоамилциклопентана было получено 55,6 г катализата (83,6%) с n_D^{20} 1,4513 и d_4^{20} 0,7787. Отходящие газы состояли на 83,7% из водорода и 16,3% из предельных углеводородов (9,4% C_2H_6 , 2,8% C_3H_8 , 3,6% C_4H_{10}). Хроматографической адсорбцией на силикагеле из катализата было выделено 31,8 г ароматических углеводородов и 32,6 г смеси цикланов и алканов. В табл. 1 приведены результаты аналитической разгонки на колонке циклано-алкановой части катализата.

Таблица 1

Фракционный состав циклано-алкановой части катализата
изоамилциклопентана

| Фракции | Температура кипения в °C, при 749 мм | n_D^{20} | d_4^{20} | Выход фракции в вес. % | |
|---------|--------------------------------------|---------------|------------|----------------------------|--------------|
| | | | | на циклано-алкановую часть | на катализат |
| I | <28,4 | 1,3500 при 0° | — | 7,4 | 3,6 |
| II | 28,4—31 | 1,3532 | — | 0,9 | 0,5 |
| III | 31—33,6 | 1,3545 | 0,6224 | 3,1 | 1,5 |
| IV | 33,6—59 | 1,3642 | — | 3,1 | 1,5 |
| V | 59—61,2 | 1,3708 | 0,6542 | 3,3 | 1,7 |
| VI | 61,2—70 | 1,3823 | 0,6778 | 1,5 | 0,8 |
| VII | 70—72,8 | 1,4080 | 0,7465 | 4,6 | 2,8 |
| VIII | 72,8—87,6 | 1,3945 | — | 4,6 | 2,8 |
| IX | 87,6—89 | 1,3913 | 0,6967 | 2,8 | 1,4 |
| X | 89—156 | 1,4045 | 0,7225 | 10,7 | 5,3 |
| XI | 156,0 | 1,4123 | 0,7364 | 9,5 | 4,7 |
| XII | 156,0—159 | 1,4130 | — | 5,9 | 2,9 |
| XIII | 159—161,5 | 1,4133 | 0,7389 | 6,1 | 3,1 |
| XIV | 161,5—166 | 1,4161 | 0,7437 | 9,8 | 4,9 |
| XV | 166—168 | 1,4263 | 0,7648 | 5,8 | 2,9 |
| XVI | 168—170 | 1,4322 | 0,7867 | 16,0 | 8,0 |

Фракция I, собранная в ловушке, охлажденной сухим льдом, была проанализирована на хроматермографе; она содержала смесь бутанов и изопентан. Фракция III содержала смесь н.пентана и 2-метилбутана. Фракция V в основ-

ной массе представляла собой 2-метилпентан. Фракция VII с т. кип. 70—72,8° (749 мм); n_D^{20} 1,4080 и d_4^{20} 0,7405 содержала преимущественно метилциклопентан. Фракция IX, кипящая при 87,6—89° (749 мм) и имевшая n_D^{20} 1,3913 и d_4^{20} 0,6967, состояла, по-видимому, главным образом из 2,3-диметилпентана. Фракция XI с т. кип. 156° (749 мм), n_D^{20} 1,4123 и d_4^{20} 0,7364 представляла собой 2,5-диметилпентан. По литературным данным [10], 2,5-диметилпентан кипит при 158° (760 мм) и имеет n_D^{20} 1,414; d_4^{20} 0,736. Фракция XIII с т. кип. 159—161,5° (749 мм); n_D^{20} 1,4133 и d_4^{20} 0,7389 содержала достаточно чистый 2-метил-5-этилпентан. По литературным данным, 2-метил-5-этилпентан кипит при 159,7° (760 мм) и имеет n_D^{20} 1,4134 и d_4^{20} 0,736 [10]. Спектр комбинационного рассеяния света фракций XIV и XV показал, что они представляют собой смесь алканов состава C_{10} (главным образом 2-метилнонан) с непревращенным изоамилциклопентаном. Фракция XVI содержала неизмененный изоамилциклопентан.

Ароматические углеводороды были также разогнаны на колонке на узкие фракции. Полученные данные приведены в табл. 2.

Таблица 2

Фракционный состав ароматической части катализата изоамилциклопентана

| Фракции | Температура кипения в °C при 749 мм | n_D^{20} | d_4^{20} | Выход фракции в вес. % | |
|---------|-------------------------------------|------------|------------|------------------------|--------------|
| | | | | на ароматическую часть | на катализат |
| I | 81 —110,8 | 1,4983 | 0,8725 | 5,6 | 2,7 |
| II | 110,8—147 | 1,4947 | 0,8694 | 8,5 | 4,1 |
| III | 147 —163 | 1,4936 | 0,8656 | 8,8 | 4,3 |
| IV | 163 —171,6 | 1,4912 | 0,8638 | 11,3 | 5,5 |
| V | 171,6—173 | 1,4902 | 0,8634 | 6,9 | 3,4 |
| VI | 173 —181 | 1,4917 | 0,8658 | 8,5 | 4,1 |
| VII | 181 —185 | 1,4960 | 0,8720 | 19,1 | 9,3 |
| VIII | 185 —187 | 1,5081 | 0,8983 | 15,7 | 7,6 |
| Остаток | — | — | — | 13,8 | 6,8 |

Фракция I содержала бензол и толуол. Фракция II представляла собой главным образом толуол (~75%) с примесью ксилолов. Снятием спектра комбинационного рассеяния света соединенной фракции III и IV было установлено, что в ней содержатся изобутилбензол, *p*-метилэтилбензол, изопропилбензол и *n*-пропилбензол. Раман-спектр соединенной фракции V и VI показал, что она состоит из 1-метил-4-*n*-пропилбензола, 1-метил-4-изопропилбензола и изобутилбензола. Фракции VII и VIII представляли собой смесь диметилэтилбензолов, главным составляющим которых является 1,3-диметил-5-этилбензол.

Разгонкой остатка (4,4 г) из колбы Фаворского были выделены следующие фракции:

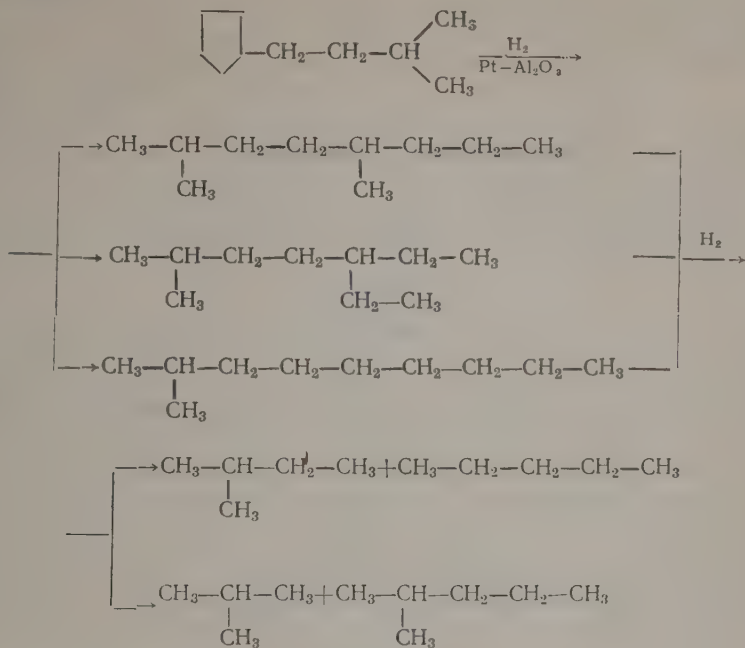
Фракция I. т. кип. 195—200° (750 мм); n_D^{20} 1,5280 (2,8 г). Найдено: С 89,57; 89,78; Н 9,52; 9,55%. $C_{10}H_{14}$. Вычислено: С 89,56; Н 9,44%.

Фракция II: т. кип. 200—202° (750 мм); n_D^{20} 1,5320 (1,2 г). Найдено: С 90,85; 91,0; Н 9,17; 9,18%. $C_{10}H_{12}$. Вычислено: С 90,85; Н 9,15%.

Фракция I содержала, по-видимому, смесь диметилэтил- и тетраметилбензолов [11]. Не исключено, что основную массу фракции II составлял 5-метилиндан [12].

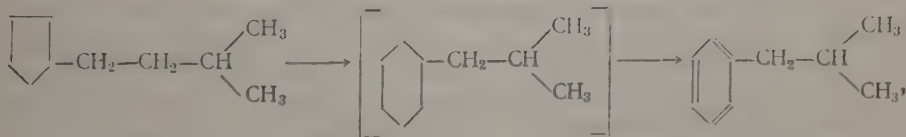
Из приведенных данных видно, что при катализе изоамилциклопентана идет гидрогенолиз по всем связям пентаметиленового цикла с образованием 2,5-диметилпентана, 2-метил-5-этилпентана и 2-метилнонана. Образовавшиеся в результате гидрогенолиза изоалканы претерпевают в дальнейшем гидрокре-

кинг преимущественно в центре молекулы, давая бутаны, н.пентан, изопентан и гексаны:



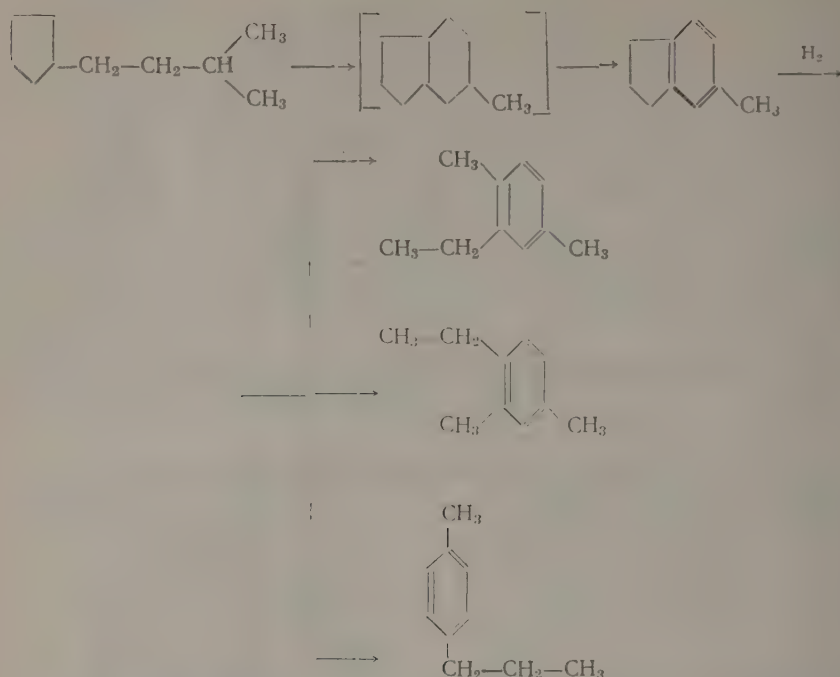
Известно, что место разрыва С—С-связей в алканах определяется в значительной степени природой катализатора и условиями проведения реакции. Так, например, как было показано нами [13], в присутствии скелетного Ni—Al катализатора при 200° реакция гидрокрекинга н.алканов протекает только в направлении отщепления метильных групп на концах цепи. Аналогичные результаты для разветвленных алканов наблюдались ранее Ипатьевым и Гензелем [14] в присутствии никеля на кизельгуре. В отличие от указанных катализаторов Pt и Ni, отложенные на кислых носителях (Al₂O₃ [15], Al₂O₃—SiO₂ [16]), проводят гидрокрекинг алканов преимущественно ближе к середине углеродной цепочки. Одновременно с реакцией гидрогенолиза изоамилциклопентан над Pt—Al₂O₃ при 450° и давлении 20 атм претерпевает превращения в ароматические углеводороды: бензол, толуол (~5%), *p*-метилэтилбензол, н.пропилбензол, изопропилбензол (~9%), 1-метил-4-изопропилбензол, изобутилбензол, 1-метил-4-н.пропилбензол (7,5%) и диметилэтилбензолы (~20%).

Образование при катализе изоамилциклопентана ароматических углеводородов можно представить как путем изомеризации пентаметиленового цикла в гексаметиленовый с последующим дегидрированием в изобутилбензол



так и непосредственным замыканием шестичленного цикла за счет углеродных атомов боковой цепи в 5-метилгидриндан с последующим его

дегидрированием и одновременным гидрогенолизом пентаметиленового цикла по схеме:



Подтверждение вероятности второй схемы вытекает прежде всего из рассмотрения природы выделенных ароматических углеводородов. Ароматическая часть катализатора содержала главным образом диметилэтилбензолы ($\sim 20\%$), а также 1-метил-4-н. пропилбензол и 1-метил-4-изопропилбензол. Образование последних в таком сравнительно большом количестве трудно себе представить протеканием реакции через стадию образования изобутилбензола, так как из литературных [17], а также полученных нами данных [18] видно, что ароматические углеводороды с длинной боковой цепью в присутствии кислых катализаторов претерпевают главным образом гидрогенолиз боковых цепей. Предложенная схема образования ароматических углеводородов подтверждается также природой высококипящей части катализатора, выделенной из остатка при фракционировании.

Катализ изоамилциклопентана и 1-изоамилциклопентена-1 в присутствии платинированной окиси циркония при 450° и 20 атм давления водорода. Для исследования каталитических превращений изоамилциклопентана на платинированной окиси циркония, содержащей 0,5% Pt, было взято 78,5 г углеводорода. В результате реакции было получено 71,4 г катализата с n_D^{20} 1,4395 и d_4^{20} 0,7953. После отделения ароматических углеводородов (1,7 г), которые кипели в интервале $120\text{--}162^\circ$ и имели n_D^{20} 1,4932 и d_4^{20} 0,8674, нефтено-парафиновая часть (68,2 г) разгонялась на эффективной колонке. Было выделено 2,6 г фракции, кипящей в интервале $148\text{--}169^\circ$ (745 мм), с n_D^{20} 1,4287 и d_4^{20} 0,7779, а также 64,1 г (89,8% на катализат) неизменного изоамилциклопентана, который кипел при $169\text{--}170,2^\circ$ (745 мм) и имел n_D^{20} 1,4335 и d_4^{20} 0,7879. Следовательно, в присутствии платинированной окиси циркония пентаметиленовый цикл изоамилциклопентана почти не подвергается гидрогенолизу.

Ранее нами было показано [18], что Pt-ZrO_2 , в отличие от $\text{Pt-Al}_2\text{O}_3$, является мягким дегидрирующим катализатором гексаметиленового цикла. Пользуясь полученными данными исследования превращений изоамилцикло-

пентана в присутствии Pt—ZrO_2 , представлялось интересным изучить также поведение 1-изоамилциклопентена-1 в тех же условиях. В опыт было взято 59,2 г углеводорода и получено 57,2 г катализата с n_D^{20} 1,4348, который после отделения ароматических углеводородов ($\sim 1,5$ об.%) был перегнан на колонке; он состоял нацело из изоамилциклопентана: т. кип. $169,5\text{—}170,4^\circ$ (748 мм); n_D^{20} 1,4337; d_4^{20} 0,7875.

Таким образом, полученные результаты дают основание предполагать, что носитель оказывает существенное, а в данном случае и решающее влияние на свойства катализатора: Pt—ZrO_2 оказалась почти совершенно не активной в отношении как гидрогенолиза, так и изомеризации пентаметиленового цикла, полностью сохранив гидрирующую способность для этиленовой связи.

ВЫВОДЫ

1. Изучены каталитические превращения изоамилциклопентана в контакте с $\text{Pt—Al}_2\text{O}_3$ и Pt—ZrO_2 при 450° и давлении 20 атм водорода.
2. Изоамилциклопентан в присутствии платинированного глинозема претерпевает превращения с образованием не только продуктов гидрогенолиза пентаметиленового цикла (2,5-диметилоктана, 2-метил-5-этилгептана, 2-метилнонана), но и значительного количества ароматических углеводородов. Последние в данном случае образуются не только путем предварительной изомеризации пятичленного цикла в шестиленный и его дегидрированием, но и непосредственным замыканием шестиленного цикла за счет углеродных атомов боковой цепи в систему гидриндана с последующим дегидрированием его шестиленного цикла и одновременным гидрогенолизом пятичленного кольца.
3. Pt—ZrO_2 в изученных условиях практически почти не проводит гидрогенолиза пентаметиленового цикла, а является гидрирующим катализатором двойной связи кольца.

Институт органической химии
им. Н. Д. Зелинского
Академии наук СССР

Поступило
14.VII.1958

ЛИТЕРАТУРА

1. Н. И. Шуйкин, Н. Г. Бердникова и С. С. Новиков, Изв. АН СССР. Отд. хим. н. 1953, 269.
2. С. С. Новиков, С. И. Хромов и В. В. Севостьянова, Докл. АН СССР 97, 463 (1954).
3. С. И. Хромов, С. С. Новиков, Н. А. Раджабли и Н. Д. Зелинский, Докл. АН СССР 85, 1053 (1952).
4. Н. И. Шуйкин, Х. М. Миначев, Е. Д. Тулупова и Ю. П. Егоров, Докл. АН СССР 99, 777 (1954).
5. Н. И. Шуйкин, Х. М. Миначев, Е. Д. Тулупова и Ю. П. Егоров, Докл. АН СССР 95, 1211 (1954).
6. Н. И. Шуйкин, Х. М. Миначев, Л. М. Феофанова, Е. Г. Трешова, Т. П. Юдкина и А. Е. Агрономов, Изв. АН СССР. Отд. хим. н. 1955, 501.
7. H. Heinemann, G. A. Mills, J. V. Hattman, F. W. Kirsch, Industr. and Engng. Chem. 45, 130 (1953).
8. G. A. Mills, H. Heinemann, T. H. Milliken, A. G. Oblad, Industr. and Engng. Chem. 45, 134 (1953).
9. Н. И. Шуйкин, М. И. Черкашин и Г. К. Гайворонская, Изв. АН СССР, Отд. хим. н. 1958, 624.
10. F. D. Rossini и др., Selected values of Physical and Thermodynamic Properties of Hydrocarbons and Related Compounds 37, 55 (1953).
11. Р. Д. Оболенцев, Физические константы углеводородов жидких топлив и масел, Гостоптехиздат, М., 1953.
12. P. A. Plattner, H. Roniger, Helv. chim. acta 25, 1077 (1942).
13. Н. И. Шуйкин и М. И. Черкашин, Изв. АН СССР. Отд. хим. н., 1957, 878.
14. V. Haensel, V. Ipatieff, Industr. and Engng. Chem. 39, 953 (1947).
15. Н. И. Шуйкин, Н. Г. Бердникова и С. С. Новиков, Изв. АН СССР, Отд. хим. н. 1953, 276; Докл. АН СССР 89, 1029 (1953).
16. F. G. Ciapetta, J. V. Hunter, Industr. and Engng. Chem. 45, 159 (1953).
17. B. S. Greensfelder, H. N. Voge, G. M. Good, Industr. and Engng. Chem. 37, 1168 (1945).
18. Н. И. Шуйкин и М. И. Черкашин, Изв. АН СССР. Отд. хим. н. 1958, 383.

Н. И. ШУЙКИН и Е. Д. ТУЛУПОВА

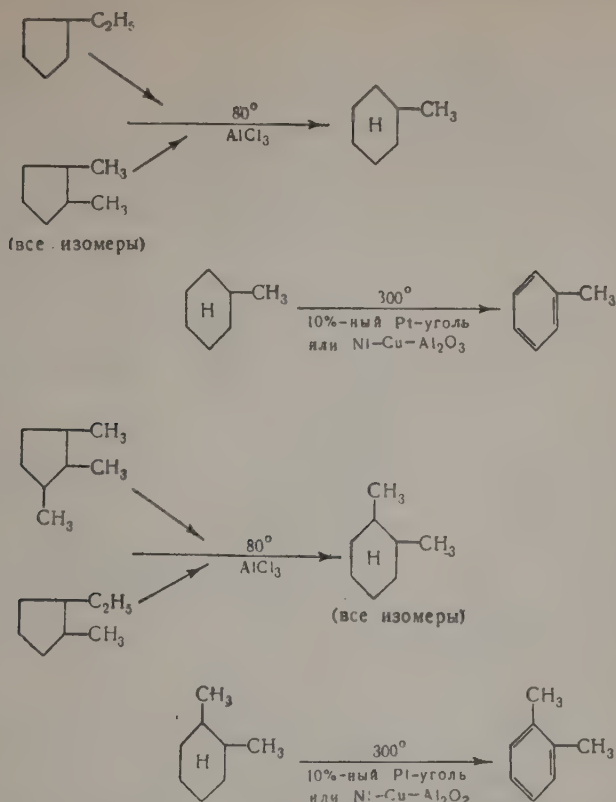
ПОЛУЧЕНИЕ АРОМАТИЧЕСКИХ УГЛЕВОДОРОДОВ ИЗ ТУЙМАЗИНСКОГО БЕНЗИНА МЕТОДОМ ДВУХСТУПЕНЧАТОЙ АРОМАТИЗАЦИИ

Известно, что ароматические углеводороды имеют исключительно большое значение для народного хозяйства. Так они являются ценным сырьевым материалом для ряда отраслей химической промышленности. В связи с этим вопрос о техническом получении ароматических углеводородов, в частности, толуола и ксилолов, из нефтей Волжско-Уральской группы, является весьма актуальным. Сущность методов ароматизации углеводородов заключается в проведении реакции дегидрогенизации шестичленных цикланов [1—4], дегидроциклизации алканов [5—8] и реакции дегидроизомеризации гомологов циклопентана [9—15]. Результаты цитированных исследований и были положены в основу современных способов каталитического реформирования и ароматизации нефтяных погонов.

Целью настоящей работы являлось выяснение возможности получения толуола и ксилолов из низкооктанового туймазинского бензина методом двухступенчатой ароматизации гептаново-метилциклогексановой (т. кип. 91—103°) и октаново-диметилциклогексановой (т. кип. 117—127°) фракций туймазинского бензина. Этот метод позволяет весьма существенно увеличить количество ароматических углеводородов в бензинах не только за счет дегидрогенизации содержащихся в них шестичленных цикланов, но и за счет пятичленных цикланов путем предварительной изомеризации их в шестичленные в присутствии безводного хлористого алюминия и последующей каталитической дегидрогенизации вновь образовавшихся шестичленных цикланов по схеме (см. стр. 491).

Ввиду того, что для получения толуола данным методом отбирается фракция, выкипающая в пределах 91—103° и составляющая 10% от цельного бензина, представляло интерес исследовать также моторные свойства остатка (головная и хвостовая части) бензина, после выделения фракции с т. кип. 91—103°. При этом оказалось, что октановая характеристика соединенного остатка (головной и хвостовой части) практически не снизилась; при определении ее без ТЭС она даже повысилась на 2,5 пункта, по-видимому, за счет изъятия одного из детонирующих центров — *n*-гептана.

Для решения поставленной задачи мы и воспользовались реакцией каталитической дегидрогенизации шестичленных цикланов с предварительной изомеризацией пятичленных цикланов в шестичленные в присутствии хлористого алюминия. При обработке последним бензиновой фракции, одновременно с изомеризацией входящих в нее пятичленных цикланов в шестичленные, происходило и практически полное ее обессеривание. Для дегидрогенизации применялись платинированный уголь, содержащий 10% мелкодисперсной платины, и никель-медь-глиноземный катализатор состава 67,5% Ni + 2,5% Cu + 30% Al₂O₃. Опыты показали, что в результате ароматизации фракции с т. кип. 91—103° туймазин-



ского бензина как на платинированном угле, так и на никель-медь-глиноземном катализаторе содержание толуола в ней можно увеличить с 5 до 25,5%, в зависимости от глубины дегидрогенизации. Кроме того, за счет изомеризации пятичленных цикланов в шестичленные содержание толуола во фракции можно повысить еще на 4,5%, т. е. до 30 об. %.

В результате двухступенчатой ароматизации октаново-диметилциклогексановой фракции (т. кип. 117—127°) туймазинского бензина содержание в ней ароматических углеводородов за счет главным образом диметилциклогексанов, можно повысить с 8 до 33 об.%. При этом за счет изомеризации пятичленных цикланов в шестичленные содержание ксилолов повышается на 17%.

ЭКСПЕРИМЕНТАЛЬНАЯ ЧАСТЬ

Выделение исследуемых фракций из туймазинского бензина производилось на колонке эффективностью в 19 теоретических тарелок. Свойства исходного бензина и выделенных из него фракций приведены в табл. 1.

Изомеризация пятичленных цикланов в шестичленные в присутствии хлористого алюминия. Изомеризация проводилась в трехгорлой колбе, снабженной механической мешалкой, термометром и холодильником. Последний соединялся с ловушкой, охлаждаемой сухим льдом. Температура в опытах изомеризации не превышала 80°. Длительность опыта составляла 8 час. Количество взятого хлористого алюминия составляло 5% от веса исходного бензина. При этом потери бензина в опыте не превышали 3%. По окончании контактирования бензин отделялся от хлористого алюминия, промывался водой, слабым раствором соды, затем опять водой до нейтральной реакции, просушивался хлористым

Таблица 1

Свойства исходного туймазинского бензина и выделенных из него узких фракций

| Пределы выкипания бензина и выделенных из него фракций | n_D^{20} | d_4^{20} | Содержание ароматических углеводородов в об. % | Содержание серы в вес. % | Октановые числа | | Выход в вес. % | |
|------------------------------------------------------------------------------|------------|------------|------------------------------------------------|--------------------------|-------------------------|--------------|------------------|----------|
| | | | | | в чистом виде (без ТЭС) | с 1,5 мл ТЭС | на чистый бензин | на нефть |
| 34—200°, цельный туймазинский бензин | 1,4103 | 0,7305 | 8,0 | 0,08 | 37,5 | 59,6 | — | 25,0 |
| Цельный туймазинский бензин после удаления из него фракции с т. кип. 91—103° | 1,4122 | 0,7332 | 7,5 | 0,08 | 40,0 | 60,0 | — | — |
| Фракция с т. кип. 91—103° | 1,4012 | 0,7165 | 5,0 | 0,014 | — | — | 10,0 | 2,5 |
| Фракция с т. кип. 117—127° | 1,4133 | 0,7350 | 8,0 | 0,015 | — | — | 8,0 | ~20 |

Таблица 2

Результаты двухступенчатой ароматизации узких фракций и цельного туймазинского бензина

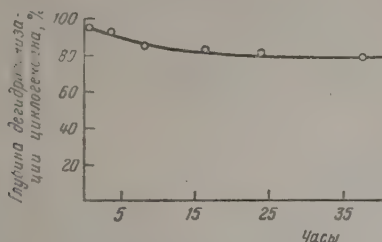
| Катализатор | Продукт, подвергавшийся ароматизации | Свойства катализаторов | | | | | |
|------------------|---------------------------------------------------------------------------|----------------------------------------------------------|------------|-------------------------------------------|---------------------------------------------|------------|-------------------------------------------|
| | | после дегидрогенизации без предварит. обработки $AlCl_3$ | | | после обработки $AlCl_3$ и дегидрогенизации | | |
| | | n_D^{20} | d_4^{20} | содержание ароматич. углеводород. в об. % | n_D^{20} | d_4^{20} | содержание ароматич. углеводород. в об. % |
| Pt-уголь | Фр. с т. кип. 91—103° туймазинского бензина | 1,4498 | 0,7308 | 25,5 | 1,4210 | 0,7381 | 30,0 |
| Ni—Cu— Al_2O_3 | То же | 1,4195 | 0,7305 | 25,0 | 1,4202 | 0,7325 | 27,5 |
| Ni—Cu— Al_2O_3 | Фр. с т. кип. 117—127° туймазинского бензина | 1,4161 | 0,7427 | 16,0 | 1,4325 | 0,7652 | 33,0 |
| Ni—Cu— Al_2O_3 | Цельный туймазинский бензин | 1,4195 | 0,7460 | 22,0 | — | — | — |
| Ni—Cu— Al_2O_3 | То же | — | — | — | 1,4272 | 0,7380 | 29,0 |
| Ni—Cu— Al_2O_3 | Цельный туймазинский бензин после выделения из него фр. с т. кип. 91—103° | — | — | — | 1,4234 | 0,7523 | 22,0 |
| | | | | | | | 48,0 |
| | | | | | | | 67,0 |

в чистом виде с 1,5 мл ТЭС (без ТЭС)

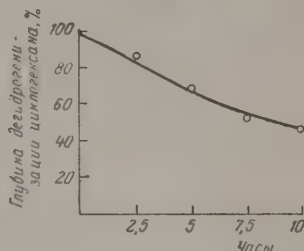
октановые числа

кальцием и перегонялся на колонке эффективностью в 19 теоретических тарелок.

Дегидрогенизация цельного туймазинского бензина и выделенных из него узких фракций. Опыты дегидрогенизации проводились в обычной лабораторной установке проточного типа. В качестве катализаторов использовались платинированный уголь, содержащий 10% мелкодисперсной платины и никель-медь-глиноземный катализатор следующего со-



Фиг. 1. Изменение активности 10%-ного Pt-угля во времени при дегидрогенизации фракции с т. кип. 91—103° туймазинского бензина. Контрольные опыты с циклогексаном



Фиг. 2. Изменение активности никель-медь-глиноземного катализатора при дегидрогенизации фракции с т. кип. 91—103° туймазинского бензина. Контрольные опыты с циклогексаном

става: 67,5% Ni+2,5% Cu+30% Al_2O_3 . Катализаторы после восстановления занимали объем 100 мл. Бензин подавался в трубку, содержащую катализатор, с объемной скоростью 0,5 час⁻¹ порциями по 50 мл. В полученных катализатах определялись показатель преломления, содержание ароматических углеводородов (сернокислотным методом) и удельный вес. Активность катализатора до и после проведения опытов проверялась пропусканием над ним небольшого количества циклогексана (5 мл) и определением глубины дегидрогенизации его в процентах по коэффициенту лучепреломления полученного при этом катализата. Октановые числа бензина определялись на двигателе Вокеш. Результаты двухступенчатой ароматизации гептаново-метилциклогексановой и октаново-диметилциклогексановой фракций, а также цельного туймазинского бензина и остатка после удаления из него фракций с т. кип. 91—103° сведены в табл. 2. Изменение активности катализаторов при проведении опытов дегидрогенизации во времени показано на фиг. 1 и 2.

Нами было выяснено, что обработка хлористым алюминием образца бензина после изъятия из него фракции с т. кип. 91—103° не меняет его октановой характеристики 40. Однако октановое число этого образца с добавкой 1,5 мл ТЭС составляло 63,4 пункта, вместо 60 до обработки его хлористым алюминием.

Из данных табл. 2 следует, что применением метода дегидрогенизационного катализа можно увеличить содержание толуола в катализате фракции с т. кип. 91—103° с 5 до 25,5%, т. е. на 20,5 (об. %) и в катализате фракции с т. кип. 117—127° с 8 до 16%, т. е. вдвое. За счет изомеризации пентаметиленовых углеводородов (после обработки $AlCl_3$) содержание толуола в катализате фракции с т. кип. 91—103° можно повысить еще на 4,5%, т. е. до 30%, а в катализате фракции с т. кип. 117—127° содержание ксиолов повышается до 33%, что составляет почти 17% уже на 17%. Кроме того, опыты показали, что после изъятия из туймазинского бензина гептаново-метилциклогексановой фракции моторные свойства его не ухудшаются (см. октановые числа в табл. 1).

Сравнение результатов работы катализаторов, приведенных на фиг. 1 и 2, показывает, что никель-медь-глиноземный катализатор так

же, как и платиновый, может быть использован для дегидрогенизации гексаметиленовых углеводородов. Однако в сравнении с платиновым катализатором он характеризуется меньшей устойчивостью. При проведении дегидрогенизации активность никель-медь-глиноземного катализатора резко снижается через 10 час. работы, т. е. после проведения над ним 498 мл бензина. В тех же условиях платиновый катализатор проводил ароматизацию бензина в течение 37,5 час. и за этот период работы активность его оставалась почти постоянной. Утомившийся никель-медь-глиноземный катализатор можно было, однако, легко регенерировать окислением воздухом при 300° в течение 4—5 час. и последующим восстановлением водородом при 350°. После регенерации этот катализатор вновь обладал высокой активностью, так как глубина дегидрогенизации циклогексана достигала 95—90%.

ВЫВОДЫ

1. В результате двухступенчатой ароматизации гептаново-метилциклогексановой фракции туймазинского бензина в присутствии 10%-ного платинированного угля содержание толуола в ней можно повысить с 5 до 30 об. %.

2. Никель-медь-глиноземный катализатор (67,5% Ni + 2,5% Cu + 30% Al_2O_3), так же как и платиновый, может быть применен для дегидрогенизации гексаметиленовых углеводородов. По сравнению с платиновым он характеризуется меньшей устойчивостью, но допускает регенерацию его *in situ*.

3. В результате двухступенчатой ароматизации октаново-диметилциклогексановой фракции с т. кип. 117—127° туймазинского бензина в присутствии никель-медь-глиноземного катализатора содержание в ней ароматических углеводородов главным образом ксилолов можно увеличить с 8 до 33 об. %. При этом за счет только предварительной изомеризации пятичленных цикланов в шестичленные в присутствии $AlCl_3$ количество ксилолов в результате последующей дегидрогенизации возрастает на 17%.

4. Удаление фракции с т. кип. 91—103° из цельного туймазинского бензина не снижает октановой характеристики остатка.

Институт органической химии
им. Н. Д. Зелинского
Академии наук СССР

Поступило
18.VII.1958

ЛИТЕРАТУРА

1. Н. Д. Зелинский, Ж. русск. хим. о-ва **43**, 1220 (1911); **44**, 275 (1912); **45**, 52 (1913); Бер. **44**, 3124 (1911).
2. Н. Д. Зелинский и Н. И. Шуйкин, Ж. общ. химии **4**, 901 (1934); Изв. АН СССР. Отд. мат.-еств. н. **1935**, 229; Ж. прикл. химии **9**, 260 (1936).
3. Н. И. Шуйкин, Докторская диссертация, Москва — Казань, 1942.
4. Н. И. Шуйкин, Успехи химии **15**, 343 (1946).
5. Б. Л. Молдавский, Г. Д. Камушер и М. В. Кобыльская, Докл. АН СССР **1**, 343 (1936); Ж. общ. химии **7**, 169, 1835 (1937); Б. Л. Молдавский, Г. Д. Камушер и С. Лившиц, там же **7**, 131 (1937).
6. Б. А. Казанский и А. Ф. Платэ, Ж. общ. химии **6**, 496 (1936); **7**, 328 (1937); **9**, 496 (1939); Бер. **69**, 1862 (1936).
7. В. И. Каржев, М. Г. Северьянова и А. Н. Сиова, Химия твердого топлива **7**, 59 (1937).
8. А. Ф. Платэ, Каталитическая ароматизация парафиновых углеводородов, Изд. АН СССР, М.—Л., 1948.
9. Н. Д. Зелинский и И. Паппе, Ж. русск. хим. о-ва **37**, 626 (1905).
10. С. D. Nenitzescu, J. P. Cantuniar, Ber. **66**, 1097 (1933).
11. М. Б. Турова-Поляк с сотр., Ж. общ. химии **9**, 233, 429, 1279, 2179 (1939); Докл. АН СССР **60**, 5, 807 (1948).
12. A. L. Glasebrook, W. G. Lovell, J. Amer. Chem. Soc. **61**, 1717 (1939).
13. B. S. Greensfelder, D. L. Fuller, J. Amer. Chem. Soc. **67**, 2171 (1945).
14. Н. И. Шуйкин и С. С. Новиков, Изв. АН СССР. Отд. хим. н. **1953**, 278.
15. Н. И. Шуйкин, С. С. Новиков и Е. Д. Тулупова, Изв. АН СССР. Отд. хим. н. **1950**, 278.

Ф. А. УРМАНЧЕЕВ, Р. И. ИЗМАЙЛОВ и Б. ЛЕ

ОПРЕДЕЛЕНИЕ ИНДИВИДУАЛЬНОГО УГЛЕВОДОРОДНОГО СОСТАВА БЕНЗИНОВ НЕФТЕЙ ТАТАРИИ

СООБЩЕНИЕ 3. БЕНЗИНЫ ИЗ НЕФТЕЙ РАЗЛИЧНЫХ ГОРИЗОНТОВ

В предыдущих сообщениях [1] излагались данные по индивидуальному углеводородному составу бензинов нефтей, отобранных из первого горизонта девона D_I , различных нефтяных месторождений Татарии. В настоящей работе было исследовано три бензина из нефтей различных горизонтов девона и карбона: угленосной свиты (C_I^{2h} , скв. 426) Бавлинского месторождения, кыновского слоя (D_0 , скв. 616) и живетского отложения (D_{III} , скв. 641) Ромашкинского месторождения. Исследование проводилось по методу Казанского и Ландсберга [2], который применялся нами и в предыдущих работах [1, 3]. Распределение группового состава с учетом в отдельности парафиновых углеводородов нормального и изостроения, а также циклопентановых ароматических и циклогексановых углеводородов (газообразные углеводороды не учитывались) приведено в табл. 1.

Таблица 1

| Группа углеводородов | Содержание в вес. % на бензин | | |
|------------------------|-------------------------------|-------------|-----------------|
| | карбон C_I^{2h} | девон D_0 | девон D_{III} |
| Парафины нормальные | 29,0 | 27,9 | 27,3 |
| Парафины разветвленные | 35,1 | 30,9 | 23,5 |
| Циклопентаны | 7,9 | 8,8 | 7,2 |
| Циклогексаны | 8,6 | 10,0 | 13,5 |
| Ароматические | 2,2 | 3,7 | 5,9 |

Из табл. 1 видно, что содержание циклогексановых и ароматических углеводородов увеличивается с переходом от вышележащих к нижележащим горизонтам, в то время как такой закономерности в изменении содержания циклопентанов не наблюдается.

Некоторая зависимость от содержания серы распространяется и на распределение парафиновых углеводородов. С увеличением серы в нефти увеличивается общее содержание парафиновых углеводородов в бензинах с одновременным относительным ростом разветвленных парафинов перед нормальными. В статье Андреева и Иванцовой [4] указывается на роль серы в процессах преобразования нефти в природе. Образующийся в процессе действия серы сероводород может гидрировать нафтенy с раскрытием цикла и образованием метановых углеводородов. Далее известно, что гидрирование, например замещенных циклопентановых углеводородов, ведет преимущественно к образованию изопарафинов, а не нормальных парафинов [5]. Относительное увеличение изопарафинов перед нормальными парафинами можно объяснить частично так.

Распределение отдельных углеводородов в этих бензинах дано в табл. 2.

Таблица 2

| Угле водороды | Содержание в вес. % на бензин | | | Углеводороды | Содержание в вес. % на бензин | | |
|-----------------------------------------|----------------------------------|-------------------------|---------------------------|---------------------------------------------|----------------------------------|-------------------------|---------------------------|
| | карбон C ₂₁ | декон Д ₀ | декон Д _{III} | | карбон C ₂₁ | декон Д ₀ | декон Д _{III} |
| Парафиновые углеводороды | | | | н. Пропилциклопентан | 0,15 | 0,13 | 0,17 |
| н.Пентан | 5,20 | 5,96 | 3,04 | Изопропилциклопентан | + | 0,30 | 0,16 |
| 2-Метилбутан | 3,52 | 3,23 | 1,50 | Цис-транс-цис-1,4-Диметил-2-этилциклопентан | 0,14 | 0,13 | 0,16 |
| Неопентан | — | — | — | Итого | 6,82 | 7,65 | 7,72 |
| н.Гексан | 6,12 | 5,74 | 6,40 | Циклогексановые углеводороды | | | |
| 2-Метилпентан | 4,77 | 4,78 | 3,54 | Циклогексан | 0,75 | 0,61 | 1,88 |
| 3-Метилпентан | 3,21 | 2,91 | 1,93 | Метилциклогексан | 2,43 | 2,14 | 4,43 |
| 2,2-Диметилбутан | 0,20 | 0,06 | 0,04 | 1,1-Диметилциклогексан | 0,14 | 0,46 | 0,23 |
| 2,3-Диметилбутан | 0,40 | 0,45 | 0,20 | 1,2-Диметилциклогексан | 0,31 | 0,43 | 0,52 |
| н.Гептан | 7,08 | 5,85 | 8,11 | 1,3-Диметилциклогексан | 0,69 | 0,91 | 1,44 |
| 2-Метилгексан | 2,21 | 1,68 | 1,78 | 1,4-Диметилциклогексан | 0,42 | 0,53 | 0,54 |
| 3-Метилгексан | 4,28 | 3,57 | 2,98 | Этилциклогексан | 0,93 | 0,91 | 1,47 |
| 2,2-Диметилпентан | 0,11 | 0,10 | 0,24 | н.Пропилциклогексан | 0,07 | 0,10 | 0,11 |
| 2,3-Диметилпентан | 0,83 | 1,19 | 0,62 | Изопропилциклогексан | 0,06 | 0,07 | 0,11 |
| 2,4-Диметилпентан | 0,23 | 0,10 | 0,24 | 1-Метил-2-этилциклогексан | 0,09 | 0,12 | 0,24 |
| 3-Этилпентан | 0,50 | 0,36 | 0,51 | 1-Метил-3-этилциклогексан | 0,18 | 0,25 | 0,45 |
| н.Октан | 5,78 | 5,68 | 8,49 | 1-Метил 4-этилциклогексан | 0,09 | 0,12 | 0,21 |
| 2-Метилгептан | 2,79 | 2,68 | 2,82 | 1,1,2-Триметилциклогексан | + | 0,10 | 0,29 |
| 3-Метилгептан | 1,08 | 1,01 | 0,92 | 1,1,3-Триметилциклогексан | 1,03 | 1,51 | 1,05 |
| 4-Метилгептан | 0,94 | 0,56 | 0,58 | 1,1,4-Триметилциклогексан | 0,16 | 0,32 | 0,20 |
| 2,3-Диметилгексан | 0,83 | 0,46 | 0,50 | 1,2,3-Триметилциклогексан | — | — | — |
| 2,4-Диметилгексан | 0,82 | 0,68 | 0,91 | 1,2,4-Триметилциклогексан | 0,06 | 0,08 | 0,15 |
| н.Нонан | 0,93 | 1,02 | 1,25 | 1,3,5-Триметилциклогексан | 0,04 | 0,04 | 0,14 |
| 2-Метилоктан | 0,72 | 0,60 | 0,72 | Итого | 7,45 | 8,70 | 13,46 |
| 3-Метилоктан | 0,96 | 0,60 | 0,72 | Ароматические углеводороды | | | |
| 4-Метилоктан | 0,79 | 0,89 | 1,02 | Бензол | 0,20 | 0,37 | 0,49 |
| 2,3,5-Триметилгексан | 0,09 | 0,13 | 0,48 | Толуол | 0,68 | 1,09 | 1,79 |
| 2,6-Диметилгептан | 0,78 | 0,58 | 0,88 | Этилбензол | 0,31 | 0,63 | 1,26 |
| 4-Этилгептан | + | + | 0,07 | о-Ксилол | 0,13 | 0,18 | 0,36 |
| 2,3-Диметилгептан | 0,31 | 0,23 | 0,14 | m-Ксилол | 0,42 | 0,72 | 1,45 |
| 3-Метил-3-этилгексан | — | — | 0,14 | p-Ксилол | 0,18 | 0,26 | 0,54 |
| Газ (не анализирован) | 13,47 | 13,13 | 0,40* | Итого | 1,92 | 3,25 | 5,89 |
| Итого | 63,95 | 64,23 | 51,17 | Расшифровано | 85,14 | 83,83 | 78,24 |
| Циклопентановые углеводороды | | | | Осталось нерасшифрованным | 6,02 | 5,35 | 4,69 |
| Циклопентан | 0,28 | 0,42 | 0,32 | Осталось в колбах при разгонке | 2,72 | 4,71 | 4,68 |
| Метилциклопентан | 1,53 | 1,18 | 1,58 | Потери | 6,12 | 6,11 | 12,39 |
| цис-1,2-Диметилциклопентан | 0,31 | 0,27 | 0,35 | | | | |
| транс-1,3-Диметилциклопентан | 0,92 | 1,29 | 1,12 | | | | |
| цис-1,3-Диметилциклопентан | 0,42 | 0,39 | 0,31 | | | | |
| транс-1,3-Диметилциклопентан | 0,42 | 0,39 | 0,31 | | | | |
| Этилциклопентан | 0,54 | 0,64 | 0,77 | | | | |
| 1-цис-2-цис-3-цис-Триметилциклопентан | 0,27 | 0,36 | 0,19 | | | | |
| 1-цис-2-транс-3-цис-Триметилциклопентан | 0,52 | 0,45 | 0,42 | | | | |
| 1-цис-2-транс-4-цис-Триметилциклопентан | 0,52 | 0,45 | 0,42 | | | | |
| 1-цис-2-цис-4-транс-Триметилциклопентан | 0,63 | 0,83 | 0,69 | | | | |
| 1-Метил-3н.пропилциклопентан | 0,17 | 0,42 | 0,50 | | | | |

* Проведена предварительно дегуанизация бензина.

При сопоставлении данных табл. 2 видно, что во всех бензинах среди разветвленных парафинов преобладают углеводороды с одним третичным атомом углерода в цепи, при этом наблюдается следующая закономерность: углеводороды с нечетным числом углеродных атомов в прямой цепи имеют CH_3 -группу преимущественно при втором углеродном атоме, а с четным числом атомов углерода — при третьем атоме углерода. Из всех циклопентанов больше всего во всех бензинах содержится метилциклопентан и транс-1,2-диметилциклопентан. Среди циклогексанов наблюдается определенная закономерность в распределении отдельных углеводородов; так, 1,3-диметилциклогексана $>$ 1,4-диметилциклогексана и $>$ 1,2-диметилциклогексана. Аналогична такая закономерность для ксилолов и гем-замещенных циклогексанов (1,1,3-триметилциклогексан, 1,1,4-триметилциклогексан и 1,1,2-триметилциклогексан).

ВЫВОДЫ

1. Исследованы три бензина из нефтей Татарии различных горизонтов девона и карбона с концом кипения 150° .
2. Показана зависимость в распределении группового углеводородного состава от общего содержания серы и нефти.

Химический институт
им. А. Е. Арбузова

Казанского филиала Академии наук СССР

Поступило
12.VII.1958

ЛИТЕРАТУРА

- Ф. А. Урманчеев, Е. А. Робинзон, М. Г. Одинцов, С.-Х. Г. Кашаев и Б. Ле, Изв. АН СССР. Отд. хим. н. 1957, 711; Ф. А. Урманчеев, Е. А. Робинзон, С.-Х. Г. Кашаев и Б. Ле, Изв. АН СССР. Отд. хим. н. 1958, 324.
Г. С. Ландсберг и Б. А. Казанский, Изв. АН СССР. Отд. хим. н. 1951, 100.
Е. А. Робинзон и др., Изв. Казанского фил. АН СССР, серия химическая, № 4, 93 (1957).
П. Ф. Андреев и В. В. Иванцова, Тр. Всесоюз. нефт. н.-и. геологоразвед. ин-та, вып. 105, 66, 1957.
Б. А. Казанский, Успехи химии 17, 641 (1948).

М. Г. ГОНИКБЕРГ и ЛИ ГУАН-НЯНЬ

ГОМОГЕННОЕ ДЕСТРУКТИВНОЕ ГИДРИРОВАНИЕ КРЕЗОЛОВ ПРИ ВЫСОКИХ ДАВЛЕНИЯХ ВОДОРОДА

Фишер и Тропш [1], исследуя бергинизацию трех изомерных крезолов при 460° и начальном давлении водорода 95 атм, наблюдали частичное отщепление метильной группы с образованием фенола. Позднее Гегеман и Нейгауз [2] нашли, что при деструктивной гидрогенизации высококипящих фенолов в присутствии Fe_2O_3 или Al_2O_3 образуются низкокипящие фенолы. В 1933 г. Каулей [3] исследовал гомогенное деструктивное гидрирование *m*-крезола (в отсутствие катализаторов) при 500° и начальном давлении водорода 100 атм в течение 2 час. В этих условиях автор получил 24 вес.% фенола, 21 вес.% ароматических углеводородов и 6 вес.% воды (к исходному крезолу). В работе Калечица и Салингареевой [4] приведены данные о деструктивной гидрогенизации крезолов при 478° и давлении водорода 370 атм в присутствии железного катализатора. Авторами было получено фенола: $\sim 12\%$ из *m*-крезола, $\sim 16\%$ из *o*-крезола и $\sim 18\%$ из *p*-крезола (выходы нейтральных продуктов составляли соответственно 33,7; 37,5 и 43,3%). В процессе выполнения настоящей работы была опубликована статья Иелинека [5]. Проводя опыты в проточной установке при 600° и давлении водорода 70 атм (при молярном соотношении водорода к крезолу 1 : 1), автор получил из *p*-крезола в отсутствие катализатора 17,6 мол.% фенола и в присутствии катализатора (силикагеля) — 28,0 мол.% фенола (к исходному *p*-крезолу).

Настоящая работа, являющаяся продолжением исследований гомогенного деструктивного гидрирования ароматических углеводородов и их производных [6, 7], ставила своей целью изучение превращений *o*-*m*- и *p*-крезолов в отсутствие катализаторов при высоких давлениях водорода.

ЭКСПЕРИМЕНТАЛЬНАЯ ЧАСТЬ

Опыты проводились в реакторе из нержавеющей стали емкостью 120 мл с гидравлическим затвором. В каждом опыте в реактор помещали 40 г исследуемого крезола. Применявшиеся крезолы предварительно перегонялись на ректификационной колонке эффективностью в 25 теоретических тарелок и характеризовались следующими константами: *o*-крезол: $t_{\text{кип.}}^{\circ} 191,3-191,5^{\circ}$ (760 мм); $n_D^{20} 1,5454$; *m*-крезол: $t_{\text{кип.}}^{\circ} 202,6-202,8^{\circ}$ (760 мм); $n_D^{20} 1,5398$; *p*-крезол: $t_{\text{кип.}}^{\circ} 202,2-202,4^{\circ}$ (760 мм), $n_D^{20} 1,5394$. Начальное давление водорода в различных опытах составляло от 100 до 300 атм (рабочее давление соответственно от 260 до 650 атм). Реактор нагревался до заданной температуры в течение 90 мин., после чего температура поддерживалась постоянной в пределах $\pm 2^\circ$ в течение 3 час. По охлаждении реактора давление медленно снижали до атмосферного; жидкие продукты собирали в охлаждаемую ловушку. Затем реактор промывали эфиром; эфирный раствор присоединяли к жидким продуктам и сушили безводным сульфатом натрия. Жидкие продукты реакции разгонялись на ректификационной колонке эффективностью в 25 теоретических тарелок; после отгонки эфира собирались

следующие фракции: фр. I с т. кип. 60,0—95,0°; фр. II с т. кип. 95,0—113,0°; фр. III с т. кип. 113,0—175,0°; фр. IV с т. кип. 175,0—192,0°*; фр. V с т. кип. 192,0—203,0°*.

Фракция I содержала преимущественно бензол; ~85% этой фракции имело т. кип. 75—95° (n_D^{20} 1,4812—1,4872). В результате повторной разгонки фракция I и последующего хроматографического разделения на силикагеле была выделена циклогексано-вая фракция с n_D^{20} 1,4264. Фракция II (n_D^{20} 1,4920—1,4960) содержала толуол. Фракция III (n_D^{20} 1,4941—1,4973) являлась промежуточной. Фракция IV содержала фенол и небольшое количество исходного крезола, фракция V — неизменный крезол с небольшой примесью фенола.

Высококипящие остатки исследовались отдельно. В газообразных продуктах определялось содержание CO и CO₂, а также водорода и углеводородов методом хроматермографического разделения. Наряду с опытами по гомогенному деструктивному гидрированию крезолов, нами было проведено исследование поведения фенола и толуола в тех же условиях. Это исследование ставило своей целью сопоставление скорости отщепления гидроксильной и метильной групп от бензольного ядра при гомогенном деструктивном гидрировании. Применявшиеся вещества характеризовались следующими константами: фенол — т. кип. 181,8—182,0° (760 мм); толуол т. кип. 110,8°; n_D^{20} 1,4968. В каждом опыте в реактор помещали 40 г вещества. Методика проведения опытов была такой же, как и с крезолом.** В качестве бензольной фракции при опытах с фенолом принимали фракцию с т. кип. 60—83°, при опытах с толуолом — фракцию, кипящую до 83° (начало кипения — не ниже 77,5°).

Сопоставление скорости процессов деметилирования толуола и дегидроксилирования фенола. Мы провели опыты с фенолом и толуолом при 490° и начальных давлениях водорода 100, 200 и 300 атм. Из результатов этих опытов (см. табл. 1) следует, что отщепление метильной группы от толуола протекает с приблизительно вдвое большей скоростью, чем дегидроксилирование фенола.

Как видно из данных табл. 1, повышение давления водорода значительно ускоряет оба изученных процесса. Полученные результаты позволяли предположить, что в условиях гомогенного деструктивного гидрирования возможно осуществить деметилирование крезолов с выходами фенола, превышающими выходы толуола и бензола.

Влияние температуры на процесс гомогенного деструктивного гидрирования крезола. В табл. 2 приведены результаты опытов с о-крезолом при 460, 475 и 490° и начальном давлении водорода 300 атм (продолжительность опыта — 3 часа).

Из данных табл. 2 следует, что уже при 460° в указанных условиях выход фенольной фракции (фр. IV) достигает 15,3 вес.% от исходного крезола (~35 вес.% или 40 мол.% на прореагировавший крезол). Повышение температуры до 475 и 490° приводит к увеличению выхода фенола соответственно до 21,6 и 30,0 вес.% на исходный крезол (38 и 33 вес.% или 41 и 47 мол.% на прореагировавший крезол). Суммарный выход бензола (фр. I) и толуола (фр. II) возрастает с 8,5 вес.% от исходного крезола при 460° до 27,2 вес.% при 490° (соответственно 19,3 и 30,0 вес.%

Таблица 1
Гомогенное деструктивное гидрирование
толуола и фенола при различных началь-
ных давлениях водорода и 490°
($\tau=3$ часа)

| Начальное давление водорода в атм | Выход бензольной фракции в вес. % из | |
|--------------------------------------------|-----------------------------------------|--------|
| | толуола | фенола |
| 100 | 19,2 | 8,9 |
| 200 | 33,4 | 16,4 |
| 300 | 46,0 | 24,6 |

* В случае о-крезола: фр. IV с т. кип. 175,1—186,5°; фр. V с т. кип. 186,5—192,0°.

** В опытах с толуолом не было необходимости промывать реактор эфиром.

Таблица 2

Гомогенное деструктивное гидрирование *о*-крезола при начальном давлении водорода 300 атм и различных температурах
($\tau=3$ часа)

| Температура в °С | Выход жидких продуктов (в вес. % к загруженному крезолу) без воды | | | | | | |
|---------------------|-------------------------------------------------------------------|------------------|--------------------|----------------------|-----------------------|---------------------|---------|
| | всего | фр. I, 60—95° | фр. II, 95—113° | фр. III, 113—175° | фр. IV, 175—186,5° | фр. V, 186,5—192 | остаток |
| 460 | 88,4 | 1,2 | 7,3 | 2,4 | 15,3 | 56,0 | 6,2 |
| 475 | 84,7 | 2,9 | 8,8 | 2,2 | 21,6 | 43,2 | 6,0 |
| 490 | 78,0 | 13,5 | 13,7 | 4,1 | 30,0 | 9,4 | 7,3 |

или 23,3 и 38,4 мол. % на прореагировавший крезол). Полученные результаты свидетельствовали о возможности получения значительных выходов фенола при гомогенном деструктивном гидрировании *о*-крезола. В дальнейшем опыты с *о*-, *т*- и *р*-крезолами проводились при 490°.

Влияние давления водорода на процесс гомогенного деструктивного гидрирования крезолов. Результаты опытов по гомогенному деструктивному гидрированию *о*-, *т*-, *р*-крезолов при 490° приведены в табл. 3.

Таблица 3

Гомогенное деструктивное гидрирование крезолов при различных начальных давлениях водорода
(490°, $\tau=3$ часа)

| Начальное давление водорода в атм | Выходы жидких продуктов (в вес. % к загруженному крезолу) без воды | | | | | | |
|--------------------------------------------|--------------------------------------------------------------------|------------------|--------------------|----------------------|----------------------|-----------------------|---------|
| | всего | фр. I, 60—95° | фр. II, 95—113° | фр. III, 113—175° | фр. IV*, 175—192° | фр. V*, 192—202,8° | остаток |
| <i>о</i> -Крезол | | | | | | | |
| 100 | 87,4 | 2,9 | 8,1 | 3,8 | 22,6 | 40,0 | 10,0 |
| 100 | 87,2 | 2,0 | 7,7 | 4,7 | 23,8 | 38,9 | 10,1 |
| 200 | 81,7 | 6,2 | 11,5 | 3,4 | 28,7 | 21,4 | 10,5 |
| 200 | 81,3 | 7,3 | 12,5 | 4,5 | 29,6 | 18,8 | 8,1 |
| 300 | 74,9 | 14,2 | 13,4 | 3,3 | 29,8 | 8,4 | 5,8 |
| 300 | 78,0 | 13,5 | 13,7 | 4,1 | 30,0 | 9,4 | 7,3 |
| <i>т</i> -Крезол | | | | | | | |
| 100 | 88,3 | 0,7 | 6,2 | 2,6 | 9,6 | 59,0 | 10,7 |
| 100 | 88,9 | 0,7 | 5,9 | 1,7 | 9,6 | 61,0 | 10,0 |
| 200 | 86,5 | 2,9 | 7,1 | 2,3 | 13,3 | 50,6 | 10,3 |
| 200 | 84,3 | 2,6 | 7,8 | 1,9 | 12,0 | 51,1 | 8,9 |
| 300 | 76,7 | 7,1 | 10,5 | 2,2 | 17,4 | 27,8 | 11,7 |
| 300 | 76,7 | 7,0 | 11,0 | 2,2 | 17,6 | 27,5 | 11,4 |
| <i>р</i> -Крезол | | | | | | | |
| 100 | 85,5 | 1,5 | 5,8 | 6,0 | 19,8 | 41,9 | 10,5 |
| 100 | 84,4 | 1,4 | 5,9 | 6,2 | 20,0 | 40,9 | 10,0 |
| 200 | 76,5 | 5,8 | 9,0 | 4,9 | 21,5 | 25,0 | 10,0 |
| 200 | 76,4 | 6,1 | 9,8 | 4,7 | 21,0 | 26,2 | 8,9 |
| 300 | 71,6 | 8,2 | 9,5 | 4,4 | 21,3 | 19,0 | 9,2 |
| 300 | 69,8 | 8,9 | 9,6 | 4,2 | 21,0 | 18,5 | 7,6 |

* В опытах с *о*-крезолом фр. IV с т. кип. 175—186,5°; фр. V с т. кип. 186,5—192°.

Рассмотрение данных табл. 3 позволяет сделать следующие выводы.
1) В опытах с *о*-крезолом максимальный выход фенола (~30 вес. % на исходный крезол) достигается уже при начальном давлении водорода, равном 200 атм. Дальнейшее повышение давления приводит лишь к уве-

личению выходов бензола и толуола. 2) Гомогенное деструктивное гидрирование *m*-крезола протекает значительно медленнее, чем *o*-крезола. Выход фенола возрастает приблизительно вдвое при повышении начального давления водорода с 100 до 300 *атм*. В этом же интервале давлений суммарный выход бензола и толуола возрастает более чем вдвое (при расчете в мол. % — почти в 3 раза). 3) При начальном давлении водорода 100 *атм* выход фенола из *p*-крезола несколько меньше, чем из *o*-крезола, но значительно выше, чем из *m*-крезола. При повышении давления до 200 и 300 *атм* выход фенола практически не увеличивается. Одновременно наблюдается увеличение выхода бензола и толуола, которое, однако, происходит значительно медленнее, чем у *o*-крезола. 4) Суммарное превращение *p*-крезола при 300 *атм* (81,3%) близко к превращению *o*-крезола при 200 *атм* (79,9%). Однако суммарный выход жидких продуктов в этих условиях значительно выше в случае *o*-крезола. На этом основании можно заключить, что наблюдающаяся при гомогенном деструктивном гидрировании фенолов побочная реакция расщепления ароматического ядра с образованием окиси углерода и метановых углеводородов протекает с *p*-крезолом более интенсивно, чем с *o*-крезолом. Это предположение было в дальнейшем подтверждено анализом газообразных продуктов реакции.

Исследование высококипящих продуктов реакции. Остатки из опытов с *o*-крезолом после разгонки были объединены и вновь перегнаны на ректификационной колонке. Во фракции с т. кип. 201,5—202,4° (760 *мм*) был идентифицирован *p*-крезол в виде *p*-крезоксикусусной кислоты с т. пл. 135,5—136°. Из фракции с т. кип. 209—215° (760 *мм*) был выделен 1,4,2-ксиленол в виде 1,4,2-ксиленоксикусусной кислоты с т. пл. 117—118°. Во фракции с т. кип. 215—222,2° (760 *мм*) был идентифицирован *p*-этилфенол в виде *p*-этилфеноксикусусной кислоты с т. пл. 95—96°.

Из остатка после этой разгонки был выделен антрацен, т. пл. 211—212°. Найдено %: С 94,42; Н 5,73%. $C_{14}H_{10}$. Вычислено: С 94,38; Н 5,61%.

Смешанная проба с чистым антраценом не дала депрессии температуры плавления.

Остатки из опытов с *m*-крезолом после разгонки были объединены и вновь перегнаны в вакууме из колбы Кляйзена. Во фракции с т. кип. 85—120° (10 *мм*) были идентифицированы 1,3,5-ксиленол в виде 1,3,5-ксиленоксикусусной кислоты, т. пл. 85—86°, а также *p*-крезол в виде *p*-крезоксикусусной кислоты, т. пл. 135,5—136°. Эти две кислоты были разделены по их разной растворимости в гексане. Фракция с т. кип. 153—155° (10 *мм*), по-видимому, содержала 2-метилдифениловый эфир. По литературным данным: т. кип. 274° (735 *мм*). Найдено: С 84,26; Н 6,90%. $C_{13}H_{12}O$. Вычислено: С 84,7; Н 6,52%.

Остатки из опытов с *p*-крезолом после разгонки были объединены и вновь перегнаны в вакууме из колбы Кляйзена. Во фракции с т. кип. 110—130° (20 *мм*) был идентифицирован 1,4,2-ксиленол в виде 1,4,2-ксиленоксикусусной кислоты; т. пл. 117—118°. Смешанная проба с 1,4,2-ксиленоксикусусной кислотой, полученной в опытах с *o*-крезолом, не изменила температуры плавления. Фракция с т. кип. 177—179° (16 *мм*), по-видимому, содержала 4,4'-диметилдифениловый эфир. Найдено: С 85,17; Н 6,77%. $C_{14}H_{14}O$. Вычислено: С 84,85; Н 7,06%.

Состав газообразных продуктов реакции. Данные о составе газообразных продуктов гомогенного деструктивного гидрирования *o*-, *m*- и *p*-крезолов при 490°, начальном давлении водорода 300 *атм* и продолжительности опыта 3 час. приведены в табл. 4.

Данные табл. 4 позволяют заключить, что распад ароматического кольца с образованием окиси углерода и метановых углеводородов идет наиболее интенсивно в случае *p*-крезола. Не исключена возможность, что образующаяся при этом окись углерода претерпевает дальнейшие превращения не только в CO_2 в результате реакции с парами воды, но и,

Таблица 4

Состав газообразных продуктов реакции (в об. %)

| Исходный крезол | H ₂ | CH ₄ | C ₂ H ₆ | C ₃ H ₈ | C ₄ H ₁₀ | CO | CO ₂ | CO+CO ₂ к исходн. крезолу в мол. % |
|-----------------|----------------|-----------------|-------------------------------|-------------------------------|--------------------------------|-----|-----------------|--------------------------------------------------------|
| o-Крезол | 71,6 | 22,4 | 1,35 | 0,7 | 0,25 | 1,3 | 0,4 | 4,2 |
| m-Крезол | 74,1 | 19,4 | 1,35 | 0,75 | 0,35 | 1,5 | 0,2 | 4,2 |
| p-Крезол | 68,8 | 23,5 | 2,0 | 0,8 | 0,5 | 2,0 | 0,4 | 6,0 |

в частности, в углеводороды. Поэтому представлялось интересным оценить интенсивность распада ароматического кольца и по составу углеводородной части газообразных продуктов с учетом метана, образовавшегося за счет деметилирования крезола и толуола. Известная неточность при таком расчете связана с тем, что бензол образуется не только из толуола, но и из фенола. Если принять, что из толуола получается половина всего образовавшегося бензола, то ошибка при расчете количества метана не превысит 1 вес. % к исходному крезолу*.

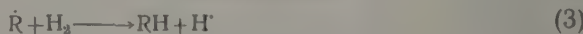
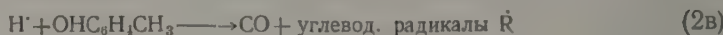
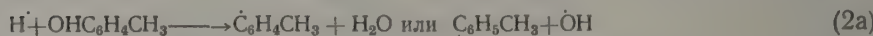
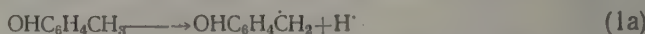
Результаты расчета (в вес. % к исходному крезолу) приведены ниже:

| | o-Крезол | m-Крезол | p-Крезол |
|-----------------------------------------------|----------|----------|----------|
| Всего газообразных продуктов | 11,5 | 10,6 | 13,2 |
| В том числе образовалось при деметилировании: | | | |
| крезола | 5,1 | 2,6 | 3,7 |
| толуола | 1,4 | 0,7 | 0,9 |
| Газообразных продуктов распада | 5,0 | 7,3 | 8,6 |

Таким образом, из приведенного выше приближенного расчета следует, что распад бензольного ядра *p*-крезола в изученных условиях протекает значительно интенсивнее, чем у *o*-крезола.

ОБСУЖДЕНИЕ РЕЗУЛЬТАТОВ ОПЫТОВ

Согласно представлениям, развиваемым в работах нашей лаборатории [6, 7], гомогенное деструктивное гидрирование ароматических углеводородов и их производных протекает по радикально-цепному механизму с участием молекулярного и атомарного водорода. В свете этих представлений полученные в настоящей работе результаты исследования гомогенного деструктивного гидрирования крезолов находятся в согласии со следующей схемой изученного процесса (см. также [8]):



Реакции (1) представляют собой процессы зарождения цепей. Однако не исключена также возможность зарождения реакционных цепей и в ре-

* Метильные радикалы частично расходуются на алкилирование крезола; однако это обстоятельство не может сказаться существенного влияния на результаты расчета.

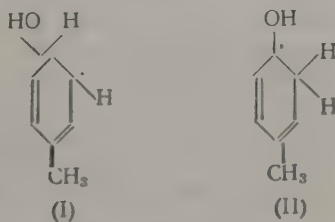
зультате разрыва связей $\text{ОНС}_6\text{H}_4\text{—CH}_3$ [9] (или $\text{CH}_3\text{C}_6\text{H}_4\text{—OH}$), а также диссоциации молекулярного водорода [10]. Затем атомарный водород взаимодействует с молекулами крезолов по реакциям (2а), (2б) и (2в). Образующиеся в реакциях (1) и (2) радикалы (R) реагируют с молекулярным водородом (реакция 3), генерируя атомарный водород. Реакции (4), (5) и (6) представляют собой процессы обрыва цепей, приводящие к образованию этилфенола, изомерных крезолов, диметилдифенилового эфира и других соединений.

Одновременно происходит дальнейшее гомогенное деструктивное гидрирование толуола и фенола с образованием бензола; протекают и реакции алкилирования, приводящие к образованию ксилолов. Газообразные продукты также претерпевают дальнейшие превращения: окись углерода реагирует с водяным паром, образуя двуокись углерода; возможно, что происходит также взаимодействие окиси углерода с водородом с образованием углеводородов (суммарный выход газообразных продуктов расщепления ароматического кольца больше, чем вычисленный по содержанию в них окиси и двуокиси углерода).

Полученные нами данные (табл. 3) свидетельствуют о том, что наиболее интенсивно процесс гомогенного деструктивного гидрирования протекает у *о*-крезола и наименее интенсивно — у *т*-крезола. Джонс и Нейуорс [8] нашли, что энергия активации термического распада *т*-крезола на 6 ккал/М больше, чем *о*-крезола (соответственно 75 и 69 ккал/М). Таким образом, результаты нашего исследования подтверждают положение о связи между гомогенным деструктивным гидрированием и термическим разрывом наименее прочной связи в ароматических углеводородах и их производных.

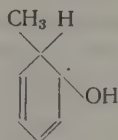
Наряду с деметилированием и дегидроксилированием крезолов, в изученных нами условиях протекает также ускоренное давление водорода [7], расщепление ароматического кольца крезолов и фенола. Результаты нашего исследования показали, что эта реакция протекает наименее интенсивно у *о*-крезола и в $1\frac{1}{2}$ —2 раза быстрее — у *р*-крезола. *т*-Крезол, насколько можно судить по полученным данным, по скорости расщепления ядра несколько уступает *р*-крезолу. Таким образом, наблюдающаяся здесь последовательность отлична от последовательности, в которой изомерные крезолы располагаются по суммарной скорости деметилирования и дегидроксилирования.

Нам представляется вероятным следующее объяснение полученных результатов. Легко убедиться, что связь между атомом углерода, несущим гидроксильную группу, и соседним атомом углерода ослабляется при присоединении атома водорода к одному из этих двух атомов:



Однако присоединение атомарного водорода с образованием радикала (I), по принятой нами ранее схеме [7], приводит преимущественно к дегидроксилированию крезолов с образованием толильного радикала и воды (или толуола и радикала OH). Таким образом можно предположить, что процесс расщепления ароматического кольца с образованием окиси углерода и углеводородов $\text{C}_1\text{—C}_4$ (возможно, также C_3) происходит главным образом в результате присоединения атома водорода в орто-положении к гидроксильной группе. Вероятность такого расщепления

у *о*-крезола приблизительно вдвое меньше, чем у *т*- и *р*-крезолов, так как у радикала



значительно преобладает способность к деметилированию.

Авторы выражают благодарность А. Е. Гавриловой за ценные советы при выполнении настоящей работы.

ВЫВОДЫ

1. Исследовано гомогенное деструктивное гидрирование толуола, фенола, *о*-, *т*- и *р*-крезолов при 490° и начальных давлениях водорода от 100 до 300 атм.

2. Деметилирование толуола в указанных условиях протекает приблизительно вдвое быстрее дегидроксилирования фенола.

3. Из крезолов методом гомогенного деструктивного гидрирования могут быть получены выходы фенола, достигающие 30 вес.% на исходный крезол.

4. По суммарной скорости деметилирования и дегидроксилирования крезолы располагаются в последовательности: *о*-крезол > *р*-крезол > *т*-крезол.

5. Одновременно с деметилированием и дегидроксилированием крезолы подобно фенолу претерпевают расщепление ароматического кольца. Способность к такому расщеплению уменьшается в ряду: *р*-крезол > *т*-крезол > *о*-крезол.

6. Рассмотрен вопрос о механизме расщепления ароматического кольца крезолов и предложена общая радикально-цепная схема их гомогенного деструктивного гидрирования, подтверждаемая также полученными данными о составе продуктов обрыва реакционных цепей.

Институт органической химии
им. Н. Д. Зелинского
Академии наук СССР

Поступило
4.VII.1958

ЛИТЕРАТУРА

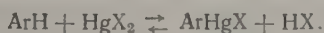
1. F. Fischer, H. Tropsch, Brennstoff-Chem. 7, 2 (1926).
2. A. Hagemann, M. Neuhaus, Braunkohle 30, 945, 976 (1931).
3. C. M. Cawley, Fuel 12, 29 (1933).
4. И. Калечиц, Ф. Салинггареева, Тр. Вост.-Сиб. филиала АН СССР, серия хим., вып. 4, 24 (1956).
5. J. F. Ielinek, Chemicky průmysl 7 (32), 4 (1957).
6. М. Г. Гоникберг, В. Е. Никитенков, Изв. АН СССР. Отд. хим. н. 1954, 936; 1956, 56; Докл. АН СССР 102, 949 (1955).
7. М. Г. Гоникберг и Ли Гуан-нянь, Докл. АН СССР 120, 1259 (1958).
8. B. W. Jones, M. B. Newworth, Industr and Engng. Chem. 44, 2872 (1952).
9. S. Benson, J. Buss, J. Phys. Chem. 61, 104 (1957).
10. R. I. Silsby, E. W. Sawyer, J. appl. Chem. 6, 347 (1956).

С. С. НОВИКОВ, Т. И. ГОДОВИКОВА и В. А. ТАРТАКОВСКИЙ

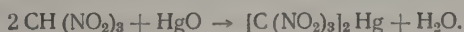
СИНТЕЗ РТУТНООРГАНИЧЕСКИХ НИТРОСОЕДИНЕНИЙ

СООБЩЕНИЕ 1. МЕРКУРИРОВАНИЕ РТУТНОЙ СОЛЮ ТРИНИТРОМЕТАНА АРОМАТИЧЕСКИХ И ГЕТЕРОЦИКЛИЧЕСКИХ СОЕДИНЕНИЙ

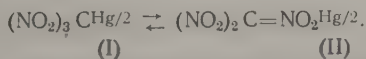
Среди методов получения ароматических ртутноорганических соединений видное место занимает реакция меркурирования. Условия реакции широко варьируются в зависимости от строения ароматического соединения, а в качестве меркурирующих агентов используются как окись ртути, так и ее соли [1]. Однако в литературе не описаны какие-либо попытки применения ртутных солей нитроалканов как меркурирующих средств. Можно было предположить, что ртутные соли аци-формы нитроалканов будут склонны вступать в реакцию меркурирования по общей схеме



Настоящая работа была начата нами с исследования меркурирующей способности ртутной соли тринитрометана как вещества, в котором таутомерный переход в аци-форму происходит особенно легко. Ртутная соль тринитрометана впервые получена Лейем и Кисселем [2] действием тринитрометана в эфирном растворе на свежеприготовленную окись ртути



Имеющиеся о ней в литературе сведения касаются, главным образом ее способности существовать в двух взаимно превращающихся формах [2—4]:



(I)

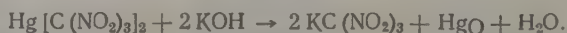
(II)

В кристаллическом состоянии, а также в неполярных растворителях ртутная соль тринитрометана представляет собой металлоорганическое соединение (I). В спирте это металлоорганическое соединение находится в равновесии с изомерной формой (II), являющейся производным аци-формы тринитрометана. В очень разбавленных водных растворах ртутная соль нацело переходит в производное аци-формы.

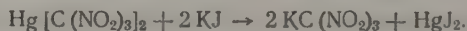
Исследуя возможность применения ртутной соли тринитрометана в реакции меркурирования, мы решили более подробно изучить ее физические и химические свойства. Ртутная соль тринитрометана может быть получена, как это было найдено нами, при взаимодействии тринитрометана с окисью ртути не только в эфире, но в воде и спирте. Свежеприготовленная ртутная соль разлагается, не плавясь, при 200—205°. При хранении как в сухом виде, так и в эфирном растворе, происходит частичное разложение соли. Спиртовые и водные растворы более устойчивы, и в таком виде ртутная соль может храниться несколько месяцев. При нагревании в бутиловом эфире происходит распад ртутной соли тринитрометана, особенно заметно протекающей при температуре выше 100°. В результате распада образуется осадок, нерастворимый в органических растворителях, воде и разбавленных минеральных кислотах; он разла-

гастся со взрывом и выделением металлической ртути при 145—150°. При обработке разбавленным водным раствором едкого кали, аммиака или йодистого калия осадок дает качественные реакции, характерные для закисных солей ртути.

При действии на ртутную соль тринитрометана КОН образуются калиевая соль тринитрометана и окись ртути



Йодистый калий лишь очень медленно (при стоянии в течение двух недель) разлагает ртутную соль тринитрометана по уравнению



В настоящей работе изучалось действие ртутной соли тринитрометана на соединения ароматического и гетероциклического ряда — бензол, толуол, анизол, анилин, диметиланилин, фуран, тиофен, пиррол и N-метилпиррол. Было найдено, что при меркурировании ртутной солью тринитрометана указанных соединений (за исключением пирролов) образуются мономеркурированные производные с выходом 30—70%



Меркурирование бензола и толуола проводят в избытке этих реагентов при 80° в течение 3—5 час.; анизола, анилина и N-диметиланилина — в спирте при комнатной температуре (в случае анизола при 80°); фурана и тиофена — во влажном эфире при комнатной температуре. При меркурировании анизола и толуола выделены *o*- и *p*-изомеры.

Ртутная соль тринитрометана не реагирует с бензолом ни в водном, ни в спиртовых растворах. Этот факт, по-видимому, можно объяснить тем, что в этих растворителях, наряду с образованием аци-формы, ртутная соль находится в равновесии со своей гидро(алко)окисью [5]



Образующийся при этом свободный тринитрометан, являющийся сильной кислотой ($K\ 1,38 \cdot 10^{-2}$) [6], затрудняет проведение реакции меркурирования бензола, которая, как известно [1], требует жестких условий. С другой стороны, появление слабого желтого окрашивания при растворении ртутной соли тринитрометана во влажном бензоле* указывает на возникновение аци-формы ртутной соли, которая и является меркурирующим агентом.

При взаимодействии ртутной соли тринитрометана с анилином, диметиланилином и анизолом в спиртовых растворах наличие свободного тринитрометана не служит препятствием для меркурирования этих соединений, так как амино- и оксипроизводные бензола легко реагируют с солями ртути [1]. Меркурирование фурана и тиофена ртутной солью тринитрометана в водном или спиртовом растворах вызывает значительное осмоление реакционной смеси, и выход конечного продукта не превышает 5—10%; при проведении этой реакции во влажном эфире выход мономеркурированного соединения достигает ~30%.

Обращает на себя внимание тот факт, что при меркурировании анилина ртутной солью тринитрометана ртуть замещает водород аминогруппы

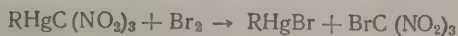


в то время как ацетат ртути меркурирует анилин в ядро [7]. В случае N-диметиланилина продуктом реакции является *p*-тринитрометилмеркур-диметиланилин.

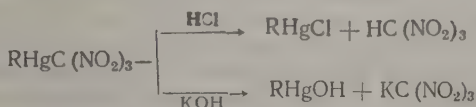
* В реакции применяют влажный бензол.

Выделенные после удаления растворителя продукты меркурирования тщательно отмывают водой от не вошедшей в реакцию ртутной соли тринитрометана и свободного тринитрометана, выделяющегося во время реакции. Интересно отметить, что в избранных нами условиях меркурирования образование полимеркурированных соединений не наблюдалось. Полученные мономеркурированные соединения хорошо растворяются в спирте (кроме производных анилина и диметиланилина), ацетоне, эфире, не растворяются в воде; почти все они плавятся с разложением.

Тринитрометилмеркурилы при действии брома в растворе хлороформа образуют соответствующие меркурбромиды и бромтринитрометан



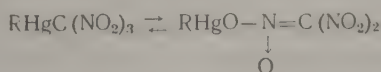
Концентрированная соляная кислота превращает их в меркурхлориды, а щелочи — в соответствующие гидроокиси



Доказательство строения синтезированных ртутноорганических соединений осуществлялось заменой тринитрометильного остатка на галлоид при взаимодействии галлоидного калия с продуктами меркурирования по схеме



Ультрафиолетовые спектры синтезированных нами соединений, снятые в полярных и неполярных растворителях, резко различны и совпадают со спектрами, полученными Ганчем для ртутной соли тринитрометана в соответствующих растворителях [3]. Это обстоятельство позволяет предположить, что продукты меркурирования, так же как и ртутная соль тринитрометана, могут существовать в зависимости от природы растворителя в двух взаимно превращающихся формах

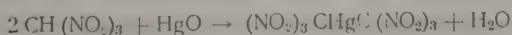


и в кристаллическом состоянии представляют собой истинные металлоорганические соединения $\text{RHgC}(\text{NO}_2)_3$.

Меркурирование ртутной солью тринитрометана пиррола и N-метилпиррола проводят в эфире или спирте при -10° . Продукты реакции, ни в чем не растворимые вещества, при нагревании разлагаются, не плавятся. Как известно, действие сулемы на пиррол и его гомологи приводит к образованию нерастворимых веществ строения $(\text{пиррол})_2 \text{Hg}(\text{HgCl}_2)_4$ [8]. Вероятно, и в нашем случае реакция протекает в таком же направлении.

ЭКСПЕРИМЕНТАЛЬНАЯ ЧАСТЬ

Получение ртутной соли тринитрометана

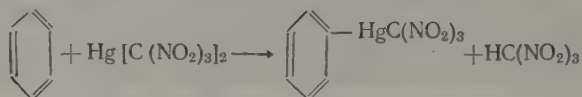


К 16 г (0,07 M) свежеприготовленной окиси ртути в 50 мл эфира* прибавляют при комнатной температуре небольшими порциями эфирный раствор (1 : 1 по объему), 20 г (0,13 M) тринитрометана, что сопровождается повышением температуры до 30° . Реакционную смесь перемешивают в течение 15 мин. и отфильтровывают эфирный раствор от не вошедшей в реакцию окиси ртути. Эфир испаряют, и ртутная соль тринитрометана выделяется в виде густого светло-желтого масла, которое за-

* Ртутная соль тринитрометана может быть получена с количественным выходом в водном или спиртовых растворах.

кристаллизуется в течение 5—6 час. Кристаллы отделяют от масла на пористом фильтре, температура разложения 200—205°; выход 26,5 г (80% от теорет.). Ртутная соль тринитрометана хорошо растворяется в воде, спирте, хлороформе, ацетоне, бензоле, эфире, этилацетате, уксусной кислоте, не растворяется в петролейном эфире, гексане, изооктане.

Взаимодействие ртутной соли тринитрометана с бензолом



5 г ртутной соли тринитрометана растворяют в 20 мл бензола и 3 мл эфира *. Раствор отфильтровывают от незначительного количества (50—100 мг) неорганических примесей (продуктов разложения ртутной соли) и нагревают в течение 5 час. на водяной бане (температура бани 85—90°). После окончания нагревания горячий раствор фильтруют; из фильтрата при охлаждении выделяются бесцветные кристаллы тринитрометилфенилртути, их отфильтровывают и промывают несколько раз водой. Из маточника при отгонке бензола при 250 мм до остатка 5—10 мл удается выделить еще 0,5 г тринитрометилфенилртути. Общий выход 2,5 г, т. е. 58,5% от теорет. После перекристаллизации из CCl_4 получено 2 г тринитрометилфенилртути с т. пл. 146°. Найдено: С 19,96; 19,90; Н 1,33; 1,30; N 9,71; 9,71%. $\text{C}_7\text{H}_5\text{N}_3\text{O}_6\text{Hg}$. Вычислено: С 19,70; Н 1,18; N 9,85%.

Для доказательства строения полученной нами тринитрометилфенилртути были проведены следующие реакции.

Взаимодействие тринитрометилфенилртути с йодистым калием



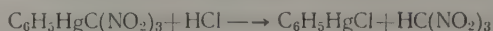
К раствору 1 г $\text{C}_6\text{H}_5\text{HgC}(\text{NO}_2)_3$ в 5 мл ацетона прибавляют горячий раствор 0,4 г KJ в 5 мл ацетона; сразу же выпадают серебристые кристаллы йодистой фенилртути, которые отфильтровывают и перекристаллизовывают из бензола: т. пл. 265°. Литературные данные [9]: т. пл. 266°.

Взаимодействие тринитрометилфенилртути с бромом



К раствору 3 г $\text{C}_6\text{H}_5\text{HgC}(\text{NO}_2)_3$ в 15 мл хлороформа медленно прибавляют при комнатной температуре раствор брома в хлороформе до появления не исчезающей окраски брома. По мере прибавления брома выпадает осадок бромистой фенилртути; его отфильтровывают и перекристаллизовывают из смеси спирта и бензола (1:1): т. пл. 275°. Литературные данные [10]: т. пл. 275°. Из хлороформенного раствора удалось выделить бромтринитрометан с т. кип. 69° (20 мм); n_D^{20} 1,4899. Литературные данные [11]: т. кип. 68° (20 мм); n_D^{20} 1,4900.

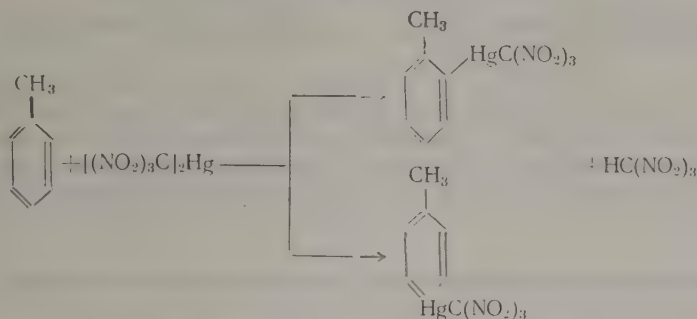
Взаимодействие тринитрометилфенилртути с концентрированной соляной кислотой



1 г $\text{C}_6\text{H}_5\text{HgC}(\text{NO}_2)_3$ нагревают в течение 5 мин. с 10 мл концентрированной HCl. При этом происходит образование хлористой фенилртути, которую отфильтровывают, промывают водой и перекристаллизовывают из спирта; т. пл. 252°. Литературные данные [12]: т. пл. 252°.

* Эфир берут для лучшей растворимости ртутной соли тринитрометана.

Взаимодействие ртутной соли тринитрометана с толуолом



Меркурирование толуола ведут в тех же условиях, что и меркурирование бензола. Реакционную смесь нагревают в течение 3 час., затем фильтруют и избыток толуола отгоняют при 10 мм до остатка ~5 мл. Выделившиеся кристаллы *p*-тринитрометилтолилртути отделяют, промывают водой, сушат на воздухе и перекристаллизуют из четыреххлористого углерода; т. пл. 149°. Найдено: С 21,45; 21,77; Н 1,70; 1,73; N 9,49; 9,59%. $\text{C}_8\text{H}_7\text{O}_6\text{N}_3\text{Hg}$. Вычислено: С 21,75; Н 1,59; N 9,51%.

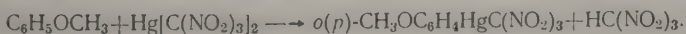
Из толуольного раствора после прибавления воды выделяют бесцветные кристаллы *o*-тринитрометилтолилртути с т. пл. 126°. Общий выход 51,5% от теорет. Найдено: С 21,98; 21,94; Н 1,79; 1,76; N 9,65; 9,79%. $\text{C}_8\text{H}_7\text{O}_6\text{N}_3\text{Hg}$. Вычислено: С 21,75; Н 1,59; N 9,51%.

Взаимодействие *o*- и *p*-тринитрометилтолилртути с хлористым калием



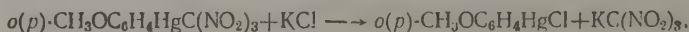
При обработке спиртового раствора $p\text{-CH}_3\text{C}_6\text{H}_4\text{HgC}(\text{NO}_2)_3$ эквимолекулярным количеством KCl выпадают кристаллы хлористой *p*-толилртути. Температура плавления после перекристаллизации из спирта 238°. Литературные данные [13]: т. пл. 238—239°. При взаимодействии спиртового раствора $o\text{-CH}_3\text{C}_6\text{H}_4\text{HgC}(\text{NO}_2)_3$ с KCl осадка не образуется, так как соответствующий хлорид хорошо растворим в спирте. После удаления растворителя выделяют хлористую *o*-толилртуть, которую перекристаллизуют из 50%-ного спирта; т. пл. 145—146°. Литературные данные [14]: т. пл. 145—146°.

Взаимодействие ртутной соли тринитрометана с анизолом



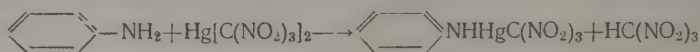
5 г ртутной соли тринитрометана в 7 мл спирта нагревают до кипения с 2 мл анизол на водяной бане в течение 30 мин. После удаления спирта остается светло-желтое масло, которое полностью закристаллизовывается через 2—3 часа. Кристаллы промывают водой и сушат на воздухе. В результате реакции образуется смесь *o*- и *p*-тринитрометиланизилртути; изомеры разделяются перекристаллизацией из 50%-ного спирта, в котором *p*-изомер легко растворим. Температура плавления *o*-тринитрометиланизилртути после перекристаллизации из CCl_4 114° (с разложением); *p*-тринитрометиланизилртуть имела температуру плавления после перекристаллизации из CCl_4 101° (с разложением). Общий выход 41% от теорет. Найдено: С 20,68; 20,69; Н 1,36; 1,46; N 8,72; 8,83%. $\text{C}_8\text{H}_7\text{O}_7\text{N}_3\text{Hg}$. Вычислено: С 20,99; Н 1,69; N 9,18%.

Взаимодействие *о*- и *р*-тринитрометиланизилртути с хлористым калием



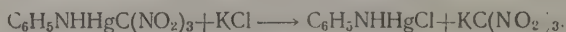
Реакцию *о*- и *р*- $\text{CH}_3\text{OC}_6\text{H}_4\text{HgC}(\text{NO}_2)_3$ с KCl проводят в таких же условиях как и с соответствующими производными толуола. В случае *р*-производного полученный хлорид имеет т. пл. 239° (из спирта); *о*-хлорид $174\text{--}175^\circ$ (из 50% спирта). Литературные данные для хлористой *р*-анизилртути [15]: т. пл. 239° ; хлористой *о*-анизилртути [16] т. пл. $174\text{--}175^\circ$.

Взаимодействие ртутной соли тринитрометана с анилином



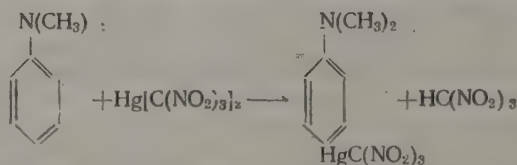
К раствору 2,5 г анилина (0,027 М) в 10 мл спирта прибавляют раствор 5 г (0,01 М) ртутной соли тринитрометана в 15 мл спирта. Сразу же выпадает желтый осадок, который отфильтровывают и промывают водой, спиртом и эфиром (спиртом — для удаления тринитрометильной соли анилина)*. Продукт реакции при нагревании разлагается, не плавясь, при 117° ; выход 2,6 г (59% от теорет.). Найдено: С 18,96; 19,00; Н 1,67; 1,76%. $\text{C}_7\text{H}_6\text{O}_6\text{N}_4\text{Hg}$. Вычислено: С 18,98; Н 1,36%.

Взаимодействие N-тринитрометилмеркуранилина с хлористым калием



0,3 г $\text{C}_6\text{H}_5\text{NHNHgC}(\text{NO}_2)_3$ в 25 мл спирта нагревают до кипения и прибавляют спиртовый раствор 0,06 г KCl. Нагревание продолжают еще 30 мин., при этом образуется белый порошкообразный осадок. Полученный продукт идентичен по свойствам с N-хлормеркуранилином, описанным в литературе [17].

Взаимодействие ртутной соли тринитрометана с N-диметиланилином



К раствору 5 г ртутной соли тринитрометана в 15 мл спирта прибавляют спиртовый раствор (1:1) 4,8 г диметиланилина. Сразу же выпадает желтый осадок, который отфильтровывают и тщательно промывают спиртом для удаления тринитрометильной соли диметиланилина. Продукт реакции *р*-тринитрометилмеркурдиметиланилин не растворяется в воде, спирте, эфире; хорошо растворяется в ацетоне. Вещество очищают высаживанием водой из ацетонового раствора; разлагается, не плавясь, при 110° . Продукт меркурирования неустойчив при хранении.

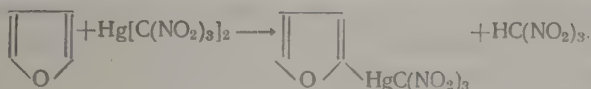
* Тринитрометильная соль анилина (в литературе не описана) легко получается при взаимодействии эквимолекулярных количеств тринитрометана и анилина в эфире. Соль представляет собой желтое кристаллическое вещество, нерастворимое в эфире, в холодной воде, хорошо растворимое в спирте; при 130° бурно разлагается.

Взаимодействие *p*-тринитрометилмеркурдиметиланилина с хлористым калием



При обработке 0,4 г *p*-тринитрометилмеркурдиметиланилина в 10 мл ацетона водным раствором хлористого калия (0,07 г) выпадают белые кристаллы *p*-хлормеркурдиметиланилина, которые перекристаллизовывают из хлороформа; т. пл. 223—225° (с разложением). Литературные данные [15]: т. пл. 225° (с разложением).

Взаимодействие ртутной соли тринитрометана с фураном



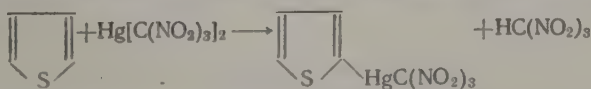
К эфирному раствору 5 г ртутной соли тринитрометана прибавляют 3,7 г (шестикратный избыток) свежеперегнанного фурана. Через полчаса реакционную смесь, окрашенную в красноватый цвет, выливают в 30 мл воды. После испарения эфира и избытка фурана тринитрометилфурилртуть выделяется в виде густого масла, которое быстро закристаллизовывается. Кристаллы промывают водой, сушат на воздухе и перекристаллизовывают из CCl_4 ; т. разл. 120°; выход 25% от теорет. Найдено: С 14,79; 14,71; Н 0,85; 1,00; N 9,98; 10,03%. $\text{C}_5\text{H}_3\text{O}_7\text{N}_3\text{Hg}$. Вычислено: С 14,38; Н 0,76; N 10,01%.

Взаимодействие тринитрометилфурилртути с хлористым калием



К $\text{C}_4\text{H}_3\text{ONHgC}(\text{NO}_2)_3$ в спирте прибавляют горячий спиртовый раствор эквимолекулярного количества KCl. Сразу же выпадает кристаллический осадок хлористой α -фурилртути, который после перекристаллизации из спирта имел т. пл. 151°. Литературные данные [18]: т. пл. 151°.

Взаимодействие ртутной соли тринитрометана с тиафеном



Меркурирование тиафена ртутной солью тринитрометана проводят так же, как и меркурирование фурана. Тринитрометилтиафилртуть после перекристаллизации из CCl_4 имела т. разл. 115°; выход 28% от теорет. Найдено: N 9,75; 9,87%. $\text{C}_5\text{H}_3\text{O}_6\text{N}_3\text{HgS}$. Вычислено: N 9,68%.

Взаимодействие ртутной соли тринитрометана с пирролом и N-метилпирролом

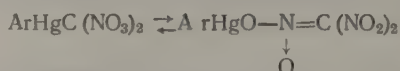
Взаимодействие эквимолекулярных количеств ртутной соли тринитрометана и пиррола (или N-метилпиррола) в спирте при -10° приводит к образованию желтого осадка, который необходимо быстро отделить от реакционной смеси, содержащей тринитрометан, так как при действии кислот продукт реакции осмоляется. Полученное вещество разлагается при 122° (для N-метилпиррола — 117°), не растворяется в воде и в органических растворителях. Оба соединения дают реакцию Эрлиха.

ВЫВОДЫ

1. Ртутная соль тринитрометана является новым меркурирующим агентом соединений ароматического и гетероциклического рядов.

2. Ароматические и гетероциклические соединения меркурируются ртутной солью тринитрометана сравнительно легче, чем проходит меркурирование этих соединений другими солями ртути.

3. Тринитрометилмеркурарилы могут существовать в двух таутомерных формах



и в кристаллическом состоянии представляют собой истинные металлоорганические соединения.

Институт органической химии
им. Н. Д. Зелинского
Академии наук СССР

Поступило
9.VII.1958

ЛИТЕРАТУРА

1. Л. Г. Макарова и А. Н. Несмеянов, Синтетические методы в области металлоорганических соединений ртути, Изд. АН СССР, М., 1945, стр. 27, 34.
2. H. Ley, H. Kissel, Ber. **32**, 1365 (1899).
3. A. Hantzsch, K. Voigt, Ber. **45**, 109 (1912).
4. H. Ley, Ber. **38**, 973 (1905).
5. С. С. Новиков, Т. И. Годовикова и В. А. Тартаковский, Докл. АН СССР **124**, 834 (1959).
6. A. Hantzsch, A. Rinckenberger, Ber. **32**, 628 (1899).
7. A. Dimroth, Ber. **35**, 2035 (1902).
8. Г. Фишер, Г. Орг., Химия пиррола, т. I, 93 (1937).
9. E. Dreher, R. Otto, Ann. **154**, 109 (1870).
10. R. Otto, J. prakt. Chem. (2), **1**, 186 (1870).
11. A. Macbeth, D. Pratt, J. Chem. Soc. **1921**, 119, 354.
12. R. Otto, J. prakt. Chem. (2), **29**, 137 (1884).
13. А. Н. Несмеянов, Ber. **62**, 1014 (1929).
14. A. Michaelis, U. Genzken, Liebigs Ann. Chem. **242**, 180 (1887).
15. A. Michaelis, J. Rabinerson. Ber. **23**, 2344 (1890).
16. A. Michaelis, W. Geisler, Ber. **27**, 257 (1894).
17. P. Neogi, M. P. Chattergi, J. Indian Chem. Soc. **5**, 228 (1928).
18. H. Gilman, G. F. Wright, J. Amer. Chem. Soc. **55**, 3302 (1933).

Я. Т. ЭЙДУС, К. В. ПУЗИЦКИЙ и Б. А. КАЗАНСКИЙ

КАТАЛИТИЧЕСКАЯ ПОЛИМЕРИЗАЦИЯ ОЛЕФИНОВ

СООБЩЕНИЕ 6. ВЛИЯНИЕ ДОБАВОК НЕКОТОРЫХ ОКИСЛОВ МЕТАЛЛОВ НА АКТИВНОСТЬ КАТАЛИЗАТОРА $\text{NiO} - \text{Al}_2\text{O}_3$ — СИЛИКАГЕЛЬ В РЕАКЦИИ ПОЛИМЕРИЗАЦИИ ЭТИЛЕНА

В предыдущем сообщении [1] было показано, что добавка окиси алюминия оказывает активирующее действие на катализатор $\text{NiO} - \text{силикагель}$ (КСК) в реакции полимеризации этилена при 300° и атмосферном давлении. В настоящей работе приведены данные, полученные при изучении влияния добавок некоторых окислов металлов на активность катализатора $\text{NiO} - \text{Al}_2\text{O}_3$ — силикагель (КСК) в той же реакции. Исследовалось влияние добавок окислов Cu , Ag , Mg , Zn , Ca , Ba , Th и Mn , которые вводились путем обработки силикагеля водным раствором соответствующей азотнокислой соли при его кипячении. В остальном ход приготовления пропиточного катализатора из формата никеля оставался прежним [1]. Таким образом, силикагель подвергался троекратной обработке растворами азотнокислых солей, причем после каждой обработки удалялись нитрат-ионы и производилась сушка силикагеля при 120° . Как правило, обработка силикагеля производилась в указанной ниже последовательности: сначала раствором соли добавляемого металла, затем — соли алюминия и лишь после этого — соли никеля.

Опыты полимеризации этилена, продолжительностью 5 час. каждый, проводились при температуре 300° и длительности контактирования 5—6 сек. Длина слоя контактов составляла 5—7 см. Аппаратура и порядок проведения опытов оставались прежними [2].

Полученные экспериментальные данные приведены в табл. 1 и 2. Для сравнения в табл. 3 приведены данные опытов с соответствующими катализаторами, не содержащими помимо Al_2O_3 никаких добавок окислов металлов.

ЭКСПЕРИМЕНТАЛЬНАЯ ЧАСТЬ

Окись меди. Исследовались контакты 188 и 199 (табл. 1), причем при получении первого обработка силикагеля раствором азотнокислого алюминия предшествовала обработке раствором азотнокислой меди. Контакт 188 соответствует не содержащий меди контакт 184 (табл. 3), а контакту 199 — контакт 169 (табл. 3). Полученные результаты показывают, что добавка окиси меди к контакту $\text{NiO} - \text{Al}_2\text{O}_3$ — силикагель, почти не снижая общей активности контакта, значительно повышает селективность его действия, что выражается в повышении выхода димера от прореагировавшего этилена с 60—70 до 70—80%. Однако регенерируемость катализатора несколько снижается.

Окись серебра. Сопоставление работы контактов 182 (табл. 1) и 174 (табл. 3) показывает, что добавка окиси серебра вызывает снижение активности и стойкости контакта, лишает его способности регенерироваться путем обработки струей воздуха при нагревании, но повышает селективность контакта.

Таблица 1

| Номер опыта | Концентрация раствора нитрата дисбавляемого металла | Номер опыта | Количество прореагировавшего этилена в % | Выход бутилена | | | Выход высших углеводородов в % | |
|-------------|-----------------------------------------------------|-------------|------------------------------------------|-----------------------------|----------------------------------|--------------------------|--------------------------------|------------------------------|
| | | | | от пропущенного этилена в % | от прореагировавшего этилена в % | в 2/4 катализатора в час | от пропущенного этилена | от прореагировавшего этилена |
| 188* | Насыщенный раствор $\text{Cu}(\text{NO}_3)_2$ | 1—3 | 41,4—22,3 | 29,5—15,3 | 71,2—68,4 | 260—120 | 5,3—2,6 | 13,0—11,6 |
| 188 | " " | 4**—5 | 20,8—7,3 | 16,1—3,6 | 66,6—50,0 | 120—40 | 1,9—0,7 | 9,3—9,3 |
| 199 | " " | 1—3 | 35,3—15,2 | 28,4—9,7 | 80,5—63,6 | 227—75 | 4,4—4,8 | 13,8—11,8 |
| 199 | " " | 4** | 13,8 | 11,9 | 81,5 | 90 | 0,7 | 5,2 |
| 182* | 0,1 %-ный раствор AgNO_3 | 1—2 | 33,7—11,2 | 26,0—9,0 | 77,0—80,0 | 212—76 | 4,8—1,3 | 14,2—11,2 |
| 182 | " " | 3 | 0,0 | 0,0 | 0,0 | 0 | 0,0 | 0,0 |
| 221 | 0,1 %-ный раствор $\text{Mg}(\text{NO}_3)_2$ | 1—2 | 31,8—19,3 | 23,6—11,6 | 74,2—60,6 | 230—100 | 4,3—2,0 | 13,4—10,0 |
| 221 | " " | 3** | 43,3 | 6,0 | 45,0 | 45 | 1,5 | 11,1 |
| 222 | " " | 1—2 | 45,0—23,5 | 34,0—16,4 | 75,5—70,0 | 257—125 | 4,4—2,5 | 9,8—11,6 |
| 222 | " " | 3 | 2,7 | 0,0 | 0,0 | 0 | 0,0 | 0,0 |
| 222 | " " | 4** | 9,9 | 0,0 | 0,0 | 0 | 0 | 0 |
| 194 | 0,1 %-ный раствор $\text{Zn}(\text{NO}_3)_2$ | 1—2 | 37,2—10,7 | 28,4—8,0 | 76,2—80,0 | 280—95 | 3,6—1,7 | 9,7—16,7 |
| 198 | " " | 1—2 | 31,9—9,0 | 26,2—7,6 | 84,7—82,5 | 220—66 | 3,3—1,3 | 10,7—13,9 |
| 198 | " " | 3** | 19,2 | 18,5 | 78,2 | 121 | 3,1 | 16,2 |

* Обработка силикагеля раствором азотнокислотного алюминия была первой.

** Контакт перед этим опытом регенерировался в токе воздуха при 450° в течение 5 час.

Таблица 2

| Номер контакта | Концентрация раствора нитрата добавляемого металла в % | Номер опыта | Количество прореагировавшего этилена в % | Выход бутылена | | | Выход высших углеводородов % | |
|----------------|--------------------------------------------------------|-------------|------------------------------------------|-----------------------------|----------------------------------|------------------------------------|------------------------------|------------------------------|
| | | | | от пропущенного этилена в % | от прореагировавшего этилена в % | в $\frac{1}{4}$ катализатора в час | от пропущенного этилена | от прореагировавшего этилена |
| 218 | 0,1%-ный $\text{Ca}(\text{NO}_3)_2$ | 1-2 | 31,2-18,1 | 22,1-12,5 | 70,7-69,3 | 209-104 | 3,8-2,0 | 12,3-11,1 |
| 219 | " | 1-2 | 30,1-16,4 | 21,2-11,4 | 70,3-69,2 | 190-90 | 3,8-1,4 | 12,3-8,7 |
| 219 | " | 3* | 9,3 | 5,5 | 60,0 | 50 | 1,2 | 13,3 |
| 220 | " | 1-2 | 35,0-10,0 | 24,0-7,7 | 68,0-77,0 | 182-63 | 5,1-1,7 | 14,6-16,7 |
| 220 | " | 3* | 11,5 | 6,7 | 59,0 | 53 | 1,4 | 12,4 |
| 197 | 0,1%-ный $\text{Ba}(\text{NO}_3)_2$ | 1-2 | 24,9-5,3 | 19,4-5,3 | 78,1-80,0 | 160-50 | 3,3-1,2 | 12,2-20,0 |
| 197 | " | 3* | 7,6 | 6,5 | 78,5 | 47 | 1,4 | 18,6 |
| 185** | 0,1%-ный $\text{Th}(\text{NO}_3)_4$ | 1 | 12,5 | 8,6 | 69,1 | 76 | 2,2 | 15,2 |
| 186 | " | 1-2 | 37,7-22,0 | 30,0-13,7 | 79,5-62,2 | 238-109 | 4,9-2,8 | 13,0-12,7 |
| 186 | " | 3* | 19,5 | 14,3 | 73,5 | 121 | 2,6 | 13,5 |
| 187*** | " | 1-2 | 35,0-21,5 | 24,4-17,2 | 66,6-54,5 | 188-152 | 3,6-1,9 | 10,6-8,8 |
| 189*** | 0,05%-ный $\text{Th}(\text{NO}_3)_4$ | 1-2 | 35,7-15,0 | 23,4-12,0 | 64,4-80,0 | 180-100 | 5,4-2,0 | 23,3-13,5 |
| 204 | 0,2%-ный $\text{Mn}(\text{NO}_3)_2$ | 1-4 | 31,6-17,9 | 29,9-14,6 | 79,0-81,5 | 217-118 | 3,8-2,1 | 12,2-11,5 |
| 204 | " | 5* | 16,2 | 14,0 | 86,0 | 119 | 2,1 | 13,0 |
| 204 | " | 6* | 9,9 | 7,2 | 73,0 | 62 | 1,3 | 13,0 |
| 205 | " | 1-3 | 40,0-21,0 | 25,2-15,3 | 63,0-73,0 | 207-118 | 4,4-2,9 | 11,0-13,7 |

* Контакт перед этим опытом регенерировался в токе воздуха при 450° в течение 5 час.*** В контакте Al_2O_3 заменена на ThO_2 .

**** Обработка силикагеля раствором азотнокислого алюминия была первой.

***** Обработка силикагеля солью алюминия и тория происходила одновременно их совместным раствором.

Таблица 3

| Номер | | Количество прореагировавшего этилена в % | Выход бутилена | | | Выход высших углеводов | |
|-----------|-------|------------------------------------------|-----------------------------|----------------------------------|---------------------------|-----------------------------|----------------------------------|
| кон-такта | опыта | | от пропущенного этилена в % | от прореагировавшего этилена в % | в г/л катализатора в час. | от пропущенного этилена в % | от прореагировавшего этилена в % |
| 184 | 1—2 | 50,3—24,7 | 30,7—17,6 | 61,1—71,4 | 220—150 | 6,6—4,0 | 13,2—15,8 |
| 184 | 3—4 | 19,2—19,0 | 14,9—11,8 | 77,4—62,0 | 110—90 | 3,5—2,4 | 17,4—15,5 |
| 184 | 5* | 24,8 | 15,6 | 62,8 | 110 | 4,0 | 16,0 |
| 169 | 1—2 | 47,0—22,3 | 27,5—14,4 | 58,5—65,0 | 207—113 | 5,4—3,5 | 12,5—15,8 |
| 174 | 1—2 | 53,8—26,0 | 30,3—21,2 | 57,0—81,8 | 240—170 | 8,7—3,6 | 16,2—13,8 |
| 174 | 3*—4 | 26,7—8,4 | 24,0—6,6 | 90,0—79,0 | 177—51 | 3,0—2,1 | 11,2—25,5 |
| 195 | 1—2 | 53,0—33,5 | 33,3—22,7 | 63,0—67,7 | 280—200 | 10,2—5,3 | 19,7—16,0 |
| 195 | 3—4 | 28,3—20,3 | 17,6—11,2 | 62,2—55,1 | 140—80 | 4,5—2,3 | 16,2—11,6 |

* Контакт перед этим опытом регенерировался в токе воздуха при 450° в течении 5 час.

Оксид магния. Изучение данных о работе контактов 221 и 222 одного приготовления (табл. 1) в сопоставлении с показателями работы контакта 195 (табл. 3) выявило, что добавка окиси магния приводит к резкому снижению каталитической стойкости контакта $\text{NiO—Al}_2\text{O}_3$ — силикагель, утере им способности регенерации под воздействием тока воздуха при нагревании. Избирательность действия контакта несколько повышается до регенерации и резко падает после первой обработки его воздухом при 450°.

Оксид цинка. Сравнение данных о работе контактов 194 и 198 (табл. 1), не отличавшихся друг от друга по методу их приготовления, с одной стороны, и результат работы контакта 184 (табл. 3), с другой, показало, что добавка к носителю окиси цинка вызывает сильное повышение селективности контакта $\text{NiO—Al}_2\text{O}_3$ — силикагель, почти не отражаясь на степени активности последнего. Так, если с контактом 184, не содержащим окиси цинка, получалось 30,7—17,6% димера от пропущенного и 61,1—71,4% от прореагировавшего этилена, то на контакте 194, содержащем окись цинка, выход димера был равен соответственно 28,4—8,0 и 76,2—80,0%. Такой же контакт 198 характеризовался выходом димера 84,7—82,5% от прореагировавшего этилена, причем он в значительной степени регенерировался с сохранением избирательности действия. Интересно отметить, что замена в контакте $\text{NiO—Al}_2\text{O}_3$ — силикагель окиси алюминия на окись цинка приводит к полной потере активности в отношении реакции полимеризации.

Оксид кальция. Из характеристики работы контактов 218, 219 и 220 одного и того же приготовления (табл. 2), сопоставленной с данными о работе контакта 195 (табл. 3), следует, что добавка к носителю окиси кальция вызывает значительное падение активности и каталитической стойкости контакта. Последний теряет способность регенерироваться в струе воздуха при нагревании. Добавка окиси кальция также несколько повышает селективность в отношении димеризации, однако эта селективность исчезает после обработки контакта воздухом при 450°.

Оксид бария. Из сравнения работы контактов 197 (табл. 2) и 184 (табл. 3) видно, что добавка окиси бария резко снижает активность и каталитическую стойкость контакта $\text{NiO—Al}_2\text{O}_3$ — силикагель и лишает его способности регенерироваться воздухом при нагревании. Вместе с тем добавка окиси бария значительно повышает селективность действия в отношении димеризации этилена.

Двуокись тория. Из сопоставления контактов 185, 186, 187 и 189 (табл. 2), с одной стороны, и контакта 184 (табл. 3), с другой, следует, что двуокись тория не может заменять окись алюминия в контакте $\text{NiO—Al}_2\text{O}_3$ — силикагель. Добавка окиси тория к контакту $\text{NiO—Al}_2\text{O}_3$ — силикагель

оказывает слабое дезактивирующее действие, которое зависит от порядка внесения в катализатор окислов тория и алюминия.

Закись марганца. Изучение работы контактов 204 и 205 одного приготовления (табл. 2) и контакта 184 (табл. 3) показало, что добавка закиси марганца значительно повышает стойкость и селективность контакта $\text{NiO}-\text{Al}_2\text{O}_3$ — силикагель, почти без уменьшения его активности, но совершенно лишает его способности регенерироваться при нагревании в струе воздуха.

Из результатов, полученных в предыдущей работе [1] при исследовании активирующего действия Al_2O_3 на катализатор NiO — силикагель (КСК) и разных окислов на катализатор $\text{NiO}-\text{Al}_2\text{O}_3$ — силикагель в настоящей работе, выявляется некоторое сходство в поведении силикагеля, окиси алюминия (алюмогеля) и системы из силикагеля и окиси алюминия в качестве катализаторов разных реакций, с одной стороны, и как носителей NiO -катализаторов полимеризации этилена, с другой. Известно, что системы из силикагеля и алюмогеля (алюмосилакты) каталитически активны в реакциях крекинга [3—5], полимеризации [6—7], алкилирования [8, 9], изомеризации [10] и др., в то время как силикагель и окись алюминия (алюмогель), взятые в отдельности, мало или вовсе неактивны. Показано во многих случаях, что активность первой обязана не изменению удельной поверхности или пористости контакта [4, 11, 12], а появлению новой фазы — гидроалюмосиликата, близкого к монтмориллониту, которая получается из составных частей в свежеприготовленном состоянии. Наибольшая активность соответствует образованию $\text{Al}_2\text{O}_3 \cdot 4\text{SiO}_2$ [13].

По-видимому, алюмосиликатный носитель NiO — катализатора полимеризации может быть только условно рассматриваем как носитель, так как его природа весьма существенным образом влияет на активность контакта. В соответствии с этим гидроалюмосиликат следует рассматривать как активную часть контакта наряду с никелем. Действительно, алюмосиликат является активным катализатором полимеризации бутенов и пропилена [6, 7, 14]. Однако этилен в его присутствии не полимеризуется, и лишь введение окиси никеля придает этому контакту активность и в отношении полимеризации этилена, но в малой степени, т. е. больше всего в отношении димеризации. Как известно, процесс, возбужденный алюмосиликатами, является одним из проявлений кислотного катализа [6], поскольку эти вещества, согласно Вернадскому [15], являются сильными кислотами, в отличие от гидроксидов алюминия $\text{Al}(\text{OH})_3$ и кремневой кислоты $\text{Si}(\text{OH})_4$, являющихся слабыми кислотами. Алюминий и кремний могут взаимно заменяться в комплексах $(\text{AlO}_4)^{5-}$ и $(\text{SiO}_4)^{4-}$, имеющих вид кислородных тетраэдров с Al или Si в середине. Ион алюминия очень часто обладает координационным числом четыре, вследствие чего на каждый ион алюминия, связанный с четырьмя атомами кислорода, с которыми в свою очередь связаны по одному атому кремния, требуется ион водорода или эквивалентного ему металла, чтобы привести систему в насыщенное состояние [16, 17]. С этим хорошо согласуется наблюдаемая рядом исследователей дезактивация алюмосиликатных катализаторов при обезвоживании [18, 19], а также при добавке щелочи [6, 20]. Дезактивация катионами щелочных и щелочноземельных металлов сводится к замещению ионов водорода катионами указанных металлов. Аналогичное действие оказывают и органические основания: пиридин, хинолин и др. С другой стороны, в соответствии с этим можно активировать алюмосиликаты обработкой кислотами.

Изучение влияния добавок окислов разных металлов на активность катализатора полимеризации этилена показало, что некоторые добавки (например окислы Ag, Ca, Ba) резко снижают активность, а другие (окислы Cu, Zn, Mn, Mg, Th) почти не оказывают на нее влияния.

В этом отношении наши данные хорошо совпадают с результатами опытов Битепаж [20], в которых сравнивалась каталитическая активность алюмосиликатов, пропитанных растворами солей, в реакции крекинга. В этих опытах активность катализатора в зависимости от применявшихся для пропитки солей уменьшалась в следующем порядке: соли Th, Al, Mg, Zn, Ba.

ВЫВОДЫ

1. Исследовалось влияние добавки окислов меди, серебра, цинка, магния, кальция, бария, тория и марганца на контакт $\text{NiO}-\text{Al}_2\text{O}_3$ — силикагель (КСК).

2. Добавка окислов серебра, кальция и бария резко снижает активность контакта, а добавка окислов меди, цинка, марганца и магния почти не влияет на активность. Двоокись тория снижает активность в слабой степени.

3. Добавка окислов меди, серебра, цинка, бария и марганца в значительной степени повышает избирательность действия катализатора в отношении реакции димеризации этилена. В меньшей степени такое же действие оказывают добавки окислов кальция и магния.

4. Каталитическая стабильность контакта резко снижается при добавке окислов магния и бария и заметно снижается при добавке окислов серебра и кальция. Стабильность повышается при добавке окиси марганца.

5. Регенерируемость контакта снижается при добавке окислов меди и цинка и полностью исчезает при наличии в катализаторе окислов серебра, магния, кальция и бария. После обработки воздухом при 450° селективность теряется у катализаторов с добавкой окислов серебра, магния и кальция и сохраняется у катализатора с добавкой окиси марганца.

Институт органической химии
им. Н. Д. Зелинского
Академия наук СССР

Получено
21.VII.1958

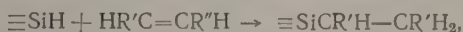
ЛИТЕРАТУРА

1. Я. Т. Эйдуc, К. В. Пузицкий и Б. А. Казанский, Изв. АН СССР, Отд. хим. н. 1960, 115.
2. Я. Т. Эйдуc, К. В. Пузицкий, Н. И. Ершов и Б. А. Казанский, Изв. АН СССР, Отд. хим. н. 1960, 111.
3. В. М. Грязнов, В. В. Коробов и А. В. Фрост, Докл. АН СССР 48, 360 (1945).
4. К. В. Топчиева и Г. М. Панченков, Вестн. МГУ, № 2, 39 (1946); Докл. АН СССР 35, 509 (1947).
5. А. В. Агафонов, Алюмосиликатные катализаторы, Гостоптехиздат, 1951.
6. Б. А. Казанский и М. И. Розенгарт, Ж. общ. химии 13, 304 (1943).
7. F. N. Gayler, Industr. and Engng. Chem. 25, 1122 (1933).
8. К. П. Лавровский и А. А. Михновская, Изв. АН СССР, Отд. техн. н., № 11, 1589 (1946).
9. Ю. Г. Мамедалиев, Реакция алкилирования в производстве авиационных топлив, Азнефтьиздат, 1945.
10. А. В. Фрост, Ж. физ. химии 14, 1313 (1940); Е. К. Серебрякова, Д. М. Рудковский и А. В. Фрост, Докл. АН СССР 13, 359 (1936).
11. М. А. Романчук, В. И. Саввушкина и А. В. Фрост, Вестн. МГУ, № 12, 121 (1947).
12. К. В. Топчиева и Г. М. Панченков, Вестн. МГУ, № 11, 133 (1948).
13. К. В. Топчиева, Г. М. Панченков и Н. Г. Зырин, Вестн. МГУ, № 6, 91 (1948); Докл. АН СССР 76, 1109 (1950).
14. Я. Т. Эйдуc и И. В. Гусева, Изв. АН СССР, Отд. хим. н. 1959, 2195.
15. В. И. Вернадский, Очерки геохимии, Гостоптехиздат, 1934; В. И. Вернадский и С. И. Курбатов, Земные силикаты, алюмосиликаты и их аналоги, ОНТИ, 1937.
16. Л. Паулинг, Природа химической связи, Госхимиздат, 1947.
17. Ch. L. Thomas, Industr. and Engng. Chem. 41, 2564 (1949).
18. A. Grenall, Industr. and Engng. Chem. 41, 1485 (1949).
19. R. S. Hansford, Industr. and Engng. Chem. 39, 849 (1947).
20. Ю. А. Битепаж, Ж. общ. химии 17, 199 (1947).

А. Д. ПЕТРОВ и В. М. ВДОВИН

О КАТАЛИТИЧЕСКОМ ДИСПРОПОРЦИОНИРОВАНИИ АЛКИЛ(АЛКЕНИЛ)ДИХЛОРСИЛАНОВ

Алкил(алкенил)дихлорсиланы широко используются в реакциях присоединения к разнообразным непредельным соединениям [1—5]

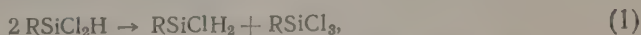


а также в реакциях обмена водорода у кремния на радикал [6—8]



(где RX — например CH_4 ; C_2H_6 ; $\text{CH}_2=\text{CHCl}$; C_6H_6 ; $\text{CH}_3\text{C}_6\text{H}_5$ и др.). Естественно, что представляется интересным изучение возможностей использования в указанных и иных реакциях алкил(алкенил)хлорсиланов, т. е. соединений типа RSiClH_2 . Между тем синтез этих последних, и, в частности, реакцией диспропорционирования, легко доступных RSiCl_2H еще очень мало исследован. В недавней работе Долгова, Воронкова и Борисова [9] впервые была установлена возможность получения соединений типа RSiClH_2 , где $\text{R}=\text{CH}_3$ и C_2H_5 , диспропорционированием соответствующих алкилдихлорсиланов при помощи AlCl_3 . Имеются также патентные указания [10—11] на возможность подобного диспропорционирования при помощи некоторых азотсодержащих соединений, в частности, динитрилов дикарбоновых кислот.

Настоящее исследование посвящено изучению реакции диспропорционирования алкил(и алкенил)дихлорсиланов с целью получения алкил(и алкенил)монохлорсиланов. После не давшего положительных результатов опробования ряда возможных катализаторов (в том числе динитрила фталевой кислоты, хинолина и триэтиламина) мы сосредоточили свое внимание на исследовании катализаторов: динитрила адипиновой кислоты и пиридина (последний в литературе как возможный катализатор реакции диспропорционирования еще не указывался). Превращение неизменно проходило по схеме (1)



где $\text{R}=\text{C}_2\text{H}_5$; $n\text{-C}_3\text{H}_7$; $i\text{-C}_3\text{H}_7$; $\text{CH}_2\text{CH}=\text{CH}_2$; $i\text{-C}_4\text{H}_9$ и $\text{CH}_2\text{C}(\text{CH}_3)=\text{CH}_2$,

а продуктов дальнейшего диспропорционирования, образующихся по возможной схеме (II)

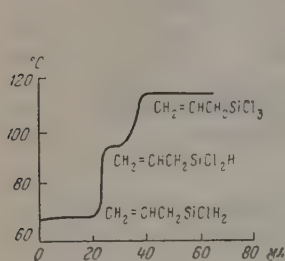


обнаружено не было.

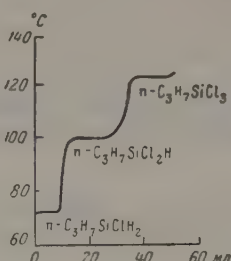
Результаты опытов по выходам соединений типа RSiClH_2 при различных катализаторах и различном количестве RSiCl_2H , взятом в реакцию, представлены в табл. 1 и на фиг. 1—6. Свойства впервые синтезированных алкил(алкенил)хлорсиланов представлены в табл. 2. Пиридин оказался сходным с адиподинитрилом по каталитическому действию в

отношении аллилдихлорсилана, а в отношении этилдихлорсилана был даже более эффективен (опыты 5, 10, 11 табл. 1).

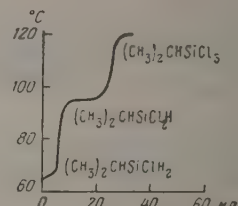
Нами было установлено, что для форсирования реакции необходимы значительные количества катализатора. Так, в опытах 1—4 (табл. 1) показано, что оптимальным количеством адиподинитрила при диспропорционировании аллилдихлорсилана следует считать 60—70 мол. % катализатора (выход RSiClH_2 и RSiCl_3 70—80% *), тогда как в случае



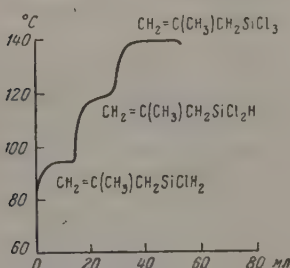
Фиг. 1



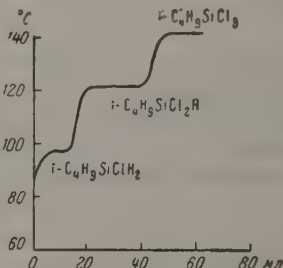
Фиг. 2



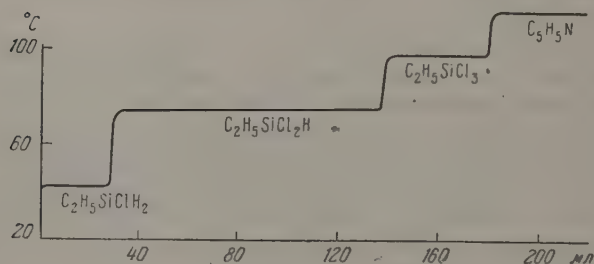
Фиг. 3



Фиг. 4.



Фиг. 5



Фиг. 6

~2 мол. % этого катализатора выход составил только 10—12%. Для 15 и 30 мол. % адиподинитрила количество превращенного вещества занимало среднее положение.

В опытах с $\text{CH}_2=\text{CHCH}_2\text{SiCl}_2\text{H}$ выходы аллилтрихлорсилана несколько ниже, чем выходы аллилхлорсилана; во всех других случаях наблюдается обратное явление (см. табл. 1). Выходы RSiClH_2 и RSiCl_3 в расчете на использованные RSiCl_2H составляли 70—99%. Исключение составляют опыты 1, 11, в которых низкий выход продуктов конверсии, очевидно, объясняется малыми количествами полученных продуктов и

* Считая на взятый для реакции RSiCl_2H .

Таблица 1

| Номер опыта | Исходное вещество | Вес реагента в г/м | Катализатор | Вес катализатора в г/м | Время реакции в часах | Температура в парах конденсации в °С | Вес конденсата в г | Количество не вступившего в реакцию RSiCl_2H в г/м | Выход RSiCl_2H_2 | | | Выход RSiCl_3 | |
|-------------|----------------------------------------------------------------------------------|--------------------|-------------|------------------------|-----------------------|--------------------------------------|--------------------------------------|--------------------------------------------------------------------|----------------------------------|----------------------------------------|------------------------------------------------|------------------------|------------------------------------------------|
| | | | | | | | | | в г/м | в % на взятый RSiCl_2H | в % на использованный RSiCl_2H | в г/м | в % на использованный RSiCl_2H |
| 1 | Алилдихлорсилан $\text{CH}_2=\text{CHCH}_2\text{SiCl}_2\text{H}$ | 78,0 0,55 | Адионитрил | 1,0 0,01 | 8,5 | 87—92 | 72 | 60,5 0,43 | 3 0,028 | 10 | 47 | 6 0,036 | 57 |
| 2 | То же | 70,5 0,50 | То же | 8,1 0,075 | 8,0 | 75—80 | 68,5 | 35,0 0,25 | 12,9 0,124 | 50 | 99 | 20,3 0,115 | 92 |
| 3 | " " | 70,5 0,50 | " " | 16,0 0,15 | 8,0 | 72—80 | 68,8 | 32,5 0,23 | 13,8 0,130 | 52 | 96 | 20,5 0,117 | 87 |
| 4 | " " | 72,5 0,51 | " " | 35,0 0,32 | 8,0 | 70—75 | 68,5 | 15,3 0,11 | 20,7 0,195 | 77 | 97 | 31,5 0,180 | 90 |
| 5 | " " | 35,2 0,25 | Пиридин | 14,8 0,15 | 8,0 | 80—90 | ** | 19,0 0,135 | 6,0 0,057 | 46 | 98 | | |
| 6 | Промилдихлорсилан $\text{CH}_3\text{CH}_2\text{CH}_2\text{SiCl}_2\text{H}$ | 55,0 0,38 | Адионитрил | 27,0 0,25 | 6,5 | 81—88 | 51 | 25,9 0,18 | 8,5 0,079 | 42 | 79 | 16,8 0,095 | 95 |
| 7 | Изопропилдихлорсилан $(\text{CH}_3)_2\text{CHSiCl}_2\text{H}$ | 40 0,28 | То же | 20,0 0,185 | 10,0 | 85—90 | 26 | 15,8 0,11 | 2 0,019 | 13 | 22 | 7,9 0,045 | 53 |
| 8 | Металлилдихлорсилан $\text{CH}_3=(\text{CH}_3)\text{CCH}_2\text{SiCl}_2\text{H}$ | 51,0 0,33 | " " | 25,0 0,24 | 5,0 | 93—98 | 48 | 12,3 0,08 | 9,6 0,080 | 49 | 64 | 23,5 0,124 | 99 |
| 9 | Изобутилдихлорсилан $(\text{CH}_3)_2\text{CHCH}_2\text{SiCl}_2\text{H}$ | 74 0,47 | " " | 30,0 0,28 | 5,25 | 98—108 | 70,3 | 26,8 0,17 | 11,1 0,09 | 38 | 60 | 27,3 0,142 | 95 |
| 10 | Этилдихлорсилан $\text{C}_2\text{H}_5\text{SiCl}_2\text{H}$ | 210 1,63 | Пиридин | 90 1,14 | 35,5 | 65—70 | ** | 119 0,92 | 85 0,26 | 32 | 71 | 47 0,29 | 82 |
| 11 | То же | 85 0,66 | То же | 20 0,25 | 5,25 | 65—70 | ** | 58 0,45 | 3,2 0,034 | 10 | 32 | 5,2 0,032 | 30 |
| 12 | " " | 200 1,55 | Адионитрил | 96 0,89 | 7,5 | 70—73 | | 170 1,32 | 6,6 0,07 | 4 | 61 | 13,5 0,08 | 69 |
| 13 | Метилдихлорсилан $\text{CH}_3\text{SiCl}_2\text{H}$ | 68 0,59 | То же | 39,5 0,36 | 8,5 | 40—41 | Полностью возвращен исходный продукт | | | | | | |

* Температура, которая устанавливалась в парах конденсата через 1 час и которая поддерживалась в оставшееся время опыта.

** Вес конденсата определить не удалось вследствие близости температуры кипения продуктов реакции и пиридина.

Таблица 2

Свойство алкил (и алкенил) хлорсиланов

| Номер вещества | Наименование и формула вещества | Т. кип. в °С (р в мм рт. ст.) | n_D^{20} | d_4^{20} | MR | | Найдено в % | | | Вычислено в % | | |
|----------------|----------------------------------------------------------------------------|----------------------------------|------------|------------|----------|-------------|----------------|--------------|----------------|----------------|------|-------|
| | | | | | найденно | вычислено** | C | H | Si | C | H | Si |
| I* | Аллилхлорсилан $\text{CH}_2=\text{CHCH}_2\text{SiClH}_2$ | 68,2 (745) | 1,4290 | 0,9193 | 29,89 | 30,14 | 33,81 33,89 | 6,73 6,62 | 25,98 25,78 | 32,53 32,56 | 6,63 | 26,31 |
| II* | н. Пропилхлорсилан $\text{CH}_3\text{CH}_2\text{CH}_2\text{SiClH}_2$ | 73,0 (750) | 1,4096 | 0,8901 | 30,21 | 30,43 | 33,29 32,98 | 8,36 8,37 | 25,85 25,52 | 32,08 32,19 | 8,35 | 25,82 |
| III* | изо-Пропилхлорсилан $(\text{CH}_3)_2\text{CHSiClH}_2$ | 67—68 (740) | 1,4040 | 0,8734 | 30,43 | 30,43 | | | 24,96 21,81 | 32,97 33,09 | | 25,82 |
| IV* | Металлилхлорсилан $\text{CH}_2=(\text{CH}_3)\text{CCH}_2\text{SiClH}_2$ | 93,5—94,0 (746) | 1,4381 | 0,9176 | 34,51 | 34,64 | 39,80 39,52 | 7,88 7,64 | 22,47 22,66 | 29,46 29,40 | 7,51 | 23,25 |
| V* | изо-Бутилхлорсилан $(\text{CH}_3)_2\text{CHCH}_2\text{SiClH}_2$ | 96,5—97 (751) | 1,4166 | 0,8935 | 34,49 | 34,98 | | | 21,33 21,00 | 28,50 28,73 | | 22,87 |
| VI*** | Этилхлорсилан $\text{C}_2\text{H}_5\text{SiClH}_2$ | 42 (749) | 1,3960 | 0,8887 | 25,57 | 25,68 | | | | | | 28,90 |

* Вещества, полученные впервые.

** Вычислено при помощи групповых рефракций, предложенных Мироновым и Никишиным [17].

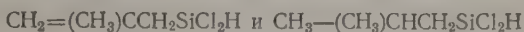
*** Вещество, полученное по другой методике [9], имело свойства: т. кип. 43° (751 мм); n_D^{20} 1,3975; d_4^{20} 0,9013; найдено MR 25,31, вычислено MR 25,72.

значит большими относительными потерями продуктов. В опыте 7 [с $(\text{CH}_3)_2\text{CHSiCl}_2\text{H}$] наблюдалось значительное газообразование и появление легкокипящих жидкостей неуставленного состава, что не имело места в других опытах.

В процессе изучения реакции (1) мы обнаружили, что строение радикала в RSiCl_2H существенно влияет на скорость протекания реакции. Так, при диспропорционировании RSiCl_2H , где $\text{R} = (\text{CH}_3)_2\text{CH}[\text{A}]; \text{CH}_3\text{CH}_2\text{CH}_2[\text{B}]; \text{CH}_2=\text{CHCH}_2[\text{C}]$, в присутствии 60—70 мол. % адиподинитрила конверсия RSiCl_2H резко снижается в последовательности $[\text{C}] > [\text{B}] > [\text{A}]$ (опыты 1, 6, 7 табл. 1).

Из кривых разгонок указанных опытов (фиг. 1, 2, 3) отчетливо видно, что относительное количество непрореагировавшего RSiCl_2H возрастает в ряду $[\text{C}] < [\text{B}] < [\text{A}]$. В случае $[\text{C}]$ большая скорость протекания реакции подтверждалась большей скоростью понижения температуры в парах конденсата. Следует отметить, что указанные RSiCl_2H имеют близкую температуру кипения, и различная активность их в этой реакции не может быть объяснена различной температурой протекания реакции.

В аналогичных условиях из двух структурно подобных соединений



последнее соединение превращалось также менее активно (опыты 8, 9 табл. 1 и фиг. 4, 5).

Из табл. 1 видно, что с уменьшением радикала до этильного (опыт 12), в RSiCl_2H указанная реакция резко затормаживается, а в случае $\text{R}=\text{CH}_3$ она вообще не имела места, хотя количество катализатора (60—70 мол. %) было взято то же, что и в случае высших алкилдихлорсиланов. Такое падение конверсии с уменьшением размера радикала более вероятно объяснить природой радикала, связанного с кремнием, и специфическим действием катализатора, чем простым понижением температуры реакции. Интересно отметить, что Долгов, Воронков и Борисов [9], проводившие реакцию (1) с $\text{C}_2\text{H}_5\text{SiCl}_2\text{H}$ и $n\text{-C}_4\text{H}_9\text{SiCl}_2\text{H}$ над AlCl_3 , установили что в случае этилдихлорсилана конверсия в несколько раз выше, чем для более высококипящего $n\text{-C}_4\text{H}_9\text{SiCl}_2\text{H}$. Вероятно, причиной этих противоположных результатов является различный характер катализаторов.

ЭКСПЕРИМЕНТАЛЬНАЯ ЧАСТЬ

Исходные алкил (и алкенил) дихлорсиланы были приготовлены известными методами [12—15] и тщательно разгонялись на колонках в 20—30 теоретических тарелок; аллилдихлорсилан, охарактеризованный в литературе [12]; т. кип. 97° и d_{27}^{27} 1,086, полученный нами, имел следующие свойства: т. кип. $95,2^\circ$ (740 мм); n_D^{20} 1,4393; d_4^{20} 1,0931. Используемые в качестве катализаторов заводские адиподинитрил, триэтиламин и другие вещества тщательно высушивались и перегонялись. В целях сокращения описания результатов опытов последние сведены в табл. 1. Ниже мы описываем только два характерных опыта.

Опыт 4. 72,5 г аллилдихлорсилана и 35 г адиподинитрила загружали в куб ректификационной колонки мощностью 20 теоретических тарелок с нихромовой насадкой. Колонка сообщалась с атмосферой через последовательно соединенные хлорвиниловым шлангом приемник, змеевиковую ловушку на -70° и склянку Тищенко с толуолом. Содержимое куба нагревали до кипения, причем двухслойная жидкость превратилась в однородную, и первые 30—40 мин. выделялся газ со скоростью 1 пузырек в 1—2 сек. По истечении этого времени температура установилась на уровне 69° , а газовыделение резко снизилось. Затем начали отбор конденсата с такой скоростью, чтобы колебания температуры в парах конденсата не выходили из интервала $70\text{—}75^\circ$. Через 7 час. 15 мин. температура уже не опускалась ниже 75° .

при закрытом кране в течение 40 мин. работы колонки, после чего оставшиеся продукты реакции быстро отгонялись до 119° . Значительных количеств жидкости в ловушке не обнаружено. Вес конденсата составил 66 г. Из темного кубового остатка при разгонке из колбы Кляйзена получено еще 2,5 г аллилтрихлорсилана (n_D^{20} 1,4453; d_4^{20} 1,2230) и 29,5—г адиподинитрила с т. кип. $129\text{—}134^\circ$ (3 мм). Остаток 4,5 г—темная смола, затвердевшая при охлаждении. Конденсат объединяли и разгоняли на колонке 20 теоретических тарелок. Получен $\text{C}_3\text{H}_5\text{SiClH}_2$ (см. табл. 1), $\text{C}_3\text{H}_5\text{SiCl}_2\text{H}$, частично возвращенный из реакции, и $\text{C}_3\text{H}_5\text{SiCl}_3$ с т. кип. $116,0\text{—}116,6^\circ$; n_D^{20} 1,4450, d_4^{20} 1,2226. Литературные данные для аллилтрихлорсилана [12]: т. кип. $117,5^\circ$; d_4^{27} 1,211. Это же вещество, специально приготовленное нами по методике [12] и тщательно разогнанное на колонке, имело следующие свойства: т. кип. $116,5\text{—}116,7^\circ$ (750 мм); n_D^{20} 1,4447; d_4^{20} 1,2224; кубовый остаток, бесцветный, весил 3,8 г, имел свойства: n_D^{20} 1,4460; d_4^{20} 1,2231, т.е. являлся также $\text{C}_3\text{H}_5\text{SiCl}_3$. Кривая разгонки изображена на фиг. 1

Опыт 10. Реакцию проводили в приборе, отличающемся от описанного в опыте 4 тем, что колонка с нихромовой насадкой была заменена стеклянным дефлегматором с елочной насадкой длиной 400 мм и диаметром 20 мм. Для реакции было взято 210 г этилдихлорсилана и 90 г пиридина. При сливании реагенты образовали белый осадок, частично растворяющийся в процессе кипения. Нагревание продолжалось 34 час. 30 мин. с 4 перерывами на ночь. За это время было отобрано 57 г фракции с т. кип. $65\text{—}70^\circ$, затем кран открыли и быстро перегнали оставшиеся продукты до $116,5^\circ$. Остаток 10 г твердого серого вещества. В ловушке собрано ~15 мл конденсата с температурой кипения выше комнатной. Фракцию $65\text{—}70^\circ$ и конденсат из ловушки объединяли и разгоняли на колонке в 20 теоретических тарелок. После отделения этилхлорсилана (см. табл. 2) остаток объединили с отгоном $70\text{—}116,5^\circ$ и продолжали разгонку, выделяя $\text{C}_2\text{H}_5\text{SiCl}_2\text{H}$ и $\text{C}_2\text{H}_5\text{SiCl}_3$ с т. кип. $97\text{—}97,6^\circ$ (740); n_D^{20} 1,4258 и d_4^{20} 1,2415. Кроме того, выделено 78,9 г неизменившегося пиридина с т. кип. $114\text{—}116,2^\circ$. Кривая разгонки изображена на фиг. 6.

Аналогично опытам 4 и 10 проводились опыты 1—3, 5—9 и 10—13. При этом выходы продуктов диспропорционирования, приведенные в табл. 2, определялись с учетом переходных фракций и кубковых остатков вторичной разгонки.

В опыте 6 (фиг. 2) был получен н.пропилтрихлорсилан с т. кип. $121,5\text{—}123,5^\circ$ (750 мм); n_D^{20} 1,4301; d_4^{20} 1,870. Литературные данные [14]: т. кип. $122,2^\circ$ (740 мм); n_D^{20} 1,4290; d_4^{20} 1,1851. В опыте 7 (фиг. 3), очевидно, выделен изопропилтрихлорсилан с т. кип. $118,5\text{—}121^\circ$ (740 мм); n_D^{20} 1,4315. Литературные данные [14]: т. кип. $120,3^\circ$ (748 мм); n_D^{20} 1,4319. В опыте 8 (фиг. 4) выделен метилтрихлорсилан с т. кип. $139,5^\circ$ (746 мм); n_D^{20} 1,4540; d_4^{20} 1,1980. Литературные данные [15]: т. кип. 139° (743 мм); n_D^{20} 1,4533; d_4^{20} 1,1990. В опыте 9 (фиг. 5) получен изобутилтрихлорсилан с т. кип. $140,5\text{—}143^\circ$ (750 мм); n_D^{20} 1,4370. Литературные данные [4]: т. кип. $139,5^\circ$ (745 мм); n_D^{20} 1,4358.

С целью исследования строения полученных соединений были сняты их спектры КРС.

Спектры КРС ($\Delta\nu$) в см^{-1} *

$\text{H}_2\text{ClSi—CH}_2\text{—CH}_2\text{—CH}_3$: 148 (2 р), 169 (0), 253 (1 ш), 358(2), 431(1 ш), 511 (8 ш), 556(1), 601(0), 692(3 ш), 747, (2 ш), 810(1 ш), 895(1 ш. дв.), 954(4 ш), 1016(0), 1037(3), 1075(1), 1108(1), 1206(3), 1301(1 ш), 1351(0 ш), 1454(4 ш), 2181(10 ш), 2874(10), 2911(2), 2936(4), 2967(3).

* Сняты на приборе ИСП-51 со средней камерой. Интенсивности приведены в 10-бальной визуальной шкале.

$\text{HCl}_2\text{Si}-\text{CH}_2-\text{CH}_2-\text{CH}_3$: 150(2), 174(3), 186(2), 209(0), 244(1), 273(3), 295 (1 ш), 351(2), 401(2), 455(0 ш), 498(9 ш), 515(2), 556(2 ш), 568(2 ш), 649(0 ш), 690(1 ш), 719(0 ш), 747(1 ш), 809(2 ш), 846(1 ш), 884(2 ш дв.), 979(0), 1019(1), 1038(2 п), 1073(1 ш), 1106(0 ш), 1174(0), 1210(2 п), 1243(1), 1300(1 оч. ш), 1344(1), 1399(2 ш), 1454(4 ш), 2213(10 оч. ш), 2875(10 ш), 2915(1), 2937(3), 2966(2).

$\text{Cl}_3\text{Si}-\text{CH}_2-\text{CH}_2-\text{CH}_3$: 170(3 ш), 208(3 п), 224 (1 ш), 284 (1), 336(8), 385 (1 ш), 425(0), 455(5), 475(10), 512(0), 565(1 ш), 586(0 ш), 620(0), 696(0), 755(2), 810(0), 838(0), 878(0), 898(1), 1008(0), 1030(4), 1069(1), 1100(0), 1147(0), 1171(0), 1205(2), 1239(0), 1259(0), 1272(0), 1405(1), 1447(3), 2870(5), 2887(2), 2910(4), 2934(4), 2964(2).

$\text{H}_2\text{ClSi}-\text{CH}_2-\text{CH}=\text{CH}_2$: 249(0 ш), 409(5 ш), 513(8 оч. ш), 557(1), 605(4 п), 699(5 ш), 756(4), 795 (0 ш дв.), 856(0), 913(1), 950(4), 1000(0), 1117(0), 1167(6 ш дв.), 1188(1), 1302(8), 1400(2 ш), 1423 (2), 1633(10), 2188(10 ш), 2895(3 ш), 2942(1), 2978(1), 3005(3), 3083(2).

$\text{HCl}_2\text{Si}-\text{CH}_2-\text{CH}=\text{CH}_2$: 157(2), 174(3), 191(1 ш), 240(2), 270(1 ш), 350(0 ш), 408(2 ш), 495(10 ш), 561(3 ш), 604(1 ш), 650(0 ш), 694(3), 754(4), 810(2 ш), 851(1 ш), 911(2 ш), 935(1), 999(1), 1113(0 ш), 1168(5 ш), 1189(2), 1300(8 п), 1386(2), 1417(3), 1632(10 п), 2212(10 оч. ш), 2887(8), 2930(2 ш), 2975(3 п), 3005(8), 3084(4).

$\text{Cl}_3\text{Si}-\text{CH}_2-\text{CH}=\text{CH}_2$: 158(5), 179(4), 214(4), 226(3), 301(3), 403(3 ш), 453(10), 576(2 ш дв.), 766(2), 922(1 ш), 991(0), 1178(7 ш), 1302(8 п), 1389(2), 1412(3), 1634(10 п), 2877(6), 2937(2), 2983(2), 3011(6), 3086(3).

$\text{H}_2\text{ClSi}-\text{CH}_2-\text{CH}-\text{CH}_3$: 150 (3), 170 (0 ш), 214 (0), 348 (2 ш), 414 (0 ш), 519 (7 оч. ш)
 $\begin{array}{c} | \\ \text{CH}_3 \end{array}$ 690 (4 ш), 735 (3), 792 (1 ш), 833 (1), 855 (0), 954 (5 ш), 1040 (1 ш), 1101 (2 ш), 1161 (1 ш), 1217 (2 оч. ш), 1296 (1), 1331 (2 ш), 1403 (1), 1450 (4 ш), 1463 (4), 2177 (10 ш) 2868 (10), 2903 (2), 2933 (3), 2961 (8).

$\text{HCl}_2\text{Si}-\text{CH}_2-\text{CH}-\text{CH}_3$: 151 (1), 167 (3 ш), 239 (2 ш), 254 (1), 298 (0 ш), 343 (3),
 $\begin{array}{c} | \\ \text{CH}_3 \end{array}$ 398 (1), 423 (1), 508 (8 ш дв.), 557 (2 ш дв.), 625 (0), 67 (2 п), 744 (3 ш), 815 (1 ш), 844 (1 ш), 958 (3), 1042 (2), 1109 (2 ш), 1169 (1), 1219 (3), 1297 (0), 1336 (3 ш), 1400 (0 ш), 1449 (2 ш), 1464 (3 ш), 2211 (8 оч. ш), 2868 (10), 2910 (3), 2931 (3), 2964 (7).

$\text{Cl}_3\text{Si}-\text{CH}_2-\text{CH}-\text{CH}_3$: 150 (3), 170 (3), 205 (5), 217 (1), 247 (0 ш), 278 (0 ш), 335 (4),
 $\begin{array}{c} | \\ \text{CH}_3 \end{array}$ 350 (2 п), 404 (1), 416 (4), 489 (10), 556 (2 ш), 592 (1 ш), 739 (2 п), 764 (1), 842 (2 п), 957 (2 ш), 1044 (2 ш), 1100 (2 ш), 1169 (1 ш), 1219 (2), 1333 (2 ш), 1395 (2 ш), 1449 (2 ш), 1464 (3 ш), 2873 (10), 2905 (2), 2931 (3), 2964 (7 ш).

$\text{H}_2\text{ClSi}-\text{CH}_2-\text{C}=\text{CH}_2$: 148 (3), 198 (3), 382 (1 ш), 420 (3), 477 (4), 516 (4 ш), 537 (2 ш),
 $\begin{array}{c} | \\ \text{CH}_3 \end{array}$ 568 (1), 608 (0), 657 (1), 676 (1), 703 (0 ш), 766 (2), 802 (1), 850 (2), 884 (2 ш), 948 (4), 976 (1), 1007 (2), 1071 (0), 1123 (5 ш), 1172 (5 оч. ш), 1219 (0 ш), 1278 (2), 1393 (2), 1415 (4 ш), 1644 (10), 2183 (10 дв.), 2881 (4), 2913 (5), 2937 (2), 2983 (4 ш), 3079 (2).

$\text{HCl}_2\text{Si}-\text{CH}_2-\text{C}=\text{CH}_2$: 148 (1), 169 (4), 207 (0), 241 (3), 383 (0 ш), 426 (2 ш), 470 (7),
 $\begin{array}{c} | \\ \text{CH}_3 \end{array}$ 494 (3), 526 (3), 565 (1 ш), 656 (0 ш), 676 (1 ш), 717 (1 ш), 765 (2), 814 (2), 834 (2), 853 (2), 892 (2 ш), 980 (0), 1007 (1), 1117 (3 ш), 1175 (3 оч. ш), 1219 (0 ш), 1278 (2 ш), 1320 (0 ш), 1390 (3 ш), 1419 (3 ш), 1453 (2 ш), 1645 (10), 2212 (8 ш), 2890 (5), 2916 (5), 2940 (3), 2986 (4), 3082 (3).

$\text{Cl}_3\text{Si}-\text{CH}_2-\text{C}=\text{CH}_2$: 152 (4), 170 (2), 217 (4), 261 (2), 294 (0), 417 (7), 454 (9), 526 (2),
 $\begin{array}{c} | \\ \text{CH}_3 \end{array}$ 577 (1 ш), 593 (1 ш), 683 (1), 760 (1), 792 (1), 847 (2), 898 (0), 1129 (2 ш), 1186 (2 ш), 1279 (1 ш), 1396 (2 ш), 1430 (1), 1649 (10), 2885 (4), 2927 (3 ш), 2992 (3 ш), 3085 (2 ш).

Рассмотрение спектров полученных соединений подтверждает приписываемое им строение.

В спектрах пропилхлорсилана, пропиладихлорсилана и пропильтрихлорсилана обнаружены частоты 1030, 1070, 1200 и 1450 см^{-1} , характерные для радикала $\text{Si}-\text{CH}_2\text{CH}_2\text{CH}_3$, ранее наблюдавшиеся в спектрах триалкилпропилсиланов [16], в спектрах аллилхлорсилана, аллиладихлорсилана и аллильтрихлорсилана — частоты 1300, 1395, 1632, 3005 и 3080 см^{-1} , характерные для группировки $\text{Si}-\text{CH}_2-\text{CH}=\text{CH}_2$ [18], в спектрах метилаллилхлорсилана, метилаллиладихлорсилана и метилаллильтрихлорсилана — частоты 1278, 1395, 1420, 1645, 2985 и 3080 см^{-1} , характерные для группировки $\text{Si}-\text{CH}_2-\text{C}=\text{CH}_2$ [19]. В спектрах всех трех



изобутилхлорсиланов наблюдалась устойчивая совокупность частот:

954, 1040, 1101, 1168, 1218, 1333, 1400, 1450, 1464 см^{-1} , очевидно, относящаяся к колебаниям изобутильного радикала, связанного с кремнием.

В спектрах всех соединений, имеющих группировку H_2ClSi , независимо от характера органического радикала, связанного с кремнием, наблюдаются частоты 515 (валентное колебание $\text{Si}-\text{Cl}$) и 2180 см^{-1} (валентное колебание $\text{Si}-\text{H}$). При переходе к HCl_2Si частота $\text{Si}-\text{H}$ повышается до 2215 см^{-1} , а частота $\text{Si}-\text{Cl}$ понижается до 500 см^{-1} . Для соединений типа Cl_3SiR характерна интенсивная линия в области 450—480 см^{-1} (валентное симметричное колебание $\text{Si}-\text{Cl}$ в группе — SiCl_3).

Все вышеприведенные спектры снимались и анализировались Л. А. Лейтес, за что авторы приносят ей глубокую благодарность.

ВЫВОДЫ

1. Диспропорционирование алкил (или алкенил)дихлорсиланов с катализаторами: пиридин и адиподинитрил может служить методом синтеза алкил(алкенил)моноклорсиланов.

2. Обнаружена зависимость скорости протекания реакции диспропорционирования алкил(или алкенил)дихлорсиланов от характера радикалов, связанных с кремнием, и показано, что она является наибольшей в случае радикалов алкенильного типа с краткой связью в γ -положении относительно атома кремния.

Институт органической химии
им. Н. Д. Зелинского
Академии наук СССР

Поступило
28.VII.1958
Добавления внесены
4.VII.1959

ЛИТЕРАТУРА

1. G. H. Wagner, D. L. Bailey и др., *Ind. and Engng. Chem.* 45, 367 (1953).
2. J. L. Sprig и др., *J. Amer. Chem. Soc.* 79, 977 (1957).
3. Б. А. Соколов, Диссертация МХТИ им. Менделеева, М., 1956.
4. А. Д. Петров, В. А. Пономаренко, В. Г. Черкаев и Н. А. Задорожный, *Изв. АН СССР. Отд. хим. н.* 1958, 247; А. Д. Петров, К. А. Андрианов и др., *Хим. наука и промышленность* 4, 679 (1958).
5. В. А. Пономаренко, Б. А. Соколов, Х. М. Миначев и А. Д. Петров, *Докл. АН СССР* 106, 76 (1956).
6. R. Shafer, G. Wagner, *Англ. пат.* 662916; *Chem. Abstrs.* 46, 11229 (1952).
7. А. Ваггу, *пат. США*, 262666; *Chem. Abstrs.* 48, 7636 (1954); Е. А. Чернышев и А. Д. Петров, *Изв. АН СССР. Отд. хим. н.* 1956, 630.
8. В. Ф. Миронов, А. Д. Петров и В. Писаренко, *Докл. АН СССР* 124, 102 (1959).
9. Б. Н. Долгов, М. Г. Воронков и С. Н. Борисов, *Ж. общ. химии* 27, 709, (1957).
10. D. L. Bailey, G. H. Wagner, *пат. США* 2732280; *Chem. Abstrs.* 50, 12907 (1956).
11. D. L. Bailey, G. H. Wagner, *пат. США* 2732281; 2732282; *Chem. Abstrs.* 50, 12097 (1956).
12. D. Hurd, *J. Amer. Chem. Soc.* 67, 1813 (1945).
13. Н. П. Сметанкина, Диссертация МХТИ им. Менделеева, М., 1956.
14. А. Д. Петров, Н. П. Сметанкина и Г. И. Никишин, *Ж. общ. химии* 25, 2332 (1955).
15. А. Д. Петров и Г. И. Никишин, *Изв. АН СССР. Отд. хим. н.* 1956, 243.
16. Ю. П. Егоров, Диссертация МГУ, 1958.
17. В. Ф. Миронов и Г. И. Никишин, *Изв. АН СССР. Отд. хим. н.*, 1958, 1080.
18. Ю. П. Егоров и П. А. Бажулин, *Докл. АН СССР* 88, 647 (1953).
19. Г. И. Никишин, Диссертация, М., 1955.

И. Л. КНУНЯНЦ, Э. Е. РЫЦЛИН и Н. П. ГАМБАРЯН

β-ЛАКТАМЫ

СООБЩЕНИЕ 3. МЕХАНИЗМ РЕАКЦИИ

Ранее сообщалось о новом методе получения β-лактамов из амидов β-галоидзамещенных кислот под действием амидов калия или натрия в жидком аммиаке [1]. Этот метод отличается сравнительной простотой, а также доступностью исходных реагентов и открывает широкие возможности для синтеза различных β-лактамов. Методика синтеза β-лактамов может быть значительно упрощена проведением реакции в различных органических растворителях под действием суспензии порошка едкого кали или же водных растворов едких щелочей (табл. 1). Осо-

Таблица 1

Реакция $C_6H_5CHBrCH_2CONHC_6H_5$ с порошкообразным КОН в различных растворителях

| Растворитель | Выход в % | | | Растворитель | Выход в % | | |
|----------------------|-----------|---------------------|-----------------|-----------------------|-----------|---------------------|-----------------|
| | β-лактам | ненасыщенного амида | β-амино-кислоты | | β-лактам | ненасыщенного амида | β-амино-кислоты |
| Метилэтилкетон | 88,6 | 7,0 | — | Ацетон 87,5% | — | 68,0 | 10,0 |
| Ацетон | 68,0 | Не опред. | 15 | Метиловый спирт 12,5% | — | — | — |
| Бензол | 41,0 | 32,0 | — | Ацетон 50% | 57,0 | 27 | — |
| Гексан | 22,0 | 77 | — | Вода 50% | — | — | — |
| Диметилформамид | 57,4 | 29,5 | — | Ацетон 50% | 68,0 | 14,0 | — |
| Серный эфир | 35,0 | 45,0 | — | Бензол 50% | — | — | — |
| Диоксан | 43,0 | 56,0 | — | Ацетон 50% | 72,0 | 15,0 | — |
| Тетрагидрофуран | 37,8 | 62,0 | — | Гексан 50% | — | — | — |
| Метиловый спирт | — | 88,6 | — | Ацетон 50% | 68,0 | 15,7 | — |
| Этиловый спирт | — | 86,0 | — | Серный эфир 50% | — | — | — |
| Бутиловый спирт | — | 91,0 | — | Диоксан 70% | 60 | 34 | — |
| Жидкий аммиак | 81,0 | — | — | Вода 30% | — | — | — |
| Ацетон 87,5% | — | 36,0 | 35,0 | Тетрагидрофуран 50% | 51,0 | 44,0 | — |
| Этиловый спирт 12,5% | — | — | — | Вода 50% | — | — | — |
| Ацетон 50% | — | 79,5 | — | Этиловый спирт* 70% | — | 95,4 | — |
| Этиловый спирт 50% | — | — | — | Вода 30% | — | — | — |

* Реакция проводилась с LiOH.

бенно эффективными растворителями оказались алифатические кетоны, в которых β-лактамы образуются даже с лучшими выходами, чем в жидком аммиаке. Напротив, проведение реакции в спиртах или даже прибавление небольших количеств спирта к другому растворителю резко снижает выход β-лактам. Переход от едкого кали к едким натру и литию лишь незначительно сказывается на скорости реакции, не меняя

ее основного направления. Однако применение в качестве щелочного агента третичного амина или алкоголята полностью исключает образование β -лактама (табл. 2).

Таблица 2

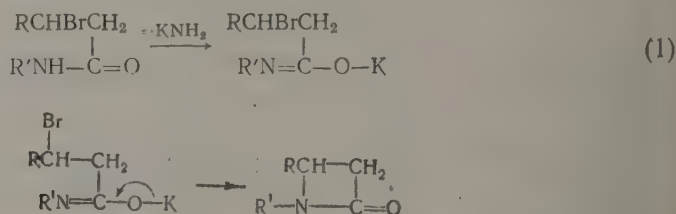
Влияние щелочного агента на циклизацию анилада β -бромгидрокориной кислоты в ацетоновом гомогенном растворе

| Щелочный агент | Выход | |
|------------------------------------------------------------|--------------------------------------------------------------------------------------------------------|---------------------------------------------------------------------------------------|
| | $\text{C}_6\text{H}_5\text{CH}-\text{CH}_2$ $\text{C}_6\text{H}_5\text{N}-\text{C}=\text{O}$ в % | $\text{C}_6\text{H}_5\text{CH}=\text{CHCO}$ $\text{C}_6\text{H}_5\text{NH}$ в г |
| 0,25 N водный раствор KOH | 67,4* | 18,6 |
| 0,25 N водный раствор NaOH | 65* | 15,0 |
| 0,25 N водный раствор LiOH | 66,6* | 16,6 |
| Триэтиламин | — | 93,0 |
| Тритон-Б | 72,3** | 13,6 |
| 0,43 N диоксанный раствор $\text{C}_2\text{H}_5\text{ONa}$ | — | 65,0 |

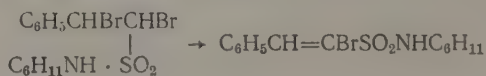
* Выход β -лактама определялся после разделения продуктов реакции дробной кристаллизацией.

** Выход β -лактама определялся по количеству β -аминокислоты, образовавшейся в результате гидролиза продукта реакции.

Для объяснения механизма превращения амидов β -галоидзамещенных кислот в β -лактамы была предложена схема, включающая две стадии: 1) энолизацию амида с образованием соли иминной формы; 2) внутримолекулярную нуклеофильную атаку β -углерода атомам азота, несущим неподеленную пару электронов; в результате происходит выброс бром-иона и замыкание цикла



Из этой схемы следует, что амиды, не склонные к энолизации, характерной для амидов карбоновых кислот, циклизироваться не будут. И действительно, все попытки превратить выбранный в качестве примера циклогексиламид α,β -дибром- β -фенилэтансульфокислоты* в β -сультам оказались безуспешными. Единственным продуктом реакции неизменно получался циклогексиламид ω -бром- ω -стиролсульфокислоты



Эти данные подтверждают, что первой стадией реакции является энолизация исходного амида.

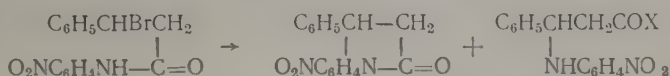
Скорость замыкания β -лактамного кольца может зависеть от двух факторов: кислотности исходного амида, ответственной за первую стадию реакции, и реакционной способности промежуточного иона бром-амида, определяющей вторую стадию процесса. Заместители первого рода [CH_3 , CH_3O , $(\text{CH}_3)_2\text{N}$ и т. д.], введенные в пара-положение ариль-

* Сульфамиды, в отличие от амидов карбоновых кислот, не энолизуются [2].

ного остатка, связанного с азотом, способствуют второй стадии реакции, требующей наличия у атома азота электронной плотности, достаточной для осуществления нуклеофильной атаки β-углеродного атома. Заместители же второго рода (NO_2 , COOR , CN и др.), увеличивающие кислотность исходного амида, но понижающие электронную плотность у атома азота, должны препятствовать второй стадии реакции, но ускорять первую стадию.

Реакцию проводили в воднодиоксановом растворе под действием едкого лития при 0° . О скорости процесса судили по количеству образующегося бром-иона (табл. 7). Ввиду того, что наряду с замыканием β-лактаманного кольца протекает реакция дегидрогалогенирования исходных амидов с образованием замещенных амидов коричной кислоты, выход β-лактамов определялся в ряде случаев по количеству аминокислоты, образующейся при гидролизе продуктов реакции. Кроме того, изучалась кинетика реакции в спиртовом растворе, продуктом которой являются исключительно производные коричной кислоты (табл. 9). Обе эти реакции оказались реакциями второго порядка, а константы их скоростей — близкими друг другу. Повышение концентрации щелочи или амида резко ускоряют их течение, не влияя заметно на константу скорости (механизм бимолекулярного замещения ($\text{S}_\text{N} 2$)).

Из всех изученных соединений с наибольшей скоростью циклизуется *p*-нитроанилид β-бромгидрокориной кислоты. Образующийся при этом β-лактама менее прочен, чем другие полученные нами азетидиноны-2, о чем свидетельствует выделение из реакционной смеси, кроме 1-*p*-нитрофенил-4-азетидинона-2, заметных количеств продуктов его распада



Медленнее всего реагирует *p*-анизидид β-бромгидрокориной кислоты. Таким образом, заместители первого рода тормозят циклизацию, а заместители второго рода — ускоряют ее (табл. 3). Аналогичное влияние

Таблица 3

Скорость реакции ариламидов β-бромгидрокориной кислоты с LiOH в растворе водного диоксана

Концентрация бромамида — 0,01 *M*/л

| Ариламид | Количество прореагировавшего амида в % за время | | | | | Выход β-лактама за 60 мин. в % |
|----------------------------------------------------------------------------------------|-------------------------------------------------|--------|---------|---------|---------|--------------------------------|
| | 2 мин. | 4 мин. | 10 мин. | 30 мин. | 60 мин. | |
| $\text{C}_6\text{H}_5\text{CHBrCH}_2$ $\text{CH}_3\text{OC}_6\text{H}_4\text{NHCO}$ | 22,0 | 30,5 | 46,5 | — | — | 52,5 |
| $\text{C}_6\text{H}_5\text{CHBrCH}_2$ $\text{CH}_3\text{C}_6\text{H}_4\text{NHCO}$ | 24,0 | 34,0 | 50,0 | — | — | 57,0 |
| $\text{C}_6\text{H}_5\text{CHBrCH}_2$ $\text{C}_6\text{H}_4\text{NHCO}$ | 35,0 | 44,5 | 65,2 | — | — | 60,4 |
| $\text{C}_6\text{H}_5\text{CHBrCH}_2$ $\text{C}_6\text{H}_5\text{NHCO}$ | 79,0 | — | 95,0 | 98,5 | 99,5 | — |
| $\text{C}_6\text{H}_5\text{CHBrCH}_2$ $\text{BrC}_6\text{H}_4\text{NHCO}$ | 56,3 | — | 81 | — | — | — |
| $\text{O}_2\text{NC}_6\text{H}_4\text{NHCO}$ | 98,0 | — | — | 100 | — | — |

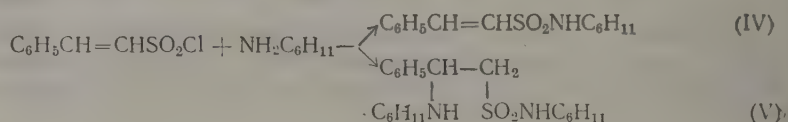
заместителей первого и второго рода наблюдалось и в работе по исследованию скорости образования пирролидинового кольца из ариламидов γ -броммасляной кислоты (3). Все это свидетельствует о том, что решающим фактором для скорости замыкания β -лактамного кольца является кислотность исходного амида, облегчающая первую стадию реакции — образование соли иминной формы амида.

ЭКСПЕРИМЕНТАЛЬНАЯ ЧАСТЬ

Получение β -лактамов при действии порошкообразного КОН в органических растворителях. К навеске амида (0,002 M) в 40 мл растворителя прибавляли 1 г порошкообразного едкого кали. Смесь встряхивали в течение часа, после чего растворитель испаряли досуха. Оставшуюся твердую реакционную смесь промывали разбавленной HCl, водой, затем сушили и, как правило, разделяли дробной кристаллизацией (табл. 4 и 5).

Получение β -лактамов в гомогенной среде. К навеске амида (0,002 M), растворенной в смеси 70 мл ацетона и 14 мл воды, прибавляли 16 мл 0,25 N водного раствора едкой щелочи (0,004 M). Гомогенную реакционную смесь оставляли на час и затем растворитель испаряли. Далее твердый продукт реакции обрабатывали, как описано выше.

Циклогексиламид ω -стиролсульфокислоты (IV). При взаимодействии циклогексиламина с хлорангидридом ω -стиролсульфокислоты (III) наряду с (IV), образуется хлоргидрат циклогексиламида β -фенил- β -циклогексиламиноэтансульфокислоты (V). Присоединить циклогексиламин к (IV), а также к натриевой соли ω -стиролсульфокислоты и ее этиловому эфиру не удалось, из чего следует, что реакция присоединения циклогексиламина к (III) и образование (IV) протекают одновременно:



К раствору 13,7 г хлорангидрида ω -стиролсульфокислоты (III) в 30 мл бензола постепенно прибавляли раствор 13,5 г циклогексиламина в 10 мл бензола. Кристаллы, оставшиеся после испарения бензола, промывали водой, разбавленной соляной кислотой и перекристаллизовывали из абсолютного спирта. Получили 7,8 г (45%) циклогексиламида ω -стиролсульфокислоты (IV) с т. пл. 114—115°. Найдено: С 63,24; Н 7,26; S 12,15%. $\text{C}_{14}\text{H}_{19}\text{NO}_2\text{S}$. Вычислено: С 63,41; Н 7,17; S 12,1% и 3,3 г (16,5%) хлоргидрата циклогексиламида β -фенил- β -циклогексиламиноэтансульфокислоты (V) с т. пл. 217—218°. Найдено: С 59,91; Н 8,38%. $\text{C}_{20}\text{H}_{33}\text{NO}_2\text{SO}_2$. Вычислено: С 59,92; Н 8,24%.

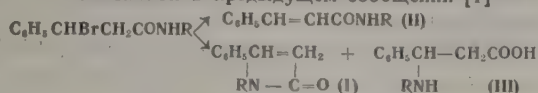
Вещество (V) при обработке водной щелочью дает циклогексиламид β -фенил- β -циклогексиламиноэтансульфокислоты с т. пл. 115—116° (из спирта). Найдено: С 65,98; Н 8,89; S 8,86%. $\text{C}_{20}\text{H}_{32}\text{NO}_2\text{O}_2$. Вычислено: С 65,93; Н 8,79; S 8,79%.

Циклогексиламид β -фенил- α , β -дибромэтансульфокислоты (I). К раствору 1,35 г (IV) в 50 мл ледяной уксусной кислоты прибавляли 8 мл 10%-ного раствора брома в ледяной уксусной кислоте и оставляли на 3 час. на солнечном свете, затем растворитель отгоняли и остаток перекристаллизовывали из спирта. Получили 1,7 г (78%) кристаллов (I) с т. пл. 127—129°. Найдено: С 39,64; Н 4,49%. $\text{C}_{14}\text{H}_{19}\text{Br}_2\text{SNO}_2$. Вычислено: С 39,53; Н 4,47%.

Циклогексиламид ω -бром- ω -стиролсульфокислоты (VI). а) К суспензии 0,25 г едкого кали в жидком аммиаке присыпали 1,1 г (I). На сле-

Таблица 4

β-Лактамы, полученные при действии KNH_2 в жидком NH_3 по методике, описанной в предыдущем сообщении [1]






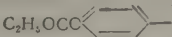
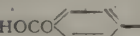
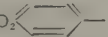

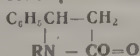


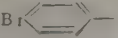
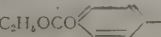
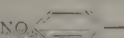

| Номер по пор. | R | Выход в % | | | Примечания |
|---------------|------------------------------------------------------------------------------------|-----------|------|------------------------------|------------------------------------------------------------------------------------------------------------------------------------------------------------------------------------------------------------------------------------------------------------------------------------------------------|
| | | (I) | (II) | (III) | |
| 1 |  | 81,3 | 8,4 | 3,0 | Реакционный продукт промывали водой (при подкислении водн. раствора CH_3COOH выделялась аминокислота), небольшим количеством эфира и затем перекристаллизовывали из спирта. Выпадал β-лактамы. Из маточника при разбавл. водой выделяли p-толуидид коричной кислоты |
| 2 |  | 84,1 | | | Реакционный продукт промывали водой и перекристаллизовывали из изопропилового спирта |
| 3 |  | 63,0 | 13,0 | 21,0 смолистый остаток | Твердый продукт после промывки водой и эфиром перекристаллизовывали из спирта. Выделен β-лактамы. При гидролизе части реакционного продукта спиртом KOH выделен нерастворимый в H_2O p-броманилид коричной кислоты |
| 4a |  | 66,0 | 10,6 | — | Реакционный продукт промывали водой (при подкислении водного раствора CH_3COOH был выделен продукт 4б) и эфиром и перекристаллизовывали из спирта. Выделен продукт 4а. При обработке продукта 4а спиртовой щелочью (1 M) происходит омыление эфирной группы и образуется продукт 4б. |
| 4б |  | 22,8 | | | Быстро испаряли аммиак, промывали конц. HCl (подщелачиванием выделяли амид β-аминокислоты), затем перекристаллизовывали из этилацетата. Выпадал p-нитроанилид коричной кислоты. Из маточника выделяли β-лактамы. |
| 5 |  | 54,0 | 16,6 | 11,0 амида β-аминокислоты | |
| 6 |  | 63,0 | — | — | |

Таблица 5

Свойства β-лактамов



| R | Т. пл. в °C из раствора | С в % | | Н в % | | N в % | |
|------------------------------------------------------------------------------------|---------------------------|----------|-----------|----------|-----------|----------|-----------|
| | | най-дено | вычислено | най-дено | вычислено | най-дено | вычислено |
|  | 126—128, спирт | 80,83 | 81,0 | 6,36 | 6,37 | 5,72 | 5,89 |
|  | 95—97, изопропил. спирт | 75,62 | 75,88 | 5,90 | 5,88 | Br | |
|  | 124—126, изопропил. спирт | 59,28 | 59,63 | 3,94 | 3,97 | | |
|  | 137—138, спирт | 73,26 | 73,22 | 5,79 | 5,76 | 4,75 | 4,74 |
|  | 132—134, спирт | 67,40 | 67,39 | 4,34 | 4,40 | 10,74 | 10,07 |
|  | 188—189, спирт | 83,43 | 83,88 | 5,64 | 5,50 | 5,05 | 5,12 |

дующий день аммиак испаряли, остаток промывали водой и перекристаллизовывали из абсолютного спирта. Получено 0,85 г (94%) кристаллов (VI) с т. пл. 116—117°. Найдено: С 49,15; Н 5,29%. $C_{14}H_{18}NSO_2Br$. Вычислено: С 48,84; Н 5,23%.

При нагревании (VI) с избытком цинковой пыли в 80%-ном этиловом спирте атом брома заменяется на водород и образуются с выходом 80% кристаллы с т. пл. 114—115°, не дающие депрессии температуры плавления с (IV).

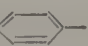

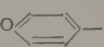

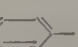







б) К раствору 0,5 г (I) в 20 мл абсолютного спирта приливали 1,5 мл 1 N раствора едкого кали в абсолютном спирте. Через 10 мин. прибавляли воды и выпавшие кристаллы отфильтровывали. Получали 0,28 г (70%) кристаллов с т. пл. 116—117° [из спирта, идентичных (VI)].

в) К суспензии 0,5 г едкого кали в 20 мл ацетона присыпали 0,53 г (I) и перемешивали 1 час. Ацетон выпаривали, остаток промывали водой и перекристаллизовывали из спирта. Получено 0,2 г (50%) кристаллов с т. пл. 116—117°, идентичных (VI).

Получение ариламидов β -бромгидрокоричной и коричной кислот. Все ариламиды, за исключением *p*-броманилида β -бромгидрокоричной кислоты, синтезировались по обычной методике, приведенной в предыдущей работе [1] (табл. 6).

Таблица 6

Синтезированные ариламиды *p*-бромгидрокоричной (а) и коричной (б) кислот
 $C_6H_5CHBrCH_2CONHR$

| R | Т. пл. в °С из растворителя | С в % | | Н в % | | Br в % | | N в % | |
|------------------------------------------------------------------------------------------------------|--------------------------------|--------------|----------------|--------------|----------------|--------------|----------------|--------------|----------------|
| | | найде- но | вычис- лено | найде- но | вычис- лено | найде- но | вычис- лено | найде- но | вычис- лено |
| а) CH_3 -  | 127—128, спирт | 60,05 | 60,37 | 5,10 | 5,03 | 25,53 | 25,16 | | |
| б)  | 162—163,5, водн. спирт | | | | | | | 5,89 | 5,90 |
| а) CH_3O -  | 128—129, спирт | 57,47 | 57,49 | 5,03 | 4,79 | | | | |
| б)  | 154—155, изобут. спирт | 75,87 | 75,88 | 5,92 | 5,92 | | | | |
| а) Br -  | 204—205, абс. спирт | 47,06 | 47,00 | 3,49 | 3,40 | 41,58 | 41,77 | | |
| б)  | 190—192, изопроп. спирт | 59,56 | 59,6 | 3,89 | 3,97 | 26,13 | 26,49 | | |
| а) C_2H_5OCO -  | 144—145, спирт | 57,45 | 57,44 | 4,79 | 4,78 | 21,23 | 21,29 | | |
| б)  | 171—172, водн. спирт | 73,10 | 73,22 | 5,78 | 5,76 | | | 4,90 | 4,75 |
| а) NO_2 -  | 207—210, спирт | 51,99 | 51,57 | 3,81 | 3,72 | 22,35 | 22,92 | | |
| б)  | 222—224, спирт | | | | | | | 10,44 | 10,44 |
| а)  | 191—193, абс. спирт | | | | | | | 4,03 | 3,95 |
| б)  | 179—180, спирт | | | | | | | 5,14 | 5,12 |

***p*-Броманилид β -бромгидрокоричной кислоты.** 5 г (0,016 M) анилида β -бромгидрокоричной кислоты и 4,3 г (0,024 M) N-бромсукцинимид в 160 мл четыреххлористого углерода кипятили с обратным холодильником в течение 12 час. По охлаждении из раствора выделяли 5 г (80%) продукта, имевшего т. пл. 204—205° (из спирта) и по данным анализа отвечавшего соединению $C_6H_5CHBrCH_2CONHC_6H_4Br$.

Определение скорости реакции анилидов β -бромгидрокоричной кислоты с щелочными агентами в гомогенной среде. Навеску анилида 0,001 M вносили в смесь 70 мл растворителя и 26 мл воды. К охлажденному до 0° термостатированному раствору быстро прибавляли 4 мл

0,25 *N* водного раствора едкой щелочи, после чего через определенные промежутки времени из реакционной смеси пипеткой отбирались пробы по 20 мл.

Для обработки проб в делительную воронку, содержащую 10 мл 30% HNO_3 , 20 мл воды и 20 мл хлороформа вносили пробу реакционного раствора, энергично встряхивали и отделяли хлороформенный слой. Водный

Таблица 7

Скорость реакции ариламидов β-бромгидрокориновой кислоты с LiOH в 70 %-ном диоксане, при концентрации исходного амида 0,01 *M*/л

| Ариламид | Время реакции в мин. | Количество прореагировавшего амида в % | K_2 в л/М·мин ⁻¹ | Ариламид | Время реакции в мин. | Количество прореагировавшего амида в % | K_2 в л/М·мин ⁻¹ |
|------------------------------------------------------------------------------------------------|----------------------|----------------------------------------|-------------------------------|---------------------------------------------------------------------------------------------------------|----------------------|----------------------------------------|-------------------------------|
| $\text{C}_6\text{H}_5\text{CHBrCH}_2$ $\text{CH}_3\text{OC}_6\text{H}_4\text{NH}-\text{CO}$ | 2,00 | 22,0 | — | $\text{C}_6\text{H}_5\text{CHBrCH}_2$ $\text{COC}_6\text{H}_4\text{NHCO}$ OC_2H_5 | 2,00 | 79,0 | — |
| | 4,00 | 30,5 | 10,9 | | 10,00 | 95,0 | — |
| | 7,00 | 38,0 | 8,7 | | 30,00 | 98,5 | — |
| | 10,00 | 46,5 | 8,8 | | 60,00 | 99,5 | — |
| $\text{C}_6\text{H}_5\text{CHBrCH}_2$ $\text{CH}_2\text{C}_6\text{H}_4\text{NH}-\text{CO}$ | 2,00 | 24,0 | — | $\text{C}_6\text{H}_5\text{CHBrCH}_2$ $\text{BrC}_6\text{H}_4\text{NHCO}$ | 2,00 | 56,5 | — |
| | 4,00 | 34,0 | 12,8 | | 5,00 | 73,8 | — |
| | 7,00 | 42,0 | 10,3 | | 10,00 | 81,0 | — |
| | 10,00 | 50,0 | 10,9 | | 20,00 | 87,0 | — |
| $\text{C}_6\text{H}_5\text{CHBrCH}_2$ $\text{C}_6\text{H}_5\text{NHCO}$ | 2,00 | 35,0 | — | $\text{C}_6\text{H}_5\text{CHBrCH}_2$ $\text{NO}_2\text{C}_6\text{H}_4\text{NHCO}$ | 2,00 | 98,0 | — |
| | 4,18 | 44,5 | 19,4 | | 30,00 | 100,0 | — |
| | 7,25 | 56,5 | 18,0 | | | | |
| | 10,25 | 65,2 | 18,2 | | | | |

раствор обрабатывали еще 20 мл хлороформа, отделяли и переносили в колбу для титрования. Обе хлороформенные вытяжки промывали еще 10 мл воды, которая присоединялась затем к основному водному раствору. Ион брома определялся по методу Фольгарда. Для этого к пробе приливали 10 мл 0,05 *N* раствора AgNO_3 и несвязавшийся ион серебра оттитровывали 0,05 *N* раствором AmSCN в присутствии железоаммиачных квасцов (см. табл. 7, 8).

Таблица 8

Скорость реакции ариламидов β-бромгидрокориновой кислоты с LiOH в спирте (образование ариламидов коричной кислоты)
(Концентрация исходного амида 0,01 *M*/л)

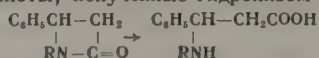
| Ариламид | Время реакции в мин. | Количество прореагировавшего амида в % | K_2 в л/М·мин ⁻¹ | Ариламид | Время реакции в мин. | Количество прореагировавшего амида в % | K_2 в л/М·мин ⁻¹ |
|----------------------------------------------------------------------------|----------------------|----------------------------------------|-------------------------------|----------------------------------------------------------------------------------------|----------------------|----------------------------------------|-------------------------------|
| $\text{C}_6\text{H}_5\text{CHBrCH}_2$ $\text{C}_6\text{H}_5\text{NHCO}$ | 2,00 | 35,0 | — | $\text{C}_6\text{H}_5\text{CHBrCH}_2$ $\text{CH}_3\text{OC}_6\text{H}_4\text{NHCO}$ | 2,25 | 31,0 | — |
| | 3,50 | 43,5 | 20,1 | | 4,50 | 39,0 | 14,4 |
| | 7,00 | 55,5 | 18,0 | | 7,09 | 54 | 16,2 |
| | 10,00 | 65,0 | 18,5 | | 10,09 | 76 | — |



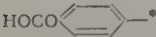


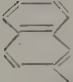
Поскольку ион Br мог выделяться в процессе двух конкурирующих реакций — образования β-лактама и замещенного амида коричной кислоты параллельно с отбором проб для титрования, по Фольгарду, через

те же промежутки времени определялся выход β-лактама путем гидролиза реакционного продукта и количественного выделения β-аминокислоты (табл. 9).

Таблица 9

β-Аминокислоты, полученные гидролизом β-лактамов



| R | Т. пл. в °С из раствори- теля | С в % | | Н в % | | N в % | |
|-----------------------------------------------------------------------------------|------------------------------------------|--------------|----------------|--------------|----------------|--------------|----------------|
| | | най- дено | вычис- лено | най- дено | вычис- лено | най- дено | вычис- лено |
|  | 136—137, спирт | 74,65 | 75,29 | 6,53 | 6,66 | 5,83 | 5,49 |
|  | 136—138, спирт | 56,21 | 56,25 | 4,40 | 4,38 | 24,96 | 25,00 |
|  | 183—187, водный спирт | 66,65 | 67,37 | 5,42 | 5,26 | | |
|  | | | | | | 8,53 | 8,64 |
|  | 147—148, хлороформ | 63,14 | 63,16 | 5,56 | 5,26 | 15,43 | 14,75 |
|  | 164—165, бензол-петро- лейный эфир | 78,29 | 78,35 | 5,90 | 5,84 | 4,87 | 4,81 |

* При гидролизе 1-(p-карбэтоксип)-4-фенилазетидинона-2 наряду с раскрытием цикла происходит омыление эфирной группы и образуется продукт, содержащий в пара-положении к азоту свободную карбоксильную группу.

** Калиевая соль аминокислоты.

*** Амид аминокислоты.

ВЫВОДЫ

1. Циклизация амидов β-галоидзамещенных кислот в β-лактамы является реакцией второго порядка с механизмом биомолекулярного замещения (1 и 2).

2. Заместители второго рода, введенные в пара-положение арильного остатка, связанного с азотом, ускоряют реакцию, в то время как заместители первого рода замедляют ее; скорость реакции определяется кислотностью исходного амида.

3. Синтез β-лактамов значительно облегчается применением органических растворителей вместо жидкого аммиака.

Институт элементоорганических соединений
Академии наук СССР

Поступило
25.VII.1958

ЛИТЕРАТУРА

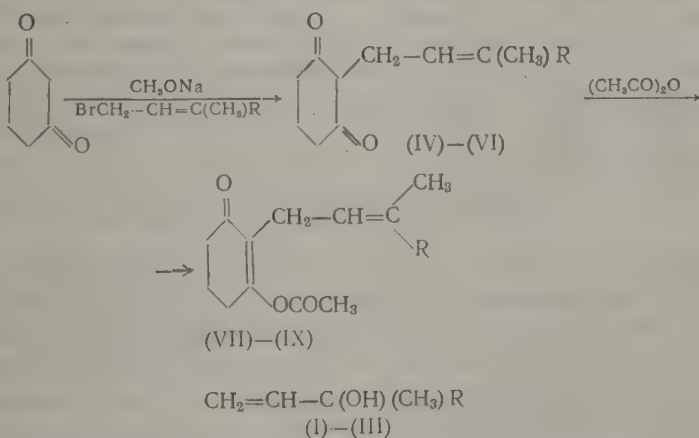
1. И. Л. Кнунянц и Н. П. Гамбарян, Изв. АН СССР. Отд. хим. н. 1955, 1037.
2. В. Хюккель, Теоретические основы органической химии, ИЛ, М., 1955, стр. 252.
3. H. W. Heine, P. Love, J. L. Bove, J. Amer. Chem. Soc. 77, 5420 (1955).

В. Н. ГУНАР, С. И. ЗАВЬЯЛОВ и А. И. КРОТОВ

ХИМИЯ ДИГИДРОРЕЗОРЦИНА

СООБЩЕНИЕ 3. СИНТЕЗ И АНТИГЕЛЬМИНТНОЕ ДЕЙСТВИЕ ПРОИЗВОДНЫХ ДИГИДРОРЕЗОРЦИНА, СОДЕРЖАЩИХ РАЗВЕТВЛЕННЫЕ АЛИФАТИЧЕСКИЕ ЦЕПИ

До настоящего времени в литературе не описаны производные дигидрорезорцина, содержащие длинные разветвленные цепи. Между тем подобные соединения могли бы представить интерес для испытаний на различные виды биологической активности. Нами найдено, что дигидрорезорцин может быть проалкилирован с выходами, ~50% разветвленными аллильными бромидами, полученными ранее Назаровым с сотрудниками [1]. Этим способом нами синтезированы 2-(3',7'-диметил- $\Delta^{2'}$ -октенил) (IV), 2-(3',7'-диметил- $\Delta^{2'}$ -октаденил) (V) и 2-(3',7',11-триметил- $\Delta^{2'}$ -додециленил)-дегидрорезорцины (VI), которые при кипячении с уксусным ангидридом гладко давали соответствующие энолацетаты (VII), (VIII), (IX).



(I), (IV), (VII), R = (CH₂)₃CH(CH₃)₂

(II), (V), (VIII), R = (CH₂)₂CH=C(CH₃)₂

(III), (VI), (IX), R = (CH₂)₃CH(CH₃)(CH₂)₃CH(CH₃)₂

При испытании in vitro на аскаридах свиней (нематоды) по ранее описанной методике [2] соединения (IV) — (IX) проявили в насыщенных растворах (менее чем 1:10000) определенную активность *. Наиболее сильным действием обладает энолацетат (IX), который вызывает у аскарид развитие судорожных сокращений тела, чередующихся с периодами

* Испытания на антигельминтную активность и токсичность препаратов проводились А. И. Кротовым.

депрессии. Подобным действием обладают также такие антигельминтики, как сантонин и пиперазин [3]. По механизму действия на аскарид энولاцетат отличается от указанных препаратов, в связи с чем он представляет особый интерес.

Энолацетат является маслянистой жидкостью с приятным запахом, напоминающим уксус; он почти безвкусен и не оставляет во рту неприятных ощущений. В дозе 5 г на 1 кг веса кошки и белые мыши переносят энولاцетат без видимых патологических изменений, наблюдается только его послабляющее действие, которое позволяет применять препарат без дополнительной дачи слабительного. Энولاцетат испытан при токсокарозе кошек, сифачиозе и трихоцефалезе белых мышей. Из 10 кошек, зараженных токсокарами, при дозе энولاцетата 0,5 г на 1 кг веса полностью освободинлось 9, всего отошло 94% нематод. При сифачиозе и трихоцефалезе мышей препарат давался в дозе по 2,5 г на 1 кг веса, вскрытие леченых и контрольных животных производилось на третий день после лечения. При сифачиозе препарат дан 15 животным, нематоды после лечения обнаружены в количестве трех экземпляров у одной мыши. У 15 контрольных мышей обнаружено 168 сифачий, таким образом можно считать, что отошло 98,2% нематод. При трихоцефалезе препарат дан 10 животным, у леченой группы обнаружено 88 экземпляров трихоцефалид, а у 10 контрольных мышей — 681, таким образом можно считать, отошло 87,1% нематод.

Приведенные данные позволяют заключить, что энولاцетат (IX) может быть эффективным антигельминтиком при аскаридозе, энтеробиозе и трихоцефалезе людей, а также при ряде нематодозов животных. Наибольший интерес представляет возможность его применения при трихоцефалезе, в связи с тем, что для лечения этого заболевания пока не имеется малотоксичных и эффективных средств.

Недавно появилось сообщение о хороших результатах лечения трихоцефалеза людей дитиазанином [4], оказавшимся также высокоэффективным у лабораторных животных при сифачиозе, аскаридозах, стронгилидозах и трихоцефалезе [5]. Применив дитиазанин при трихоцефалезе мышей в дозе по 0,012 г на 1 кг в течение трех дней, мы получили отхождений только 27% нематод.

ЭКСПЕРИМЕНТАЛЬНАЯ ЧАСТЬ

Разветвленные аллильные бромиды получались действием бромистого водорода на соответствующие третичные спирты: 3,7-диметил- Δ^1 -октанол-3 (I) [т. кип. 68—69° (6 мм); n_D^{20} 1,4390], 3,7- $\Delta^{1,6}$ -октадиенол-3 (II) [т. кип. 80—82° (10 мм); n_D^{20} 1,4622] и 3,7,11-триметил- Δ' -додеценол-3 (III) [т. кип. 98—99° (2 мм); n_D^{20} 1,4490] [1]. Аллильные бромиды использовались в реакциях алкилирования без всякой очистки.

2-(3',7',11'-триметил- Δ^2 -додециленил) дигидрорезорцин (VI). В 50,6 г 3,7,11-триметил- Δ^2 -додеценол-3 (III) пропустили 20 г бромистого водорода при -10°, перемешивали 2 часа при комнатной температуре, промыли насыщенным раствором бикарбоната натрия, водой и высушили сернокислым магнием. Полученный аллильный бромид без дальнейшей очистки прибавили к натриевому производному дигидрорезорцина, приготовленному из 25 г дигидрорезорцина и 5,1 г натрия в 250 мл метанола. После стояния в течение 1 часа при комнатной температуре кипятили 2 часа, отогнали метанол, обработали 3%-ным раствором 10 г едкого натра, экстрагировали эфиром; щелочной раствор подкислили разбавленной соляной кислотой, при этом выпало 22,5 г дикетона (VI), который после перекристаллизации из 80%-ного метанола плавился при 74—76°. Найдено: С 78,63; 78,79; Н 11,29; 11,40%. $C_{21}H_{38}O_2$. Вычислено: С 78,70; Н 11,32%.

Энолацетат (IX). Смесь 10,7 г вышеописанного дикетона (VI) и 50 мл

уксусного ангидрида кипятили 1 час, отогнали избыток уксусного ангидрида и остаток разогнали в вакууме. Получено 9,2 г энолацетата (IX) с т. кип. 171—176° (0,05 мм); n_D^{20} 1,4855. Найдено: С 75,65, 75,61; Н 10,41; 10,31%. $C_{22}H_{40}O_3$. Вычислено: С 76,20; Н 10,56%. 2,4-Динитрофенилгидразон, т. пл. 101—102° (из метанола), λ_{\max} 368 мμ (гептан). Найдено: Н 10,51; 10,59%. $C_{22}H_{14}O_6N_4$. Вычислено: Н 10,32%.

Аналогичным способом получались дикетоны (IV), (V) и отвечающие им энолацетаты (VII), (VIII).

2-(3',7'-Диметил-Δ^{2'}-октенил) дигидрорезорцин (IV), т. пл. 91—104° (из 70%-ного метанола). Найдено: С 76,26; 76,32; Н 10,42; 10,41%. $C_{16}H_{26}O_2$. Вычислено: С 76,74; Н 10,47%.

Полученное вещество является, по-видимому, смесью изомеров.

Энолацетат (VII), т. кип. 135—137° (0,05 мм); n_D^{20} 1,4892; выход 65%. Найдено: С 73,72; 73,79; Н 9,52; 9,41%. $C_{18}H_{24}O_3$. Вычислено: С 73,93; Н 9,65%.

2,4-Динитрофенилгидразон, т. пл. 136—136,5° (из метанола); λ_{\max} 368,5 мμ (гептан). Найдено: Н 12,70; 12,95%. $C_{21}H_{32}N_4O_6$. Вычислено: Н 12,41%.

2-(3',7'-Диметил-Δ^{2'},^{6'}-октадиенил) дигидрорезорцин (V), т. пл. 101—104° (из водного метанола). Найдено: С 77,25; 77,05; Н 9,83; 9,85%. $C_{16}H_{24}O_2$. Вычислено: С 77,39; Н 9,74%.

Энолацетат (VIII), т. кип. 140—142° (0,05 мм); n_D^{20} 1,5022; выход 70%. Найдено: С 73,64; 73,63; Н 8,82; 8,76%. $C_{18}H_{26}O_3$. Вычислено: С 74,44; Н 9,02%.

2,4-Динитрофенилгидразон, т. пл. 120—121° (из метанола), λ_{\max} 368 мμ (гептан). Найдено: Н 12,12; 12,16%. $C_{24}H_{30}N_4O_6$. Вычислено: Н 11,90%.

Дикетоны (IV), (V) и (VI) при стоянии легко подвергаются окислению.

ВЫВОДЫ

Осуществлено алкилирование дигидрорезорцина разветвленными аллильными бромидами.

Полученные 2-алкилпроизводные (IV), (V) и (VI), а также их энолацетаты (VII), (VIII) и (IX) обладают антигельминтным действием. Наибольшую антигельминтную активность проявил энолацетат (IX).

Институт органической химии
им. Н. Д. Зелинского
Институт малярии, медицинской
паразитологии и гельминтологии
Минздрава СССР

Поступило
16.VII.1958

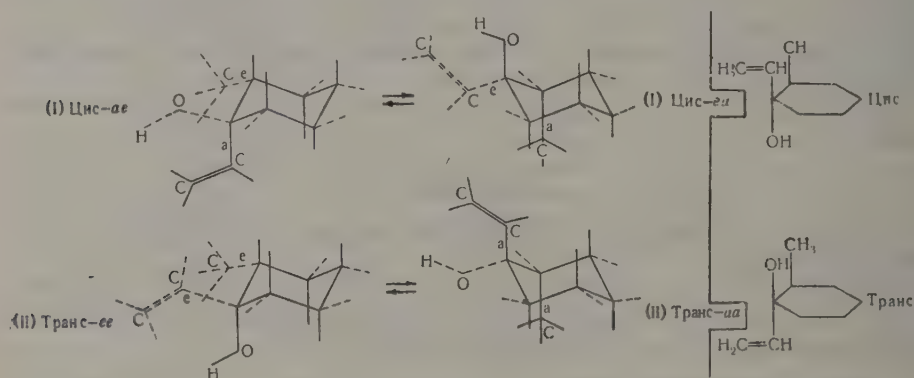
ЛИТЕРАТУРА

1. И. Н. Назаров, Б. П. Гусев и В. И. Гунар, Изв. АН СССР. Отд. хим. н. 1957, 1267.
2. А. И. Кротов, Мед. паразитология и паразитарн. биол., № 5, 387—395 (1953); № 2, 99 (1955).
3. А. И. Кротов, Мед. паразитология и паразитарн. биол., № 2, 185—193 (1957); Мед. паразитология и паразитарн. биол., № 3, 284 (1957).
4. M. C. McCowen, M. E. Collender, M. C. Brandt, Amer. J. Trop. Med. a. Hyg. 6, N 5, 894 (1957).
5. N. W. Frey, C. Swarzwelder, R. Lampert, S. H. Abadie, C. B. Carson, Amer. J. Trop. Med. a. Hyg. 6, N 5, 890 (1957).

М. И. БАТУЕВ, А. А. АХРЕМ и А. Д. МАТВЕЕВА

ОПТИЧЕСКОЕ ИССЛЕДОВАНИЕ НЕКОТОРЫХ ЗАМЕЩЕННЫХ ЦИКЛОГЕКСАНОЛОВ И ИХ АЦЕТАТОВ

Различие осевых (*a*) и экваториальных (*e*) замещений в циклогексановом кольце показывает, что в действительности число возможных изомеров в ряду дизамещенных циклогексанолю больше, чем это допускалось ранее представлениями о цис-транс-изомерии. В соответствии с этим, например для 2-метил-1-винилциклогексанола, следует ожидать при креслообразной форме циклогексанового кольца * две цис-конформации (*ae*, *ea*) и две транс-конформации ** (*aa*, *ee*), вместо одной цис- и одной транс-конфигурации, предсказываемых прежними представлениями о цис-транс-изомерии [1].



В силу неодинаковой степени устойчивости разных конформаций, а также вследствие некоторых других факторов далеко не все из возможных конформаций осуществляются и в действительности в газообразной и жидкой фазах преобладают лишь устойчивые из них — преимущественные [1]; в кристаллическом состоянии, по-видимому, имеется лишь одна конформация. Физические свойства и реакционная способность функциональной группы зависят от положения ее в конформации — осевого или экваториального. Это положение иногда удается установить химическим путем, но часто это под силу только физическим методам исследования.

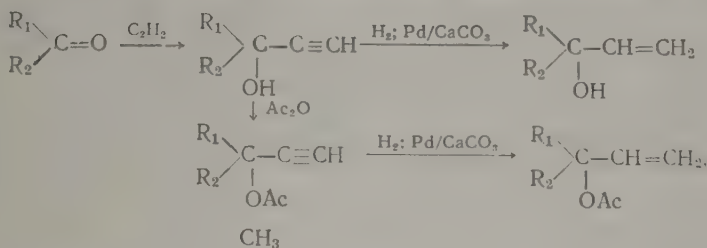
ЭКСПЕРИМЕНТАЛЬНАЯ ЧАСТЬ

В настоящей работе нами предпринято оптическое определение конформаций: цис- и транс-2-метил-1-винилциклогексанолю (I), (II), их ацетатов (III) и (IV), ацетатов (V) и (VI), полученных из цис- и транс-

* В таутомерной смеси с креслообразной формой циклогексана и его замещенных существует ваннообразная их форма, содержание которой при комнатной температуре весьма незначительно, но оно растет с повышением температуры [1].

** В статье конформации определяются по взаимному положению наибольших заместителей, в данном случае — метильной и винильной групп.

2-метил-1-этинилциклогексанолю, винилциклогексанолю (VII) и его ацетата (VIII), этинилциклогексанолю (IX) и его ацетата (X). Ацетиленовые спирты, полученные по реакции Фаворского, гидрировались над палладиевым катализатором до соответствующих виниловых спиртов. Часть ацетиленовых спиртов ацетилировалась и затем подвергалась селективному гидрированию до соответствующих этиленовых ацетатов. Ацетиленовые спирты предварительно разделялись на цис- и транс-изомеры в случаях, где имела место цис-транс-изомерия. Схема синтеза [2]:



где $R_1, R_2 = CH_2(CH_2)_3CH_2$ и $-CH(CH_2)_3CH_2-$

Физические свойства полученных соединений приведены в табл. 1.

Таблица 1

Физические свойства исследуемых орто-гем- и гем-замещенных циклогексанов

| Номер соединения | Наименование соединения | Т. кип. в °C (р в мм рт. ст.) | d_4^{20} | n_D^{20} | MR | |
|------------------|------------------------------------------------|----------------------------------|------------|------------|--------------|----------------|
| | | | | | най- дено | вычис- лено |
| I | Цис-2-метил-1-винилциклогексанол | 70—71 (9) | 0,9398 | 1,4780 | 42,17 | 42,74 |
| II | Транс-2-метил-1-винилциклогексанол | 67—68 (10) | 0,9318 | 1,4745 | 42,26 | 42,74 |
| III | Ацетат цис-2-метил-1-винилциклогексанола | 85—86 (12) | 0,9786 | 1,4620 | 51,12 | 52,18 |
| IV | Ацетат транс-2-метил-1-винилциклогексанола | 86—87 (11) | 0,9752 | 1,4605 | 51,16 | 52,18 |
| V | Ацетат из цис-2-метил-1-этинилциклогексанола | 88—89 (9) | 0,9991 | 1,4657 | 49,87 | 50,39 |
| VI | Ацетат из транс-2-метил-1-этинилциклогексанола | 85 (9) | 0,9897 | 1,4650 | 50,69 | 50,39 |
| VII | 1-Винилциклогексанол | 58—59 (8) | 0,9890 | 1,4750 | 36,02 | 38,12 |
| VIII | Ацетат винилциклогексанола | 71—72 (8) | 0,9820 | 1,4590 | 48,03 | 47,37 |
| IX | 1-Этинилциклогексанол | 61—62 (8) | 1,0070 | 1,4810 | 35,04 | 36,52 |
| X | Ацетат этинилциклогексанола | 79—80 (8) | 1,0068 | 1,4658 | 45,65 | 45,77 |

Спектры комбинационного рассеяния света снимались в жидкой фазе на отечественном спектрографе ИСП-51 со средней камерой и на спектрографе Хильгера Е 612 от возбуждающей синей линии 4358 Å ртутной лампы*:

цис-2-метил-1-винилциклогексанол (I), $\Delta\nu$ см⁻¹: 170(1), 181(1), 251(2дв), 273(3*), 284(3*), 299(2дв), 363(3), 353(2р), 376(3ш), 433(4*), 443(4р*), 452(4*), 499(6дв, ш), 532(0*), 546(3*ш), 566(0**), 579(3**), 680(2**), 695(9*), 711(2*), 801(3), 821(2р), 839(5р), 865(4), 890(1), 925(3*), 936(1*), 957(2), 981(6*), 998(6*), 1014(1*), 1043(2**), 1056(3**), 1081(4**), 1113(1**), 1137(1**), 1155(5**), 1177(5**), 1222(3дв), 1261(7ш*), 1278(1*), 1303(7ш), 1333(1*), 1343(3*), 1355(3*), 1414(2), 1443(10*), 1455(6*), 1469(3*), 1633(9**), 1643(5**), 1654(3**), 2101(1), 2263(2ш), 2857(7*), 2872(4*), 2895(3р*), 2931(10*ш, дв), 2984(3*), 3022(3*), 3089(3), 3293(0), 3320—3560(4, полоса), 3590(0), 3602(3), 3616(1), 3622(0). (Имеются остатки исходного цис-2-метил-1-этинилциклогексанола; линии этих остатков: 2101, 3293 и др.).

* Обозначения при интенсивностях: ш — широкая линия, р — резкая линия, дв — двойная линия; звездочками обозначены линии, расположенные на фоне, общем с соседними линиями, обозначенными тем же числом звездочек.

транс-2-метил-1-винилциклогексанола (II) $\Delta\nu$ см⁻¹: 165(0), 175(0), 243(3*), 257(3*), 276(2*), 287(3*), 299(3*), 319(2), 354(1), 377(4), 425(4), 460(7), 496(4*), 511(4*), 548(3**ш), 567(3**ш), 594(4**ш), 693(3), 713(8), 803(3), 831(6), 865(4), 893(1), 920(4), 961(4*), 979(5*), 997(6*), 1063(6), 1082(1), 1098(2*), 1113(2*), 1122(2*), 1158(5**), 1184(3**), 1224(4), 1264(6ш), 1298(6ш), 1349(5ш), 1409(5ш), 1436(8*р), 1446(8*р), 1456(3*р), 1468(3*), 1633(1), 1644(9), 1655(1), 2104(1), 2659(1ш), 2852(8*), 2867(8*), 2903(3*), 2921(10*), 2938(10*), 2964(3*), 2982(3*), 3009(7), 3089(3), 3314(0), 3410—3560(4, полоса), 3591(0), 3601(1), 3616(3), 3623(0). (Имеются остатки исходного транс-2-метил-1-этинилциклогексанола; линии этих остатков: 2104, 3314 и др.).

Ацетат цис-2-метил-1-винилциклогексанола (III) (смесь конформаций транс-е_е, транс-а_а и др.), $\Delta\nu$ см⁻¹: 96(1), 128(1), 185(1), 293(3), 242(0), 256(3), 278(3), 319(4), 334(5*), 342(5*), 352(1), 363(1), 374(3), 416(3), 434(4), 469(3), 488(3*), 501(3*), 510(3*), 558(2), 574(2), 592(4), 614(1*), 630(2*), 644(4*), 653(3*), 674(3дв), 704(3дв), 737(1), 755(1), 792(4*), 803(4*), 812(4*), 823(4*), 859(7**), 867(3**), 957(1р), 969(5*), 980(5*), 992(5*), 1002(7*), 1015(2*), 1063(5*), 1093(4*), 1104(2*), 1127(3**), 1151(5**), 1164(6**), 1177(6**), 1194(0), 1228(3*), 1270(7*), 1280(4*), 1301(7**), 1313(7**), 1348(3*), 1418(3ш, дв), 1443(8*), 1453(8*), 1463(3*), 1473(5*), 1632(1**), 1637(6**), 1646(5**), 1655(1**), 1722(1*), 1734(3*), 1744(3*), 1753(1*), 2100(1**), 2113(3**), 2126(1**), 2858(6*дв), 2899(1*), 2911(2*), 2932(10*), 2943(10*), 2956(4*), 2981(4*), 3011(4*), 3025(3*), 3038(3*), 3076(1**), 3088(3**), 3101(3**), 3262(1*), 3283(1*), 3306(2*), 3314(1*). (Имеются остатки этинильных соединений; линии этих остатков: 2100, 2113, 2126, 3262, 3283, 3306, 3314 и др.).

Ацетат транс-2-метил-1-винилциклогексанола (IV) (смесь конформаций цис-е_а, цис-а_е и др.), $\Delta\nu$ см⁻¹: 89(6ш), 126(2), 196(1), 217(3*), 229(3*), 247(3*), 262(3*), 274(3*), 312(2*), 340(1**), 372(3*), 380(3*), 395(1), 434(4дв), 465(6дв), 484(2), 510(3дв), 529(1), 546(1), 562(4), 574(3), 596(1), 611(7*), 619(6*), 628(5*), 636(2*), 645(3*), 654(3*), 722(1**), 737(4**), 751(3**), 793(5дв), 832(6), 860(5дв), 869(2), 878(6), 886(2), 908(6), 924(3дв), 950(2), 960(2р), 977(3*), 988(3*), 999(7*), 1008(1*), 1058(1), 1073(6ш, дв), 1114(1), 1129(2), 1143(5дв), 1163(5*), 1180(4*), 1212(1), 1274(7ш), 1305(6ш), 1331(1*), 1344(2*), 1353(5*), 1419(6), 1436(3*р), 1444(8*), 1451(6*), 1461(3*), 1470(2*), 1479(1*р), 1630(1**), 1637(6**), 1645(5**), 1724(1), 1734(2*), 1743(4*), 1752(1), 2103(1**), 2113(5**), 2122(1*), 2772(3*), 2859(6*дв), 2895(3*), 2917(3*), 2930(10*), 2942(8*), 2972(6*), 2984(6*), 3016(5*), 3030(5*), 3081(4**), 3094(6**), 3102(1**), 3271(0*), 3284(0*), 3305(0*), 3314(1*). (Имеются остатки этинильных соединений, линии этих остатков: 2103, 2113, 2122, 3271, 3284, 3305, 3314 и др.).

Ацетат из цис-2-метил-1-этинилциклогексанола (V) (смесь конформаций транс-е_е, транс-а_а и др.), $\Delta\nu$ см⁻¹: 85(2*), 101(2*), 116(3**), 124(3**), 134(3**), 157(3*), 172(2*), 182(1*), 219(1**), 229(3*дв), 243(1**), 253(3**), 263(0), 273(0), 304(0), 317(3*дв), 342(3*дв), 375(3), 390(0), 413(3дв), 433(3), 465(4), 523(2), 557(4*дв), 570(1*), 585(0р), 631(1*р), 637(2*р), 644(6*), 651(4*), 722(3дв), 803(3), 820(2*), 836(2*), 854(6*р), 861(6*р), 877(0), 908(4), 936(3дв), 962(1), 984(4*), 996(6*), 1006(3*), 1021(1), 1044(0), 1064(5), 1095(2), 1127(6дв), 1171(6ш, дв), 1228(6*), 1237(2*), 1249(1*), 1269(5**), 1280(2**), 1332(1), 1345(5*), 1356(5*), 1443(8**), 1451(8**), 1459(4**), 1473(2**), 1721(1*), 1732(2*), 1742(3*), 1754(1*), 2096(1**), 2105(10**), 2118(9**), 2129(1*), 2853(5*дв), 2901(4*), 2916(4*), 2931(10*), 2940(10*), 2965(2*), 2979(3*), 2990(2*), 3064(1**), 3077(3**), 3101(1**), 3267(1*), 3286(1*), 3304(4*), 3316(2*).

Ацетат из транс-2-метил-1-этинилциклогексанола (VI) (смесь конформаций цис-а_а, цис-а_е и др.), $\Delta\nu$ см⁻¹: 89(1), 118(1), 129(1), 136(0), 159(0), 177(0), 207(0), 220(3), 233(1), 243(1*), 250(3*), 262(1*), 312(1), 332(2), 372(2), 396(4), 449(0), 465(4), 485(2), 510(1), 572(4дв), 606(0), 615(1*), 624(7*), 633(1*), 646(2), 659(0), 670(2), 695(1), 725(1), 743(3дв), 761(1), 791(3*), 803(1*), 821(1**), 829(6**), 839(1**), 865(2*), 879(2*), 891(2*), 908(5дв), 965(1), 979(3*), 993(1*р), 1003(5*), 1014(2*), 1045(3), 1061(1*), 1077(3*), 1120(2), 1141(1), 1156(1), 1168(2*), 1173(2*), 1235(2), 1247(1), 1260(2), 1273(6дв), 1322(1), 1331(1), 1345(4*р), 1360(4*р), 1420(1), 1439(8*), 1449(8*), 1456(3*), 1467(3*), 1725(1**), 1733(3**), 1744(4**), 1753(1**), 2097(1*), 2107(10*), 2117(9*), 2126(1*), 2851(6), 2864(6), 2916(2*), 2929(10*), 2941(10*), 2950(10*), 2968(3*), 2986(3*), 3003(1*), 3064(1**), 3082(3**), 3104(1**), 3271(1*), 3289(1*), 3305(3*), 3317(1*).

1-Винилциклогексанола (VII), $\Delta\nu$ см⁻¹: 163(1), 213(2*), 231(2*), 245(2*), 278(4**), 290(4**), 299(2**), 310(5**), 339(0), 371(4*), 386(1*), 425(4ш, дв), 478(1), 490(1), 516(4), 537(0), 558(0), 571(2*), 586(0*), 598(0), 606(2), 658(2), 700(4*дв), 717(4*р), 727(9*), 823(2**), 835(8**), 852(3), 905(3*), 921(3*), 940(4*), 958(5*), 968(5*), 1022(7**), 1035(7**), 1055(7*р), 1065(7*р), 1079(4**), 1152(4*дв), 1173(4*), 1185(4*), 1223(2), 1269(9ш, дв), 1301(7), 1349(6), 1405(6*), 1418(6*), 1430(7*р), 1438(10*р), 1447(10*р), 1465(2*), 1632(9**), 1643(6**), 2666(3*), 2681(2*), 2806(2*), 2857(6*), 2893(5*), 2936(10**ш), 2981(1), 3009(4ш), 3089(3ш), 3265(2), 3290—3560(3, полоса), 3580(1*), 3600(3*), 3615(2*), 3626(0*).

Ацетат винилциклогексанола (VIII), $\Delta\nu$ см⁻¹: 155(1), 169(1), 204(0), 216(3*), 226(4*), 276(1**), 287(5**), 298(4**), 338(0р), 357(5*), 367(6*), 377(5*), 411(2), 444(3*), 454(3*), 473(3**), 481(3**), 506(1*р), 513(3*), 525(3*), 532(3*), 547(3*), 564(3**), 579(2**), 605(2*), 614(6*), 625(5*), 642(4*), 654(1), 667(6ш, дв), 711(0), 726(0), 736(6*), 744(6*), 755(2*), 770(2**), 782(3**), 818(8р), 819(8р), 882(2), 892(6), 910(2),

927(2), 945(4*), 959(4*), 1013(2*), 1034(9*), 1074(5дв), 1114(0), 1134(5*), 1144(5*), 1155(5*), 945(4*), 959(4*), 1013(2*), 1034(9*), 1074(5дв), 1114(0), 1134(5*), 1144(5*), 1155(5*), 1166(1), 1264(4* дв), 1280(9* дв), 1309(5), 1328(0), 1337(1), 1350(4дв), 1370(0), 1415(7), 1436(6*), 1449(10*), 1456(1*), 1468(1*), 1634(9**), 1644(8**), 1652(1**), 1723(1*), 1732(4*), 1742(4*), 1750(1*), 2103(1**), 2111(3**), 2122(1**), 2630(1), 2653(2), 2679(1), 2830(1*), 2848(4*р), 2857(6*), 2866(9*), 2894(4*), 2903(3*), 2933(10*р), 2944(10*р), 2977(4*), 2988(4*), 3002(0*), 3017(8*), 3030(3*), 3089(5**), 3096(2**), 3103(1**), 3265(0*), 3286(0*), 3303(1*), 3321(0*). (Имеются остатки этилильных соединений; линии этих остатков: 2103, 2111, 2122, 3265, 3286, 3303, 3321 и др.).

1-Этилициклогексанол (IX), $\Delta\nu$ см⁻¹: 75(1), 85(1), 130(7*), 161(9*ш, дв), 171(*), 215(7**ш, дв), 224(1**), 256(6), 314(1), 334(6*), 349(1*), 381(5), 431(5), 459(5), 526(4), 539(0), 555(4), 613(6*), 629(2*), 640(2*), 650(2*), 678(9*), 714(5), 752(1), 790(2), 829(7*), 837(2*), 854(5), 905(4), 947(4), 967(4), 1035(8), 1061(7*), 1075(2*), 1086(2*), 1139(3), 1164(4*дв), 1183(3*), 1264(7**), 1279(3**), 1317(2), 1340(5*), 1352(5*), 1438(10**), 1449(10**), 1468(2**), 1704(1), 2100(10*), 2118(9*), 2656(2**), 2668(2*), 2684(2**), 2856(10*), 2864(10*), 2923(6*), 2938(10*), 2956(10*), 2968(3*), 3268(0*), 3286(2**), 3305(4*), 3316(3**), 3250—3590(2, полоса), 3566(1), 3596(3), 3611(2), 41704 обортон от 854).

Ацетат этилициклогексанола (X), $\Delta\nu$ см⁻¹: 76(1), 86(1), 132(4*), 164(4*), 176(2*), 222(5*), 254(3**), 285(0), 301(7), 326(3дв), 355(1), 399(3), 433(3), 447(3), 479(1), 510(2), 532(1), 546(3дв), 566(5), 637(6), 668(8), 686(0), 705(0), 716(1*), 727(3*), 746(3*), 820(3), 832(5), 849(4), 880(5*), 892(4*), 917(1**), 930(1**), 940(0), 951(3*), 963(3*), 1009(1), 1020(5*), 1029(10*р), 1039(5*), 1074(6), 1103(2*), 1118(2*), 1133(2**), 1144(2**), 1155(2**), 1202(12), 1265(5*), 1279(5*), 1320(0), 1349(4), 1433(2*), 1448(8*ш), 1468(1*), 1732(5**), 1745(6*), 1755(1*), 2104(10*), 2115(9*), 2124(3*), 2831(0), 2851(5*), 2867(5*), 2879(1*), 2926(3*), 2942(10*), 2956(3*), 2986(3*дв), 3263(1*), 3282(1**), 3303(3**), 3316(2**).

ОБСУЖДЕНИЕ РЕЗУЛЬТАТОВ

Как нами отмечалось в предыдущих работах [1], пульсирующая частота транс-орто-замещенных циклогексанов, как правило, выше, чем у соответствующих цис-орто-замещенных. У исследуемых соединений (I) и (II) в области частот пульсирующих колебаний креслообразной формы циклогексанового кольца наблюдается по две частоты, каждая из них по интенсивности резкая в спектре одного вещества и ослаблена в спектре другого. Интенсивная частота наиболее высокая [713(8)] у (II), что указывает на транс-конфигурацию этого соединения, тогда как (I) с более низкой интенсивной частотой [695(9)] обладает в согласии со сказанным выше цис-конфигурацией. Ослабленные по интенсивности частоты свидетельствуют о наличии подмеси одного вещества в другом (см^{-1}):

- (I) Цис-2-метил-1-винилциклогексанол 695(9), 711(2)
(II) Транс-2-метил-1-винил-циклогексанол 693(3), 713(8)

Цис-соединение может существовать в двух конформациях — *ae* и *ea*, транс-соединение — также в двух конформациях — *aa* и *ee* (см. схемы в начале статьи). Из общих соображений энергетически выгодными из этих конформаций представляются конформации с экваториальным положением наибольших заместителей в кольце (в данном случае — винильной и метильной групп). В цис-соединении такой конформацией является *ea*, в транс-соединении — *ee*. Однако различного рода факторы (например образование межмолекулярной водородной связи и т. п.) могут внести те или иные коррективы в это положение, что, по-видимому, имеет место и в рассматриваемом случае.

Соединения (I) и (II) образуют межмолекулярную водородную связь, о чем свидетельствует размытая в полосу и смещенная в низкочастотную сторону спектра частота колебания гидроксильной группы (фиг. 1). С высокочастотной стороны этой полосы имеются отдельные линии, относящиеся к частотам колебаний как концевых гидроксильных ассоциированных комплексов, так и не включенных в водородную связь отдельных молекул. Как нами показано [1], частота колебаний экваториального гид-

роксила ниже частоты колебаний осевого гидроксила, а под влиянием межмолекулярной водородной связи размытая полоса частоты экваториального гидроксила шире и более значительно смещена в сторону низких частот, чем у осевого гидроксила. В спектрах соединений (I) и (II) более размыта в полосу и более смещена в низкочастотную сторону частота колебаний гидроксильной группы у цис-соединения (I), чем у транс-соединения (II): у (I) полоса расположена в интервале $\sim 3320\text{—}3560\text{ см}^{-1}$, ширина ее составляет $\sim 240\text{ см}^{-1}$, у (II) полоса расположена в интервале $\sim 3410\text{—}3560\text{ см}^{-1}$, ширина ее составляет $\sim 150\text{ см}^{-1}$. Частота наиболее интенсивной линии с высокочастотной стороны полосы гидроксильной группы более низкая (3602 см^{-1}) у соединения (I), чем у соединения (II) (3616 см^{-1}). В соответствии со сказанным выше преимущественной конформацией в (I) является конформация *ae* с экваториальным положением гидроксила, в (II) — конформация *ee* с осевым положением гидроксила. Подмеси конверсионных изомеров [*ea* в (I) и *aa* в (II)] невелики, если учесть, что подмесь (II) в (I) и (I) в (II) также сказывается в наличии в спектре (I) более слабой по интенсивности частоты 3616 см^{-1} (эпимера *ee*), а в спектре (II) слабой по интенсивности частоты 3601 см^{-1} (эпимера *ae*):

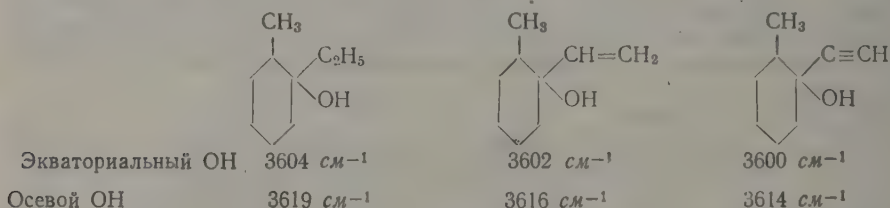
Конформация *ae* в (I)
(экваториальный гидроксил)
 $3602(3)\text{ см}^{-1}$

Конформация *ea* в (I)
(осевой гидроксил)
 $3616(1)\text{ см}^{-1}$

Конформация *ee* в (II)
(осевой гидроксил)
 $3616(3)\text{ см}^{-1}$

Конформация *aa* в (II)
(экваториальный гидроксил)
 $3601(1)\text{ см}^{-1}$

Отметим, что характер замещения при углероде, несущем гидроксильную функцию, усиливает кислые свойства гидроксила в ряду от 2-метил-1-этилциклогексанола к 2-метил-1-этинилциклогексанолу, что проявляется в снижении частоты колебаний гидроксила [1]:



Химически это сказывается на увеличении скорости ацетилирования в той же последовательности, при этом экваториальный гидроксил (более кислый и характеризующийся в связи с этим более низкой частотой колебаний) ацетируется легче осевого [2]. Подмеченная закономерность находится в согласии с данными, опубликованными ранее по кинетике гидролиза сложных эфиров ацетиленовых спиртов [3].

Рассматривая (I) и (II) как замещенные этилены, можно заключить, что циклогексановое кольцо относится к той группе заместителей, которые повышают частоту колебаний двойной связи в этилене, причем в случае экваториального положения винильного радикала это повышение более значительно (конформация *ee* — $1644(9)\text{ см}^{-1}$), чем в случае осевого (конформация *ae* — $1633(9)\text{ см}^{-1}$). Наличие каждой из этих частот с ослабленной интенсивностью в спектре другого образца [$1643(5)$ в (I) и $1633(1)$ в (II)] указывает на подмесь их друг в друге, а также на возможное наличие в незначительном количестве в (I) конверсионного изо-

мера *ea*, а в (II) — в весьма незначительном количестве конверсионного изомера *aa* (фиг. 2):

Конформация *ae* в (I)
(осевой винил)
1633(9) см^{-1}

Конформация *ee* в (II)
(экваториальный винил)
1644(9) см^{-1}

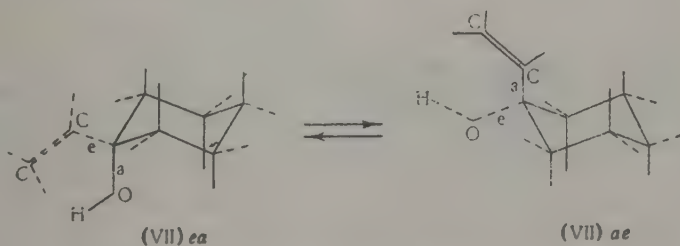
Конформация *ea* в (I)
(экваториальный винил)
1643(5) см^{-1}

Конформация *aa* в (II)
(осевой винил)
1633(1) см^{-1}

Отметим, что в спектре (I) частота 711 (2) ослаблена по интенсивности в большей степени, чем частота 1643 (5), а в спектре (II), напротив, частота 1633 (1) ослаблена по интенсивности в большей степени, чем 693 (3). Это обстоятельство указывает, по-видимому, на то, что в (I) преобладающие конформации появились, главным образом за счет конверсии $ea \rightleftharpoons ae$, а в (II), главным образом за счет подмеси в нем (I).

Спектры растворов (I) и (II) в четыреххлористом углероде (10% по объему) показывают, что межмолекулярные водородные связи в этих условиях рвутся: размытая полоса O—H в спектре исчезает, остается практически одна линия с высокочастотной стороны этой полосы, относящаяся к гидроокислам мономерных молекул. В спектре раствора (I) сохраняются частоты 3602 см^{-1} и 1633 см^{-1} (частоты 3616 и 1643 см^{-1} теряются в фоне), а в спектре раствора (II) сохраняются частоты 3616 и 1644 см^{-1} (частоты 3601 и 1633 см^{-1} теряются в фоне). Отсюда следует, что указанное растворение, приводящее к разрыву межмолекулярных водородных связей, не приводит к существенной конверсии уже имевшейся преимущественной конформации *ee* в (II) (для этой конверсии нет существенных оснований ввиду значительной энергетической предпочтительности конформации *ee* сравнительно с *aa*), как и к существенной конверсии преимущественной конформации *ae* в (I).

Отметим, что в 1-винилциклогексаноле (VII) возможны две конформации — *ea* (—CH=CH₂ экваториальный, OH — осевой) и *ae* (—CH=CH₂ осевой, OH — экваториальный),



Казалось бы, что по правилу Бартон в данном случае должна резко преобладать конформация *ea*. Однако сдвоенность частот колебаний винильной группы и не включенных в водородную связь гидроксильных групп при близости интенсивностей этих раздвоенных частот указывает на то, что в (VII) присутствуют обе конформации в значительных количествах, причем конформация *ae* все же несколько более предпочтительна, на что указывает несколько большая интенсивность частот колебаний связей C=C и O—H (не включенных в водородную связь) в конформации *ae* сравнительно с конформацией *ea* (см^{-1}):

| | Конформация <i>ea</i> в (VII) (винил экваториальный, гидроксил осевой) | Конформация <i>ae</i> в (VII) (винил осевой, гидроксил экваториальный) |
|---------------------------------------------|------------------------------------------------------------------------------|------------------------------------------------------------------------------|
| C=C | 1643 (6) | 1632 (9) |
| O—H (не включенный в водород- ную связь) | 3615 (2) | 3600 (3) |

Некоторое преобладание конформации *ae* в нарушение правила Бартонса определяется, вероятно, более сильной межмолекулярной водородной связью при экваториальном положении гидроксильной группы [1]. Пото-сы гидроксильных групп, включенных в водородную связь, присутствующих в (VII) обеих конформаций, накладываются друг на друга, охватывая область $3290\text{--}3560\text{ см}^{-1}$ (фиг. 3).

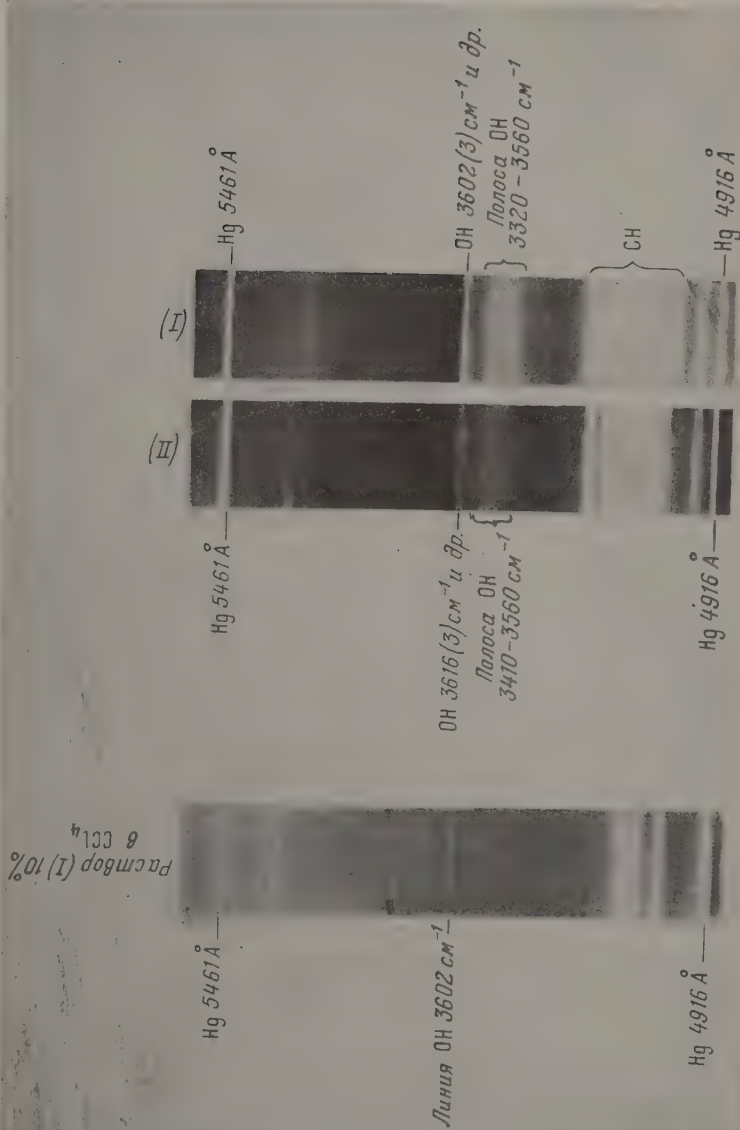
В спектрах ацетатов (III) и (IV) в характеристической области частот колебаний карбонильной группы имеются две сравнительно интенсивные частоты ~ 1733 и $\sim 1743\text{ см}^{-1}$, расположенные на общем фоне, причем частота 1743 см^{-1} несколько более интенсивная, чем 1733 см^{-1} . В области частот этиленовой связи в спектрах (III) и (IV) имеются также по две частоты, расположенные на общем фоне ~ 1637 и 1647 см^{-1} , причем несколько более интенсивной частотой как у (III), так и у (IV) является частота $\sim 1637\text{ см}^{-1}$.

Согласно изложенному выше, при исследовании (I) и (II), а также [1] карбонильная группа и этиленовая связь экваториально расположенных заместителей характеризуются более высокими частотами колебаний, чем когда эти заместители находятся в осевом положении. Отсюда можно заключить, что в несколько преимущественной конформации как в (III), так и в (IV) заместитель — O—CO—CH_3 находится в экваториальном положении, а заместитель — CH=CH_2 — в осевом. Каковы же эти конформации?

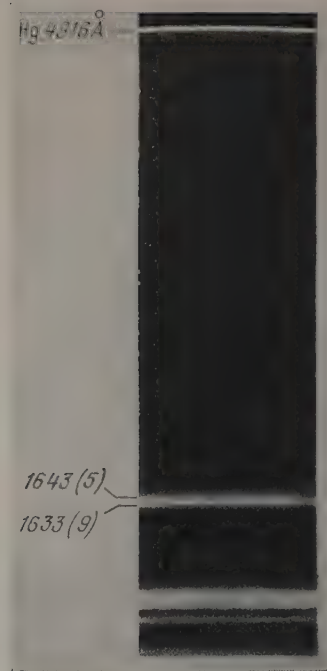
При получении (III) путем ацетилирования *цис*-2-метил-1-этинилциклогексанола с преимущественной в нем конформацией *ae* с последующим селективным гидрированием тройной связи до двойной в (III) новый наибольший заместитель (O—CO—CH_3), занимая место гидроксила в конформации *цис*-*ae* исходного вещества, оказывается в ацетате (III) уже в экваториальном положении. Но конфигурация определяется нами по взаимному положению наибольших заместителей, а таковыми в (III) в орто-положении являются заместители — O—CO—CH_3 и — CH_3 . Следовательно, (III) необходимо рассматривать уже как соединение, имеющее не *цис*-, а *транс*-конфигурацию с преимущественной в ней конформацией *ee*. Преимущественное значение *ee* в (III) соответствует полученным оптическим данным и правилу Бартонса [1].

При получении (IV) путем ацетилирования *транс*-2-метил-1-этинилциклогексанола с преимущественной в нем конформацией *ee* с последующим селективным гидрированием тройной связи до двойной в (IV) новый наибольший заместитель (—O—CO—CH_3), занимая место гидроксила в конформации *транс*-*ee* исходного вещества, оказался бы в (IV) в осевом положении. По правилу Бартонса, эта конформация с осевым положением наибольшего заместителя оказывается неустойчивой и должна конвертироваться в конформацию *aa*, если определять ее по прежним заместителям — винильной и метильной группам. Но конфигурация определяется нами по взаимному положению наибольших заместителей в (IV), а таковыми в (IV) в орто-положении оказываются заместители — O—CO—CH_3 и CH_3 . Поэтому (IV) следует рассматривать как соединение с конформацией *ea* *цис*-конфигурации; преимущественное значение этой конформации в (IV) соответствует полученным оптическим данным и правилу Бартонса.

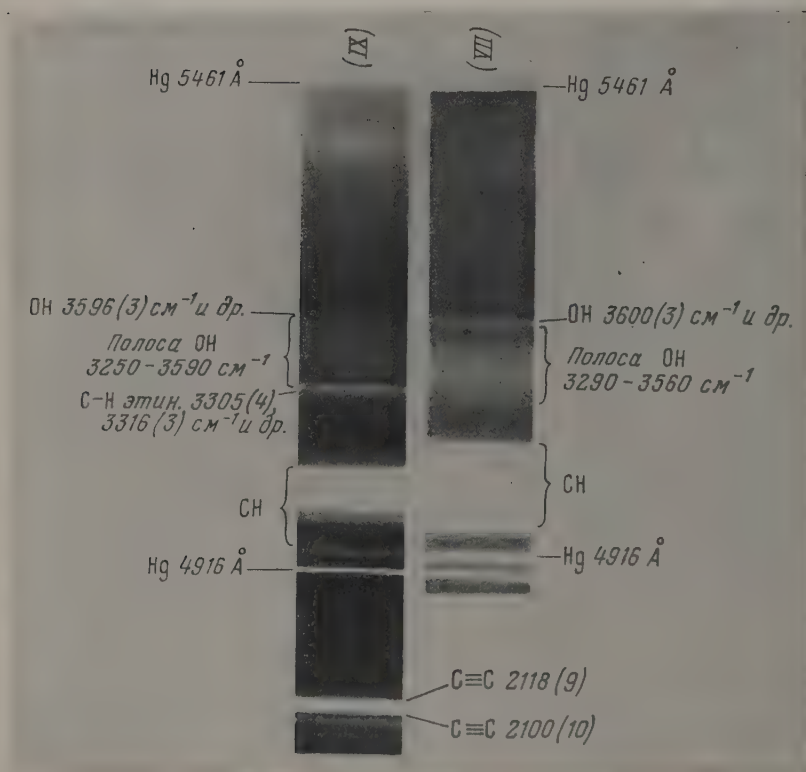
Как показывают приведенные выше оптические данные, в (III) и (IV) кроме несколько более преимущественных конформаций в значительном количестве присутствуют другие — с осевым положением заместителя — O—CO—CH_3 [в (III) и (IV) частоты $\sim 1734\text{ см}^{-1}$] и с экваториальным положением заместителя — CH=CH_2 [в (III) и (IV) частоты $\sim 1647\text{ см}^{-1}$]. Ими могут быть как в (III), так и в (IV) конформации *транс*-*aa*, *цис*-*ae*. Каковы причины их появления в данном случае? Прежде всего следует отметить, что в исследуемом случае разница в величине групп — CH=CH_2 и — O—CO—CH_3 не настолько резкая (вер-



Фиг. 1 Спектры комбинационного рассеяния света *цис*-2-метил-1-винилциклогексанола (I), *транс*-2-метил-1-винилциклогексанола (II) и раствора (I) 10% в CCl_4 в области гидроксильной группы



Фиг. 2. Спектр комбинационного рассеяния света цис-2-метил-1-винилциклогексанола (I) в области двойной связи



Фиг. 3. Спектры комбинационного рассеяния света 1-винилциклогексанола (VII) и 1-этинилциклогексанола (IX)

нее, ни одна из этих частиц не настолько мала по сравнению с другой), чтобы правило Бартона не нарушалось; оказывающийся в осевом положении наибольший заместитель в результате ацетилирования осевого гидроксила не обязательно вызывает конверсионный переход в изомер с экваториальным положением наибольшего заместителя; напротив, оказывающийся в экваториальном положении наибольший заместитель в результате ацетилирования экваториального гидроксила вследствие тех или иных флюктуаций в условиях его существования может в данном случае переходить путем конверсии в изомер с осевым положением наибольшего заместителя.

Кроме того, ацетилируемые исходные вещества при получении как (III), так и (IV) существуют не строго в одной конформации, а с подмесью соответствующих эписмеров и конверсионных изомеров [1]. В результате всего этого при указанной в данном случае не строгой выполнимости правила Бартона и происходит как в (III), так и в (IV), наряду с образованием несколько более преимущественных конформаций, также и конформаций *цис-ae* и *транс-aa* (см^{-1}):

Конформация *транс-ee* в (III)
($-\text{O}-\text{CO}-\text{CH}_3$ экваториаль-
ный, $-\text{CH}=\text{CH}_2$ осевой)

$\text{C}=\text{O}$ 1744 (3)
 $\text{C}=\text{C}$ 1637 (6)

Конформация *транс-aa* в (III)
($-\text{O}-\text{CO}-\text{CH}_3$ осевой,
 $-\text{CH}=\text{CH}_2$ экваториальный)

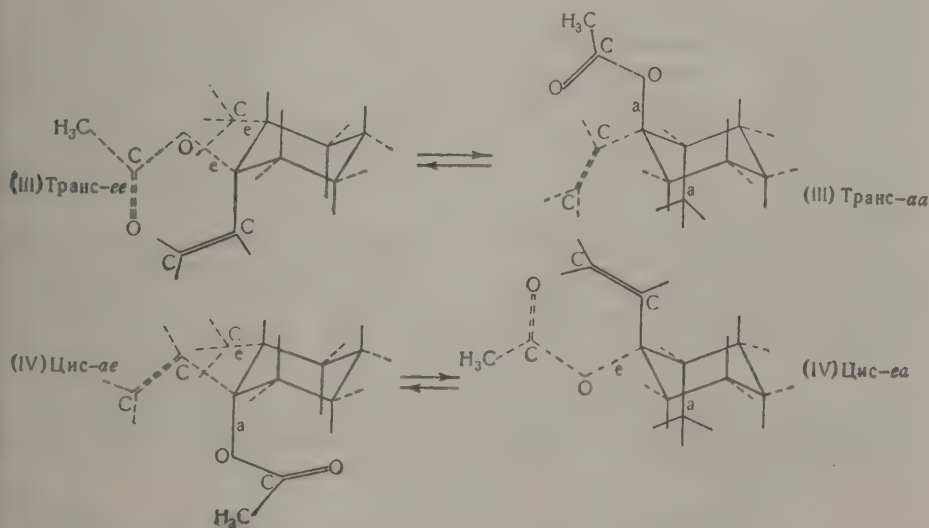
1734 (3)
1646 (5)

Конформация *цис-ae* в (IV)
($\text{O}-\text{CO}-\text{CH}_3$ экваториаль-
ный, $-\text{CH}=\text{CH}_2$ осевой)

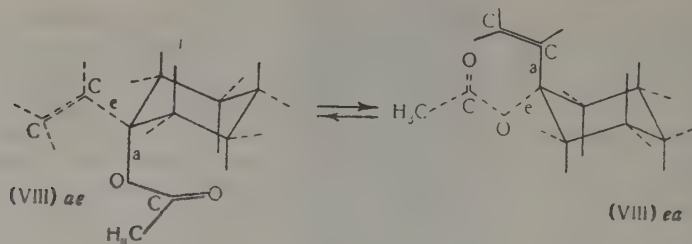
$\text{C}=\text{O}$ 1743 (4)
 $\text{C}=\text{C}$ 1637 (6)

Конформация *цис-ae* в (IV)
($-\text{O}-\text{CO}-\text{CH}_3$ осевой,
 $-\text{CH}=\text{CH}_2$ экваториальный)

1734 (2)
1647 (5)



Оптические данные в отношении ацетата винилциклогексанола (VIII) подтверждают, что в рассматриваемом случае различие в величине заместителей ($-\text{HC}=\text{CH}_2$ и $-\text{O}-\text{CO}-\text{CH}_3$) не настолько велико, чтобы правило Бартона отчетливо проявлялось. В этом соединении при креслообразной форме циклогексанового кольца могут быть две конформации, одна *ea* ($\text{O}-\text{CO}-\text{CH}_3$ экваториальный, $-\text{CH}=\text{CH}_2$ осевой), другая *ae* ($-\text{O}-\text{CO}-\text{CH}_3$ осевой, $\text{CH}=\text{CH}_2$ экваториальный):



Наличие в (VIII) этих обеих конформаций подтверждается двойными частотами для $C=O$ и $C\equiv C$, а также для частоты пульсирующего колебания кольца. Эти частоты у обеих конформаций почти равной интенсивности, но все же для конформации *ea* некоторые из них несколько интенсивнее, что свидетельствует о возможном лишь несколько более преимущественном характере этой конформации в рассматриваемом случае ($см^{-1}$):

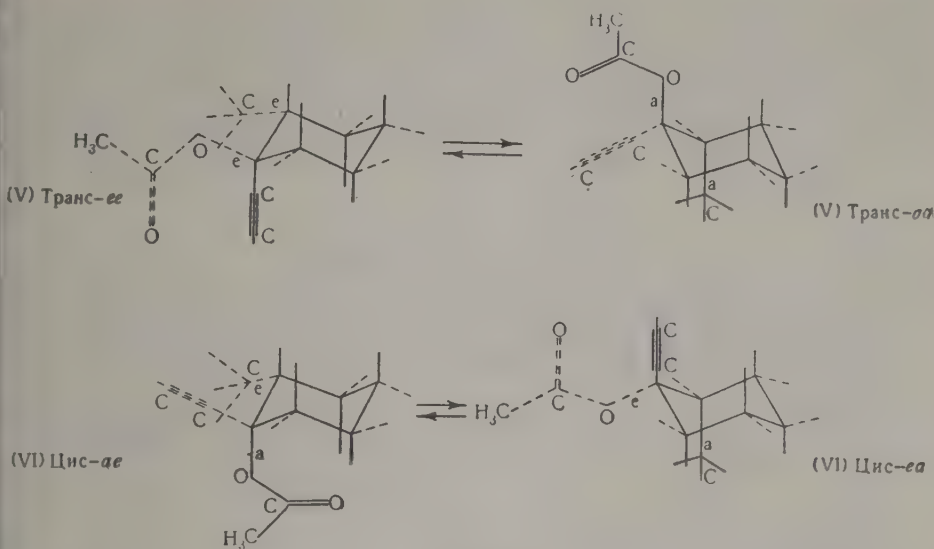
| | Конформация <i>ea</i> в (VIII) ($C=O$ экваториальная, $C\equiv C$ осевая) | Конформация <i>ae</i> в (VIII) ($C=O$ осевая, $C\equiv C$ экваториальная) |
|----------------------------------------|----------------------------------------------------------------------------------|----------------------------------------------------------------------------------|
| $C=O$ | 1742 (4) | 1732 (4) |
| $C\equiv C$ | 1634 (9) | 1644 (8) |
| Частота пульсирующего колебания кольца | 736 (6) | 744 (6) |

Введение алкильного заместителя в орто-положение несколько увеличивает возможность образования преимущественной конформации с экваториальным положением $-O-CO-CH_3$, как это имеет место в (III) и (IV). Сказанное в отношении (VIII) подтверждает возможность отмеченных выше конверсионных переходов в (III) и (IV).

При ацетилировании *цис*- и *транс*-2-метил-1-этинилциклогексанола получаются соответственно ацетаты (V) и (VI), причем в отношении их конфигураций и конформаций имеют место явления, которые мы отмечали при исследовании (III) и (IV). В этом случае также наблюдается не строгое соблюдение правила Бартона при аналогичных конверсионных переходах вследствие не слишком резкого различия в величине гем-заместителей в (V) и (VI).

Если определять конфигурации по наибольшим заместителям (в данном случае $-O-CO-CH_3$ и $-CH_3$), то из оптических данных следует, что в ацетате (V), полученном из *цис*-2-метил-1-этинилциклогексанола, преимущественной конформацией является *транс*-*ee* при наличии в большом количестве также и конверсионного изомера *транс*-*aa*. В ацетате (VI), полученном из *транс*-2-метил-1-этинилциклогексанола, преимущественной конформацией является *цис*-*ea* с примесью в значительном количестве также и конверсионного изомера *цис*-*ae* ($см^{-1}$).

| | Конформация <i>транс</i> - <i>ee</i> в (V) ($-O-CO-CH_3$ экваториальный, $-C\equiv CH$ осевой) | Конформация <i>транс</i> - <i>aa</i> в (V) ($-O-CO-CH_3$ осевой, $-C\equiv CH$ экваториальный) |
|---------------|----------------------------------------------------------------------------------------------------|----------------------------------------------------------------------------------------------------|
| $C=O$ | 1742 (3) | 1732 (2) |
| $C\equiv C$ | 2105 (10) | 2118 (9) |
| $C-H$ этинила | 3304 (4) | 3316 (2) |
| | Конформация <i>цис</i> - <i>ea</i> в (VI) ($-O-CO-CH_3$ экваториальный, $-C\equiv CH$ осевой) | Конформация <i>цис</i> - <i>ae</i> в (VI) ($-O-CO-CH_3$ осевой, $-C\equiv CH$ экваториальный) |
| $C=O$ | 1744 (4) | 1733 (3) |
| $C\equiv C$ | 2107 (10) | 2117 (9) |
| $C-H$ этинила | 3305 (3) | 3317 (1) |

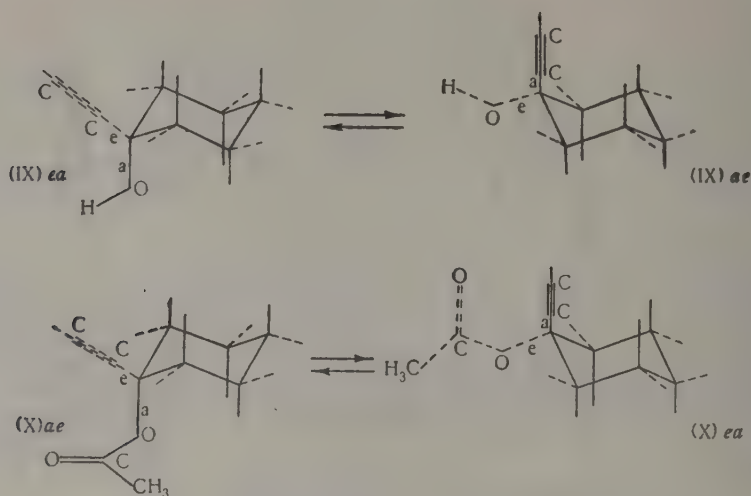


Истинное соотношение между этими конформациями [как и в случаях (III) и (IV)] несколько маскируется присутствием в (V) и (VI) соответствующих эпимеров вследствие наличия в исходных цис- и транс-2-метил-1-этинилциклогексанолах (III') и (IV') подмесей одного в другом [1]; после ацетилирования эти подмеси в виде соответствующих эпимеров присутствуют в (V) и (VI).

В ацетиленовом спирте (IX) (см. фиг. 3), как и в (VII), возможны две конформации: *ea*, в которой этинильный заместитель занимает экваториальное положение, гидроксил-осевой, и *ae*, в которой этинил занимает осевой, а гидроксил экваториальное положение. В (X), как и в (VIII), возможны также две конформации: *ea* с экваториальным заместителем $\text{C}=\text{O}$ и осевым заместителем $\text{C}\equiv\text{CH}$ и *ae* с осевым заместителем $\text{C}=\text{O}$ и экваториальным $\text{C}\equiv\text{CH}$. Однако в отношении этих веществ по тем же причинам, что и для (VII) и (VIII), правило Бартона имеет также не строгий характер: в (IX) лишь сравнительно в незначительной степени можно говорить о преимущественности конформации *ae* (вследствие более сильной межмолекулярной водородной связи при экваториальном гидроксиле), а в (X) — о преимущественности конформации *ea*, как это видно из оптических данных (см⁻¹):

| | Конформация <i>ae</i> в (IX) (этинил осевой, гидроксил экваториальный) | Конформация <i>ea</i> в (IX) (этинил экваториальный, гидроксил осевой) |
|--------------------------------------------------------|---------------------------------------------------------------------------|---------------------------------------------------------------------------|
| $\text{C}\equiv\text{C}$ | 2100 (10) | 2118 (9) |
| $\text{C}-\text{H}$ этинила | 3305 (4) | 3316 (3) |
| $\text{O}-\text{H}$ (не включенный в водородную связь) | 3596 (3) | 3611 (2) |

| | Конформация <i>ea</i> в (X) ($\text{C}=\text{O}$ экваториальный, этинил осевой) | Конформация <i>ae</i> в (X) ($\text{C}=\text{O}$ осевой, этинил экваториальный) |
|-----------------------------|-------------------------------------------------------------------------------------|-------------------------------------------------------------------------------------|
| $\text{C}=\text{O}$ | 1745 (6) | 1732 (5) |
| $\text{C}\equiv\text{C}$ | 2104 (10) | 2115 (9) |
| $\text{C}-\text{H}$ этинила | 3303 (3) | 3316 (2) |



Наличие в (V) и (VI) алкильного заместителя в орто-положении благоприятствует [как соответственно и в (III) и (IV)] некоторому сдвигу конверсионного равновесия в сторону транс-*ee* конформации сравнительно с транс-*aa* конформацией в (V) и в сторону *цис-еа* конформации сравнительно с *цис-ae* конформацией в (VI).

В области характеристических частот $C=C$, $C=O$, $C\equiv C$, $C-H$ этилены, $O-H$ и других в спектрах исследованных веществ, как правило, кроме отмеченных нами в тексте интенсивных линий наблюдаются слабые линии, часто в виде лишь следов, а также частоты в области $820-830\text{ см}^{-1}$. Возможно, что все эти частоты относятся к изомерам с циклогексановым кольцом в виде ванны, присутствующим в исследованных веществах в условиях опыта в незначительном количестве [1]; возможны и поворотные изомеры.

Поскольку преимущественные конформации в ацетатах (III) и (IV) (транс-*ee* и *цис-еа*) относятся к противоположным конфигурациям сравнительно с преимущественными конформациями в исходных *цис*- и транс-2-метил-1-этинилциклогексанолах (III') и (IV') (см. табл. 2) при определении конфигурации по наибольшим орто-заместителям, то правило Ауэрса — Скита, если оно имеет физический смысл, применительно к (III) и (IV) должно определяться, согласно указанным выше конформациям, а не по исходным циклогексанолам (III') и (IV'). Сравнительно с последними оно как бы обращено. Это подтверждается (см. табл. 2) данными по температурам кипения: *цис*-конфигурация (IV) имеют более высокую температуру кипения, чем транс-конфигурация (III).

Необходимо учесть, что в данном случае для полученных нами (III) и (IV) правило Ауэрса — Скита маскируется тем, что эти вещества включают подмеси не только других конформаций, но и подмеси исходных веществ (III') и (IV') и промежуточных продуктов, так как ацетилирование (III') и (IV') и последующее гидрирование, как показывают оптические данные, проведено не до конца: в спектрах (III) и (IV) имеются довольно интенсивные частоты в области характеристических частот колебаний тройной связи и др. (см. выше данные о спектрах этих соединений). Если это обстоятельство не нарушило правило Ауэрса — Скита в отношении температур кипения, то оно замаскировало его в отношении показателей преломления, что вполне понятно ввиду большого значения инкремента рефракции для тройной связи. Вообще следует отметить, что с выравниванием по величине орто-заместителей ф

зическое различие между конфигурациями утрачивает свою резкость. Вследствие этого утрачивает свою отчетливость и правило Ауэrsa—Скита: температуры кипения, показатели преломления, плотности эспимеров сближаются по величине, а при малом различии благодаря всей совокупности указанных факторов могут иметь даже обращенное значение, что и имеет место в отношении (V) и (VI) (табл. 2).

Таблица 2

Данные к правилу Ауэrsa — Скита

| Вещества | Конфигурации и преимущественные в них конформации | Т. кип. в °C (p в мм рт. ст.) | n_D^{20} | Исходные для (III), (IV) и (V), (VI) вещества | Конфигурации и преимущественные в них конформации | Т. кип. в °C (p в мм рт. ст.) | n_D^{20} |
|---------------|---------------------------------------------------|-------------------------------------|------------------|-----------------------------------------------|---------------------------------------------------|-------------------------------------|-------------|
| (III) (IV) | Транс-еа Цис-еа | 85—86 (12) 86—87 (11) | 1,4620 1,4605 | (III') (IV') | Цис-ае (т. пл. 56—57° C) Транс-еа | 70—75 (6) 62—65 (6) | — 1,4780 |
| (V) (VI) | Транс-еа Цис-еа | 88—89 (9) 85 (9) | 1,4657 1,4650 | | | | |

ВЫВОДЫ

1. Каждый из десяти исследованных гем- и орто-гем-замещенных циклогексанолов существует в виде в той или иной степени преимущественной конформации с примесью конверсионных и эспимерных изомеров, на величину которой влияет характер заместителей и другие факторы, например межмолекулярная водородная связь.

2. Правило Бартонa по самому его смыслу утрачивает свою силу, если соответствующие заместители не слишком резко отличаются по своей величине; происходит выравнивание долей содержания в смеси конверсионных изомеров. Правило Ауэrsa—Скита в связи со всем этим также перестает быть отчетливым и утрачивает свое значение.

Институт горючих ископаемых
Академии наук СССР

Поступило
30.VII.1958

Институт органической химии
им. Н. Д. Зелинского
Академии наук СССР

ЛИТЕРАТУРА

1. М. И. Батуев, А. А. Ахрем, А. Д. Матвеева и И. Н. Назаров, Докл. АН СССР 117, 423 (1957); Изв. АН СССР. Отд. хим. н. 1958, 1389; М. И. Батуев, А. А. Ахрем, А. Д. Матвеева, А. В. Камерницкий и И. Н. Назаров, Докл. АН СССР 120, 779 (1958); Изв. АН СССР. Отд. хим. н. 1959, 556.
2. И. Н. Назаров и А. А. Ахрем, Ж. общ. химии 26, 1186 (1956); 28, 1791 (1958).
3. G. Hennion, F. O. Shea, J. Amer. Chem. Soc. 80, 614 (1958).

КРАТКИЕ СООБЩЕНИЯ

К. Т. ПОРОШИН, Т. Д. КОЗАРЕНКО, В. А. ШИБНЕВ, В. Г. ДЕБАБОВ

ДЕЙСТВИЕ КОЛЛАГЕНАЗЫ ИЗ КУЛЬТУРЫ *CLOSTRIDIUM HISTOLYTICUM* НА СИНТЕТИЧЕСКИЕ ПЕПТИДЫ, СОСТОЯЩИЕ ИЗ ГЛИЦИНА, *L*-ПРОЛИНА И *L*-ОКСИПРОЛИНА

Изучение белков группы коллагена при помощи коллагеназы, выделенной из *Clostridium histolyticum*, представляет большой интерес, поскольку она обладает необыкновенно узкой протеолитической специфичностью, расщепляя только белки коллагена. Поскольку последние обладают высоким содержанием глицина, *L*-пролина, *L*-оксипролина, то, очевидно, специфическое действие коллагеназы связано с наличием этого фактора. В ряде работ имеются указания на то, что коллагеназа расщепляет преимущественно связи, образованные аминогруппой глицина и карбоксильной группой *L*-оксипролина [1]. Другим авторам удалось количественно установить, что на аминном конце преобладает глицин, а на карбоксильном конце — различные аминокислоты и лишь очень незначительно преобладает по своему количеству аргинин и оксипролин [2].

Шроэнлоэр с сотрудниками [3] показали, что в продуктах гидролиза коллагена коллагеназой находятся в большом количестве два трипептида: глицил-*L*-пролил-*L*-оксипролин и глицил-*L*-пролил-*L*-аланин, которые включают приблизительно 63% иминокислот, 23% аланина и 14% глицина. Шродер с сотрудниками [4], основываясь на кислотном гидролизе коллагена, предположили возможное чередование -Гли-Про-Оксипро-Гли-, как структурную единицу молекулы.

Грасманн с сотрудниками [4] выделили интересный фрагмент, богатый глицином, пролином и оксипролином, который, с точки зрения количественных соотношений аминокислот, может соответствовать вышеприведенному предположению Шродера. В этом плане интересна работа по синтезу возможных субстратов для коллагеназы. Как сообщили Хейне и Леглер [5], осуществлен синтез двух субстратов: амида карбобензоксиглицил-глицил-пролина и амида карбобензоксипролил-аланил-глицил-пролина. Нагаи и Нода [6] сообщили о гидролитическом расщеплении коллагеназой поли-(пролил-лейцил-глицина) и амида глицил-пролил-лейцил-глицил-пролина. Однако все они содержат помимо глицина и иминокислот другие аминокислоты. Нам казалось очень интересным проверить действие коллагеназы на пептиды типа, выделенного Грасманном [4] и Шродером [3], т. е. содержащие только глицин, *L*-пролин и *L*-оксипролин. Для этой цели нами были синтезированы сами пептиды и их производные (таблица). Методы синтеза и характеристика соединений будут даны в следующем сообщении. При гидролизе использовалась коллагеназа, которая не обладала неспецифической протеолитической активностью; последняя определялась по расщеплению нативных и денатурированных нагреванием альбумина сыворотки лошади, гемоглобина и казеина [1]. Активность полученного препарата коллагеназы измерялась по скорости падения вязкости растворов проколлагена [1]. Кроме того, активность фермента была испытана на синтезированном амиде карбобензоксиглицил-*L*-аланил-глицил-*L*-пролина. Оказалось, что метиловый эфир карбобензоксиглицил-*L*-аланил-глицил-*L*-пролина не гидролизировался коллагеназой.

Для выяснения роли амидной группы был синтезирован метиловый эфир карбобензоксиглицил-*L*-пролил-*L*-аланил-глицил-*L*-пролина, который гидролизировался коллагеназой. Можно сделать вывод, что амидная группа может и не играть решающей роли в пептидах, содержащих четыре и более аминокислотных остатков. В таблице представлены соединения 4, 5, 6, 7, 8, содержащие два и три глициновых остатка между двумя пролинами (или оксипролином и пролином); соединения 9, 10, 11, 12, 13 включают чередующийся трипептид глицил-*L*-пролил-*X* (где *X* — *L*-пролин или *L*-оксипролин). Соединения 14, 15, 16 содержат элемент правильного чередования *L*-пролина и глицина; соединения 17—21 — трипептиды, содержащие глицин и иминокислоты. С нашей точки зрения, очень интересными являются соединения 7, 11, 12, которые несут в себе элементы природных фрагментов. Оказалось, что все эти соединения гидролизуются в разной степени коллагеназой. В то же время замена *L*-оксипролина на *L*-пролин в соединениях

Таблица

| № по пор. | Соединение* | Гидролизуемость пептида коллагеназой | R_f |
|-----------|--------------------------------------------------------------------------------------------------------------------|--------------------------------------|------------------|
| 1 | KB3- <i>d,l</i> -аланил-глицил- <i>L</i> -пролил-NH ₂ | + | 0,27; 0,56; 0,92 |
| 2 | KB3- <i>d,l</i> -аланил-глицил- <i>L</i> -пролил-OSN ₃ | — | |
| 3 | KB3- <i>L</i> -пролил- <i>dl</i> -аланил-глицил- <i>L</i> -пролил-OSN ₃ | + | 0,49; 0,92 |
| 4 | KB3- <i>L</i> -пролил-глицил-глицил- <i>L</i> -пролил-OSN ₃ | — | |
| 5 | KB3- <i>L</i> -пролил-глицил-глицил-глицил- <i>L</i> -пролил-OSN ₃ | + | 0,55; 0,87 |
| 6 | KB3- <i>L</i> -пролил-глицил-глицил- <i>L</i> -пролил- <i>L</i> -оксипролил-OSN ₃ | — | |
| 7 | KB3-Глицил- <i>L</i> -пролил- <i>L</i> -оксипролил-глицил-глицил- <i>L</i> -пролил-OSN ₃ | + | 0,43; 0,53; 0,76 |
| 8 | KB3- <i>L</i> -пролил-глицил-глицил- <i>L</i> -оксипролил-OSN ₃ | — | |
| 9 | KB3-глицил- <i>L</i> -пролил-пролил-глицил- <i>L</i> -пролил- <i>L</i> -пролил-OSN ₃ | — | |
| 10 | Глицил- <i>L</i> -пролил- <i>L</i> -пролил-глицил- <i>L</i> -пролил- <i>L</i> -пролил-OSN ₃ | — | |
| 11 | KB3-глицил- <i>L</i> -пролил- <i>L</i> -оксипролил-глицил- <i>L</i> -пролил- <i>L</i> -оксипролил-OSN ₃ | + | 0,38; 0,82 |
| 12 | Глицил- <i>L</i> -пролил- <i>L</i> -оксипролил-глицил- <i>L</i> -пролил- <i>L</i> -оксипролил-OSN ₃ | + | 0,18; 0,35 |
| 13 | KB3-глицил- <i>L</i> -пролил- <i>L</i> -пролил-глицил-OSN ₃ | — | |
| 14 | KB3- <i>L</i> -пролил-глицил- <i>L</i> -пролил-глицил-OSN ₃ [8] | — | |
| 15 | KB3-глицил- <i>L</i> -пролил-глицил- <i>L</i> -оксипролил-OSN ₃ | — | |
| 16 | Глицил- <i>L</i> -пролил-глицил- <i>L</i> -оксипролил | — | |
| 17 | <i>L</i> -пролил-глицил- <i>L</i> -пролин [7] | — | |
| 18 | <i>L</i> -пролил-глицил- <i>L</i> -оксипролин [8] | — | |
| 19 | Глицил- <i>L</i> -пролил- <i>L</i> -оксипролин [7] | — | |
| 20 | Глицил- <i>L</i> -пролил-глицин [7] | — | |
| 21 | Глицил- <i>L</i> -пролил- <i>L</i> -пролин [7] | — | |

* KB3—C₆H₅CH₂OSO—; +—пептид гидролизуетс коллагеназой; ——пептид не гидролизуетс коллагеназой.

3,10 делает их устойчивыми к действию фермента. Мы не делаем сейчас каких-либо выводов о специфике действия коллагеназы, а лишь отметим, что коллагеназу из *Cl. histolyticum*, очевидно, можно использовать для расщепления пептидов, исключительно состоящих из глицина и иминокислот. Интересно, что наличие трех глициновых остатков между двумя пролинами в соединении приводит его к расщеплению ферментом, а правильное чередование пролил-пролина или глицил-пролина делает эти соединения устойчивыми к его действию. Может оказаться, что области коллагена, насыщенные глицином и иминокислотами, могут включать фрагменты такого чередования, которые будут недоступны действию коллагеназы. В этом отношении может быть интересен фермент пролиниминопептидаза, расщепляющая полипролин [5].

ЭКСПЕРИМЕНТАЛЬНАЯ ЧАСТЬ

Действие фермента проводилось в буферном растворе, содержащем 3% CaCl₂ и имеющим pH 7,2. Нужное pH достигается прибавлением к раствору CaCl₂ соответствующего количества Ca(OH)₂. Для определения ферментативного действия коллагеназы на пептид или его производное последний в количестве 3—4 мг смешивается с 30—50 γ фермента и растворяется в 0,3—0,5 мл буфера; затем смесь термостатировалась при 37° в течение 12 час. (для контроля испытуемое вещество выдерживалось с ферментом в тех же условиях). Продукты гидролиза идентифицировались методом бумажной хроматографии в системе бутанол-вода-уксусная кислота (4:5:1) на бумаге «Ленинград» тип «Б». Хроматограммы проявлялись как толидином, так и изатиним. При хроматографии гидролизата амида карбобензокеи-*d,l*-аланил-глицил-*L*-пролина обнаруживается три продукта с соответствующими пятнами с R_f 0,27, R_f 0,56 и R_f 0,92, предпоследнее пятно очень слабое. Пятно с R_f 0,27 элюировалось с бумаги 10 мл горячей воды, раствор упаривался, и оставшееся вещество гидролизовалось 6*N* HCl на кипящей водяной бане за 6 час. При хроматографии и проявлении изатином из гидролизата были идентифицированы по R_f пятен и их окраске глицин и пролин. Из этого можно сделать вывод, что коллагеназа отщепляет амид глицил-*L*-пролина. Пятно с R_f 0,56 может быть следствием циклизации амида

глицил-*L*-пролина в ангидрид глицил-*L*-пролина. Пятно с R_f 0,92 является неразделенной смесью карбобензоксипролина и исходного субстрата.

Аналогично были гидролизованы метиловые эфиры карбобензоксиглицил-*L*-пролил-*L*-оксипролил-глицил-*L*-пролил-*L*-оксипролина, карбобензоксиглицил-*L*-пролил-глицил-глицил-глицил-*L*-пролина, карбобензоксиглицил-*L*-пролил-*L*-оксипролил-глицил-глицил-*L*-пролина, карбобензоксиглицил-*L*-пролил-*L*-аланил-глицил-*L*-пролина и сам метиловый эфир глицил-*L*-пролил-*L*-оксипролил-глицил-*L*-пролил-*L*-оксипролина. Кинетика гидролиза и идентификация продуктов расщепления коллагеназой будет изложена в следующем сообщении.

В заключение авторы благодарят директора Института медицинской и биологической химии АМН В. Н. Ореховича и Г. А. Левдикову за предоставление коллагеназы.

ВЫВОДЫ

1. Синтезированные метиловые эфиры карбобензоксиглицил-*L*-пролил-*L*-оксипролил-глицил-*L*-пролил-*L*-оксипролина, карбобензоксиглицил-*L*-пролил-*L*-оксипролил-глицил-глицил-*L*-пролина, карбобензоксиглицил-*L*-пролил-глицил-глицил-глицил-*L*-пролина и карбобензоксиглицил-*L*-пролил-*L*-аланил-глицил-*L*-пролина оказались субстратами коллагеназы.

2. Коллагеназа может быть применена и для гидролиза пептидов, содержащих только глицин и иминокислоты.

3. Пептиды, состоящие из чередования глицилпролина или пролилпролина, устойчивы к действию коллагеназы.

4. Замена амидной группы на эфирную в пептидах, содержащих четыре и более аминокислотных остатков, может принципиально не влиять на субстратную активность данных пептидов.

Институт органической химии
им. Н. Д. Зелинского
Академии наук СССР

Поступило
29.V.1959

ЛИТЕРАТУРА

1. О. В. Казакова, В. Н. Орехович и В. О. Шпикитер, Докл. АН СССР **122**, 657 (1958).
2. K. Heyns, G. Legler, H-S Z. physiol. Chem. **315**, 288 (1959).
3. R. E. Schrohenloher, J. D. Ogle, M. A. Logan, J. Biol. Chem. **234**, 58 (1959).
4. W. Grassmann, K. Hannig, H. Endres, A. Riedel, H-S Z. physiol. Chem. **306**, 123 (1956).
5. W. A. Shroeder, L. M. Kay, J. Legette, L. Honnen, F. G. Green, J. Amer. Chem. Soc. **76**, 3556 (1954).
6. S. Sarid, A. Berger, E. Katchalski, J. Biol. Chem. **234**, 1740 (1959).
7. К. Т. Порошин, Т. Д. Козаренко, В. А. Шибнев и В. Г. Дебабов, Изв. АН СССР. Отд. хим. н. **1959**, 1851.
8. К. Т. Порошин, В. А. Шибнев и Т. Д. Козаренко, Изв. АН СССР. Отд. хим. н. **1959**, 736.

Е. И. КЛАБУНОВСКИЙ, В. В. ПАТРИКЕЕВ и А. А. БАЛАНДИН

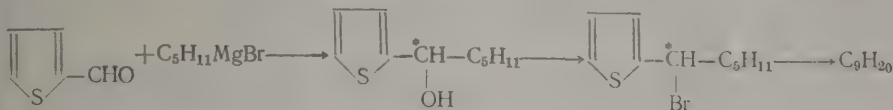
О РАЗДЕЛЕНИИ НА АНТИПОДЫ РАЦЕМИЧЕСКИХ УГЛЕВОДОРОДОВ

Способность мочевины образовывать соединения включения, кристаллизующиеся преимущественно в виде одного из кристаллических энантиоморфов, использована в последнее время для разделения на антиподы ряда рацемических соединений: галоидо-производных нормальных углеводов, сложных эфиров и др. [1]. Преимущественное выделение одного антипода в соединении включения достигается внесением затравки или применением оптически активных растворителей [2]. Особый интерес представляет применение этого метода для разделения рацемических соединений, не содержащих функциональных групп, например углеводов. Обнаружение оптической активности углеводорода, выделенного из соединения включения, облегчает задачу исследования состава и изостроения углеводов нефти, так как мочевина способна образовывать соединения включения лишь с нормальными и метилразветвленными углеводородами. Углеводороды, полученные из соединений включения с мочевиной при обычной обработке нефтяных фракций, не обладают оптической активностью; необходимо внесение в виде затравки кристалла соединения включения с оптически активным углеводородом, чтобы вызвать частичное разделение рацемата.

Для проведения исследования нами синтезированы рацемический и оптически активный 3-метилоктан и 3-метилнонан. Исходным соединением служил оптически активный изоамиловый спирт 85%-ной оптической чистоты. Оптически активный 3-метилоктан получен по реакции Вюрца, исходя из оптически активного изоамилиодида ($\alpha_D^{20} + 2,0^\circ$) и *n*-бутилйодида. При применении бромидов по этой реакции, а также через магниорганическое соединение образуются оптически неактивные углеводороды. Полученный 3-метилоктан

имел т. кип. $143 - 144^\circ$ (755 мм) и $[\alpha]_D^{20} + 4,93^\circ$ ($\alpha_D^{20} \pm 1,52^\circ \pm 0,03$; $l = 1,9009$, c 16,2, изоктан), что соответствует 52,5% оптической чистоты.

Для получения гомологического оптически активного 3-метилнона применен метод синтеза углеводородов гидрогенолизом тиофеновых соединений [3] по схеме



При синтезе углеводорода промежуточные соединения: оптически активные спирт и бромид получены впервые. Полученный с выходом 70% 3-метил-(α -тиенил) пентанол имел т. кип. $255 - 260^\circ$ (755); 20° (10); n_D^{15} 1,5480; d_4^{15} 1,0629; MR 54,98; $[\alpha]_D^{23} \pm 10,04^\circ$ ($\alpha_D^{23} \pm 2,39^\circ \pm 0,03$; $l = 1,9009$; c 12,5, эфир).

Бромирование тиофенового спирта проводилось действием 47% НВг. Получен 3-метил-(α -тиенил)-бромпентан с т. кип. $160 - 170^\circ$ (40 мм), $83 - 90^\circ$ (18 мм); n_D^{20} 1,5380; d_D^{20} 1,2204; MR 63,3 $[\alpha]_D^{20} + 2,2^\circ$ ($\alpha_D^{20} \pm 0,6^\circ \pm 0,03$; $l = 1,9009$; c 14, эфир). Гидрогенолиз бромида проводился кипячением с 10-кратным количеством свежеприготовленного скелетного никелевого катализатора в растворе CCl_4 . По-видимому, гидрогенолиз сопровождается частичной рацемизацией оптически активного соединения. Образуется 3-метилнонан с $\alpha_D^{20} \pm 0,18^\circ \pm 0,005$; ($l = 1,9009$); т. кип. $167,5^\circ$; d_4^{20} 0,7350; n_D^{20} 1,4120.

Разделение на антиподы рацемических углеводородов проводилось по следующей методике. Добавлением 8-кратного количества насыщенного при 20° раствора мочевины в абсолютный метанол на раствор оптически активного 3-метилоктана в изоктане получен кристаллический продукт — соединение включения.

По 0,1 г кристаллов соединения включения, промытого изоктаном, добавлялось к нефтяной фракции углеводородов с т. кип. $141 - 147,5^\circ$, содержащей 3-метилоктан. Кристаллы нагреванием переведены в раствор, который в пределах ошибки измерения оставался оптически неактивным ($0,00 \pm 0,003^\circ$). К раствору добавлено 8-кратное количество раствора мочевины. Медленная кристаллизация в течение 20 час. при постоянном снижении температуры с 45 до 10° приводит к выделению кристаллического соединения включения. Осадок, промытый изоктаном, разлагался водой и экстрагировался бензолом. Углеводороды, выделенные из осадка, имели $\alpha_D^{20} = 0,9074 \pm 0,003$ ($l = 1,9009$); углеводород из фильтрата имел $\alpha_D^{20} 0,055 \pm 0,003$ ($l = 1,9009$, бензол). Выделенный из осадка углеводород отвечал по константам 3-метилоктану.

Другая часть кристаллического соединения включения с оптически активным углеводородом добавлена к синтетическому рацемическому 3-метилоктану. Аналогичным путем выделенный углеводород из осадка имел $\alpha_D^{20} = 0,061$ ($l = 1,9009$, бензол). При действии кристаллов соединения включения с оптически активным 3-метилнонаном на фракцию с т. кип. $141 - 147,5^\circ$, полученные углеводороды из осадка и из фильтрата имели соответственно: $\alpha_D^{20} = 0,007 \pm 0,003$ и $-0,126 \pm 0,003$ ($l = 1,9009$, бензол). Полученные данные позволяют предположить, что при внесении кристаллов соединения включения в виде затравки с оптически активным 3-метилоктаном, по-видимому, наступает частное динамическое равновесие в соединении включения между оптически активным углеводородом в подости соединения включения и тем же рацемическим углеводородом среды. В результате этого число центров кристаллизации, ведущих оптически селективную кристаллизацию, уменьшается. В случае соединения включения с 3-метилнонаном такого вытеснения оптически активных молекул из соединения включения молекулами среды не происходит или происходит в малой степени. Вследствие этого вызываемое такой кристаллической затравкой разделение рацемата оказывается более эффективным.

ВЫВОДЫ

1. Осуществлено частичное разделение на антиподы рацемических углеводородов путем внесения затравки соединения включения с оптически активным углеводородом.
2. Синтезированы оптически активные углеводород и два тиофеновых соединения.

Институт органической химии
им. Н. Д. Зелинского
Академии наук СССР

Поступило
10.VII.1959

ЛИТЕРАТУРА

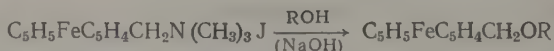
1. Ф. Крамер, Соединения включения, ИЛ, М., 1958.
2. W. Schlenk, Svensk kem. Tidskr. 67, 455 (1955).
3. Я. Л. Гольдфарб и И. С. Корсакова, Докл. АН СССР 96, 283 (1954).

А. Н. НЕСМЕЯНОВ, Э. Г. ПЕРЕВАЛОВА, Ю. А. УСТЫНЮК и Л. С. ШИЛОВЦЕВА

СИНТЕЗ ПРОСТЫХ ЭФИРОВ ФЕРРОЦЕНИЛКАРБИНОЛА

Ранее [1, 2] мы описали получение при помощи йодметилата N,N-диметиламинометилферроцена фенилового и β -нафтилового эфиров ферроценилкарбинола и *p*-ферроценилметоксизобензола.

В настоящей работе мы синтезировали при помощи йодметилата или бромэтилата N,N-диэтиламинометилферроцена метиловый, этиловый, трет.бутиловый, н.нониловый, н.дециловый, аллиловый, бензиловый и фуриловый эфиры ферроценилкарбинола.



Реакция проводилась, как обычно при алкилировании спиртов четвертичными аммонийными солями [3—5], при нагревании в избытке соответствующего спирта в присутствии едкого натра (кроме нонилового и децилового эфиров). Выходы достигают 60—80%, исключая трет.бутиловый эфир, который образуется с выходом лишь 9%; кроме того, получают значительные количества простого эфира самого ферроценилкарбинола, $(\text{C}_5\text{H}_5\text{FeC}_5\text{H}_4\text{CH}_2)_2\text{O}$, и возвращается без изменения более 30% исходного йодметилата.

Мы показали на примере бензинового эфира ферроценилкарбинола, что в условиях его получения возможной под действием щелочи перегруппировки [6] йодметилата N,N-диметиламинометилферроцена не происходит, синтезируя бензиловый эфир ферроценилкарбинола без добавления щелочи, а также другим путем — из бензинового спирта и ферроценилкарбинола в присутствии борного ангидрида. Полученные во всех трех случаях эфиры оказались идентичными.

Нониловый и дециловый эфиры ферроценилкарбинола были получены при нагревании бромэтилата N,N-диметиламинометилферроцена с нониловым и дециловым спиртом соответственно без добавления щелочи; выходы 28—30%.

ЭКСПЕРИМЕНТАЛЬНАЯ ЧАСТЬ

Метиловый эфир ферроценилкарбинола $\text{C}_5\text{H}_5\text{FeC}_5\text{H}_4\text{CH}_2\text{OCH}_3$. Раствор 6 г (0,0156 M) йодметилата N,N-диметиламинометилферроцена и 6 г (0,150 M) NaOH (ч.д.а.) в 100 мл абсолютного метанола нагревался без доступа влаги в течение 12 час. на кипящей водяной бане. Затем смесь была вылита в холодную воду (0,5 л), и метиловый эфир ферроценилкарбинола экстрагирован петролейным эфиром (4 порции по 75—100 мл). Раствор был промыт водой, 2%-ным раствором HCl и снова водой до нейтральной реакции на лакмус и высушен. Растворитель отогнан в вакууме, и оставшийся метиловый эфир перегнан; т. кип. 118,5—119,5° (3 мм); n_D^{20} 1,5996; выход 3,0 г (83% от теорет.). Найдено: С 62,41; 62,61; Н 6,45; 6,32; Fe 23,90; 23,85%. $\text{C}_{12}\text{H}_{14}\text{FeO}$. Вычислено: С 62, 63; Н 6,14; Fe 24,27%.

Этиловый эфир ферроценилкарбинола $\text{C}_5\text{H}_5\text{FeC}_5\text{H}_4\text{CH}_2\text{OC}_2\text{H}_5$ был получен по методике, описанной выше, но время нагревания увеличено до 16 час. Выход 63% от теорет.; т. кип. 117—118° (3 мм); n_D^{20} 1,5850. Найдено: С 63,57; 63,60; Н 6,61; 6,57; Fe 22,53; 22,69. $\text{C}_{13}\text{H}_{16}\text{FeO}$. Вычислено: С 63,95; Н 6,61; Fe 22,87%.

Трет.бутиловый эфир ферроценилкарбинола $\text{C}_5\text{H}_5\text{FeC}_5\text{H}_4\text{CH}_2\text{OC}(\text{CH}_3)_3$. 1,5 г (0,0039 M) йодметилата N,N-диметиламинометилферроцена, 1,5 г (0,0375 M) NaOH и 40 мл абсолютного трет.бутилового спирта нагревались на водяной бане без доступа влаги в течение 14 час. Затем смесь была вылита в 250 мл петролейного эфира, раствор профильтрован, осадок трижды промыт на фильтре горячим петролейным эфиром (по 20 мл).

Далее осадок был растворен в метаноле, раствор нейтрализован небольшим количеством концентрированной HCl, выпавший осадок NaCl отфильтрован, а не вступивший в реакцию йодметилат осажден эфиром; вес 0,5 г (33% от исходного); т. разл. 205—207° (из спирта); смешанная проба с исходным веществом имела т. разл. 206—208°.

Раствор в петролейном эфире был промыт водой, 10%-ным раствором HCl и снова водой, высушен CaCl_2 . Часть растворителя была отогнана (до объема 100 мл), и продукты реакции разделены хроматографически на Al_2O_3 . Первым вымывался смесью петролейного эфира и эфира (10:1) трет.бутиловый эфир ферроценилкарбинола; выход 0,1 г (9,4% от теорет.); т. пл. 73,5—74° (из петролейного эфира). Найдено: С 66,37; 66,22; Н 7,60; 7,67; Fe 20,16; 20,38. $\text{C}_{15}\text{H}_{20}\text{FeO}$. Вычислено: С 66,18; Н 7,42; Fe 20,51%.

Далее было выделено 0,1 г маслообразного вещества красного цвета, не содержащего железа и не растворимого в метиловом спирте; строение его не исследовалось.

Последним смесью эфира и петролейного эфира (1:1) вымывался простой эфир ферроценилкарбинола; выход 0,2 г (25% от теорет.); температура плавления полученного эфира и температура плавления смешанной пробы 129,5—130°.

Если трет.бутиловый спирт содержит воду, то в качестве основного продукта реакции образуется ферроценилкарбинол с выходом 12% от теорет., при этом не удалось выделить и следов трет.бутилового эфира ферроценилкарбинола.

Бромэтилат N,N-диметиламинометилферроцена $C_5H_5FeC_5H_4CH_2N(CH_3)_2C_2H_5Br$. К раствору 24,3 г N,N-диметиламинометилферроцена в 30 мл бензола было прилито 21,8 г бромистого этила, смешанного с 30 мл абсолютного эфира. Через некоторое время выпал желтый осадок бромэтита N,N-диметиламинометилферроцена, который был отфильтрован, растворен в $CHCl_3$ и затем осажден эфиром; выход 25,3 г (95% от теорет.); т. разл. $160-163^\circ$ (в запаянном капилляре). Найдено: С 51,05; 50,84; Н 6,75; 6,67; Br 22,66; 22,46. N 3,97; 4,14%. $C_{15}H_{22}FeNBr$. Вычислено: С 51,16; Н 6,31; Br 22,70; N 3,97.

Н.Нониловый эфир ферроценилкарбинола $C_5H_5FeC_5H_4CH_2OC_9H_{19}$. Смесь 1,5 г бромэтита N,N-диметиламинометилферроцена и 2,5 мл нонилового спирта нагревалась в течение 8 час. при $80-100^\circ$. Затем реакционная масса была экстрагирована петролейным эфиром; раствор промыт водой, высушен и хроматографирован на Al_2O_3 . Выход нонилового эфира ферроценилкарбинола 0,5 г (28% от теорет.); т.пл. $22,5-23,5^\circ$ (из метанола). Найдено: С 69,92; 69,99; Н 9,05; 8,85; Fe 16,23; 16,37%. $C_{20}H_{30}FeO$. Вычислено: С 70,20; Н 8,83; Fe 16,32%.

н.Дециловый эфир ферроценилкарбинола $C_5H_5FeC_5H_4CH_2OC_{10}H_{21}$. Синтезирован подобно нониловому; выход 30% от теорет.; т.пл. $35-37^\circ$ (из метанола). Найдено: С 70,54; 70,61; Н 9,30; 9,19; Fe 15,86; 15,75%. $C_{21}H_{32}FeO$. Вычислено: С 70,76; Н 9,07; Fe 15,67%.

Аллиловый эфир ферроценилкарбинола $C_5H_5FeC_5H_4CH_2OCHCH_2=CH_2$ был получен подобно метиловому эфиру; выход 60% от теорет.; т.кип. $120-121^\circ$ (2,5 мл); n_D^{20} 1,5908. Найдено: С 65,64; 65,46; Н 6,15; 6,26; Fe 21,05; 20,93%. $C_{14}H_{16}FeO$. Вычислено: С 65,64; Н 6,30; Fe 21,80%.

Бензиловый эфир ферроценилкарбинола $C_5H_5FeC_5H_4CH_2OCH_2C_6H_5$ был получен подобно метиловому эфиру, очищен хроматографически на Al_2O_3 . Выход 80% от теорет.; т.пл. $88-89^\circ$ (из петролейного эфира). Найдено: С 70,55; 70,81; Н 5,87; 5,98; Fe 17,87; 17,99%. $C_{18}H_{18}FeO$. Вычислено: С 70,59; Н 5,93; Fe 18,23%.

Идентичный с описанным выше бензиловый эфир ферроценилкарбинола образуется при проведении реакции без добавления NaOH (выход 55% от теорет.), а также при взаимодействии ферроценилкарбинола с бензиловым спиртом в присутствии борного ангидрида*.

При нагревании 1 г ферроценилкарбинола, 10 мл бензилового спирта и 0,5 г борного ангидрида в течение 10 час. до кипения было получено 1,1 г бензилового эфира; выход 75% от теорет.

Фуриловый эфир ферроценилкарбинола $C_5H_5FeC_5H_4CH_2OC_5H_5O$ был получен подобно метиловому эфиру, но раствор его в петролейном эфире не промывался разбавленной HCl. Выход 58% от теорет.; т.пл. $49,5-50,5^\circ$ (из петролейного эфира). Хроматографированием маточного раствора на силикагеле выделено дополнительно небольшое количество вещества. При хранении над кислотными осушителями фуриловый эфир осмоляется. Найдено: С 65,27; 65,08; Н 5,74; 5,62; Fe 18,21; 18,48%. $C_{16}H_{16}FeO$. Вычислено: С 64,88; Н 5,45; Fe 18,85%.

ВЫВОДЫ

1. Получены не описанные в литературе метиловый, этиловый, трет.бутиловый, аллиловый, н.дециловый, аллиловый, бензиловый и фуриловый эфиры ферроценилкарбинола при взаимодействии спиртов с йодметилатом или бромэтилатом N,N-диметиламинометилферроцена.

2. При действии едкого натра в условиях получения простых эфиров ферроценилкарбинола перегруппировки йодметилата не происходит.

Московский государственный университет
им. М. В. Ломоносова
Химический факультет

Поступило
13.VII.1959

ЛИТЕРАТУРА

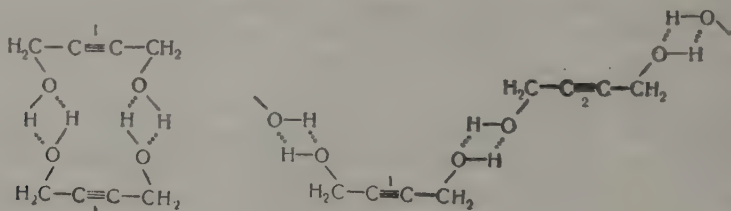
1. А. Н. Несмеянов, Э. Г. Перевалова, Л. С. Шиловцева и З. А. Бейноравичуте, Докл. АН СССР **121**, 117 (1958).
2. А. Н. Несмеянов, Э. Г. Перевалова, Л. С. Шиловцева и Ю. А. Устынюк, Докл. АН СССР **124**, 331 (1958).
3. А. Е. Порай-Кошиц, Избр. тр., Изд. АН СССР, М.—Л., 1949, стр. 32.
4. Д. Н. Курсанов, В. Н. Сеткина и В. М. Родионов, Изв. АН СССР. Отд. хим. н. **1948**, 228.
5. В. Н. Сеткина и Д. Н. Курсанов, Изв. АН СССР. Отд. хим. н. **1951**, 81.
6. Д. Х. Брестер и Э. Л. Элиель, Сб., Органические реакции, ИЛ, М., 1956, стр. 176.

* Эти два синтеза выполнены А. А. Пономаренко.

М. И. БАТУЕВ, А. А. АХРЕМ и А. Д. МАТВЕЕВА

ОПТИЧЕСКОЕ ИССЛЕДОВАНИЕ БУТИНДИОЛА, ЕГО ДИАЦЕТАТА И 1,4-ДИХЛОРБУТИНА

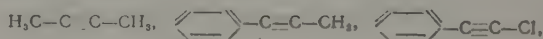
В спектре комбинационного рассеяния света бутиндиола имеет место довольно редко наблюдаемое явление: необычно значительное крыло линии Релея, охватывающее спектральный интервал $\sim 0-350 \text{ см}^{-1}$ и сливающееся в конце с линиями $312-343 \text{ см}^{-1}$. Подобного рода крыло линии Релея наблюдается в спектре жидкой муравьиной кислоты, оно в нем характеризует межмолекулярные колебания по водородным связям, при посредстве которых молекулы муравьиной кислоты ассоциированы в комплексы [1]. Очевидно, и в бутиндиоле необычная ширина полосы в области крыла линии Релея вызвана межмолекулярными колебаниями в комплексах, образованных при посредстве водородных связей. Комплексы эти весьма прочные, так как бутиндиол не растворяется в таких нейтральных растворителях, как CCl_4 . В установлении водородных связей в бутиндиоле участвуют две гидроксильные группы каждой молекулы. Комплексы эти могут быть кольцевыми и цепочными, как это видно из примерных схем:



Полоса валентного колебания гидроксила, включенного в межмолекулярную водородную связь, обычно лежащая выше 3000 см^{-1} , не могла быть точно фиксирована ввиду значительного фона, наблюдающегося в этой части спектра бутиндиола.

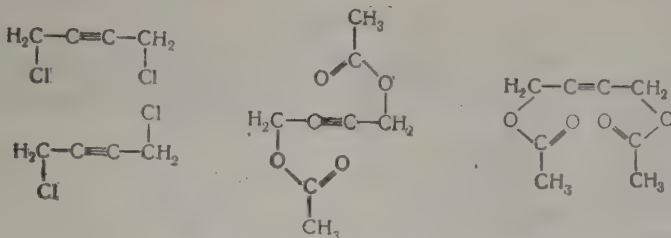
В комплексах молекул бутиндиола гидроксилы, включенные в водородные связи, могут занимать в отношении тройной связи цисоидное (цифра 1 на схеме) и трансоидное (цифра 2 на схеме) положение в кольцевых (тримерных и др.) и цепочных комплексах, что, по-видимому, и обеспечивает наличие в спектре бутиндиола двух (дублетных) частот в области тройной связи*. Водородные связи стабилизируют эти изомерные формы. Все связи небольшой молекулы бутиндиола в жидкой фазе этого вещества испытывают существенное влияние колебаний межмолекулярных водородных связей. Это влияние передается на колебания связей через частотную модуляцию их межмолекулярными колебаниями, в результате чего, например, вместо двух частот колебаний связей $\text{C}-\text{H}$ метиленовой группы в спектре наблюдаются две полосы: первая шириной $\sim 30 \text{ см}^{-1}$, вторая шириной $\sim 65 \text{ см}^{-1}$; каждая из них представляет набор частот (см. ниже таблицу, область спектра $2853-2963 \text{ см}^{-1}$). Так же набором частот представлены колебания связей $\text{C}-\text{O}, \text{C}-\text{C}$ (в области $966-1042 \text{ см}^{-1}$); каждая из двух частот связей $\text{C}\equiv\text{C}$ — дублетная и т. д.

В соединениях с открытыми цепями с кратными в них связями и связями $\text{C}-\text{галогид}$ эти связи, как показывают экспериментальные данные, стремятся расположиться в одной плоскости, диамагнитная восприимчивость у них оказывается наибольшей в направлении, перпендикулярном к этой плоскости [4]. При плоском расположении этих связей в диацетате бутиндиола и в 1,4-дихлорбутине возможны цисоидные и трансоидные их формы, как это видно из приведенных примерных схем:



* Появление дублета в области частот колебаний $\text{C}\equiv\text{C}$ у дизамещенных ацетиленов после работы [2] принято объяснять явлением Ферми-резонанса основной частоты колебаний $\text{C}\equiv\text{C}$ с октавой запрещенной в спектре комбинационного рассеяния основного тона в области 1100 см^{-1} . Однако это объяснение не может иметь общего значения. Кольрауш справедливо по этому поводу замечает [3]: «Совершенно невероятно, чтобы в системах вроде

из которых первая обладает высокой симметрией, а последняя — низкой, имелся бы одинаково высокий и одинаково ненаблюдаемый основной тон $\sim 1100 \text{ см}^{-1}$, который давал бы повод к появлению Ферми-резонанса. Во всяком случае, в спектрах комбинационного рассеяния этот основной тон не наблюдается; почти все приведенные спектры в области 1100 см^{-1} не имеют никаких частот».



Следствием этого является наличие в спектре 1,4-дихлорбутина двух частот тройной связи ($2240, 2330 \text{ см}^{-1}$), двух частот связей $\text{C}-\text{Cl}$ ($695, 705 \text{ см}^{-1}$), двух частот связей $\text{C}-\text{C}$ ($1160, 1172 \text{ см}^{-1}$) и т. д.; в спектре диацетата бутиндиола наличие двух частот (триплетных) связи $\text{C}\equiv\text{C}$, двух частот (дублетных) связи $\text{C}=\text{O}$ и т. д. В спектре 1,4-дихлорбутинна не наблюдается превращений каких-либо линий в большой набор частот, как это имеет место в спектрах бутиндиола, так как в 1,4-дихлорбутине нет таких сильных межмолекулярных взаимодействий, как в бутиндиоле. Так, метиленовые группы в 1,4-дихлорбутине представлены только двумя частотами симметричного и антисимметричного их колебания ($2950, 2991$) и т. д.; удвоение частот связей $\text{C}\equiv\text{C}$, $\text{C}-\text{Cl}$, $\text{C}-\text{C}$ вполне объясняется наличием двух указанных изомеров 1,4-дихлорбутинна. Однако в молекуле диацетата и в трансонидной, и в цисонидной формах имеется полевое взаимодействие карбонильной группы и электронной оболочки ее кислородного атома с разэкранированной стороной положительного ядра углеродных атомов тройной связи [4], благодаря чему частоты связи $\text{C}\equiv\text{C}$ как трансонидной, так и цисонидной формы распадаются на триплеты ($2231, 2243, 2257$ и $2298, 2313, 2328 \text{ см}^{-1}$), а карбонильная группа в каждой из форм представлена двумя частотами (1743 и $1729; 1754$ и другой, совпадающей с 1743 см^{-1} или теряющейся в ее фоне).

ЭКСПЕРИМЕНТАЛЬНАЯ ЧАСТЬ

Приводим основные физические свойства исследуемых соединений [5]:

| | Т. кип. в $^{\circ}\text{C}$ p в мм рт. ст. | Т. пл. в $^{\circ}\text{C}$ | n_D^{20} |
|---------------------|--------------------------------------------------|-----------------------------|------------|
| Бутиндиол | $\frac{147-148}{16}$ | 57—58 | — |
| 1,4-Дихлорбутин | $\frac{68-69}{22}$ | — | 1,5040 |
| Диацетат бутиндиола | $\frac{117-118}{8,5}$ | 28 | 1,4540 |

Спектры комбинационного рассеяния света этих веществ в жидкой фазе снимались на отечественном спектрографе ИСП-51 со средней камерой и на спектрографе Хильгера Е-612 от возбуждающей синей линии 4358 Å ртутной лампы (обозначения при интенсивности см. [6]).

Бутиндиол, $\Delta\nu \text{ см}^{-1}$: $\sim 0-350$ крыло линии Релея, $312 (2^*)$, $320 (3^*)$, $333 (3^*)$, $343 (3^*)$, $463 (1)$, $492 (1)$, $589 (1)$, $695 (1)$, $966 (1^*)$ — $988 (1^*)$ — $1005 (1^*)$ — $1017 (3^*)$ — $1028 (3^*)$ — $1042 (2^*)$ полоса, $1129 (1)$, $1231 (2)$, $1357 (3)$, $1445 (3^*)$, $1459 (3^*)$, $2203 (5^{**})$, $2216 (5^{**})$, $2272 (6^*)$, $2285 (6^*)$, $2853 (3^{**})$ — $2868 (5^{**})$ — $2883 (3^{**})$ полоса, $2900 (2^*)$ — $2914 (3^*)$ — $2929 (5^*)$ — $2939 (3^*)$ — $2949 (2^*)$ — $2963 (1^*)$ полоса (частоты колебаний OH в области выше 3000 см^{-1} не определялись из-за фона).

1,4-Дихлорбутин, $\Delta\nu \text{ см}^{-1}$: $251 (2^*)$, $266 (2^*)$, $278 (1^*)$, $310 (2^{**})$, $324 (3^{**})$, $334 (3^{**})$, $417 (1^*)$, $430 (2^*)$, $442 (3^*)$, $455 (10^{**})$, $695 (10^{**})$, $705 (10^{**})$, $785 (6)$, $903 (3p)$, $1160 (3^*)$, $1172 (3^*)$, $1190 (0)$, $1207 (4)$, $1267 (9)$, $1429 (6)$, $2240 (10)$, $2330 (4)$, $2419 (1)$ (составная: $1207-2$), $2950 (10)$, $2991 (6)$.

Диацетат бутиндиола, $\Delta\nu \text{ см}^{-1}$: $172 (1)$, $186 (1)$, $255 (1)$, $273 (2^*)$, $286 (3^*)$, $298 (1^*)$, $329 (3^*)$, $337 (6^*)$, $345 (6^*)$, $368 (5^{**})$, $385 (5^{**})$, $413 (3ш)$, $448 (0ш)$, $490 (4^*)$, $502 (4^*)$, $515 (4^*)$, $542 (2^{**})$, $551 (1^{**})$, $563 (2^{**})$, $603 (3^*)$, $630 (6^* \text{ дв})$, $647 (1^*)$, $668 (3^*)$, $770 (0)$, $804 (5)$, $836 (7 \text{ дв})$, $847 (1)$, $916 (6^*)$, $929 (6^*)$, $968 (4^{**})$, $978 (4^{**})$, $1023 (5^*p)$, $1033 (4^*p)$, $1042 (5^*p)$, $1217 (3^{**})$, $1229 (3^{**})$, $1240 (3^{**})$, $1257 (1)$, $1278 (3 \text{ дв})$, $1300 (0)$, $1318 (0)$, $1333 (0)$, $1362 (9^*)$, $1381 (6^*)$, $1435 (7^{**})$, $1454 (6^{**})$, $1729 (1^*)$, $1743 (5^*)$, $1754 (5^*)$, $2231 (5^*p)$, $2243 (10 \text{ дв}^{**})$, $2257 (5^{**})$, $2298 (4^*)$, $2313 (5^*)$, $2328 (2^*)$, $2933 (10^*)$, $2946 (6^*)$, $2957 (2^*)$, $2971 (2^*)$, $2990 (2^*)$, $3003 (2^*)$, $3025 (1^*)$.

ВЫВОДЫ

Бутиндиол, его диацетат и 1,4-дихлорбутин существуют в цисоидной и трансоидной формах вследствие наличия факторов, тормозящих свободное вращение отдельных групп атомов в этих молекулах вокруг соответствующих единичных связей.

Институт горючих ископаемых
Академии наук СССР
и Институт органической химии
им. Н. Д. Зелинского
Академии наук СССР

Поступило
17.VII.1959

ЛИТЕРАТУРА

1. М. И. Батуев, Ж. физ. химии 21, 137 (1947); 23, 1399 (1949); 24, 381 (1950); Изв. АН СССР, серия физ., II, 336 (1947).
2. B. L. Crawford, J. Chem. Phys. 7, 555 (1939).
3. К. Кольрауш, Спектры комбинационного рассеяния, ИЛ, М., 1952.
4. М. И. Батуев, Изв. АН СССР. Отд. хим. н. 1960, 558.
5. А. А. Ахрем, Изв. АН СССР. Отд. хим. н. 1960, № 4.
6. М. И. Батуев, А. А. Ахрем и А. Д. Матвеева, Изв. АН СССР. Отд. хим. н. 1960, 538.

М. И. БАТУЕВ

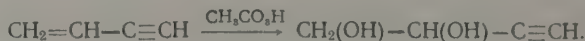
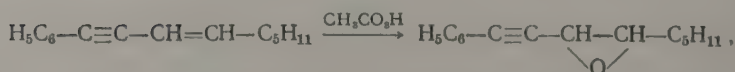
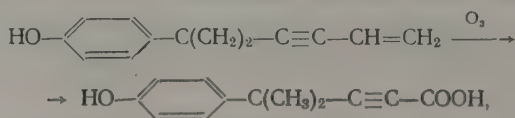
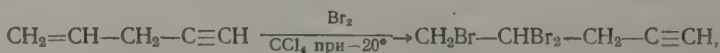
К ВОПРОСУ ОБ ОСОБЕННОСТЯХ СТРОЕНИЯ НЕКОТОРЫХ ЕДИНИЧНЫХ СВЯЗЕЙ В СИСТЕМАХ С КРАТНЫМИ СВЯЗЯМИ

Исследованиями последних десятилетий установлены следующие факторы в отношении соединений с кратными связями: 1) резкое сокращение длины единичной связи С—С, расположенной в молекуле рядом с тройной связью (до ~1,47 Å в метил-ацетилене) или между двумя кратными связями (до ~1,36 Å в диацетилене), сравнительно с длиной ее в эталоне — этане [1,55 Å] [1]; 2) отсутствие свободного вращения вокруг единичных связей С—С в сопряженных системах и наличие у них вследствие этого изомеров цисоидного и трансоидного типов [2]



Существенным обстоятельством, помогающим уяснить эти особенности в строении соединений с кратными связями, является специфика реакционной способности ацетиленовой связи и выяснение факторов, ее обуславливающих.

Сравнительно с двойной связью тройная менее реакционноспособна в отношении электрофильных реагентов (галогидов, озона, перекислот) и более реакционноспособна в отношении нуклеофильных реагентов (спиртов, аминов, ариламинов, аммония, воды) [3—6]. Так, при добавлении (в недостатке) брома к смеси ацетиленовых и этиленовых соединений последние им атакуются почти селективно [7]. При взаимодействии электрофильных брома, озона, перекислот с молекулами, в которых имеются двойная и тройная связи, реакции селективно протекают по двойной связи с образованием первичных продуктов, в которых тройная связь оказывается незатронутой реакцией [3, 7].

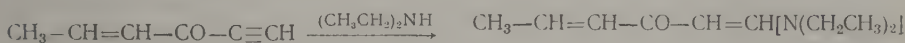
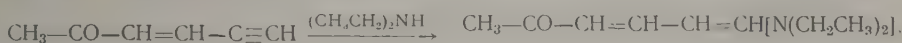
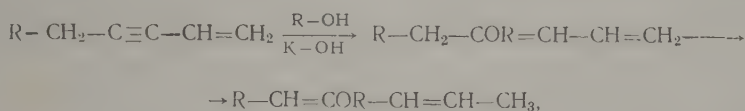
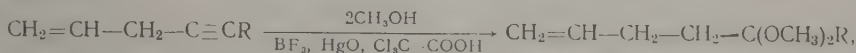


Гораздо большая скорость реакций электрофильных гидроперекисей кислот с этиленовой

связью, чем с ацетиленовой, видна из следующих данных (R — алкил, скорость реакции этилена принята равной 1) [3]:

| | | | |
|-----------------------------------------------|-------------------------------------------------------------------------------------------------------------------|-------------------------------------------|----------------------------------------------------------|
| $\text{HC}\equiv\text{CH}$ весьма медленно | $\text{RC}\equiv\text{CH}$ 0,1 | $\text{RC}\equiv\text{CR}$ 0,5 | $\text{H}_2\text{C}=\text{CH}_2$ 1 |
| $\text{R(H)C}=\text{CH}_2$ 20 | $\left\{ \begin{array}{l} \text{R(H)C}=\text{C(H)R} \\ \text{R}_2\text{C}=\text{CH}_2 \end{array} \right.$ 500 | $\text{R}_2\text{C}=\text{C(H)R}$ 6000 | $\text{R}_2\text{C}=\text{CR}_2$ неизмеримо быстро |

Напротив, реакции с нуклеофильными реагентами у аналогичных соединений протекают по тройной связи; в первичном продукте присоединения двойная связь остается не затронутой реакцией [3,8]



Отметим, что и присоединения галоидов [6] и галогенводородов [9, к ацетиленовой связи начинают трактоваться теперь как нуклеофильные реакции присоединения.

Первый потенциал ионизации тройной связи $\text{C}\equiv\text{C}$ на 21 ккал/А (на 9%) больше, чем этиленовой связи [10]. Следовательно, реакции, начинающиеся с электрофильной атаки, должны протекать в отношении ацетиленовой связи и значительно менее предпочтительно, что и наблюдается в действительности. Однако этот фактор сам по себе еще не объясняет большей склонности ацетиленовой связи к реакциям с нуклеофильными реагентами, причины ее кроются в следующем.

В соединениях типа CR_4 с тетраэдрическими в них углами связей $\text{C}-\text{R}$ положительное ядро углеродного атома наиболее равномерно экранировано электронной оболочкой (~симметрично распределенным октетом электронов). Углеродный атом этиленовой связи соединен с тремя соседними атомами тремя связями, лежащими обычно в одной плоскости и образующими между собой углы $\theta \sim 120^\circ$, при сосредоточении двух пар электронов в двойной связи положительный заряд углеродного атома этиленовой связи в некоторой степени разэкранирован с обеих сторон плоскости. Ацетиленовый углеродный атом связан с двумя соседними атомами одной единичной и одной тройной связями, расположенными линейно под углом $\sim 180^\circ$. При сосредоточении трех пар электронов в тройной связи ее углеродный атом сильно разэкранирован со стороны единичной связи; электронная оболочка ацетиленового углеродного атома крайне асимметрична, каждый из двух атомов ацетиленовой связи оказывается сильно поля-

ризованным: $\text{---}\overset{+}{\text{C}}\equiv\overset{-}{\text{C}}\text{---}$. Действие положительного поля разэкранированной стороны ядра углеродного атома ацетиленовой связи обеспечивает особенно большую склонность ацетиленовой связи к реакциям с нуклеофильными реагентами и вместе с тем влияет на строение связей, соседних с ацетиленовой: происходит притяжение электронной системы соседнего атома, а вместе с тем и его самого в результате «борьбы» за электроны, вследствие чего длина (r) соседней единичной связи сокращается [1 и др.]:

Таблица

| Соединения | Связь | r в Å | Соединения | Связь | r в Å |
|------------|----------------------------------|---------|-----------------|-------------------------------------|---------|
| Этан | $\text{H}-\text{C}(\text{H}_2)-$ | 1,102 | Гексаметилэтан | $\text{H}_3\text{C}-\text{C}-$ | 1,54 |
| Этилен | $\text{H}-\text{C}(\text{H})=$ | 1,071 | Метилацетилен | $\text{H}_3\text{C}-\text{C}\equiv$ | 1,47 |
| Ацетилен | $\text{H}-\text{C}\equiv$ | 1,058 | Диметилацетилен | $\text{H}_3\text{C}-\text{C}\equiv$ | 1,47 |

| Соединения | Связь | r в Å | Соединения | Связь | r в Å |
|-----------------|-------|---------|-----------------|-------|---------|
| Гексахлорэтан | Cl—C | 1,77 | Гексабромэтан | Br—C | 1,93 |
| Тетрахлорэтилен | Cl—C | 1,71 | Тетрабромэтилен | Br—C | 1,91 |
| Дихлорацетилен | Cl—C | 1,64 | Дибромацетилен | Br—C | 1,80 |

| Соединения | Связь | r в Å |
|------------|-------|---------|
| Этан | C—C | 1,55 |
| Бутадиен | =C—C= | 1,48 |
| Диацетилен | ≡C—C≡ | 1,36 |

Изложенное не объясняет еще отсутствие свободного вращения вокруг центральных единичных связей C—C в сопряженных системах; эта их особенность обусловлена главным образом взаимодействием локальных магнитных полей. Многоатомные органические молекулы, как правило, диамагнитны, т. е. лишены собственного магнитного момента, магнитонейтральны. Эта магнитонейтральность обусловлена взаимодействием спаренных спиновых и спаренных орбитальных магнитных моментов, в значительной мере обеспечивающим как валентную связь вследствие главным образом спаренности спинов, так и взаимную ориентацию отдельных групп атомов в молекуле вследствие главным образом ориентированного взаимодействия орбитальных магнитных моментов.

Экспериментальные данные показывают [11], что в алифатических соединениях с кратными связями последние стремятся расположиться в одной плоскости и диамагнитная восприимчивость у них оказывается наибольшей в направлении, перпендикулярном к этой плоскости. По-видимому [11], при наличии в молекуле кратных связей или между двумя кратными связями некоторые электроны этих связей занимают орбиты, лежащие в одной плоскости. Это главным образом — ориентированное взаимодействие (спаривание) орбитальных магнитных моментов, обеспечивающее при спаренности спинов магнитонейтральность плоскости, магнитонейтральные слои в молекуле, магнитонейтральность молекулы в целом и вместе с тем расположение в одной плоскости кратных связей. При этом магнитонейтральность молекул с сопряженными связями одинаково обеспечивается при плоских как цисоидных, так и трансидных их формах. Потенциальный барьер, их разделяющий, небольшой; например в бутадиене-1,3 он равен $\sim 2,3$ ккал/М, причем более устойчивой формой с меньшим запасом энергии является трансидная [2].

ВЫВОДЫ

1. Экспериментально установленное резкое сокращение длины единичной связи C—C, расположенной в молекуле рядом с тройной связью (метилацетилен и др.) или между двумя кратными связями (диацетилен и др.), обусловлено в основном асимметрией электронных оболочек углеродных атомов, образующих кратные связи, приводящей к значительной поляризации этих атомов.

2. Экспериментально установленное отсутствие свободного вращения вокруг единичных связей C—C в сопряженных системах (бутадиен и др.) и наличие у них вследствие этого изомеров цисоидного и трансидного типов обусловлено соответствующим взаимодействием орбитальных магнитных моментов электронов сопряженных кратных связей.

Институт горючих ископаемых
Академии наук СССР

Поступило
17.VII.1959

ЛИТЕРАТУРА

1. P. W. Allen, L. E. Sutton, Acta Crystallogr. **3**, 46 (1950).
2. J. Aston, G. Szasz, J. Chem. Phys. **14**, 67 (1946).
3. R. Raphael, Acetylenic compounds in organic synthesis., London, 1955.
4. F. Bohlman, H. Sinn, J. Polit, E. Inhofen, Chem. Ber. **89**, 1281 (1956).
5. H. Sinn, Z. Elektrochem. **61**, 989 (1957).
6. H. Sinn, Angew. Chem. **69**, 754 (1957).
7. C. Prevost, P. Souchay, J. Chauvelier, Bull. Soc. chim. France **714** (1951).
8. Б. С. Купин и А. А. Петров, Ж. общ. хим. **29**, 1151 (1959).
9. Е. А. Шилов и А. Е. Шилов, Докл. АН СССР **91**, 873 (1953).
10. A. D. Walsh, Quart. Rev. **2**, 73 (1948).
11. K. Lonsdale, J. Chem. Soc. **1938**, 364; Nature **145**, 148 (1940); Proc. Roy. Soc. A **171**, 541 (1939); Я. Г. Дорфман, Магнитные свойства и строение вещества, М., 1955; С. В. Вонсовский, Современное учение о магнетизме, М. 1952; П. Селвуд, Магнетохимия, М., 1958.

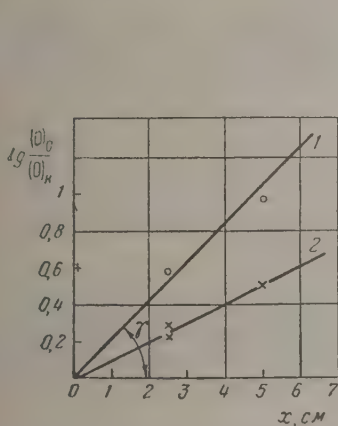
Л. И. АВРАМЕНКО и Р. В. КОЛЕСНИКОВА

К ВОПРОСУ О РОЛИ ТРЕТЬЕЙ ЧАСТИЦЫ В РЕАКЦИИ ВЗАИМОДЕЙСТВИЯ
O + CO

В предыдущей работе [1] нами была измерена эффективная константа скорости элементарной реакции атомного кислорода с молекулой окиси углерода и представлена в виде

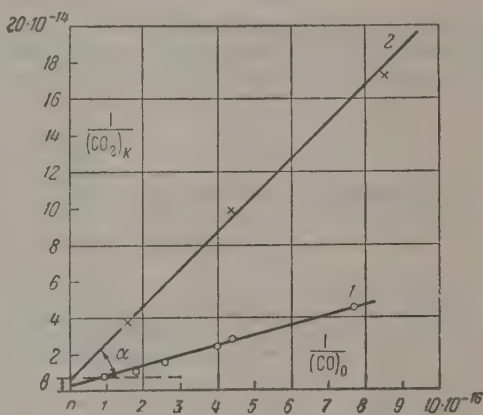
$$k = 3 \cdot 10^{-15} \sqrt{T} \cdot e^{-\frac{3000}{RT}} \text{ см}^3 \cdot \text{сек}^{-1}$$

В этой работе мы пришли к выводу о бимолекулярном механизме этой реакции на основе опытов при постоянном давлении. Представлялось интересным проверить и уточнить эти выводы при помощи опытов, в которых концентрация третьей частицы не сохраняется постоянной. В настоящей работе методика и аппаратура были использованы те же, что и ранее [1], но реакционный сосуд был другим, в отличие от преж-



Фиг. 1.

1 — давление 2,5 мм; 2 — давление 14,5 мм



Фиг. 2.

1 — давление 2,5 мм; 2 — давление 14,5 мм

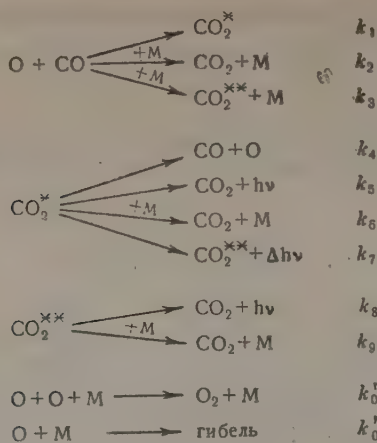
него его поверхность была покрыта KCl. Были проведены опыты при двух давлениях (2,5 мм и 14,5 мм). Результаты измерений относительных концентраций атомного кислорода по длине сосуда представлены на фиг. 1. Начало координат является обязательной точкой. Данные фиг. 1 получены при температуре 428° К. Наличие пропорциональной зависимости между величинами, представленными на графике, по соображениям, изложенным ранее [1], указывает на преобладание линейной гибели атомов кислорода над квадратичной. Из фиг. 1 получены константы скорости линейной гибели k_0 для двух давлений. Вычисления проводились по формуле: $k_0 = 2,3 \omega \operatorname{tg} \gamma$ (где ω — линейная скорость струи; γ — угол наклона прямой на фиг. 1). Для давления 2,5 мм $k_0 = 66 \text{ сек}^{-1}$, для давления 14,5 мм $k_0 = 102,5$.

На фиг. 2 представлены результаты измерений конечных концентраций $(\text{CO}_2)_k$ в зависимости от начальной концентрации $(\text{CO})_0$. Из данных фиг. 2 получены эффективные константы скорости реакции $\text{O} + \text{CO} \rightarrow \text{CO}_2$ для двух давлений. Вычисления констант скоростей производились по формуле:

$$k = k_1 + k_2(M) = \frac{bk_0}{\operatorname{tg} \alpha}$$

Величины b и $\operatorname{tg} \alpha$ — получаются из фиг. 2. Для давления 2,5 мм $k = 2,4 \cdot 10^{-15}$, для давления 14,5 мм $k = 3 \cdot 10^{-15} \text{ см}^3 \cdot \text{сек}^{-1} \text{ молекул}^{-1}$. Как видно из приведенных цифр, эффективная константа скорости взаимодействия атомов O и CO слабо зависит от давления в измеренном интервале давлений.

Практика полученного опытного результата получается более ясная, если рассмотреть структуру измеряемой нами на опыте эффективной константы k . Представим себе схему механизма этой реакции в следующем виде:



В этой схеме CO_2^* — представляет собой неустойчивый комплекс, а CO_2^{**} — комплекс стабилизированный, но находящийся в возбужденном состоянии.

Из указанной схемы можно из условия стационарности

$$\frac{d \text{CO}_2^*}{dt} = 0$$

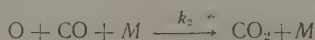
получить выражение эффективной константы в виде

$$k = (k_2 + k_3) M + k_1 \frac{k_5 + (k_6 + k_7) M}{k_4 + k_5 + (k_6 + k_7) M} \quad (1)$$

Отсутствие заметной зависимости k от M на опыте в измеряемом интервале указывает на то, что величиной $(k_2 + k_3) M$ в уравнении (1) можно для данного интервала давлений пренебречь. Кроме того, отсутствие зависимости от давления указывает на то, что второй член в уравнении (1) в данном интервале давления равен приблизительно величине k_1 . Следовательно, уравнение (1) можно записать в виде:

$$k \approx k_1.$$

Таким образом, экспериментальные данные и схема механизма реакции взаимодействия $\text{O} + \text{CO}$ указывают на преобладание бимолекулярных процессов над тримолекулярными в рассмотренном интервале давлений. Следовательно, измеренная нами эффективная константа скорости k — есть фактически константа бимолекулярного процесса k_1 . Полученные опытные данные позволяют также оценить верхний предел величины суммы констант $k_2 + k_3$ тройных столкновений реакции



из того факта, что в наших измерениях величины k наблюдается лишь слабый рост от давления, лежащий в пределах погрешности измерений, можно записать неравенство:

$$(k_2 + k_3) M < 0,6 \cdot 10^{-15} \text{ см}^3 \cdot \text{сек}^{-1} \text{ молекул}^{-1}$$

Подставив значение M при 428°K и $p = 14,5 \text{ мм рт. ст.}$, равное $3,3 \cdot 10^{17}$, получим:

$$(k_2 + k_3) < 2 \cdot 10^{-33} \text{ см}^6 \cdot \text{сек}^{-1} \text{ молекул}^{-1}$$

Полученные опытные данные подтверждают таким образом вывод, сделанный нами ранее [1] о бимолекулярном механизме этой реакции при давлениях до 10 мм рт. ст.

Вопрос о механизме этой реакции при более высоких давлениях также становится более ясным. Так, например, на основе наших данных можно показать, что в условиях пламени окиси углерода при атмосферном давлении и температуре 2000°K будет преобладать бимолекулярный механизм реакции атомов O с CO . Действительно, вычисляя значение эффективной константы по нашей формуле:

$$k = 3 \cdot 10^{-15} \sqrt{T} \cdot e^{-\frac{3600}{RT}} \text{ см}^3 \cdot \text{сек}^{-1} \text{ молекул}^{-1}$$

для $T = 2000^\circ$, получим $k = 6,4 \cdot 10^{-14} \text{ см}^3 \cdot \text{сек}^{-1}$, в то время как произведение $(k_2 + k_3) M$, определяющее скорость тримольного процесса при $T = 2000^\circ$ и $p = 760 \text{ мм рт. ст.}$, составляет максимум $7,5 \cdot 10^{-15} \text{ см}^3 \cdot \text{сек}^{-1}$. Из сравнения скоростей реакции эффективной и скорости тримолекулярного процесса видно преобладание бимолекулярного процесса. Этот вывод находится в хорошем согласии с выводом Зельдовича и Семенова [2]. Эти авторы на основе сравнения опыта с теорией для скорости горения CO пришли к заключению о том, что бимолекулярный механизм реакции $O + CO \longrightarrow CO_2$ лучше удовлетворяет опыту, чем тримолекулярный механизм.

В условиях низких температур и высоких давлений не исключено преобладание тримолекулярного механизма, однако это не является очевидным и требует дополнительных исследований.

ВЫВОДЫ

1. Измерена константа скорости реакции $O + CO$ при разных давлениях.
2. Реакция $O + CO \longrightarrow CO_2$ является бимолекулярной в широком интервале температур и давлений.

Институт химической физики
Академии наук СССР

Поступило
20.VII.1959

ЛИТЕРАТУРА

1. Л. И. Авраменко и Р. В. Колесникова, Изв. АН СССР. Отд. хим. н. 1959. 1562.
2. Я. Б. Зельдович и Н. Н. Семенов, Ж. эксперим. и теор. физ. 10, 1427 (1940)

С. Л. КИПЕРМАН

К ОПРЕДЕЛЕНИЮ ЭНЕРГИИ СВЯЗИ ПОВЕРХНОСТИ НИКЕЛЕВОГО КАТАЛИЗАТОРА С УГЛЕРОДОМ

Величина энергии связи поверхности никелевого катализатора с углеродом была оценена Баландиным [1] из сравнения относительной легкости протекания различных реакций сложных органических соединений и была вычислена нами [2,3] из кинетических данных. Для ее термодинамической оценки рассмотрим равновесие реакции



где A — атом реагирующего вещества, взаимодействующий n -валентностями с x атомами $[K]$ поверхности катализатора.

Под энергией связи $Q_{A-[K]}$ будем понимать величину теплового эффекта реакции (1) — $\Delta H'$, отнесенную к одной валентности A , т. е.

$$Q_{A-[K]} = -\frac{1}{n} \Delta H'. \quad (2)$$

При этом рассматриваем атомы $[K]$ не в свободном состоянии, как обычно делается при расчетах энергий разрыва связей [4,5], а в соответствии с проведенными ранее расчетами, как составную часть поверхности катализатора со свободными валентностями. Если реакцию (1) отнести к одному атому $[K]$, т. е.



то можно написать

$$Q_{A-[K]} = -\frac{x}{n} \Delta H, \quad (4)$$

где $-\Delta H$ — тепловой эффект реакции (3).

Для аналогичного взаимодействия с атомами K , входящими в объем кристаллической решетки катализатора



имеем:

$$Q_{A-K}^* = -\frac{x^*}{n} \Delta H^*, \quad (6)$$

где все величины относятся к объемной фазе катализатора. Из уравнений (4) и (6) получаем

$$Q_{A-[K]} = \frac{x^*}{x} Q_{A-K}^* - \frac{x}{n} (\Delta H - \Delta H^*). \quad (7)$$

В работах [6–8] предполагалось, что при переходе от объемного соединения к соответствующему поверхностному соединению величина энтропии меняется настолько мало, что ее изменением можно пренебречь. Это предположение вытекает из применимости теплового закона Нернста к явлениям адсорбции [9] и оправдывается полученными результатами. В частности, такое предположение было сделано для поверхностных соединений никелевого катализатора с кислородом. Из аналогичного предположения в данном случае вытекает

$$\Delta H - \Delta H^* \approx \Delta F - \Delta F^* \quad (8)$$

[ΔF и ΔF^* — изменение свободной энергии реакций (3) и (5)], откуда

$$Q_{A-[K]} = \frac{x}{x^*} Q_{A-K}^* - \frac{r_x}{n} (\Delta F - \Delta F^*) \quad (9)$$

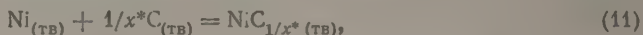
Величины ΔH и ΔF могут, в отличие от ΔH^* и ΔF^* , меняться на разных участках поверхности или при разных степенях ее покрытия. Для равномерно неоднородной поверхности, как показано в работе [6], величина энтропийного слагаемого не меняется в области средних покрытий поверхности; в области малых или больших заполнений следует внести поправки на „конфигурационный член“ энтропии, значение которого дано в работе [8]. Таким образом, за величины ΔH или ΔF можно принимать средние их значения для данной поверхности или рассматривать их для отдельных участков разных степеней покрытия. Так как величины Q_{A-K}^* могут быть вычислены из табличных данных для соответствующих объемных соединений, вопрос о нахождении $Q_{A-[K]}$ сводится к определению избыточной энергии поверхностного соединения $[K]A_{1/x}$.

Примем, что избыточная свободная энергия ($\Delta F - \Delta F^*$) определяется, в основном, избыточной свободной энергией поверхностных атомов катализатора, свободные валентности которых насыщают валентности A . Это допущение, которое представляется естественным, позволяет применить уравнение [9] для нахождения величин $Q_{A-[K]}$ различных поверхностных соединений данного катализатора с A , A' , A'' и т. п., если известно значение избыточной свободной энергии одного из таких поверхностных соединений.

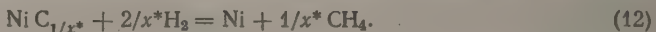
Используя указанные предположения, рассмотрим равновесие



Для объемной фазы никеля имеющиеся данные относятся к реакции



изменение энтальпии которой можно вычислить (как это сделано в работе [10]) из равновесия



По данным [10], величина $-\Delta H$ реакции (11) равна $(7,4/x^*)$ ккал/М (в интервале $350-650^\circ$), а из данных [11] в интервале $226-235^\circ$ $-\Delta H$ равна $5,0/3-6,5/3$ ккал/М. По calorиметрическим данным, полученным из значений теплот сгорания, $-\Delta H = -9,2/3$ ккал/М [12].

Более надежными в этом случае мы будем считать данные [10]. Так как указанные выше данные относятся к твердому состоянию углерода, то для наших расчетов учтем переход

$$C_{(тв)} = C_{(газ)}. \quad (13)$$

Согласно последней сводке Кондратьева [5], теплота атомизации углерода равна $171,3$ ккал/г-ат. Величина $(\Delta F - \Delta F^*)$ для равновесия $[Ni] + 1/2 O_2 = [Ni] O$ на никелевом катализаторе (не содержащем промоторов и носителя), поверхность которого равномерно неоднородна, согласно нашим данным [7,8] меняется от $1,6$ до $4,2$ ккал/М, среднее $(\Delta F - \Delta F^*)$ для $x=1$ и $n=2$ равно $2,9$ ккал/М, а на одну валентность $-1,45$ ккал/М.

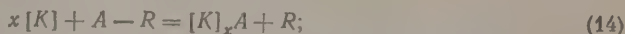
Состав объемного карбида никеля отвечает значению $x^*=3$. Состав поверхностного соединения $[Ni]C_{1/x}$ может меняться, в зависимости от степени покрытия поверхности, от $x=\infty$ до $x=1$ (ковалентный радиус углерода равен $0,71-0,75 \text{ \AA}$, площадь, занимаемая атомом никеля для наиболее плотных граней (111) и (100), встречающихся на поверхности наиболее часто, равна в среднем $5,74 \cdot 10^{-18} \text{ см}^2$). Для средних покрытий поверхности x близок к 2. Таким образом, поправка на величину избыточной свободной энергии, согласно уравнению (9), для $x=2$ составит $2,9$ ккал/М, а при меньших покрытиях, если $x=4$, она будет 6 ккал/М.

Таким путем из наших данных об избыточной свободной энергии и данных [10] и [11] о равновесии (12), при помощи уравнения (9), пренебрегая температурной зависимостью ΔH , получаем для средних степеней покрытия никелевого катализатора величину энергии связи $Q_{C-[Ni]}$, равную $26,6-26,9$ ккал/М. Значения ее близки к вычисленной нами ранее из кинетических данных величине энергий связи никелевого катализатора с углеродом, на-

ходящимся в соединении по соседству с двойной связью [2,3]. Эта величина, пересчитанная на вновь принятую теплоту атомизации углерода [5], равна 28,1 ккал/М [13].

При полном покрытии поверхности аналогичным путем получаем $Q_{C-[N]} = 14,0 - 14,1$ ккал/М, близкую к вычисленной из кинетических данных энергии связи с углеродом, находящимся в соединении по соседству с ординарной связью [3,13].

Отметим, что уравнение (9) сохраняется, когда А входит в более сложное соединение $A-R$, содержащее другие адсорбирующиеся атомы, если в ходе реакции имеет место полная диссоциация $A-R$ на поверхности катализатора. В этом случае в выражение для теплового эффекта реакции входит теплота диссоциации $A-R$, а значение $Q_{A-[K]}$ не меняется, что видно из сравнения реакции (1) и реакций:



В случае, если в ходе реакции на поверхности вначале не происходит полного разрыва связи $A-R$, то значения $Q_{A-[K]}$ могут различаться. Однако на металлических катализаторах доля разрываемой при адсорбции связи близка к 0,9–1 [14], поэтому указанное различие, по сравнению с величинами $Q_{A-[K]}$, должно быть невелико.

Приношу глубокую благодарность А. А. Баландину за внимание и интерес к работе

ВЫВОДЫ

Рассчитаны величины энергии связи поверхности никелевого катализатора с углеродом при помощи предположения о том, что избыточная свободная энергия поверхностных соединений распределяется, в основном, избыточной свободной энергией поверхности катализатора.

Институт органической химии
им. Н. Д. Зелинского
Академии наук СССР

Поступило
20.VII.1959

ЛИТЕРАТУРА

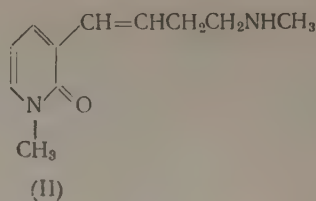
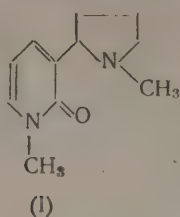
1. А. А. Баландин, Ж. общ. химии 12, 337 (1942); Докл. АН СССР 107, 85 (1956).
2. С. Л. Киперман и А. А. Баландин, Докл. АН СССР 113, 335 (1957).
3. С. Л. Киперман и А. А. Баландин, Ж. физ. химии 33, 2045 (1959).
4. Т. Коттрелл, Прочность химических связей, ИЛ. М., 1956.
5. В. Н. Кондратьев, Успехи химии 26, 861 (1957).
6. Н. В. Кулькова и М. И. Темкин, Ж. физ. химии 31, 2017 (1957).
7. С. Л. Киперман, А. А. Баландин и И. Р. Давыдова, Изв. АН СССР. Отд. хим. н. 1957, 1129.
8. С. Л. Киперман, А. А. Баландин и И. Р. Давыдова, Сб. «Кинетика и катализ», Изд. АН СССР, М., 1960.
9. М. И. Темкин, Ж. физ. химии 4, 573 (1933).
10. F. E. C. Scheffler, J. Dokkum u. Al., Rec. 45, 803 (1926).
11. L. C. Browning, P. H. Emmett, J. Amer. Chem. Soc. 74, 1860 (1950).
12. W. A. Roth, G. Müller, Z. angew. Chem. 42, 981 (1929).
13. С. Л. Киперман и А. А. Баландин, Сб. «Кинетика и катализ», Изд. АН СССР, М., 1960.
14. С. Л. Киперман, Изв. АН СССР. Отд. хим. н. 1959, 2054.

[Я. Л. ГОЛЬДФАРБ и В. В. КИСЕЛЕВА]

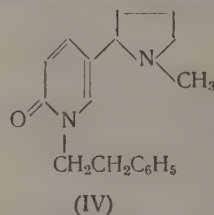
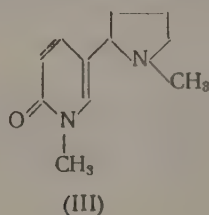
К ВОПРОСУ О СТРОЕНИИ N-МЕТИЛНИКОТИНА И РY-N-МЕТИЛМЕТАНИКО- ТОНА

В 1925–1926 гг. Каррер и сотрудники получили окислением Рy-йодметилата никотина так называемый N-метилникотин (т. пл. 85°), которому они приписали строение 1-метил-2-[1'-метилпирролидил-2''] пиридина-2 (1) [1]. Основанием для такого вывода послужила, так полагали авторы, идентичность хлорпиридинкарбеновой кислоты, полученной ими из (1), с 2-хлорпиридиновой кислотой [2]. Руководствуясь этим, мы описали [3] продукт расщепления пирролидинового кольца в веществе с т. пл. 85° так

называемый Ру-N-метилметаникотон; как замещенный в положении «3» N-метилпиридон-2 (II). Однако позднее в связи с появлением реферата работы Тацуно [4] нам при-

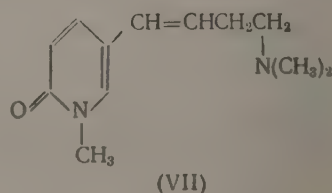
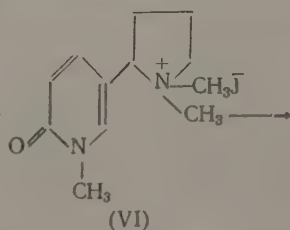
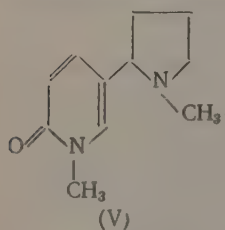


шлось вернуться к вопросу о строении исходного N-метилникотона, а следовательно и Ру-N-метилметаникотона. Тацуно описывает выделенный им продукт окисления Ру-N-метилникотиниевой соли [жидкость с т. кип. 165—170° (7 мм)], как N-метил-3-[N-метилпирролидил-(2)]пиридон-6 (III)*; с таким представлением согласуется величина найденного им дипольного момента и, кроме того, тот факт, что другая аналогичная соль никотина — Ру-N-(β-фенетил)никотинийбромид дает при окислении в тех же условиях соответствующий замещенный в положении «5» пиридон-2 (IV) [5]. Подобную же точку зрения относительно места атаки окислителем никотиниевой соли высказали



ранее Сугасава и Кирисава [6], которые тогда же отметили, что направление процесса окисления трех замещенных солей пиридина зависит от природы заместителя и, конечно, от условий окисления**. Учитывая вышеуказанные факты, было целесообразно воспроизвести окисление Ру-N-метилникотиниевой соли в условиях, выбранных Тацуно, и сравнить образовавшееся соединение с N-метилникотонем Каррера. Это оказалось возможным после того, как Тацуно, по нашей просьбе, прислал нам отклик своей работы, вышедшей на японском языке***. Полученный нами таким путем продукт после перегонки в вакууме закристаллизовался и оказался идентичным, как по температуре плавления основания (85°), так и по температуре плавления пикрата, с упомянутым соединением Каррера.

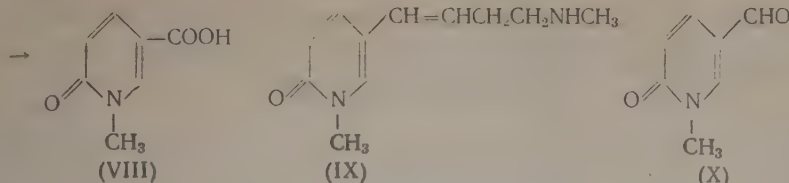
Чтобы можно было произвести окончательный выбор между формулами (II) и (III), мы остановились на способе доказательства, аналогичном использованному Сугасава и Тацуно [5] при исследовании продукта окисления Ру-N-(β-фенетил)никотинийбромид — гофмановском расщеплении Ру-йодметилата N-метилникотона с последующим окислением полученного десоснования перманганатом калия. При этом была выделена, правда, лишь с небольшим выходом, описанная рядом исследователей 1,6-дигидро-1-метил-6-оксоникотиновая кислота (VIII) с т. пл. 240° [8, 9]. Та же кислота была получена нами из альдегида (X), выделенного после озонирования основания (IX). Тем самым определяется и строение (VI) взятого для расщепления йодметилата, а следовательно, и строение (V) для N-метилникотона Каррера — 1-метил-5-[1-метилпирролидил-(2')]пиридон-2. Тогда и описанный нами ранее [3] Ру-N-метил-α-метаникотон должен иметь строение (IX) — 1-метил-5-[4'-метиламинобутил-(1')]пиридон-2



* Это соединение правильнее было бы назвать 1-метил-5-[1'-метилпирролидил-(2')]пиридоном-2.

** Более полные данные по этому вопросу см. в обзоре Тиагараяна [7].

*** Мы пользуемся случаем еще раз выразить Тацуно нашу благодарность.



ЭКСПЕРИМЕНТАЛЬНАЯ ЧАСТЬ

1-Метил-5-[1'-метилпирролидил-(2'')] пиридон-2 (V). 1) По методике, описанной Каррером [1], получен кристаллический продукт, после перекристаллизации из гептана, т. пл. 86° ; 2) в условиях, описанных Тацуно [4], продукт (V), полученный сначала в виде масла, после двукратной перегонки в вакууме при 7 мм (т. кип. $168-172^\circ$) закристаллизовался (т. пл. $82-85^\circ$); после перекристаллизации из гептана т. пл. 85° , продукт не давал понижения температуры плавления в смеси с веществом, полученным по методу Каррера.

Йодметилат 1-метил-5-[1'-пирролидил-(2'')] пиридона-2 (VI). Получен нагреванием 10 г N-метилникотона (V) с йодистым метилом (4 мл) в спирте. При перекристаллизации его из спирта получилось 14,6 г кристаллов с т. пл. $210-211^\circ$; выход 84%. Найдено: C 42,92; 43,08; H 5,67; 5,94; J 37,42; 37,94%. $C_{12}H_{19}ON_2J$. Вычислено: C 43,11; H 5,69; J 38,02%.

1-Метил-5-[4'-диметиламинобутенил-(1')] пиридон-2 (VII). Получен из йодметилата (VI) (12,5 г), обычным методом расщепления, по Гофману, соответствующего четвертичного основания. Выделенное темное масло перегнано в вакууме при пропускании тока сухого азота. Собрано 6,4 г (выход 83%) светло-желтого масла с т. кип. $163-163,5^\circ$ (1 мм); при стоянии оно быстро темнеет. Найдено: C 69,14; 69,09; H 8,79; 8,89. N 13,48; 13,28%. $C_{12}H_{18}N_2O$. Вычислено: C 69,9; H 8,74; N 13,59%.

Окисление 1-метил-5-[4'-диметиламинобутенил-(1')] пиридона-2 (VII). 3,1 г (0,015 M) (VII) растворены в 300 мл чистого сухого ацетона и окислены добавлением порошкообразного $KMnO_4$. Осадок отфильтрован, суспендирован в воде и переведен в раствор путем пропускания SO_2 . Из ацетонового фильтрата выделено 1,7 г исходного основания. Водный раствор упарен, и высушенный остаток извлечен абсолютным спиртом. Из спиртового раствора выделено 0,3 г кристаллов кислоты (VIII), плавящихся при $234-236^\circ$; выход 25%, считая на вошедший в реакцию (VII). После перекристаллизации т.пл. 238° (нглы из спирта). По литературным данным температура плавления 1,6-дигидро-1-метил-6-оксоникотиновой кислоты 238° ; 240° [8, 9] (температура плавления 1,2-дигидро-1-метил-2-оксоникотиновой кислоты 183° [10]).

Озонирование дихлоргидрата 1'-метил-5-[4'-метиламинобутенил(1')]пиридона-2 2,65 г дихлоргидрата основания (IX) были проозонированы в условиях, описанных Гольдфарбом и Карауловей для 2-амино-3-[4'-ацетилметиламинобутенил-1')] пиридина [11]. Выделен 1,6-дигидро-1-метил-6-оксо-3-пиридилаальдегид (0,2 г) с т. пл. $118,5-120^\circ$ (из октана). Найдено: C 60,94; 60,75; H 5,25; 5,11; N 10,16; 10,31%. $C_7H_7O_2N$. Вычислено: C 61,31; H 5,11; N 10,22%. Динитрофенилгидразон имеет т. пл. $278-280^\circ$.

0,1 г альдегида (X) окислены окисью серебра в щелочном растворе; после отделения осадка серебра из раствора выделены тонкие нглы (0,08 г) с т.пл. $236-237^\circ$, не дающие понижения температуры плавления в смеси с кислотой (VIII), полученной, как описано выше. Найдено: C 54,86; 54,94; H 4,87; 4,71; N 9,05; 8,99%. $C_7H_7O_3N$. Вычислено: C 54,90; H 4,58; N 9,15%.

ВЫВОДЫ

N-метилникотон и γ -N-метилметаникотон имеют соответственно строение 1-метил-5-[1'-метилпирролидил-(2'')] и 1-метил-5-[4'-метиламинобутенил-(1')]пиридонов-2.

Институт органической химии
им. Н. Д. Зелинского
Академии наук СССР

Поступило
21.VII.1959

ЛИТЕРАТУРА

1. P. Karrer, R. Widmer, *Helv. chim. acta* 8, 364 (1925); P. Karrer, T. Takahashi, там же 9, 458 (1926).
2. А. Е. Чичибабин и А. В. Кирсанов, *Ber.* 57, 1163 (1924); *Ж. русск. хим. о-ва* 56, 157 (1925).
3. Я. Л. Гольдфарб и В. В. Киселева, *Изв. АН СССР. Отд. хим.* н. 1958, 903.
4. T. Tatsuno, *Nippon Daigaku Yakugaku, Kenkyu Hokoku*, 1, 70 (1957); *Chem. Abstrs.* 52, 9111c (1958).
5. Sh. Sugawara, T. Tatsuno, *J. Pharm. Soc. (Japan)* 72, 248 (1952).
6. Sh. Sugawara, M. Kirisawa, *Pharm. Bull. (Japan)* 3, 187 (1955).
7. B. S. Thugaraian, *Chem. Rev.* 58, 439 (1958).
8. M. E. Pullman, S. P. Colowick, *J. Biol. Chem.* 206, 121 (1954).
9. H. Meyer, *Monatsh.* 26, 1318 (1905).
10. E. Späth, G. Koiler, *Ber.* 56, 880 (1923); М. С. Кондакова и Я. Л. Гольдфарб, *Докл. АН СССР* 66, 647 (1949).
11. Я. Л. Гольдфарб и Е. Н. Караулова, *Докл. АН СССР* 65, 843 (1949).

Н. К. КСЧЕТСВ, А. Я. ХОРЛИН, Л. А. ВОРОТНИКОВА и В. Е. ВАСЬКОВСКИЙ

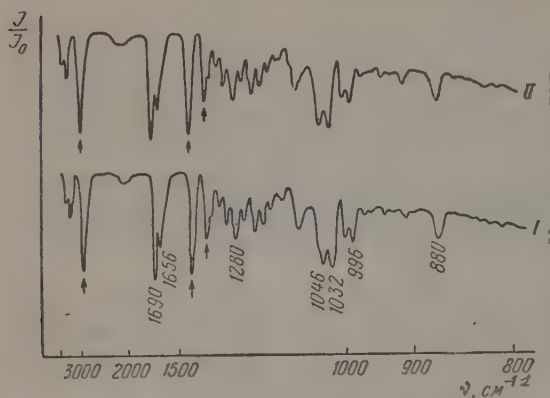
ПРЕДВАРИТЕЛЬНЫЕ ДАННЫЕ ПО ХИМИЧЕСКОМУ ИЗУЧЕНИЮ КОРНЕЙ АРАЛИИ МАНЬЧЖУРСКОЙ

Аралия маньчжурская (*Aralia manshurica* сем. *Araliaceae*) — небольшое дерево, произрастающее в Приморском крае. Водные вытяжки из корней аралии маньчжурской обладают фармакологическим действием сходным с действием женьшеня, относящегося к тому же семейству (*Panax ginseng* сем. *Araliaceae*) [1]. Никаких данных о химическом составе корней

аралии маньчжурской не опубликовано. Поскольку вопрос о химической природе веществ, вызывающих хорошо известное стимулирующее действие препаратов женьшеня и других аралиевых, представляет существенный интерес, нами начато химическое изучение корней аралии маньчжурской.

Исследованию подвергались три образца корней: 1) корни сбора 1956 г. экспедиции ВИЛАР; 2) корни парникового растения (ВИЛАР, 1957 г.) и 3) корни, заготовленные Хабаровским ГАПУ в 1958 г. Все образцы оказались идентичными по своему составу.

Предварительные исследования методом бумажной хроматографии вытяжек из корней различными растворителями показали наличие весьма сложной смеси



Фиг. 1. ИК-спектры сапонина, выделенного из аралии маньчжурской (I) и олеаноловой кислоты (II)

веществ, что уже отмечалось при исследованиях женьшеня. Наряду с значительным количеством резервных сахаров, некоторого количества флаванондов и т. д. в корнях аралии отмечено высокое содержание сапонинов, первоначальные данные о природе которых и приводятся в этой заметке.

Сумма сапонинов была выделена из метанольного экстракта корней с последующей обработкой хлороформом и бутанолом и оказалась трудно поддающимся очистке аморфным веществом; гидролиз ее 5%-ной соляной кислотой дал трудно очищаемый просапоненин. Последний подвергся окончательному гидролизу смесью ацетона с соляной кислотой, в результате чего был выделен сапонин состава $C_{30}H_{48}O_3$; т. пл. 305—308°; $[\alpha]_D^{20} + 82,8^\circ$, который соответствовал олеаноловой кислоте. Идентичность его с последней была подтверждена полным сходством ИК-спектров с заводской олеаноловой кислотой (фиг. 1).

В результате гидролиза суммы сапонинов хроматографически определяются четыре моносахарида, из которых один является глюкозой. Эти предварительные данные указывают на то, что сапонины аралии маньчжурской относятся к группе тритерпеновых сапонинов, данные о которых в литературе весьма ограничены. Исследования по установлению строения сапонина аралии продолжаются.

ЭКСПЕРИМЕНТАЛЬНАЯ ЧАСТЬ

Выделение суммы сапонинов. 1 кг измельченных воздушно-сухих корней аралии маньчжурской подвергают пятикратному извлечению горячим метанолом. Объединенные экстракты упаривают досуха, и аморфный остаток сушат в вакуум-эксикаторе, вес 50 г; 45 г продукта растворяют в 200 мл водного слоя смеси хлороформ — этанол — вода (3:1:4); раствор извлекают трижды по 100 мл хлороформным слоем указанной смеси, затем пятикратно и бутанолом по 100 мл. Соединенные бутанольные вытяжки упаривают до $\frac{1}{5}$ первоначального объема, выпавший кристаллический осадок отфильтровывают, промывают на фильтре бутанолом и сушат в вакууме. Вес — 15,0 г; при нагревании до 250—288° вещество разлагается с возгонкой олеановой кислоты.

Просапоненин. 15,0 г сапонина растворяют в 250 мл 0,5%-ной соляной кислоты и нагревают на кипящей водяной бане в течение 4 час. Выпавший гидрофильный осадок центрифугируют, промывают водой и сушат в вакууме. Вес 6,3 г, вещество разлагается при 250—280° с выделением олеаноловой кислоты.

Олеаноловая кислота. 2,0 г просапоненина растворяют в 50 мл ацетона и 5 мл концентрированной соляной кислоты. Раствор кипятят 6 час., затем разбавляют 100 мл воды, дважды извлекают эфиром, эфирные вытяжки промывают водой и встряхивают с 50 мл 5%-ной NaOH, осадок растворяют в смеси эфир — спирт (100 мл, 1:1), подкисляют раствор соляной кислотой и растворители отгоняют досуха. Полученную олеаноловую кислоту перекристаллизовывают дважды из абсолютного этанола; вес 0,4 г;

т. пл. 305—308°; смешанная проба с заведомым образцом не дает депрессии температуры плавления, $[\alpha]_D^{20} + 82,8^\circ$ ($c = 0,8$ в CHCl_3).

Литературные данные для олеаноловой кислоты [2]; т. пл. 307—308°, $[\alpha]_D^{20} + 83,6^\circ$ ($c = 0,8$).

ВЫВОДЫ

В корнях аралии маньчжурской (*Aralia manshurica*) доказано присутствие тритерпеновых сапонинов — производных олеаноловой кислоты.

Институт химии природных соединений
Академии наук СССР
и Институт фармакологии и химиотерапии
Академии медицинских наук СССР

Поступило
21.VII.1959

ЛИТЕРАТУРА

1. Т. Н. Ильинская, Аптечное дело 1954, № 4, 18.
2. К. А. Серова и Л. М. Уткин, Ж. общей химии 29, 336 (1959).

Д. А. БОЧВАР, Э. С. БОГАТОВА и А. Л. ЧИСТЯКОВ

РАСЧЕТ МЕТОДОМ МО ЛКАО МОЛЕКУЛЫ ТЕТРАФЕНИЛЦИКЛОБУТАДИЕНА

В частном сообщении профессора А. Т. Балабана (Румынская Народная Республика) ставится вопрос о возможности образования в одной реакции молекулы тетрафенилциклобутadiена. В связи с этим мы считаем целесообразным привести результаты расчета этой молекулы простейшим методом МО ЛКАО при обычных его допущениях. Результаты таковы.

- 1) Молекула не имеет замкнутой электронной оболочки в смысле Хюккеля.
- 2) Распределение энергетических уровней следующее: $\alpha + 2,61 \beta$; $\alpha + 2,10 \beta$ (дважды вырожден); $\alpha + 2,05 \beta$; $\alpha + 1,79 \beta$; $\alpha + 1,26 \beta$ (дважды вырожден); $\alpha + 1,11 \beta$; $\alpha + \beta$ (четырежды вырожден); $\alpha + 0,76 \beta$; α (дважды вырожден). Остальные (разрыхляющие) уровни расположены на шкале энергии симметрично связывающим относительно α ; α — означает кулоновский, а β — резонансный интеграл.
- 3) Энергия сопряжения равна $10,08 \beta$.
- 4) Выигрыш в энергии сопряжения сравнительно с четырьмя фенильными и одним циклобутadiеновым кольцами равен $2,08 \beta$.
- 5) Выигрыш в энергии сопряжения сравнительно с двумя молекулами стилибена равен $0,34 \beta$.

Таким образом, с точки зрения такого простого расчета даже тогда, когда модель предполагается плоской, нет оснований допускать устойчивость молекулы тетрафенилциклобутadiена. В действительности же эта молекула не может быть плоской из-за пространственных затруднений. В расчете принято, что скелет молекулы имеет форму «пропеллера» с углом поворота фенильных колец относительно плоскости циклобутadiенового кольца в $30^\circ 46'$. Указанная величина получена из предположения, что ядра ближайших друг к другу атомов водорода соседних фенильных колец удалены на удвоенный радиус Ван-дер-Ваальса.

В согласии со статьей [1], значение резонанского интеграла между (ближайшими) атомами углерода фенильного и циклобутadiенового кольца принято равным $\beta \cos^2 30^\circ 46'$.

Результаты расчета с учетом некомпланарности: $\alpha + 2,51 \beta$; $\alpha + 2,07 \beta$ (дважды вырожден); $\alpha + 2,03 \beta$; $\alpha + 1,80 \beta$; $\alpha + 1,20 \beta$ (дважды вырожден); $\alpha + 1,08 \beta$; $\alpha + \beta$ (четырежды вырожден); $\alpha + 0,81 \beta$; α (дважды вырожден). Остальные (разрыхляющие) уровни расположены на шкале энергии симметрично связывающим относительно α . Энергия сопряжения равна $9,54 \beta$; выигрыш в энергии сопряжения сравнительно с четырьмя фенильными и одним циклобутadiеновым кольцами равен $1,54 \beta$, а сравнительно с двумя молекулами транс-стильбена равен $0,22 \beta$.

Тем самым показано, что (как и следовало ожидать) энергия сопряжения понижается и остается в силе вывод о неустойчивости молекулы тетрафенилциклобутadiена.

ВЫВОДЫ

С точки зрения простого метода МО ЛКАО нет оснований ожидать устойчивости молекулы тетрафенилциклобутadiена.

Институт элементоорганических соединений
Академии наук СССР

Поступило
22.VII.1959

ЛИТЕРАТУРА

1. Preuss, Z. Naturforsch. 12a, 603 (1957).

А. У. ГОРБАНЕВ, Ю. М. КЕССЛЕР, Ю. М. ПОВАРОВ, Э. С. СЕВАСТЬЯНОВ и В. В. КРЫЛОВ

К ВОПРОСУ О «СВЯЗАННОЙ» И «СВОБОДНОЙ» ВОДЕ

Для объяснения причин расхождения теории Дебая — Гюккеля [1] с опытом различными авторами был предложен ряд уравнений, в которых учитывается «связывание» воды ионами. Во всех случаях это достигается введением в уравнения в процессе их вывода соотношения

$$N_1 = N_1^0 - hN_2, \quad (1)$$

где N_1 — число «свободных», а N_1^0 — полное число молекул воды в растворе; N_2 — число молекул электролита; h — число гидратации. Конечные уравнения содержат сумму дебаевского и дополнительных членов, по крайней мере часть которых зависит от h . Величина h подбирается эмпирически из сопоставления полученных уравнений с опытом, исходя из допущения, что расхождение теории [1] с опытом обусловлено уменьшением числа «свободных» молекул воды. Найденные таким путем h лежат в пределах 0—14. При этом физический смысл h при, например $h < 1$, оказывается совершенно неясным.

Запишем выражение (1) в виде

$$N_1 = N_1^0 - N_2 \sum_i \nu_i h_i, \quad h = \sum_i \nu_i h_i, \quad (2)$$

где ν_i — число i -ых ионов, образующихся при диссоциации одной молекулы электролита. По смыслу уравнения (2) h_i есть число молекул воды, жестко связанной с ионом. Хорошо известно, однако [2], что даже ближайшие к иону молекулы воды в общем случае сохраняют значительную подвижность, поэтому h_i не может быть отождествлено с координационным числом n_i . Естественно считать, что h_i пропорционально n_i . Подвижность молекул воды, находящихся непосредственно рядом с ионом, следует сопоставлять с подвижностью молекул воды, находящихся в контакте только с другими молекулами воды. Это можно сделать, исходя из положений, развитых Самойловым [2]. Обозначим среднее время пребывания молекулы воды в положении равновесия вблизи иона и в водном окружении τ_i и τ соответственно. Тогда $\tau_i/(\tau_i + \tau)$ и $\tau/(\tau_i + \tau)$ — суть доли времени пребывания данной молекулы в непосредственной близости к иону и вдали от него. Их разность характеризует степень «связывания» воды ионом. Так как нас интересует не абсолютная подвижность молекул, а ее изменение по сравнению с чистым растворителем, то следует положить

$$h_i = Kn_i \frac{\tau_i - \tau}{\tau_i + \tau} = Kn_i f_i, \quad f_i = \frac{(\tau_i^0/\tau^0) \exp(\Delta E_i/RT) - 1}{(\tau_i^0/\tau^0) \exp(\Delta E_i/RT) + 1}, \quad (3)$$

где K — коэффициент пропорциональности; $\Delta E_i = E_i - E$, E_i и E — значения соответствующих потенциальных барьеров. Значение K можно определить из условия $h_i = n_i$ при $\Delta E_i = \infty$, откуда $K = 1$. Окончательно получим

$$N_1 = N_1^0 - N_2 \sum_i \nu_i n_i f_i. \quad (4)$$

Таким образом

$$h = \begin{cases} \sum_i \nu_i n_i & \text{при } \Delta E_i = \infty, \\ 0 & \text{при } \Delta E_i = 0, \\ -\sum_i \nu_i n_i & \text{при } \Delta E_i = -\infty. \end{cases} \quad (5)$$

Как видно, $h = n_{\pm} = \sum_i \nu_i n_i$ только при предельном случае положительной гидратации.

При $0 < \Delta E_i < \infty$ $h < n_{\pm}$ и выражает поправку на эффективное связывание молекул воды ионами. При $\Delta E_i < 0$, $f_i < 0$ и $N_1 > N_1^0$; в этом случае ионы увеличивают подвижность молекул воды, что проявляется как бы в увеличении их эффективного количества. При $\Delta E_i = \infty$ $h_i = -\nu_i n_i$, но так как [3]

$$n_i = (\tau_i^0/\tau^0) n \exp(\Delta E_i/RT), \quad (6)$$

где n — координационное число воды в воде, то при $\Delta E_i = -\infty$ $n_i = 0$ и, следовательно $h_i = 0$. $n_i = 0$ следует понимать в том смысле, что в непосредственном контакте с ионом молекул воды нет. Действительно, при $E_i \rightarrow 0$ ($\Delta E_i \rightarrow -E$) минимум на потенциальной кривой, расположенный на расстоянии $r_{\text{ион}} + r_{\text{H}_2\text{O}}$ от иона, выравнивается и при $E_i = 0$ перестает существовать. Практически этот случай вряд ли когда-нибудь осуществляется; в реальных случаях $\infty > \Delta E_i > -E$, $E > 0$, $n_{\pm} > h > -n_{\pm}$.

Для расчетов было использовано уравнение Робинсона и Стокса [4], аналогичное уравнению Бьеррума [5] и переходящее при $h = 0$ в уравнение [1], и уравнение Глюкауфа [6], дающее результаты, очень близкие с результатами [4], но не переходящее в [1] при $h = 0$. Вычислим ΔE_{Cl^-} из $h_{\text{NaCl}} = 3,5$ и $h_{\text{KCl}} = 1,9$, взятых по [4], принимая n_{\pm} и ΔE_{\pm} по [2] и n_{Cl} по [7]. τ_0^0/τ^0 найдем из (6) по данным [2]. Получим $\Delta E_{\text{Cl}^-} = 0,41$ и $0,64$ ккал/г-ион из данных для NaCl и KCl соответственно. Эти результаты не только сильно расходятся между собой, что не должно было бы иметь места, если бы расхождение теории [1] с опытом зависело только от пренебрежения ею „связыванием“ воды ионами, но и отличаются по знаку от вычисленных из подвижностей ионов и диффузии [2]. Если считать, следуя [4], $\Delta E_{\text{Cl}^-} = 0$, то получим $\Delta E_{\text{Na}^+} = 1,41$ и $\Delta E_{\text{K}^+} = 0,79$ ккал/г-ион, в то время как по [2] соответствующие значения составляют 0,25 и $-0,25$ ккал/г-ион. Расхождения еще больше увеличиваются, если определить h из опыта, полагая средний ионный диаметр в дебаевском члене равным сумме кристаллографических радиусов ионов. Это соответствует допущению проницаемости гидратных оболочек ионов и представляется разумным по крайней мере в случае электролитов, составленных из ионов, обладающих отрицательной гидратацией. Так, для KCl при $c = 0,1$ мол/л получается $h = 6$, откуда $\Delta E_{\text{K}^+} \approx 1,1$ ккал/г-ион. В [6] были оценены h_i ; используя их и приравнивая $n_i f_i = h_i$, находим $\Delta E_{\text{Na}^+} = 0,7$, $\Delta E_{\text{K}^+} = 0,2$ и $\Delta E_{\text{Cl}^-} = 0,2$ ккал/г-ион, что опять-таки сильно расходится с [2] (по [2] $\Delta E_{\text{Cl}^-} = -0,27$ ккал/г-ион). Вычисление h дает $h_{\text{NaCl}} = -0,99$ и $h_{\text{KCl}} = -1,71$, в то время как в [6], так же, как и в [4] принято в обоих случаях $h > 0$. Отрицательное h_{NaCl} получается из-за того, что увеличение подвижности воды ионами хлора перевешивает „связывание“ ее ионами натрия. Таким образом, расчеты показывают, что учета одного только изменения подвижности воды ионами („связывания“ воды) недостаточно для объяснения расхождения теории [1] с опытом. Это же заключение вытекает из факта, видного из таблицы h [4], неаддитивности значения h_i , вычисленных из опыта. Следует отметить, что чисто качественное указание на недостаточность этой поправки содержится в [8].

Уравнения (3) и (4) в принципе позволяют определять координационные числа и ΔE_i из экспериментальных данных по коэффициентам активности. Для этого необходимо знать долю эффекта, приходящуюся на „связывание“ воды ионами, и ΔE_i или n_i . Для приближенного расчета n_i в случае сильно гидратированных ионов можно полагать $\Delta E_i = \infty$ ввиду быстрого стремления f_i к единице при увеличении ΔE_i .

ВЫВОДЫ

Выяснен физический смысл поправки на „связывание“ воды ионами и предложено уравнение для ее точного расчета.

Институт электрохимии
Академии наук СССР

Поступило
27.VII.1958

ЛИТЕРАТУРА

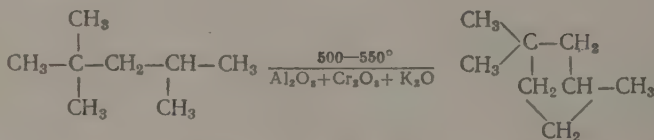
1. P. Debye, E. Hückel, Phys. Z. **24**, 185, 305 (1923).
2. О. Я. Самойлов, Структура водных растворов электролитов и гидратация ионов, АН СССР, М., 1957.
3. О. Я. Самойлов, Докл. АН СССР, **121**, № 6, 1043 (1958).
4. R. H. Stokes, R. A. Robinson, J. Amer. Chem. Soc. **70**, 1870 (1948).
5. N. Bjerrum, Z. anorgan. und allgem. Chem. **109**, 275 (1920).
6. E. Glueckauf, Trans. Faraday Soc. **51**, 1235 (1955).
7. G. W. Brady, J. Chem. Phys. **28**, 464 (1958).
8. R. A. Robinson, R. H. Stokes, Electrolyte solutions, Butterworths Sci. Publ., London (1955).

ПИСЬМА РЕДАКТОРУ

О ДЕГИДРОЦИКЛИЗАЦИИ АЛКАНОВ В ПЯТИЧЛЕННЫЕ ЦИКЛАНЫ НА ОКИСНЫХ КАТАЛИЗАТОРАХ

Глубокоуважаемый редактор!

При исследовании реакции дегидрогенизации 2,2,4-триметилпентана на алюмохромокальневом катализаторе мы обнаружили явление замыкания этого алкана в пятичленный циклан. Во фракции с т. кип. 98,5—105,6° парафиновой части катализата 2,2,4-триметилпентана (катализат был получен в опытах, проведенных при 550° и объемной скорости 1,1 час⁻¹) методом комбинационного рассеяния, а также при помощи газожидкостной хроматографии доказано присутствие 1,1,3-триметилциклопентана в количестве 10—15%. Этот углеводород найден также и в парафиновой части катализата изооктана, полученного при 500°



Приведенный здесь экспериментальный факт лишний раз подтверждает возможность протекания реакции дегидроциклизации алканов в соответствующие пятичленные цикланы на окисных катализаторах. Дегидроциклизация н.пентана в циклопентан на таких катализаторах наблюдалась нами и ранее [1].

Е. А. Тимофеева, Н. И. Шуйкин и Т. П. Добрынина

Институт органической химии
им. Н. Д. Зелинского
Академии наук СССР

Поступило
7.XII.1959

ЛИТЕРАТУРА

1. Е. А. Тимофеева, Н. И. Шуйкин и др. Докл. АН СССР 92, 345 (1953); Изв. АН СССР. Отд. хим. н. 1955, 567; 1957, 875; Н. И. Шуйкин, Т. П. Добрынина и Е. А. Тимофеева, Revue de l'Institut Français du Pétrole 11, 1485 (1956).

СОДЕРЖАНИЕ

ФИЗИЧЕСКАЯ ХИМИЯ

| | |
|--------------------------------------------------------------------------------------------------------------------------------------------------------------------------------------------------------------------------------------------------|-----|
| В. Т. Быков, Л. Б. Непомнящий и В. Н. Сушин. Исследование природных сорбентов методом рассеяния рентгеновских лучей под малыми углами | 385 |
| Н. П. Кейер. Каталитическая активность твердых растворов закиси никеля и окиси цинка | 389 |
| А. А. Баландин и Н. П. Соколова. Кинетическое определение энергий связи атомов Н, С и О с катализатором V_2O_5 | 398 |
| Л. Х. Фрейдлин, А. А. Баландин и Н. М. Назарова. Каталитическое алкилирование изобутана этиленом при повышенных температурах под давлением | 409 |
| М. Г. Гоникберг и Б. С. Эльянов. К вопросу об участии растворителя в активированном комплексе в реакциях Меншуткина. Сообщение 1. Изучение кинетики реакции пиридина с йодистым этилом в этиловом спирте при давлении до 2000 кг/см ² | 413 |
| Н. С. Ениколопан и Г. П. Конарева. Гомогенный катализ при газофазном окислении углеводов. Сообщение 1. Природа двух максимумов тепловыделения | 419 |
| С. М. Самойлов и А. М. Рубинштейн. Исследование физических и химических свойств WS_2 -катализаторов. Сообщение 5. Каталитическая активность несмешанного WS_2 -катализатора в реакции гидрирования фенола | 427 |
| А. А. Слинкин, В. И. Якерсон и А. М. Рубинштейн. Каталитические и магнитные свойства $NiO-MgO$ | 435 |
| Л. А. Ловачев. О цепочно-тепловом распространении пламени. Сообщение 3. Влияние коэффициента диффузии и теплопроводности | 442 |

ОРГАНИЧЕСКАЯ И БИОЛОГИЧЕСКАЯ ХИМИЯ

| | |
|------------------------------------------------------------------------------------------------------------------------------------------------------------------------------------------------------------------------------|-----|
| А. Н. Несмеянов, В. Н. Кост, Л. И. Захаркин и Р. Х. Фрейдлина. Получение некоторых фторхлорпроизводных, исходя из 1,1,1,3-тетрахлорпропана | 447 |
| Р. Х. Фрейдлина, Ф. К. Величко и А. Б. Белявский. Диеновая конденсация непредельных соединений, содержащих трихлорметильную или трихлорвинильную группу | 452 |
| К. А. Андрианов и С. Е. Якушкина. Синтез полиорганосилоксанов с различными группами в цикле | 457 |
| В. Ф. Миронов, В. В. Непомнина и Л. А. Лейтес. Дегидрогалогенирование некоторых кремнеорганических соединений и перегруппировка α , β -дихлоралкилтрихлорсиланов при их дегидрохлорировании хлористым алюминием | 461 |
| Ван Фо-сун, Б. А. Долгопоски и Б. Л. Ерусалимский. Реакции металлоорганических соединений с солями тяжелых металлов. Сообщение 1. Взаимодействие магнийбромэтила с галогенидами титана и кобальта | 469 |
| А. А. Бугоркова, В. Ф. Миронов и А. Д. Петров. Исследование относительной реакционной способности кратной связи в металлоорганических соединениях IV группы методом родановых чисел | 474 |
| Е. А. Тимофеева, Н. И. Шуйкин, Т. П. Добрынина, Ю. Н. Плотников и Г. С. Петряева. Дегидрогенизация углеводов на алюмохромовых катализаторах с добавками некоторых окислов металлов | 480 |
| Н. И. Шуйкин, М. И. Черкашин и Г. К. Гайворонская. Каталитические превращения изомилциклопентана под давлением водорода | 484 |
| Н. И. Шуйкин и Е. Д. Тулупова. Получение ароматических углеводов из туймазинского бензина методом двухступенчатой ароматизации | 490 |
| Ф. А. Урманчеев, Р. И. Измайлов и Б. Ле. Определение индивидуального углеводородного состава бензинов нефтей Татарии. Сообщение 3. Бензины из нефтей различных горизонтов | 495 |
| М. Г. Гоникберг и Ли Гуан-нянь. Гомогенное деструктивное гидрирование крезолов при высоких давлениях водорода | 498 |

| | |
|--------------------------------------------------------------------------------------------------------------------------------------------------------------------------------------------------------------------------------------------|-----|
| С. С. Новиков, Т. И. Годовикова и В. А. Тартаковский. Синтез ртутноорганических нитросоединений. Сообщение 1. Меркурирование ртутной солью тринитрометана ароматических и гетероциклических соединений . . . | 505 |
| Я. Т. Эйбус, К. В. Пузицкий и Б. А. Казанский. Каталитическая полимеризация олефинов. Сообщение 6. Влияние добавок некоторых окислов металлов на активность катализатора $NiO - Al_2O_3$ —силикагель в реакции полимеризации этилена . . . | 513 |
| А. Д. Петров и В. М. Вдовин. О каталитическом диспропорционировании алкил(алкенил)дихлорсиланов . . . | 519 |
| И. Л. Кнулянец, Э. Е. Рыцлин и Н. П. Гамбарян. β -лактамы. Сообщение 3. Механизм реакции . . . | 527 |
| В. Н. Гунар, С. И. Завьялов и А. И. Кротов. Химия дигидрорезорцина. Сообщение 3. Синтез и антигельминтное действие производных дигидрорезорцина, содержащих разветвленные алифатические цепи . . . | 535 |
| М. И. Батуев, А. А. Ахрем и А. Д. Матвеева. Оптическое исследование некоторых замещенных циклогексанолюв и их ацетатов . . . | 538 |

КРАТКИЕ СООБЩЕНИЯ

| | |
|--------------------------------------------------------------------------------------------------------------------------------------------------------------------------------------------------------------------------------|-----|
| К. Т. Порошин, Т. Д. Козаренко, В. А. Шибнев и В. Г. Дебабов. Действие коллагеназы из культуры <i>Clostridium histolyticum</i> на синтетические пептиды, состоящие из глицина, <i>L</i> -пролина и <i>L</i> -оксипролина . . . | 550 |
| Е. И. Клабуновский, В. В. Патрикеев и А. А. Баландин. О разделении на антиподы рацемических углеводов . . . | 552 |
| А. Н. Несмеянов, Э. Г. Перевалова, Ю. А. Устынюк и Л. С. Шиловцева. Синтез простых эфиров ферроценилкарбинола . . . | 554 |
| М. И. Батуев, А. А. Ахрем и А. Д. Матвеева. Оптическое исследование бутиндиола, его диацетата и 1,4-дихлорбутина . . . | 556 |
| М. И. Батуев. К вопросу об особенностях строения некоторых единичных связей в системах с кратными связями . . . | 558 |
| Л. И. Авраменко и Р. В. Колесникова. К вопросу о роли третьей частицы в реакции взаимодействия $O + CO$. . . | 561 |
| С. Л. Киперман. К определению энергии связи поверхности никелевого катализатора с углеродом . . . | 563 |
| Я. Л. Гольдфарб и В. В. Киселева. К вопросу о строении <i>N</i> -метилникотина и <i>Pu-N</i> -метилметаникотона . . . | 565 |
| Н. К. Кочетков, А. Я. Хорлин, Л. А. Воротникова и В. Е. Васковский. Предварительные данные по химическому изучению корней аралии маньчжурской . . . | 568 |
| Д. А. Бочвар, Э. С. Богатова и А. Л. Чистяков. Расчет методом МО ЛКАО молекулы тетрафенилциклобутана . . . | 569 |
| А. И. Горбанев, Ю. М. Кесслер, Ю. М. Поваров, Э. С. Севастьянов и В. В. Крылов. К вопросу о «связанной» и «свободной» воде . . . | 570 |

ПИСЬМА РЕДАКТОРУ

| | |
|-----------------------------------------------------------------------------------------------------------------------------------|-----|
| Е. А. Тимофеева, Н. И. Шуйкин и Т. П. Добрынина. О дегидроциклизации алканов в пятичленные цикланы на окисных катализаторах . . . | 572 |
|-----------------------------------------------------------------------------------------------------------------------------------|-----|

CONTENTS

PHYSICAL CHEMISTRY

| | |
|------------------------------------------------------------------------------------------------------------------------------------------------------------------------------------------------------------------------------------------------------|-----|
| V. T. Bykov, L. B. Nepomnyashchy and V. N. Sushin. Study of Natural Sorbents Using the Method of Small Angle X-ray Scattering | 385 |
| N. P. Keiyer. Catalytic Activity of Solid Solutions of Zinc and Nickel Oxides | 389 |
| A. A. Balandin and N. P. Sokolova. Kinetic Determination of Bond Energies between the Atoms of H, C and O and V_2O_5 Catalyst | 398 |
| L. Kh. Freidlin, A. A. Balandin and N. M. Nazarova. Isobutane Catalytic Alkylation by Ethylene at High Temperatures under Pressure | 409 |
| M. G. Gonikberg and B. S. Eljyanov. On Participation of Solvent in Activated Complex under Menshutkin Reactions. 1. Study of Kinetics of the Reaction of Pyridine with Ethyl-Iodide in Ethyl Alcohol at Pressures up to 2000 kg. cm^{-2} | 413 |
| N. S. Enikolopyan and G. P. Konareva. Homogeneous Catalysis in Reactions of Hydrocarbons Oxidation in Gas Phase. 1. The Nature of Two Maxima of Heat Emission | 419 |
| S. M. Samoilov and A. M. Rubinstein. Study of Physical and Chemical Properties of WS_2 -Catalysts. 5. Catalytic Activity of Unmixed WS_2 -Catalyst in Reaction of Phenol Hydrogenation | 427 |
| A. A. Slinkin, V. I. Yakerson and A. M. Rubinstein. Catalytic and Magnetic Properties of $NiO-MgO$ | 435 |
| L. A. Lovachev. On Chain-thermal Flame Propagation. 3. Effect of Diffusion Coefficient and Thermal Conductivity | 442 |

ORGANIC CHEMISTRY

| | |
|----------------------------------------------------------------------------------------------------------------------------------------------------------------------------------------------------------------------------------------|-----|
| A. N. Nesmeyanov, V. N. Kost, L. I. Zakharkin and R. Kh. Freidlina. Preparation of Some Fluoro-chloro-derivatives from 1,1, 1,3-Tetrachloropropane | 447 |
| R. Kh. Freidlina, F. K. Velichko and A. B. Belyavsky. Diene Condensation of Unsaturated Compounds Containing Trichloro-methyl and Trichlorovinyl Groups | 452 |
| K. A. Andrianov and S. E. Yakushkina. Synthesis of Cyclopolyorgano-siloxanes Having Different Groups | 457 |
| V. F. Mironov, V. V. Nepomnina and L. A. Leites. Dehydrohalogenation of Some Silico-organic Compounds. Regrouping of α , β -Dichloro-alkyl-trichloro-silanes Via Their Dehydrochlorination by Means of $AlCl_3$ | 461 |
| Wang Fo-shung, B. A. Dolgoplosk and B. L. Erusalimsky. Reactions of Organo-metallic Compounds with Salts of Heavy Metals. 1. Interaction of Ethyl-magnesium-bromide with Halides of Titanium and Cobalt | 469 |
| A. A. Bugorkova, V. F. Mironov and A. D. Petrov. Study of Relative Reactivity of Multiple Bond in Organo-metallic Compounds of the IVth Group Using the Method of Rhodanic Numbers | 474 |
| E. A. Timofeeva, N. I. Shuikin, T. P. Dobrynina, Yu. N. Plotnikov and G. S. Petryaeva. Dehydrogenation of Hydrocarbons on Alumina-chromic Catalysts with the Addition of Some Metal Oxides | 480 |
| N. I. Shuikin, M. I. Cherkashin and G. K. Gaivoronskaya. Catalytic Transformations of Isoamylcyclopentane under Hydrogen Pressure | 484 |
| N. I. Shuikin and E. D. Tulupova. Preparation of Aromatic Hydrocarbons from the Tuimaza Gasoline by Means of Two-Stage Aromatization | 491 |
| F. A. Urmancheev, R. I. Izmailov and B. Le. Determination of Individual Hydrocarbon Composition of Gasolines from the Tatar Petroleum. 3. Gasolines Obtained from Petroleum of Different Horizons | 495 |
| M. G. Gonikberg and Li Kuang-nien. Homogeneous Destructive Hydrogenation of Cresols under High Hydrogen Pressures | 498 |

| | |
|-----------------------------------------------------------------------------------------------------------------------------------------------------------------------------------------------------------------------------------------------|-----|
| S. S. Novikov, T. I. Godovikova and V. A. Tartakovsky. Synthesis of Organo-mercuric Nitrocompounds. 1. Mercuration of Aromatic and Heterocyclic Compounds by Mercuric Salt of Trinitromethane | 505 |
| Ya. T. Eidus, K. V. Puzitsky and B. A. Kazansky. Catalytic Polymerization of Olefines. 6. Effect of Some Metal Oxides on the Activity of NiO—Al ₂ O ₃ —Silica Gel (KSK) Catalyst in Polymerization Reaction of Ethylene | 513 |
| A. D. Petrov and V. M. Vdovin. On Catalytic Disproportionation of Alkyl (alkenyl)-dichloro-silanes | 519 |
| I. L. Knunyants, E. E. Rytslin and N. P. Gambaryan. β -Lactams. 3. Mechanism of Reaction | 527 |
| V. N. Gunar, S. I. Zavialov and A. I. Krotov. Chemistry of Dihydroresorcinol. 3. Synthesis and Antihelmintic Effect of Dihydroresorcinol Derivatives Having Branched Aliphatic Chains | 535 |
| M. I. Batuev, A. A. Akhrem and A. D. Matveeva. Optical Study of Some Cyclohexanol Derivatives and Their Acetates | 538 |

SHORT COMMUNICATIONS

| | |
|-------------------------------------------------------------------------------------------------------------------------------------------------------------------------------------------------------------|-----|
| K. T. Poroshin, T. D. Kozarenko, V. A. Shibnev and V. G. Debabov. Effect of Collagenasa of Clostridium Histolyticum on Synthetic Peptides Consisting of Glycine, <i>L</i> -Proline and <i>L</i> -Oxyproline | 550 |
| E. I. Klabunovsky, V. V. Patrikeev and A. A. Balandin. On Optical Resolution of Racemic Hydrocarbons | 552 |
| A. N. Nesmeyanov, E. G. Perevalova, Yu. A. Ustynyuk and L. S. Shilovtseva. Synthesis of Ferrocenylcarbinol Ethers | 554 |
| M. I. Batuev, A. A. Akhrem and A. D. Matveeva. Optical Study of Butynediol, Its Diacetate and 1,4-Dichloro-butyn | 556 |
| M. I. Batuev. To the Problem of Structural Features of Some Single Bonds in Multiple Bond Systems | 558 |
| L. I. Avramenko and R. V. Kolesnikova. On the Role of the Third Particle in Interaction between O and CO | 561 |
| S. L. Kiperman. Concerning Determination of Bond Energy of Nickel Catalyst's Surface with Carbon | 563 |
| Ya. L. Goldfarb and V. V. Kiseleva. Concerning the Structure of N-Methylnicotone and Py-N-Methyl-metanicotone | 565 |
| N. K. Kochetkov, A. Ya. Khorlin, L. A. Vorotnikova and V. E. Vaskovsky. Some Preliminary Data on Chemical Investigation of Aralia Man-shurica Roots | 568 |
| D. A. Bochvar, E. S. Bogatova and A. L. Chistyakov. Calculation of Tetraphenyl-cyclobutadiene Molecule Using «MO LKAO» Method | 569 |
| A. I. Gorbanev, Yu. M. Kessler, Yu. M. Povarov, E. S. Sevastianova and V. V. Krylov. On the Problem of «Bound up with Ions» and «Free» Water | 570 |

LETTERS TO THE EDITOR

| | |
|-------------------------------------------------------------------------------------------------------------------------------------|-----|
| E. A. Timofeeva, N. I. Shuikin and T. P. Dobrynina. On Dehydrocyclization of alkanes into Five-membered Cyclanes on Oxide Catalysts | 572 |
|-------------------------------------------------------------------------------------------------------------------------------------|-----|

Цена 15 руб.

Printed in the USSR